

# PROGETTAZIONE DI SISTEMI MIXED SIGNAL

*[Fotocopie di Appunti]*

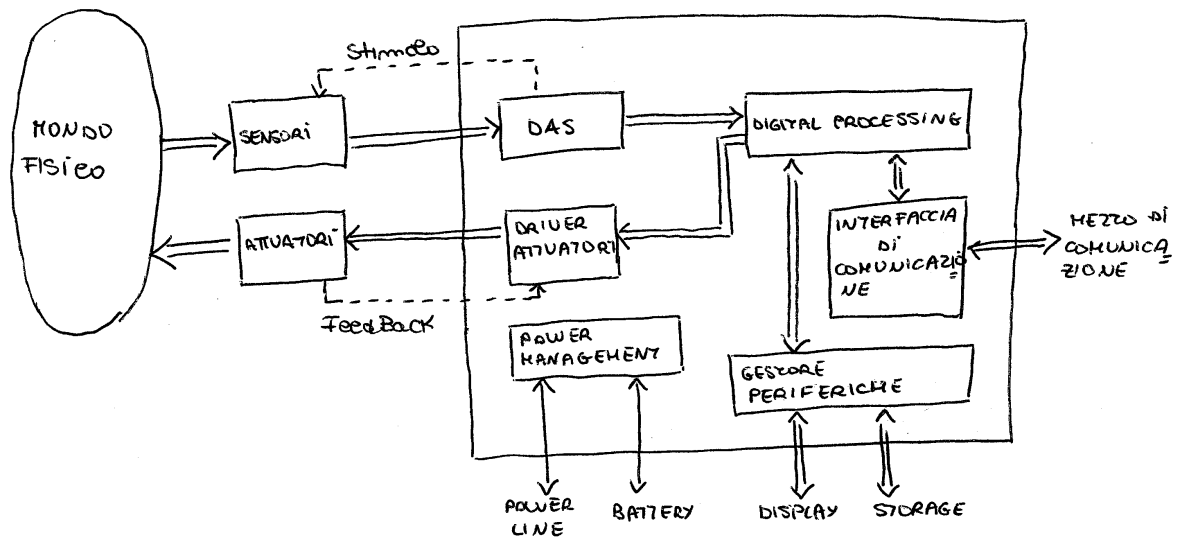
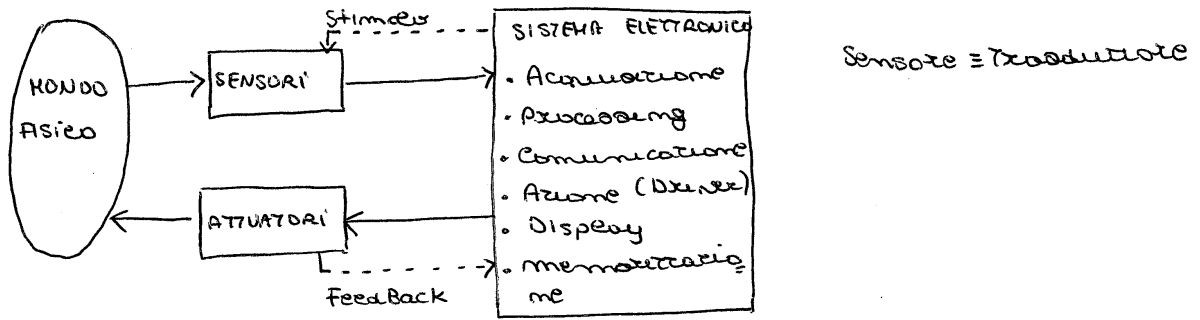
A CURA DI ALESSANDRO PAGHI

**PROFESSORE:** Paolo Bruschi ( <http://www.iet.unipi.it/p.bruschi/> )

**LINK AL CORSO ANNO 2017/2018:** [http://docenti.ing.unipi.it/~a008309/mat\\_stud/MIXED/](http://docenti.ing.unipi.it/~a008309/mat_stud/MIXED/)

**FREQUENTAZIONE:** Consigliata.

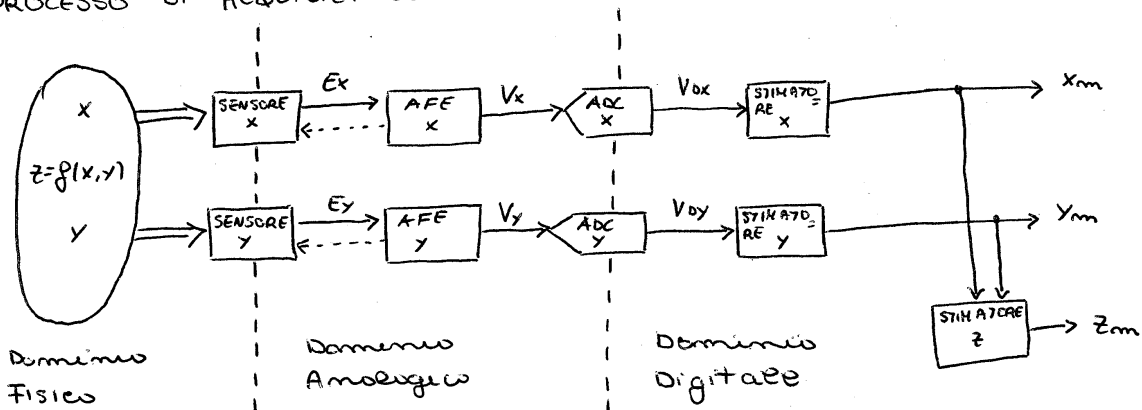
# SISTEMA ELETTRONICO : SCHEMA A BLOCCHI



## DAS (Data Acquisition System)

Ha il compito di ricevere informazioni dal mondo fisico misurando quantità fisico-chimiche di interesse.

## PROCESSO DI ACQUISIZIONE :



SENSORE: Interagisce con la quantità fisica  $X$  generando una quantità elettrica  $E_x$ .

AFE (ANALOG FRONT END) o INTERFACCIA: Converte la quantità elettrica  $E_x$  in un segnale  $V_x$ .  
Include molte funzioni, tra cui conversione, amplificazione, filtraggio e compensazione della temperatura.

Per alcuni categorie di sensori produce lo stimolo necessario al funzionamento.

Per sensori con risposta non lineare, produce una linearizzazione della risposta.

ADC: Produce una rappresentazione digitale di  $V_x$ .  
 $V_{xD}$  è un codice.

STIMATORE: Implementa un algoritmo numerico al fine di convertire  $V_{xD}$  in una stima di  $x$ .

## SEGNALI

Si occupano di trasportare informazione.

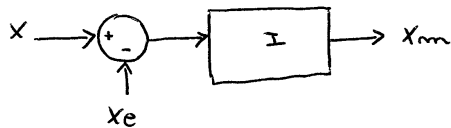
Segnali analogici sono continui in ampiezza mentre quelli digitali sono discreti in ampiezza.

I segnali digitali sono tempo discreto mentre quelli analogici possono essere sia tempo continuo che tempo discreto (SWITCHED CAP SYSTEM).

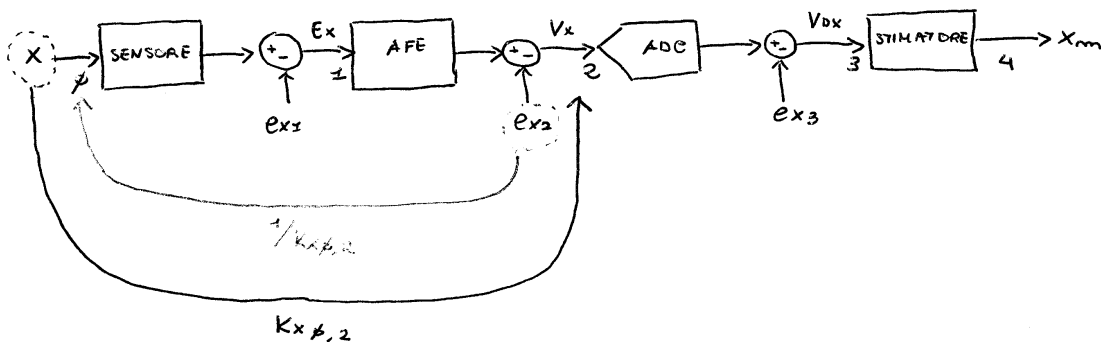
## PRESTAZIONI DEL SISTEMA

Le prestazioni del DAS si valutano in termini di  $X_e = X - X_m$ .

Trattiamo il DAS come un sistema identità (I) con un'addizione di disturbo  $-X_e$  in input.



$X_e$  è la somma dei contributi di tutti i sensori.



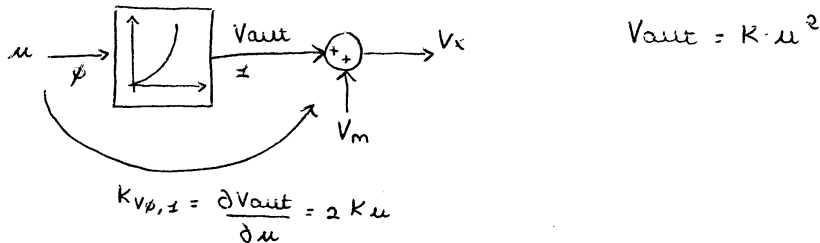
Si definisce la sensibilità:  $K_{X_i, j} = \frac{\partial V_{out j}}{\partial V_{out i}}$

Che può essere interpretata anche come la variazione minima di input che provoca una variazione di output.

Ogni errore è riferito all'input (Porta  $\phi$ ) attraverso la propria sensibilità:

$$X_{e i} = \frac{e_{x i}}{K_{X \phi, i}} \quad \text{con} \quad K_{X \phi, i} = \frac{\partial V_{out i}}{\partial X}$$

Se la risposta del sistema è non lineare la sensibilità non è costante per i sempre di valori che l'input può assumere.



$$K_{V\phi, z} = \frac{\partial V_{out}}{\partial u} = 2Ku$$

Il numero  $V_m$  riportato in ingrandito vale:

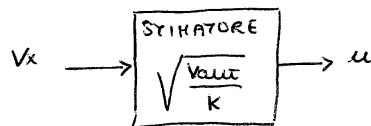
$$\mu_e = \frac{V_m}{K_{V\phi, z}} = \frac{V_m}{2K \cdot u}$$

Risulta che l'accuratezza della misura varia per via del fatto che è presente una relazione di non linearità tra IN ed OUT

$$u \rightarrow 0 \Rightarrow \mu_e \rightarrow \infty$$

$$u \rightarrow \infty \Rightarrow \mu_e \rightarrow 0$$

Soluzione: provvedere all'inversione dell'equazione messo stimatore;



## ERRORE SULLE GRANDEZZE DERIVATE

$z = f(x, y) \rightarrow z_m = f(x_m, y_m)$  dopo il processo di acquisizione

$$x_m = x - x_e$$

$$y_m = y - y_e$$

$$\rightarrow z_m = f(x_m, y_m) = f(x - x_e, y - y_e)$$

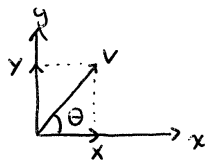
Supponendo che l'errore sia ridotto, posso approssimare la scomposizione di Taylor al 1° ordine:

$$z_m = f(x, y) - \frac{\partial f}{\partial x} x_e - \frac{\partial f}{\partial y} y_e = z - \left( \frac{\partial f}{\partial x} x_e + \frac{\partial f}{\partial y} y_e \right)$$

$$z_e = \frac{\partial f}{\partial x} x_e + \frac{\partial f}{\partial y} y_e$$

$$\rightarrow z_m = z - z_e$$

Esempio:



$$\theta = \arctan(x, y) = \begin{cases} \arctan\left(\frac{y}{x}\right) & \text{se } x \geq 0 \\ \arctan\left(\frac{y}{x}\right) + \pi & \text{se } x < 0, y \geq 0 \\ \arctan\left(\frac{y}{x}\right) - \pi & \text{se } x < 0, y < 0 \end{cases}$$

$$\theta_e = \frac{d\theta}{dx} x_e + \frac{d\theta}{dy} y_e$$

$$\frac{d\theta}{dx} = \frac{1}{1 + \left(\frac{y}{x}\right)^2} \cdot \left(-\frac{y}{x^2}\right) ; \quad \frac{d\theta}{dy} = \frac{1}{1 + \left(\frac{y}{x}\right)^2} \cdot \frac{1}{x} \quad \rightarrow \quad \theta_e = -\frac{1}{x^2 + y^2} \cdot y \cdot x_e + \frac{1}{x^2 + y^2} \cdot x \cdot y_e$$

L'errore di un'asse è posto per un contributo che è determinato dall'altro asse.

Supponendo  $x_e, y_e$  indipendenti (acquisizione sui canali separati)

$$\rightarrow \sigma_{\theta_e}^2 = \sigma_{x_e}^2 \cdot \frac{y^2}{(x^2 + y^2)^2} + \sigma_{y_e}^2 \cdot \frac{x^2}{(x^2 + y^2)^2}$$

nel caso in cui  $\sigma_{x_e} = \sigma_{y_e} = \sigma$  (canali realizzati con stessa tecnologia)

$$\sigma_{\theta_e}^2 = \sigma^2 \cdot \frac{x^2 + y^2}{(x^2 + y^2)^2} = \sigma^2 \cdot \frac{1}{x^2 + y^2} \quad \rightarrow \quad \sigma_{\theta_e} = \frac{\sigma}{\sqrt{x^2 + y^2}} = \frac{\sigma}{\|V\|}$$

(5)

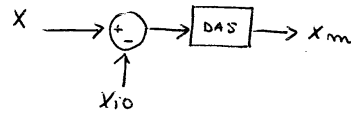
## TIPOLOGIE DI ERRORI

### ERRORI QUASI STATICI

Sono errori che possono essere considerati costanti per tutto il tempo di osservazione del sistema.

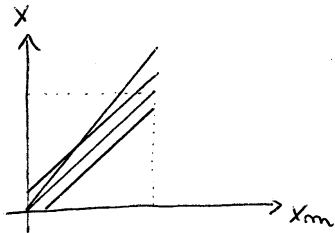
#### • ERRORE DI OFFSET

$$X = X_{io} : X_m = \phi$$



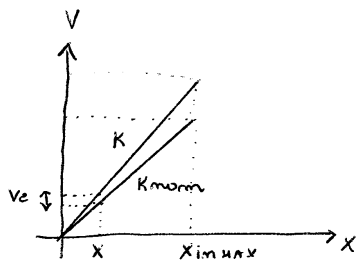
L'errore di offset ha una componente sistematica ed una casuale: errori diversi fanno offset diversi.

#### • ERRORE DI GUADAGNO (GAIN)



- Caratteristica Ideale
- Presenza di Offset
- Presenza di errore di guadagno

Dopo la correzione dell'offset risulta:



nel caso nominale:  $V = K_{nominale} \cdot X$

nel caso reale:  $V = (K_{nominale} + K_e) \cdot X$

$$V = K_{nominale} \cdot X + K_e \cdot X$$

Se non si ha a disposizione di informazioni solo su  $K_{nominale}$ :

$$X_m = \frac{V}{K_{nominale}} = X + \frac{K_e}{K_{nominale}} \cdot X = X - X_e$$

$$X_e = - \frac{K_e}{K_{nominale}} \cdot X$$

$X_e$  dipende dal valore che assume l'ingresso  $X$  e dall'errore relativo sul guadagno.

Ridurre l'errore di Guadagno:

1) Progettare un K come rapporto di grandezze omogenee ottenendo un guadagno adimensionale

$$\text{es. } K = \frac{R_1}{R_2}, \quad K = \frac{C_1}{C_2}$$

La realizzazione con la stessa tecnologia riduce l'errore se solo occorre di matching tra i componenti.

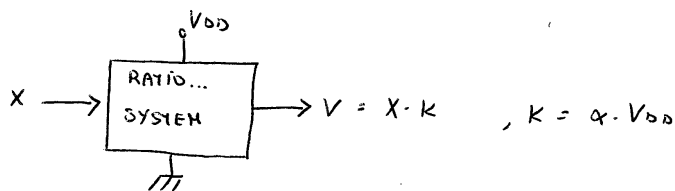
Anche le variazioni dovute alla temperatura agiscono allo stesso modo sui due termini.

2) Utilizzare costanti riproducibili con semplicità.

$$\text{es. } K = \frac{R_1}{R_2} \cdot G$$

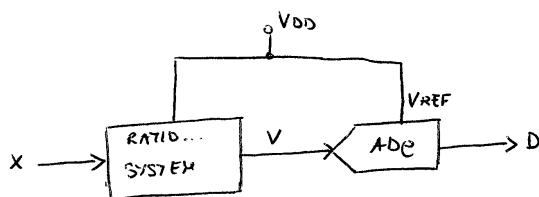
### SISTEMI RAZIONETRICI

Sistema lineare in cui il guadagno è proporzionale alla tensione di alimentazione  $V_{DD}$ .



La tensione di alimentazione è generalmente ottenuta da regolatori di tensione che non sono precisi quanto i regolatori per riferimenti.

Questo sistema si presta ad essere accoppiato con ADE:



$$V = X \cdot K, \quad K = \alpha \cdot V_{DD}$$

$$D = 2^m \cdot \frac{V}{V_{REF}}, \quad V_{REF} = V_{DD}$$

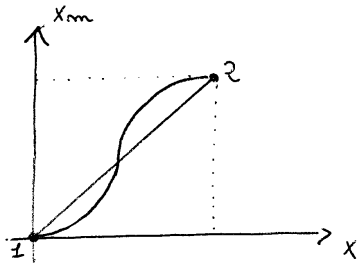
$$\rightarrow D = 2^m \cdot \frac{\alpha V_{DD}}{V_{DD}} \cdot X = 2^m \alpha \cdot X$$

(7)



La dipendenza dalla tensione di alimentazione è scomparsa: non è necessario utilizzare un regolatore di tensione ad alta precisione.

• ERRORE DI NON LINEARITÀ



1 e 2 sono gli EDP:

End Point Line.

Si cerca di far coincidere

$$EDP_{ideali} \approx EDP_{reali}$$

l'errore su  $X_m$  dipende chiaramente dalle volture assunte da  $x$ .

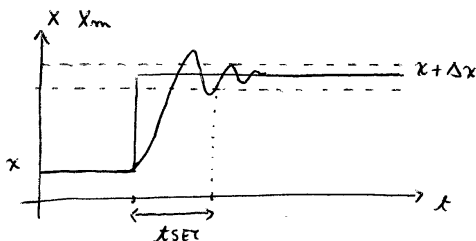
Soluzioni:

- utilizzare uno stimatore in grado di avere una p.d.t. inversa.
- in alternativa utilizzare un'approssimazione lineare.

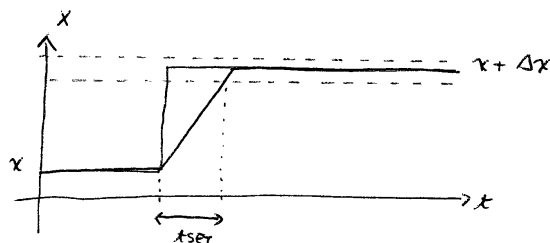
ERRORI DINAMICI

Sono legati alla necessità di risposta del sistema di acquisizione e si presentano durante le transizioni.

Si valuta la risposta del DAS ad una variazione a gradino:



(a)



(b)

$\Delta x$ : ampiezza del gradino.

$t_{SET}$ : SETTLING TIME

È il tempo di assestamento entro  $\pm 1\%$  di  $\Delta x$

Le ragioni di questa lentezza nella risposta sono da ricondurre alla presenza di elementi inerziali.

Per un sistema che rimane in regime di linearità (a), che accade per segnali in ingresso di ampiezza ridotta e variazione lenta:

$$t_{SET} = \frac{1}{B_s}$$

Questa espressione è precisa per una precisione di  $\pm 1\%$  di  $\Delta x$  con risposta del tipo Butterworth del secondo ordine.

In caso di risposta del primo ordine:

$$t_{SET} = \frac{1}{B_s} \cdot 0,73$$

Per un sistema che esce dalla linearità (b), che accade per segnali in ingresso di ampiezza elevata:

$$t_{SET} = \frac{0,99 \cdot \Delta x}{S_r} \approx \frac{\Delta x}{S_r}$$

Utilizzando una precisione di  $\pm 1\%$  di  $\Delta x$ .

N.B: In questo caso  $t_{SET}$  dipende dall'ampiezza del gradino  $\Delta x$ .

## RUMORE (NOISE)

Col termine rumore si intende un qualsiasi tipo di segnale induttivo non desiderato.

Un particolare col termine rumore si indicano errori casuali derivanti da fenomeni microscopici all'interno dei sensori del DAS.

Col termine interferenza si intendono disturbi elettromagnetici dovuti ad accoppiamenti con elementi esterni al circuito.

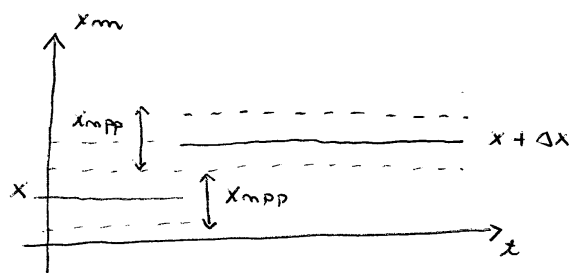
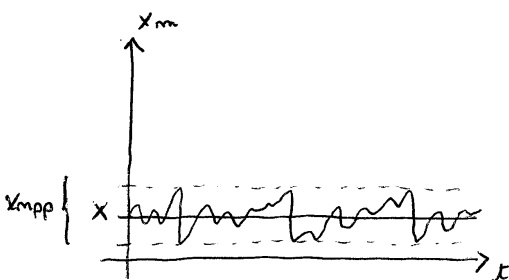
Il DAS effettua un campionamento della grandezza misurata: il campione dovrà essere il più possibile fedele al valore che la grandezza assume in quel determinato istante temporale.

Precisione (Accuracy): determina quanto il valore misurato discosta dal valore reale.

$$x_m = x - x_e \quad , \quad x_e : \text{accuratezza.}$$

Risoluzione: minima differenza tra due valori che l'input può assumere che possono essere distinti.

Il rumore determina la risoluzione.



Per ridurre il rumore sarebbe necessario prelevare più campioni ed effettuare una media. Spesso questo non è possibile a causa di specificità sui tempi di risposta di un sistema.

Il minimo valore che può assumere  $\Delta x$ , affinché due campioni siano distinguibili è  $x_{mpp}$ .

$$\Delta x = x_{mpp}$$

$x_{mpp}$  determina la risoluzione del sistema.

Ma la  $S_x(f)$  come si trova  $x_{mpp}$ ?

$$\langle x_m \rangle^2 = \int_{Banda} S_x(f) df$$

L'errore casuale dovuto al rumore si distribuisce secondo la Gaussiana.

Se si prende la Gaussiana per un intervallo  $\pm 2\sigma_{x_m}$  attempo una probabilità del 95,4% di avere un campione.

$$x_{mpp} \sim 2 \cdot 2\sigma_{x_m} = 4 \cdot \sigma_{x_m} = 4x_{rms}$$

$$\sigma_{x_m} = \sqrt{\langle x_m \rangle^2}$$

N.B. Se la banda si riduce accade che si riduce il rumore ma aumenta l'errore dinamico.

$$B \downarrow \Rightarrow x_{mpp} \downarrow, t_{set} \uparrow$$

## ACCURATEZZA TOTALE DEL DAS

Nei casi pratici l'accuratezza indica la differenza tra valore misurato e valore che assume l'ingresso in un certo istante.

Generalmente l'accuratezza non tiene conto di sorgenti di rumore.

Dobbiamo determinarla in funzione del rumore, come somma dell'errore massimo statico più il massimo contributo di errore.

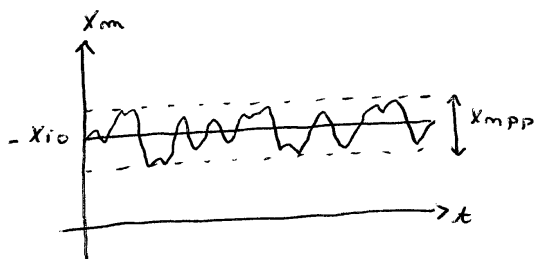
Il rumore e l'errore di offset possono essere considerati errori additivi.

Definiamo DL (DETECTION LIMIT) come la minima grandezza che riesce a misurare.

Per  $X = \beta$ , errori sul guadagno ed errore di non linearità non influenzano  $X_m$ .

$X_m$  è influenzata solo da errore di offset e rumore.

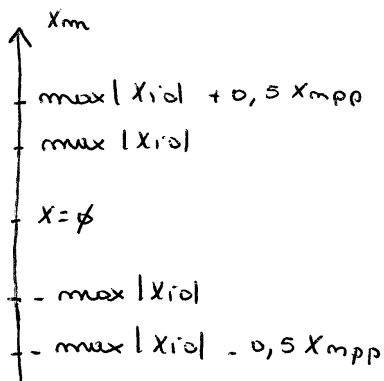
$$X_m = X - X_e = -X_e$$



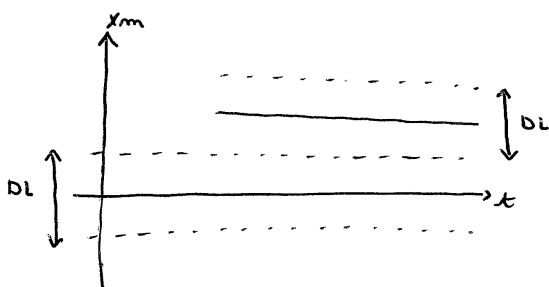
La situazione descritta si riferisce ad un singolo dispositivo in cui consideriamo l'offset una quantità conosciuta

In molti casi l'offset di un sistema non può essere misurato e perciò è generalmente dato in termini  $[\max X_{i0}, -\max X_{i0}]$ .

Da cui risulta che :



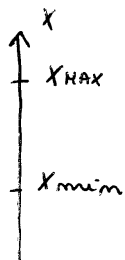
$$DL = 2 \max |X_i| + X_{mpp}$$



Per  $X_m \pm DL$  possiamo sicuramente affermare che  $X \neq \phi$ .

### RANGE DINAMICO

È inteso come l'intervallo di valori che può assumere la grandezza in esame.

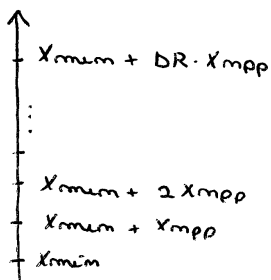


Esempio:  $X_{FS} = X_{MAX} - X_{MIN}$

Range Dinamico:  $DR = \frac{X_{FS}}{X_{mpp}}$

altra definizione operativa:

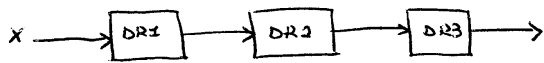
$$DR = \frac{X_{MAX RMS}}{X_{MIN RMS}} = SUR$$



l'uscita come può essere quantizzata in DR intervalli ampi  $X_{mpp}$ .

In termini di bit:  $n = \log_2(DR)$ .

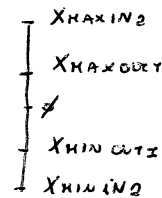
In una cascata di blocchi:



$$DR_{TOT} \leq \min(DR1, DR2, DR3)$$

nel caso in cui, per esempio, l'uscita del blocco 1 non influisce tutta la dinamica di ingresso del blocco 2, risulta:

$$DR_{TOT} \approx \min(DR1, DR2, DR3)$$



NOTA BENE:

escevole  $\sigma$  (deviazione standard)

Caso 1) Campi di acquisizione pre esistenti

Si analizzano tanti campioni e si trova la valore quadratico medio. Si sottrae la media e a quel punto si fa la radice:  $\sigma = \sqrt{\langle x - m \rangle^2} = \sqrt{\langle x^2 \rangle - \langle x \rangle^2}$

m: valore medio.

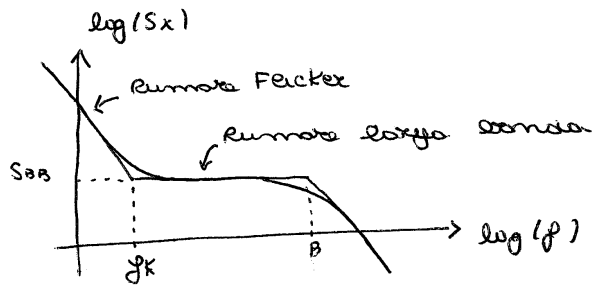
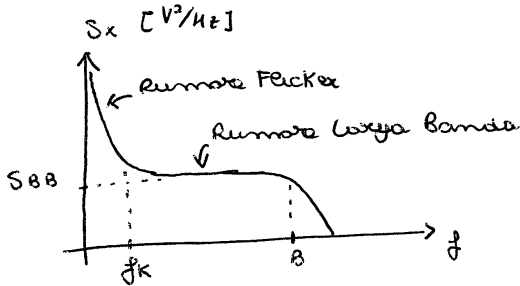
Caso 2) Campi di acquisizione da progettare:

Definisco una relazione ed una stima del rumore e ricavo  $\sigma$ :  $\sigma_v = \Delta v \cdot |V|$ . (applicato al caso del rumore precedente).

# FORMULE PRATICHE PER IL CALCOLO DEL RUMORE

risoluzione:  $\Delta x = x_{\text{rms}} = q x_{\text{max}} = q \sqrt{\int_{\text{Banda Segnale}} S_x(f) df}$

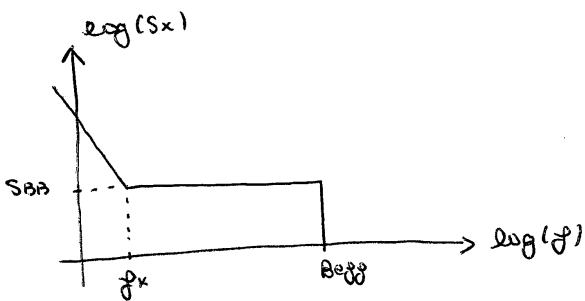
Spettro di Rumore:



$f_K$ : frequenza di corner

B: Banda del sistema

Si usava questa semplificazione



Per un sistema a polo dominante con una risposta del 1° ordine:

$$B_{\text{ogg}} = \frac{\pi}{2} \cdot B \approx 1,5 \cdot B$$

Più usata l'ordine della risposta e più  $B_{\text{ogg}} \approx B$ .

Componente Flicker:  $S_{x_f}$

$$S_{x_f}(f) = \frac{K_f}{f^\alpha} \Big|_{\alpha=1} = \frac{K_f}{f}$$

$$S_x(f) = S_{x_f}(f) + S_{BB}$$

Supponendo di avere un segnale ermitato in banda tra  $f_{\text{min}}$  ed  $f_{\text{max}}$ :  $f_{\text{max}} - f_{\text{min}} = B_s$ .

La banda del canale di lettura deve essere uguale a  $B_s \rightarrow$  una banda maggiore produrrebbe un incremento del rumore rms degradando la risoluzione del



$$X_{\text{MARS}} = \sqrt{\int_{f_{\text{min}}}^{f_{\text{MAX}}} S_{\text{XF}}(f) df + \int_{f_{\text{min}}}^{f_{\text{MAX}}} S_{\text{BB}}(f) df}$$

$$\int_{f_{\text{min}}}^{f_{\text{MAX}}} S_{\text{BB}}(f) df = S_{\text{BB}} \cdot (f_{\text{MAX}} - f_{\text{min}})$$

$$\sqrt{\int_{f_{\text{min}}}^{f_{\text{MAX}}} S_{\text{BB}}(f) df} = \sqrt{f_{\text{MAX}} - f_{\text{min}}} \cdot \sqrt{S_{\text{BB}}} = X_{\text{MANSBB}}$$

$$\int_{f_{\text{min}}}^{f_{\text{MAX}}} S_{\text{XF}}(f) df = \int_{f_{\text{min}}}^{f_{\text{MAX}}} \frac{k_f}{f} df = k_f \ln\left(\frac{f_{\text{MAX}}}{f_{\text{min}}}\right) = k_f \cdot 2,3 \cdot \log_{10}\left(\frac{f_{\text{MAX}}}{f_{\text{min}}}\right)$$

$$= k_f \cdot 2,3 \cdot N_{\text{DEC}}$$

$N_{\text{DEC}} = \log_{10}\left(\frac{f_{\text{MAX}}}{f_{\text{min}}}\right)$  è il numero di decadi della banda del segnale.

$$\sqrt{\int_{f_{\text{min}}}^{f_{\text{MAX}}} S_{\text{XF}}(f) df} = X_{\text{MANSF}}$$

$$\rightarrow X_{\text{MARS}} = \sqrt{X_{\text{MANSF}}^2 + X_{\text{MANSBB}}^2}$$

$$[k_f] = [X]^2$$

Da questa relazione risulta che:  $f_{\text{MIN}} = \phi \rightarrow X_{\text{MANSF}} \rightarrow \infty$ .

La continua sembra generare un rumore infinito.

In realtà questo è un falso problema: il fatto che un segnale sia continuo in un intervallo tempo, e infinito è un'assunzione.

Ma considereremo che un segnale sia costante per il nostro intervallo di tempo di osservazione, che è un periodo limitato.

$T_{OBS}$ : tempo di osservazione

$$f_{min} \sim \frac{1}{T_{OBS}}$$

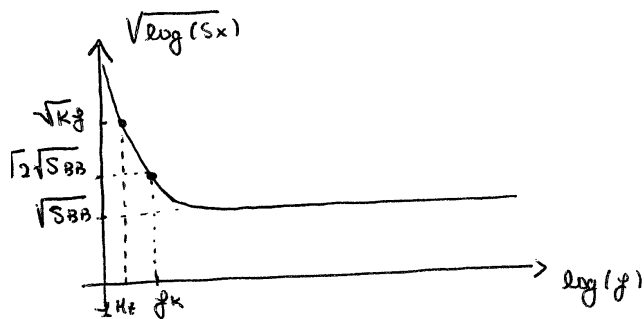
$f_{min} \rightarrow \phi \Rightarrow T_{OBS} \rightarrow \infty$  che chiaramente non è osservabile.

2 volte i dataset supportano  $S_{XF}$  per una banda a bassa frequenza ( $0,1 \div 10$ ) Hz

$$\rightarrow T_{OBS} = (1 \div 10) \text{ sec}$$

formando  $K_{ff}$  dovuto sia a  $S_{XF}$  che a  $S_{BB}$

riconoscere sperimentalmente il valore di  $K_f$ :



$$f_k: S_{XF}(f_k) = S_{BB}$$

$$\frac{K_f}{f_k} = S_{BB}$$

$$\rightarrow K_f = S_{BB} \cdot f_k$$

$$1) f = f_k \rightarrow S_{XF} = S_{BB}$$

$$S_x = 2 \cdot S_{BB}$$

$$\sqrt{S_x} = \sqrt{2} \cdot \sqrt{S_{BB}}$$

$$2) f = 1 \text{ Hz}$$

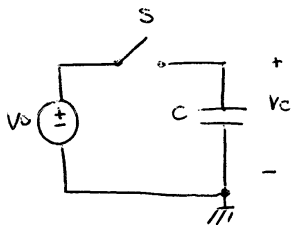
$$K_f = f \cdot S_{XF}(f)$$

$$\sqrt{K_f} = \sqrt{S_{XF}(1 \text{ Hz})}$$

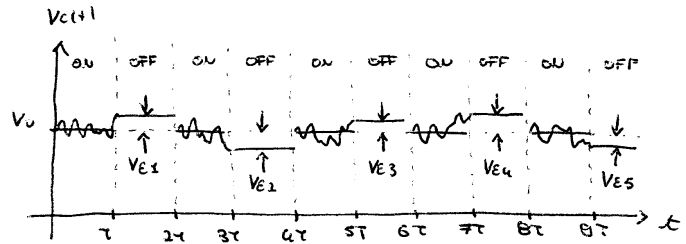
(17)

RUHORE  $\frac{KT}{C}$

Questo tipo di rumore viene prodotto ogni volta che una tensione viene commutata con un condensatore.



$V_0 = \cos t$

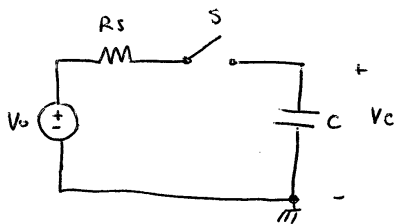


Quando lo switch è off :  $V_c(t) = V_0 + V_E$  , con  $V_E$  rumore casuale.

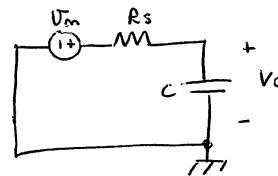
$\rightarrow V_E = V_c(t) - V_0$

$\langle V_E \rangle^2 = \frac{KT}{C}$

Le ragioni di esistenza del rumore  $\frac{KT}{C}$  derivano dal fatto che  $V_0 \neq \cos t$  perché è affetto da rumore termico casuale. resistenza di sorgente di cui si non abbiamo tenuto conto



Quando  $S \equiv ON$  , considerando solo il rumore di  $R_s$  :

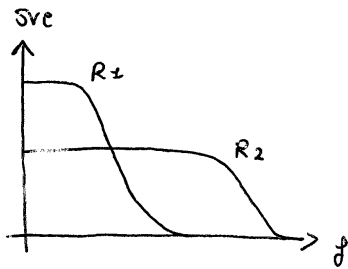


$S_{Um} = 4kTR_s$

$U_m$  è però filtrato dal filtro LP del 1° ordine composto da  $R_s$  e da  $C$  :

$S_{Vc} = S_{Um} \cdot \frac{1}{1 + (\frac{f}{f_P})^2}$  ,  $f_P = \frac{1}{2\pi RC}$

$$\langle V_{mc} \rangle^2 = \int_{\phi}^{\infty} S_{vc}(f) df = \frac{kT}{C}$$



$$R_1 > R_2 \Rightarrow S_{vc}(f=\phi) \uparrow \text{ se } R \uparrow$$

$$\text{Per } R=\phi \Rightarrow S_{vc} \rightarrow \phi, B \rightarrow \infty$$

$$\Rightarrow \langle V_c \rangle^2 = \frac{kT}{C}$$

$$V_c = V_o + V_E$$

$$Q_c = Q_o + Q_E$$

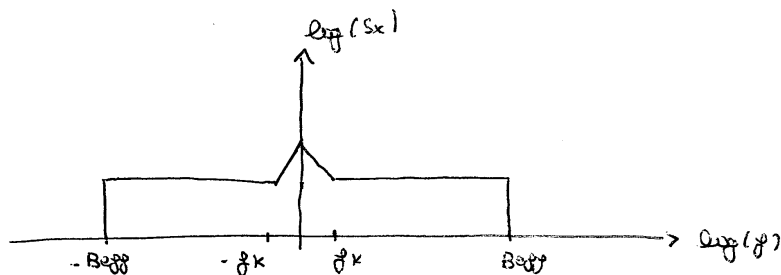
$$\rightarrow Q_E = V_E \cdot C$$

$$\langle Q_E \rangle^2 = \langle V_E \rangle^2 \cdot C^2 = kT \cdot C$$

$\frac{kT}{C}$  rappresenta il minimo rumore ottenibile durante un campionamento.

## DENSITA' SPETTRALE DI POTENZA DI RUMORE COMPLETA

Rappresentazione schematica della densità spettrale di rumore



$$X_{mrot} = X_m + X_{io} \quad (\text{rumore udibile totale})$$

$\uparrow$              $\uparrow$   
 Rumore    Offset

$X_{io}$  può essere considerato un processo stocastico, composto da un segnale  $x$  con valore casuale.

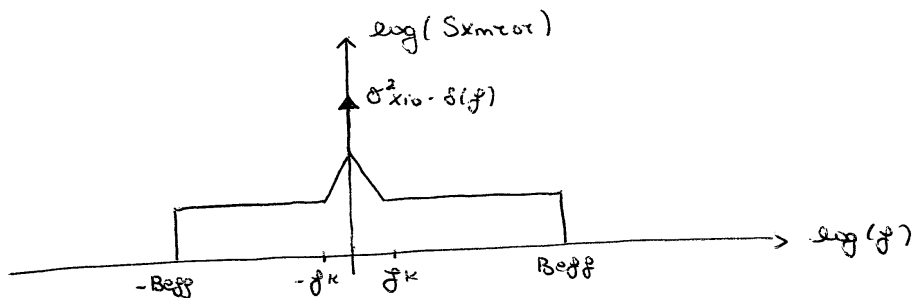
Funzione di correlazione:

$$\begin{aligned}
 R_{X_{mrot}}(\tau) &= \langle X_{mrot}(t) X_{mrot}(t-\tau) \rangle \\
 &= \langle (X_m(t) + X_{io})(X_m(t-\tau) + X_{io}) \rangle \\
 &= \langle X_m(t) X_m(t-\tau) \rangle + \langle X_{io}^2 \rangle + \langle X_{io} X_m(t-\tau) \rangle + \langle X_m(t) X_{io} \rangle
 \end{aligned}$$

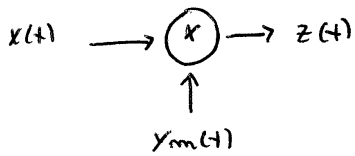
Offset e rumore possono essere considerati indipendenti: \*

$$R_{X_{mrot}}(\tau) = R_{X_m}(\tau) + \sigma_{X_{io}}^2$$

$$S_{X_{mrot}} = S_{X_m} + S_{io} \quad \text{con} \quad S_{io} = \sigma_{X_{io}}^2 \cdot \delta(f)$$



# MODULAZIONE DI PROCESSI STOCASTICI



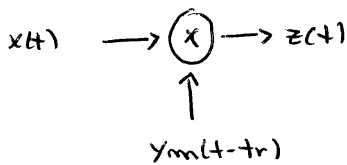
$x(t)$ : processo stocastico  
 $y_m(t)$ : segnale deterministico.

L'uscita è determinata  $S_z(f)$  ovvero la PSD di  $z(t)$ .

$y_m(t) = A \cdot \cos(\omega t + \theta)$  segnale deterministico.

In questo caso  $z(t)$  potrebbe essere un processo non stazionario.

Per fare di ottenere  $z(t)$  come un processo stazionario è necessario che  $y_m$  sia un processo stocastico.

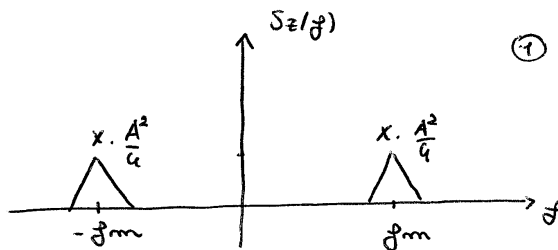
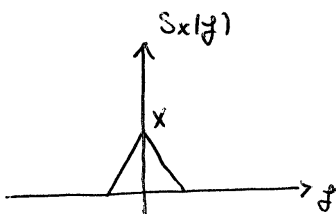


$x(t)$ : processo stocastico  
 $y_m(t - t_r)$ : processo stocastico

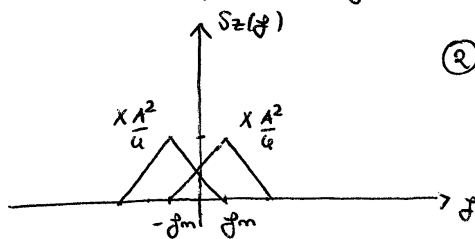
$t_r \in (-\infty, +\infty)$  è un ritardo casuale del segnale  $y_m$ .

$$y_m(t - t_r) = A \cdot \cos(\omega(t - t_r) + \theta) = A \cos(\omega t - \omega t_r + \theta) = A \cos(\omega t + \theta')$$

con  $\theta' = \theta - \omega t_r$  fase casuale del segnale  $y_m$ .

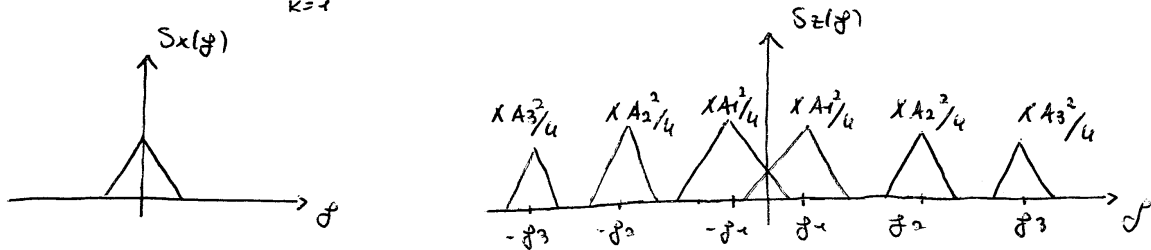


$$S_z(f) = \frac{A^2}{4} [S_x(f - f_m) + S_x(f + f_m)]$$



$$y_m(t) = \sum_{k=1}^M A_k \cos(\omega_k t + \theta_k)$$

$$\begin{aligned} \rightarrow y_m(t-t_r) &= \sum_{k=1}^M A_k \cos(\omega_k(t-t_r) + \theta_k) \\ &= \sum_{k=1}^M A_k \cos(\omega_k t + \theta'_k) \quad ; \quad \theta'_k = \theta_k - \omega_k t_r \end{aligned}$$



$$S_z(f) = \sum_{k=1}^M \frac{A_k^2}{4} \left[ S_x(f-f_k) + S_x(f+f_k) \right]$$

La fase  $\theta_k$  non ha effetto sulla PSD risultante.

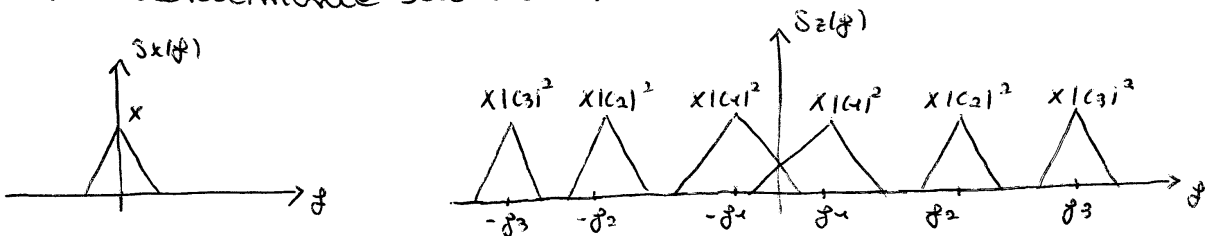
$$y_m(t) = \sum_{k=1}^M A_k \cos(\omega_k t + \theta_k) = \sum_{k=-M}^M C_k e^{j\omega_k t} \quad \begin{cases} \omega_{-k} = \omega_k \\ C_{-k} = C_k^* \end{cases}$$

Che deriva da:

$$A_k \cos(\omega_k t + \theta_k) = C_k e^{j\omega_k t} + C_k^* e^{-j\omega_k t} \quad ; \quad C_k = \frac{1}{2} A_k e^{j\theta_k}$$

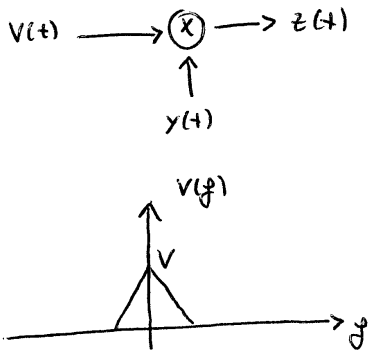
$$|C_k| = \frac{A_k}{2}, \quad \angle C_k = \theta_k$$

Equivalentemente risulta:



$$S_z(f) = \sum_{k=1}^M |C_k|^2 \left[ S_x(f-f_k) + S_x(f+f_k) \right]$$

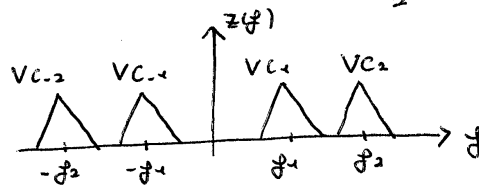
nel caso di modulazione di segnale deterministico  
 di banda di spettro e non di PSD.  
 il segnale assunto dai coefficienti  $C_k$  adesso ha  
 significato.



$V(t), y(t)$  = segnali deterministici

$$y(t) = \sum_{k=-K}^K C_k e^{j\omega_k t}$$

$$C_k = \frac{1}{2} V_k e^{j\theta_k}$$





## RELAZIONE TRA SEGNALI TEMPO DISCRETO (TD) E TEMPO CONTINUO (TC)

Il segnale TD può essere considerato come un certo numero di istanti numerabili.

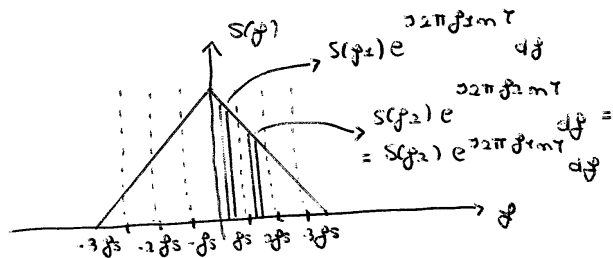
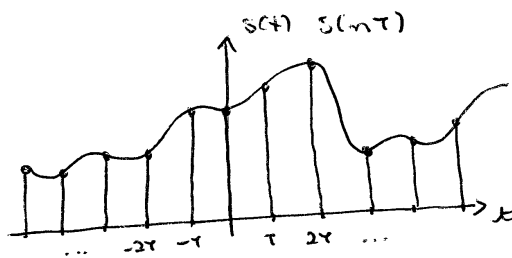
Tipicamente questi istanti sono separati dal medesimo tempo di campionamento

$T$ : tempo di campionamento

$f_s$ : frequenza di campionamento

Un segnale DT può essere il risultato di un campionamento di un segnale TC.

Bisogna però ricordare che qualunque sequenza di valori costituisce un segnale TD.



$$s(t) = \int_{-\infty}^{+\infty} S(f) e^{j2\pi f t} df$$

FOURIER TRASFORMA

$$s(nT) = \int_{-\infty}^{+\infty} S(f) e^{j2\pi f n T} df$$

DISCRETE FOURIER TRASFORMA

Lo stesso  $S(f)$  del CT può essere utilizzato per il DT.

In particolare:

$$f = -\infty \Rightarrow f = +\infty$$

$f_2 = f_1 + f_s$ :  $f_2$  ed  $f_1$  producono lo stesso identico segnale.

Il loro contributo può essere valutato nel seguente modo:

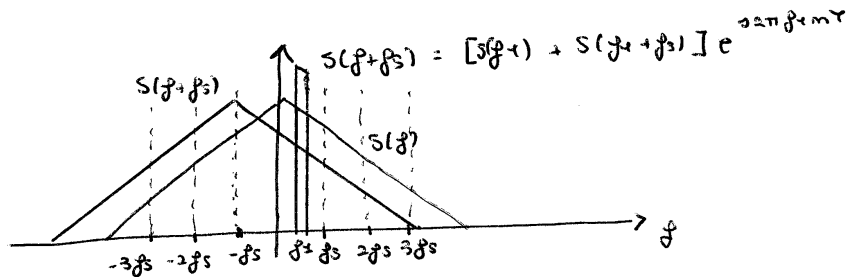
modo:

$$f_1 : S(f_1) e^{j2\pi f_1 mT} df_1$$

$$f_2 : S(f_2) e^{j2\pi f_2 mT} = S(f_2) e^{j2\pi (f_1 + f_s) mT} df_2$$

$$f_1 + f_2 : [S(f_1) + S(f_2)] e^{j2\pi (f_1 + f_s) mT} df_1$$

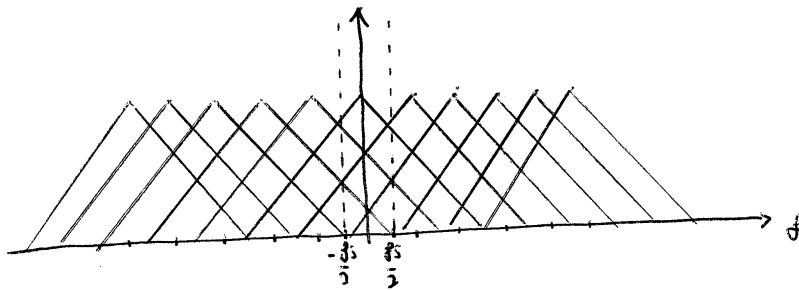
È equivalente a sommare lo spettro  $S(f)$  con una replica trasposta di  $-f_s$ .



A questo punto il contributo di  $f_2$  è stato considerato. Stesso ragionamento può essere ripetuto per frequenze multiple di  $f_s$ .

La DFT di un DT attenuato da un CT può essere ottenuta sommando repliche di  $S(f)$  trasposte di  $f_s$ .

La somma sarà poi valutata nell'intervallo  $[-f_s/2; f_s/2]$ .

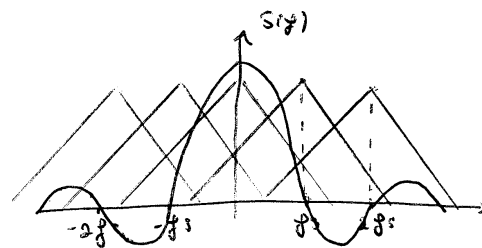
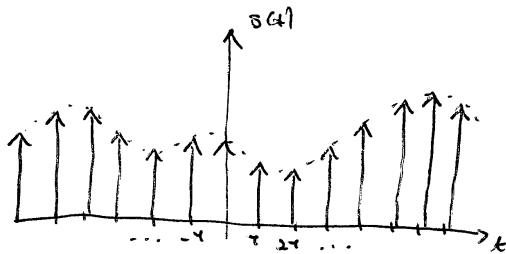


# RICOSTRUZIONE DI UN SEGNALE TC PROVENIENTE DA UN SEGNALE TD

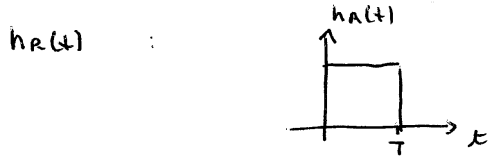
Da un segnale TC è possibile ottenere un segnale TD con due metodi:

- Delta Sampled Signal: CT deve moltiplicare il segnale TD per una sequenza infinita di  $\delta$ .
- Sampled & Held: CT deve campionare il segnale TD e mantenerlo per un certo intervallo temporale.

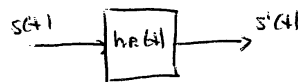
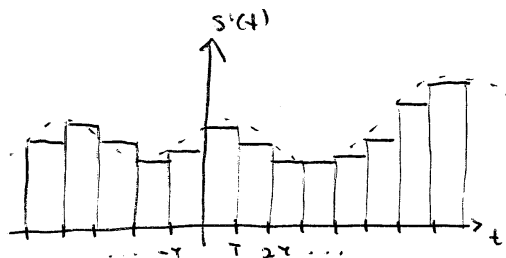
Il segnale Delta Sampled può essere considerato il limite di un segnale rettangolare nel tempo.



Il segnale S&H può essere ottenuto dalla convoluzione di un segnale  $\delta$  sampled con una funzione rettangolare



NRZ: Non return to Zero



Questo corrisponde a moltiplicare  $S(f)$  per il prodotto dei  
delta sampled sigmoide per:  $T \cdot e^{-j\pi f T} \cdot \text{sinc}(\pi f T)$  e

Dopo il passaggio al dominio nel dominio della  
frequenza risulta:

$$T e^{-j\pi f T} \text{sinc}(\pi f T) \cdot \frac{1}{T} \cdot \left( \sum_{m=-\infty}^{+\infty} S(f - m f_s) \right)$$

↑  
dovuta dal completamento a  $\delta$ .

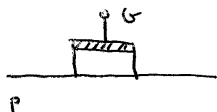


Q

CCD (ottico)

Intensità radiazioni  
visibile

È un dispositivo  
costituito da un MOS



Non avendo drain e source, applicando un gradiente di tensione  $\uparrow$  al gate e mandando in immersione il MOS accade che non si raggiunge immediatamente l'immersione ma si ha uno stato di arrestamento e non si ha la carica libera proveniente da drain e source.

Qui si osserva spettro carica dal substrato oppure carica generata per generazione termica.

Risulta che, a causa della lentezza del processo, per frequenze di secondo è possibile non avere alcuna carica di immersione.

Se la luce colpisce il dispositivo si genera carica per generazione: alcune cariche dal campo elettrico vanno in bulk mentre gli elettroni permangono sotto il gate.

In realtà il dispositivo misura l'integrale di intensità luminosa.

La carica viene raccolta utilizzando condensatori adiacenti e facendo scorrere la carica fino ad un determinato terminale.

Sensore radiazione  
omnidirezionale

Radiazione incidente o  
parziale ed alta  
energia.

I	Fotodiodi:	Radiazione IR, VISIBILE, UV.
C	Sensori Capacitivi meccanici	Accelerazione Pressione Velocità angolare
	Sensori capacitivi chimici	Combinazione GAS.

### CONFIGURAZIONE DI SENSORI CAPACITIVI

Configurazione Differenziale:

$$\begin{array}{ccc}
 C_1 \begin{array}{c} | \\ \hline | \end{array} & \begin{array}{c} | \\ \hline | \end{array} C_2 & \begin{array}{l} C_1 = C_0 + \Delta C(x) \\ C_2 = C_0 - \Delta C(x) \end{array} & \Delta C(x) = f(x)
 \end{array}$$

Configurazione Pseudo Differenziale:

$$\begin{array}{ccc}
 C_1 \begin{array}{c} | \\ \hline | \end{array} & \begin{array}{c} | \\ \hline | \end{array} C_2 & \begin{array}{l} C_1 = C_0 + \Delta C(x) \\ C_2 = C_0 \end{array} & \Delta C(x) = f(x)
 \end{array}$$

In entrambe le configurazioni:  $C_1$  e  $C_2$  sono realizzati con la stessa tecnologia, perciò  $C_0$  dipende nello stesso modo da processo e temperatura.

Configurazione Unipolare:

$$C_x \begin{array}{c} | \\ \hline | \end{array} \quad C_x = C_0 + \Delta C(x) \quad \Delta C(x) = f(x)$$

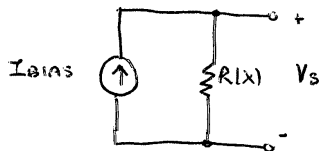
$$\Delta C_{FS} = |C(x_{max}) - C(x_{min})|$$

$$C_0 \gg \Delta C_{FS}$$

Se inseriamo un condensatore  $C_A = C_0$  per rendere la configurazione differenziale bisogna ricordare che  $C_0$  non dipende nello stesso modo da processo e T.

## CONVERSIONE DI UN SENSORE CON USCITA RESISTIVA IN USCITA DI TENSIONE

Metodo semplice:



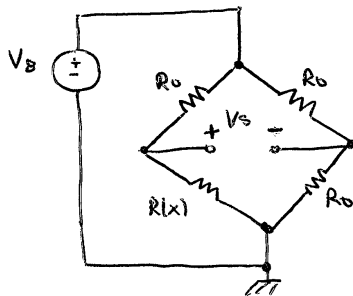
$$V_s = I_{bias} \cdot R(x)$$

$$R(x) = R_0 + \Delta R(x) \quad , \quad \Delta R(x) = f(x)$$

$$\rightarrow V_s = I_{bias} R_0 + I_{bias} \Delta R(x)$$

La presenza di  $I_{bias} \cdot R_0$  peggiora la qualità del segnale fornito dal sensore.

Metodo a Ponte di Wheatstone:



$$V_s = \frac{\Delta R(x)}{2R_0} \cdot V_B$$

con  $\Delta R(x) \ll R_0$ .

$$V_s = \left( \frac{R_0 + \Delta R(x)}{R_0 + \Delta R(x) + R_0} - \frac{R_0}{R_0 + R_0} \right) \cdot V_B$$

$$= \frac{R_0 + \Delta R(x) - R_0}{2R_0} \cdot V_B = \frac{\Delta R(x)}{2R_0} \cdot V_B$$



## INTERFACCIE AFE IN FUNZIONE DI $E_x$

$E_x$	AFE	
V	IN. AMPL.	
R	IN. AMPL.	← necessario che AFE fornisca lo stimolo in corrente
I	TIA	
C	TIA	← necessita di una conversione $C \rightarrow I$
	CHARGE AMPLIFIER	
Q	CHARGE AMPLIFIER	

IN. AMPL : Amplificatore da strumentazione.

TIA : Trans-Impedance Amplifier.

### ANALISI IN. AMPL.

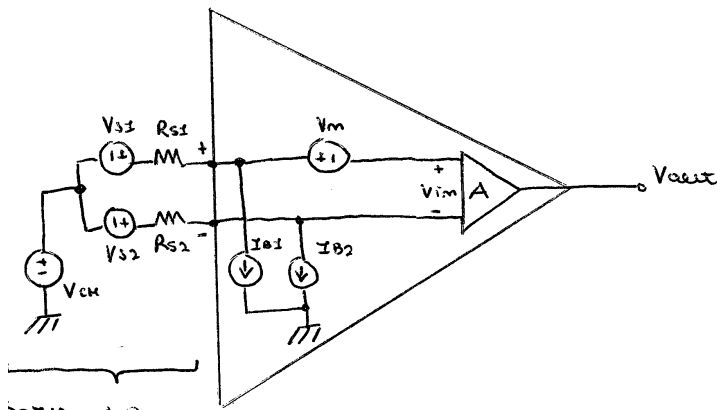
#### Caratteristiche Primarie:

- Guadagno noto con precisione
- Elevata impedenza di ingresso
- Ingresso differenziale

#### Caratteristiche Secondarie:

- Offset piccolo
- I<sub>bias</sub> piccola
- Rumore di tensione e corrente in input ridotto
- Elevato CMRR ( $> 80$  dB)

Caratterizzazione:



$V_m$ : Equivalente di errore di offset e rumore.

$$V_m = V_{m_{tot}}$$

segnale  
di comando  
differenziale.

$$V_{im} = V_{cm} + V_{s1} - I_{B1} R_{s1} - V_m - (V_{cm} + V_{s2} - I_{B2} R_{s2})$$

$$= \underbrace{V_{s1} - V_{s2}}_{\text{Tensione differenziale}} - \underbrace{R_{s1} I_{B1} + R_{s2} I_{B2}}_{\text{Disturbo}} - V_m = V_{s1} - V_{s2} - V_e$$

→ segnale utile

$$V_e = R_{s1} I_{B1} - R_{s2} I_{B2} + V_m.$$

$$DC: V_e = R_{s1} I_{B1} - R_{s2} I_{B2} + V_{io}$$

$$\text{Se } R_{s1} = R_{s2} = R_s: V_e = V_{io} + R_s (I_{B1} - I_{B2})$$

$$= V_{io} + R_s I_{io}$$

con  $I_{io} = I_{B1} - I_{B2}$  corrente di offset.

Per il rumore, ovvero per  $\omega \neq 0$ :

$$S_{Ve} = S_{Vm} + R_{s1}^2 S_{I_{B1}} + R_{s2}^2 S_{I_{B2}}$$

↑  
valuto nel caso di non correlazione tra  $V_m, I_{B1}, I_{B2}$ .

meo caso in cui :

$$R_{s1} = R_{s2} = R_s$$

$$S_{I_{b1}} = S_{I_{b2}} = S_{I_b}$$

$$\rightarrow S_{V_e} = S_{V_m} + 2R_s^2 S_{I_b}$$

meo caso di correlazione tra  $I_{b1}$  ed  $I_{b2}$  :

$$S_{V_e} = S_{V_m} + R_s^2 (S_{I_{b1}} + S_{I_{b2}} - 2S_{I_{b1}/I_{b2}})$$

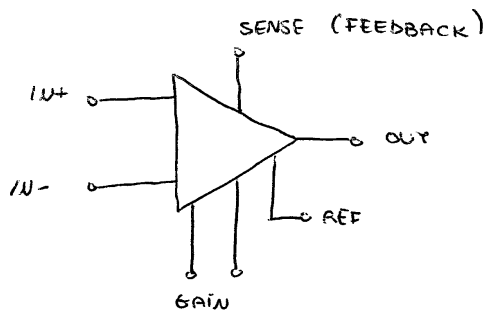
meo caso di correlazione piena :  $S_{I_{b1}/I_{b2}} = S_{I_{b1}} = S_{I_{b2}}$

$$\rightarrow S_{V_e} = S_{V_m}$$

meo caso di correlazione  $S_{V_e}$  si riduce significativamente le prestazioni del sistema.

meo trattamento appena effettuato è stato trascurato il rumore dovuto ad  $R_{s1}$  ed  $R_{s2}$ .

Amplificatore da strumentazione General Purpose



GAIN: necessari al fine di settare il guadagno.

Soltanto si introduce una resistenza  $R_0$  al fine di mutare il guadagno del primo stadio di amplificazione. (6)

REF: consente di fissare la tensione di out di un valore costante.

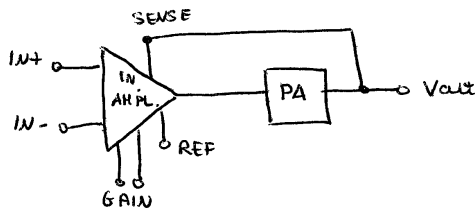
È un ingresso a bassa resistenza  $\rightarrow$  è necessario usare un amplificatore a bassa resistenza.

$$V_{out} = G \cdot V_{in} + V_{REF} \quad \text{con} \quad V_{in} = V_{in+} - V_{in-}$$

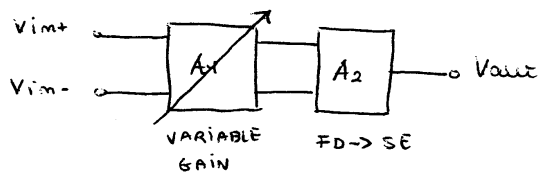
SENSE: Utilizzato per ridurre errori di non linearità o disturbi introdotti da uno stadio successivo a IN, AMPL.

$\rightarrow$  consente di inserire lo stadio successivo nell'interno della catena di reazione ottenendo benefici in termini di aumento della precisione dell'uscita

es:



Struttura di un' IN. ANPL.



$A_2$  esattamente uguale ad  $\pm$ : si occupa solo della conversione FD  $\rightarrow$  SE.

$V_{mari}$ : Rumore riportato in ingresso

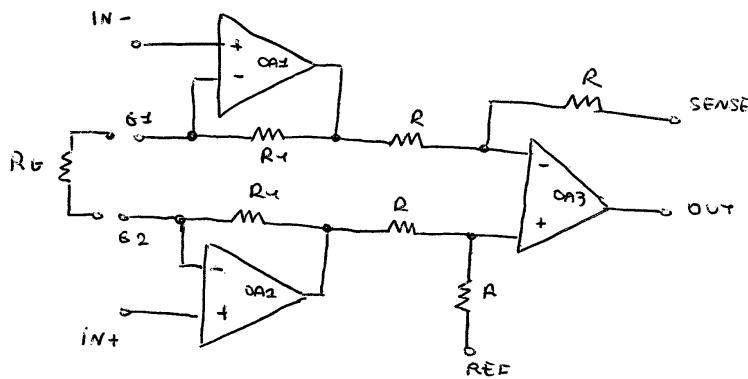
$$V_{mari} = V_{m1} + \frac{V_{m2}}{A_1}$$

$V_{m1}$ : offset di ingresso

$V_{m2}$ : offset di uscita

$$V_{m2} \sim (G \pm 1) V_{m1}$$

Schema circuitale



$$G = 1 + 2 \frac{R_1}{R_0}$$

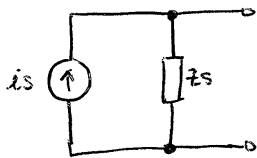
Il terminale REF è connesso ad un resistore che realizza la f. d. t. di OA3.

$V_{REF}$  deve essere una sorgente a bassa impedenza per non alterare le caratteristiche del sistema (doveva CHRR, etc.)

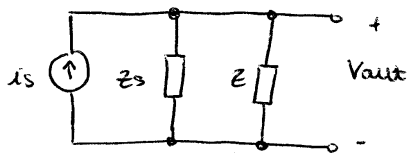
## IIA (TRANS-IMPEDANCE AMPLIFIER)

Sono utilizzate per leggere l'output di sensori che forniscono in uscita una corrente o una grandezza fisicamente convertibile in una corrente.

Equivalenti di Norton di un sensore:



Se modo più semplice per convertire una corrente in una tensione è inserire una resistenza:



$$V_{out} = i_s \cdot \frac{z_s}{z + z_s} \cdot z = i_s \cdot \frac{z}{1 + \frac{z}{z_s}}$$

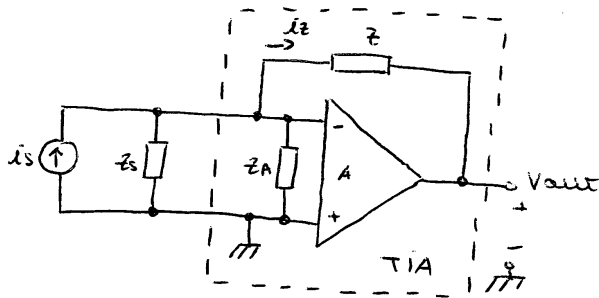
Se modo target è ottenere  $V_{out} = i_s \cdot z$ .

$$\text{Se } \left| \frac{z}{z_s} \right| \ll 1 \rightarrow |z| \ll |z_s|$$

$$\text{risultato } V_{out} \sim i_s \cdot z \left( 1 - \frac{z}{z_s} \right), \quad \left| \frac{z}{z_s} \right| = \epsilon_r : \text{ Errore relativo}$$

$|z|$  non può essere inserita troppo piccola in maniera di mantenere  $V_{out} \sim i_s \cdot z$  accettabile e non ridurre SUR.

Si procede quindi ad utilizzare un TIA:



$z_A$ : impedenza di input di A.O.

Supponendo che il guadagno dell'amplificatore  $A \rightarrow \infty$  e considerando valido il c.c.v. risulta:

$$V_{out} = -i_s \cdot z$$

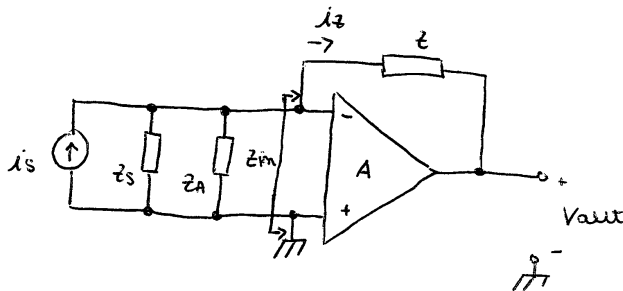
Il TIA è caratterizzato da una serie di problemi di non idealità:

- 1) Guadagno finito (produce  $z_A > \phi$ );
- 2) Rumore;
- 3) Stabilità.

### GUADAGNO FINITO

$$i_z = i_s \text{ solo se } z_A = \phi \text{ (c.c.v. valido)}$$

Ricordando che il c.c.v. è un'approssimazione, l'impedenza in ingresso può essere calcolata così:



$$Z_T = Z_S // Z_A$$

Tramite il teorema di Millman:  $Z_{im} = \frac{z}{1 - K_m}$ ,  $K_m = -A$ .

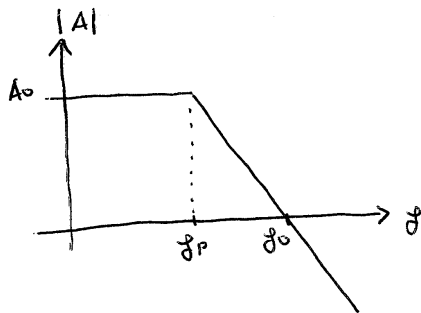
Considerando A.O. a polo dominante:

$$A = A_0 \cdot \frac{1}{1 + j \frac{\omega}{f_p}} ; \quad f_p : \text{frequenza del polo.}$$

$$\rightarrow Z_{im} = \frac{z}{1 + \frac{A_0}{1 + j \frac{\omega}{f_p}}} = \frac{z \left( 1 + j \frac{\omega}{f_p} \right)}{1 + j \frac{\omega}{f_p} + A_0} = \frac{z}{1 + A_0} \cdot \frac{1 + j \frac{\omega}{f_p}}{1 + j \frac{\omega}{f_p} (1 + A_0)}$$

$$f_p (1 + A_0) \sim \text{GBW.} \quad (\text{GBW} = f_p A_0)$$

Per un A.O. a polo dominante:

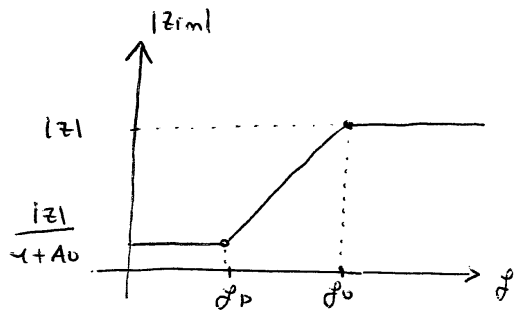


$$\text{GBW} = f_0 \quad \left( \begin{array}{l} \text{frequenza di} \\ \text{transizione} \end{array} \right)$$

$$Z_{im} = \frac{z}{1 + A_0} \cdot \frac{1 + j \frac{\omega}{f_p}}{1 + j \frac{\omega}{f_0}}$$

$$f = \omega \rightarrow Z_{im} = \frac{z}{1 + A_0} \quad (\text{valido solo in d.e.})$$





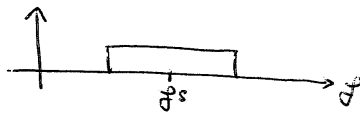
$$|Z_{im}| = \frac{|z|}{1+A_0}, \quad f < f_p$$

$$f_p \sim 10 \text{ Hz}$$

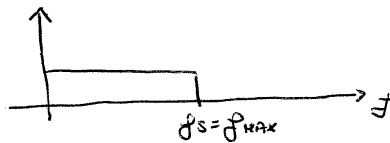
Spesso ci troveremo ad operare  $f_p \ll f \ll f_0$ .

Definiamo  $f_s$  la frequenza di segnale, ovvero la frequenza del segnale in ingresso.

Per un sistema passa banda la  $f_s$  coincide con la frequenza centrale:



Per un sistema passa basso a larga banda  $f_s$  coincide con  $f_{max}$ :



Supponendo che:  $f_p \ll f_s \ll f_0$

$$Z_{im} \sim \frac{z}{1+A_0} \cdot j \frac{f_s}{f_p} = z \cdot j \frac{f_s}{f_0}$$

$$\text{Se } f_s = \frac{f_0}{10} \rightarrow |Z_{im}| = \frac{|z|}{10}$$

$$\text{Se } f_s = \frac{f_0}{100} \rightarrow |Z_{im}| = \frac{|z|}{100}$$

liscata  $V_{out} = -z \cdot \frac{z_r}{z_{im} + z_r} \cdot i_s = -z i_s \cdot \frac{1}{1 + \frac{z_{im}}{z_r}} \sim -z i_s \left( 1 - \frac{z_{im}}{z_r} \right)$

considerando  $\left| \frac{z_{im}}{z_r} \right| \ll 1$

Si assume  $\left| \frac{z_{im}}{z_r} \right| = \epsilon_r$

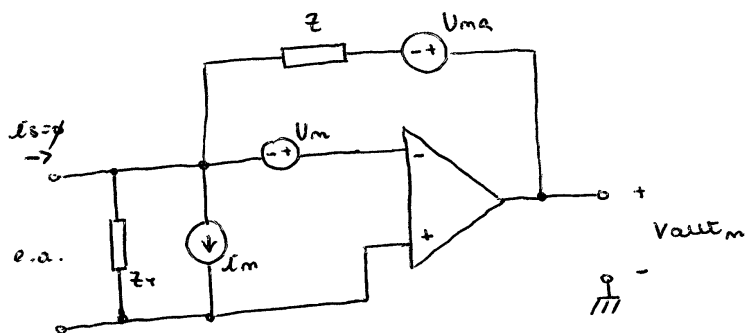
La sensibilità del sistema di acquisizione è data da

$\frac{\partial V_{out}}{\partial i_s} = -z$  (nel caso ideale)

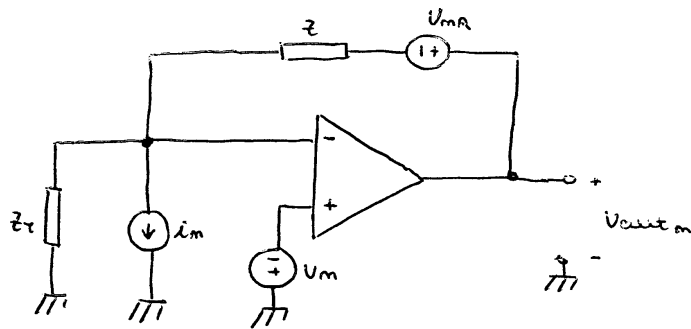
**RUMORE**

Si considerano 3 sorgenti di rumore:

- $i_m \rightarrow S_{im}(f)$  corrente di bias dell'A.O.;
- $U_m \rightarrow S_{Um}(f)$  rumore di tensione in ingresso ad A.O.;
- $U_{MA} \rightarrow S_{UMA} = 4kT \operatorname{Re}\{z\}$  rumore termico dovuto a  $z$ .



Trovando  $U_m$  risulta:



Valido e considerato in c.c.a.:

$$V_{outm} = i_m \cdot Z - U_m \cdot \left( 1 + \frac{Z}{Z_r} \right) + U_{MR}$$

$i_{m_{max}}$ : corrente termica di corrente spartita in ingresso

$$i_{m_{max}} = \frac{V_{outm}}{-Z} = -i_m + U_m \left( \frac{1}{Z} + \frac{1}{Z_r} \right) - \frac{U_{MR}}{Z} \quad \left( \frac{\partial V_{out}}{\partial i_s} = -Z \right)$$

$i_{m_{max}}$  viene calcolato in quanto l'input è in corrente.

$$i_{m_{max}} \rightarrow S_{i_{m_{max}}}$$

$i_m$  dipende solo da A.O.: va scelto un A.O. appropriato in modo da ridurre questo contributo di rumore

$U_m$  dipende solo da A.O.: posso comunque scegliere il valore di  $Z$ ;  $Z_r$  non è modificabile in quanto è definita dal sensore e dall'A.O.

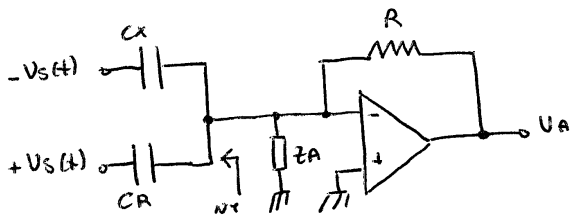
Gradirei un valore di  $Z$  elevato, ma aumenta il valore di  $Z$  significa aumentare l'errore relativo.

$$Z \uparrow \Rightarrow Z_{in} \uparrow \Rightarrow \epsilon_r \uparrow$$

$$\text{Caso assoluto } Z \rightarrow \infty : i_{m_{max}} = -i_m + U_m / Z_r$$

# TIA COME INTERFACCIA PER SENSORI CAPACITIVI

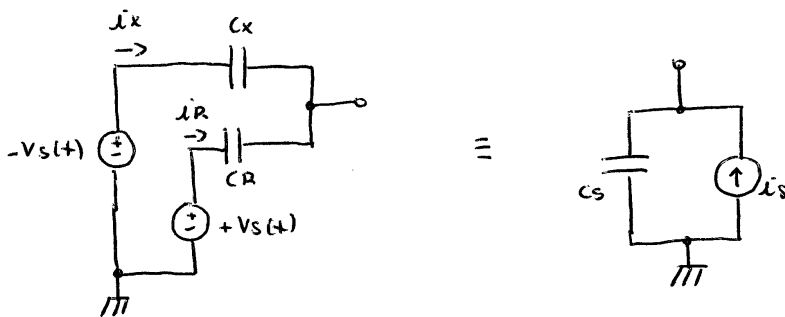
Utilizziamo un sensore capacitivo differenziale:



$$V_s(t) = V_{sh} \cdot \cos(\omega_s t)$$

$$\omega_s = 2\pi f_s$$

Schematizzo il sensore con equivalente di Norton:



$$C_s = C_x + C_R$$

$$Z_s = \frac{1}{j\omega_s C_s}$$

$$i_s = i_x + i_R$$

$$= -C_x \cdot \frac{d}{dt} V_{sh}(t) + C_R \frac{d}{dt} V_s(t)$$

$$= (C_x - C_R) V_{sh} \omega_s \sin(\omega_s t)$$

$$= \Delta C V_{sh} \omega_s \sin(\omega_s t)$$

$$\Delta C = C_x - C_R$$

Idealmente accade che:

$$V_A = -R \cdot i_s(t) = -R \Delta C \omega_s V_{sh} \sin(\omega_s t)$$

Se fornisco in uscita il segnale utile mediante  
per  $\sin(\omega_s t)$

È necessaria una demodulazione al fine di  
recuperare un segnale in regime stazionario.

Revolmente accade che:

È necessario inserire nello schema l'impedenza di  
ingresso  $Z_A$  dall'A.O.

$$Z_T = Z_S // Z_A$$

Considerando  $Z_A$  puramente capacitivo:  $Z_A = \frac{1}{j\omega C_A}$

risultata  $Z_T = \frac{1}{j\omega C_T}$  con  $C_T = C_S + C_A = C_X + C_R + C_A$ .

Per  $f_p \ll f_s \ll f_0$  risultata:  $Z_{im} \approx R \cdot j \frac{f_s}{f_0}$

$$E_r = \left| \frac{Z_{im}}{Z_T} \right| = \left| R \cdot j \frac{f_s}{f_0} \cdot \frac{j\omega C_T}{1} \right| = R \cdot \frac{f_s}{f_0} \cdot 2\pi f_s \cdot C_T$$

Definendo  $f_B = \frac{1}{2\pi R C_T}$

$f_B$ : è il polo della funzione  
di reazione  $\beta$  che  
risultata essere una  
f. d. t. LP.

$$\rightarrow E_r = R \cdot \frac{f_s}{f_0} \cdot \frac{f_s}{f_B}$$

$$\text{con: } \begin{cases} f_s < f_0 \Rightarrow E_r \downarrow \\ f_s \leq f_B \end{cases}$$

$$I_{max} = \frac{V_{outm}}{-R} = -i_m + V_m \left( \frac{1}{R} + \frac{1}{Z_T} \right) - \frac{V_{mR}}{R}$$

$$, Z_T = \frac{1}{j\omega C_T}$$

$$S_{imRi} = S_{im} + S_{Um} \left( \frac{1}{R^2} + \omega_s^2 C_T^2 \right) + S_{UmR} \cdot \frac{1}{R^2}$$

$$= S_{im} + S_{Um} \left( \frac{1}{R^2} + \omega_s^2 C_T^2 \right) + \frac{U_{mR}}{R^2}$$

$$= S_{im} + S_{Um} \omega_s^2 C_T^2 \left( 1 + \frac{1}{(\omega_s C_T R)^2} \right) + \frac{U_{mR}}{R}$$

considerando  
i contributi tutti  
successivi.

(11)

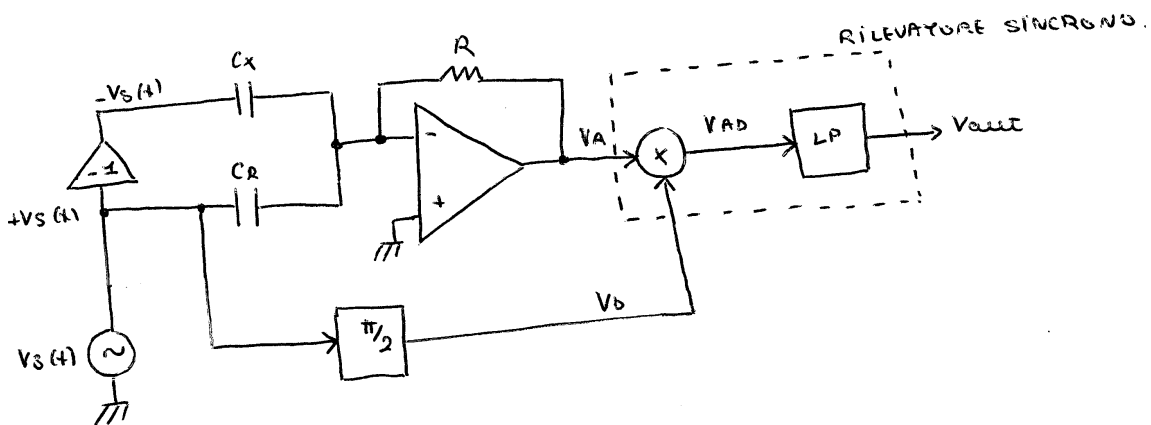
Si vede immediatamente che:

$$R \uparrow \Rightarrow S_{imr} \downarrow, E_r \uparrow$$

È necessario stimare l'errore in funzione della profondità d'ingresso  $\Delta C$ .

Immagi non riportata in un equivalente summate di capacità; per far ciò è necessario dividere immagini per la sensibilità accumulata alla conversione di  $\Delta C$  in  $i_s$ .

Prima è necessario definire lo stato di demodulazione.



$$V_s(t) = V_{sh} \cdot \cos(\omega_s t)$$

$$V_o(t) = -V_{oh} \sin(\omega_s t), \quad V_{oh} \neq V_{sh}$$

L'inserimento del  $-$  è un artificio matematico che semplifica la trattazione.

$$V_A(t) = S(t) \cdot \sin(\omega_s t), \quad S(t) = -\Delta C(t) \cdot V_{sh} \cdot \omega_s R$$

$$V_{AD}(t) = -V_{oh} \cdot S(t) \cdot \underbrace{A_M}_{\uparrow} \sin(\omega_s t) \sin(\omega_s t)$$

Guadagno del moltiplicatore: SCALE FACTOR  $[V^{-1}]$

N.B: Questo sistema prevede il passaggio di  $U_s(t)$  attraverso un ampe, che guadagna  $-1$  ed avrà un suo ritardo di fase. Il piccolo sfasamento si traduce in un errore di offset sistematico quando  $\Delta C(t) = \phi$ .

Risolvera i problemi relativi alla semplificazione della trattazione col c.c.n imperfetto.

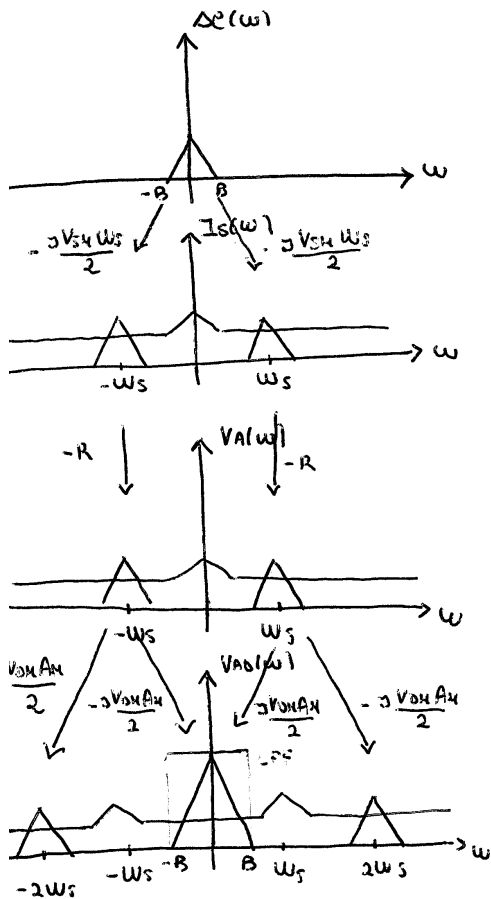
L'espressione trovata per  $|E_r| = R \frac{\partial s}{\partial \phi} \cdot \frac{\partial s}{\partial \beta}$  tiene conto anche del fatto che a causa del c.c.n imperfetto,  $i_s$  non va tutta dentro  $R$  ma una parte finisce in  $Z_{in}$ .

Questo circuito non tiene conto che se voglio volentieri  $V_A$  non parto da  $\phi$  ma in realtà parto da un tensione  $\neq \phi$  a causa della presenza di c.c.n.

La soluzione potrebbe essere essere non leggere  $V_A$  ma la ddp ai capi di  $R$  con un i.v. AHP.

Questa soluzione deriva dal fatto che  $\otimes$  essendo un moltiplicatore a cello di Gilbert  $R_A$  ingresso differenziale  $\rightarrow$  viene automaticamente leggere la tensione ai capi di  $R$ .

(66)



$$i_s(t) = \Delta e(t) V_{sm} \omega_s \sin(\omega_s t)$$

$$I_s(j) = V_{sm} \omega_s \cdot \frac{1}{2j} [\Delta e(j+\omega_s) - \Delta e(j-\omega_s)]$$

$$= j \frac{V_{sm} \omega_s}{2} [\Delta e(j-\omega_s) - \Delta e(j+\omega_s)]$$

$$V_A(t) = -R i_s(t)$$

$$V_A(j) = -j R \frac{V_{sm} \omega_s}{2} [\Delta e(j-\omega_s) - \Delta e(j+\omega_s)]$$

$$V_{out} = V_{AD} = 2 \cdot \frac{V_{DM} A_M}{2} \cdot \frac{R V_{sm} \omega_s}{2} \Delta e(t)$$

$$= \frac{1}{2} V_{DM} A_M R V_{sm} \omega_s \Delta e(t)$$

$$K_D = \frac{V_{DM} A_M}{2}$$

$$\rightarrow V_{out} = K_D R V_{sm} \omega_s \Delta e(t)$$

$$S_{V_{out}} = 2 \cdot \text{Simaxi} \frac{V_{DM}^2 A_M^2}{4} \cdot R^2 = \frac{1}{2} V_{DM}^2 A_M^2 R^2 \text{Simaxi} = 2 K_D^2 R^2 \text{Simaxi}$$

Trouvations e teore :

$$V_{AD}(t) = + R \Delta e(t) V_{sm} \omega_s \cdot V_{DM} A_M \sin(\omega_s t) \sin(\omega_s t)$$

$$= \frac{1}{2} R \Delta e(t) V_{sm} \omega_s \cdot V_{DM} A_M [\cos(\phi) - \cos(2\omega_s t)]$$

$$= \frac{1}{2} R \Delta e(t) V_{sm} \omega_s V_{DM} A_M - \frac{1}{2} R \Delta e(t) V_{sm} \omega_s V_{DM} A_M \cos(2\omega_s t)$$

$$V_{out}(t) = \frac{1}{2} R \Delta e(t) V_{sm} \omega_s V_{DM} A_M = K_D R V_{sm} \omega_s \Delta e(t)$$



N.B: Per non avere oscillazioni occorre un banda  $\omega$  necessario che:  $f_s - f_k > B$ .

$$K_{oc, V_{out}} = \frac{\partial V_{out}}{\partial \Delta C} = K_D R \omega_s V_{SH}$$

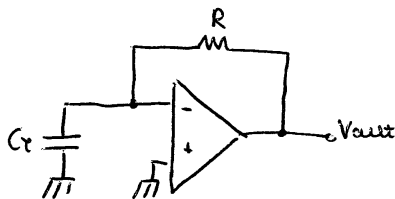
$$\begin{aligned} \rightarrow S_{OCM} &= \frac{S_{V_{outm}}}{K_{oc, V_{out}}^2} = \frac{S_{V_{outm}}}{(K_D R \omega_s V_{SH})^2} = \frac{1}{(K_D R \omega_s V_{SH})^2} \cdot 2 K_D^2 R^2 S_{imati} \\ &= \frac{2}{\omega_s^2 V_{SH}^2} S_{imati} = \frac{2}{\omega^2 V_{SH}^2} S_{im} + \frac{2}{V_{SH}^2} S_{im} C_r^2 \left( 1 + \frac{1}{(\omega_s C_r R)^2} \right) + \frac{4 K_T}{R \omega_s^2 V_{SH}^2} \end{aligned}$$

$\omega_s$ :  $\omega_s \uparrow \Rightarrow S_{OCM} \downarrow$  ma  $C_r \uparrow$

$V_{SH}$ :  $V_{SH} \uparrow \Rightarrow S_{OCM} \downarrow$  (limite  $V_{SH} = U_{DD}$ )

$R$ :  $R \uparrow \Rightarrow S_{OCM} \downarrow$  ma  $C_r \uparrow$

### STABILITA'



$R$  è l'elemento di feedback, attraverso il quale  $V_{out}$  viene riportata in ingresso.

A causa della presenza di  $C_r$ ,

$R$  e  $C_r$  costituiscono un gruppo passa basso, per cui:

$$\beta = \frac{1}{1 + j \frac{\omega}{f_B}}$$

De ritardo di fase introdotto da  $R$  e  $C_r$ , dipende il margine di fase dell'anello di reazione.

Per non avere oscillazioni è necessario non soddisfare le equazioni di Barkhausen per cui:

$$\begin{cases} |BA| > 1 \\ \angle BA = \phi \end{cases}$$

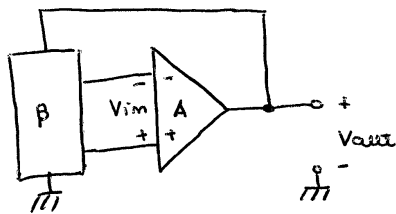
(68)

Il problema è più serio quanto più  $f_B <$  di  $f_0$ .

Se l'obiettivo è ridurre la degradazione del margine di fase è necessario che  $f_B \sim f_0$  ma questo implica bassi valori di  $R$  con un conseguente aumento di  $S_{cm}$ .

### TIA COME INTERFACCIA PER SENSORI CAPACITIVI BASATA SU AMPLIFICATORE DI CARICA A CONDENSATORI CONNUTATI

Premessa 1) Tensione di ingresso di A.O. chiusa in reazione.



$$V_{in} = \beta V_{out} + V_k$$

$$V_{out} = A(V_{in} - V_m)$$

$$V_{in} = \beta A(V_{in} - V_m) + V_k$$

$$V_{in}(1 - \beta A) = -\beta A V_m + V_k$$

$$V_{in} = -V_m \frac{\beta A}{1 - \beta A} + \frac{V_k}{1 - \beta A}$$

Se  $|\beta A| \gg 1 \rightarrow V_{in} \sim V_m$

Da questa configurazione, A.O. chiuso in reazione, in ingresso trova la tensione di summa.

con  $V_{in} = V_{in+} - V_{in-}$

Supponiamo :

$\beta = -\beta_0$  (funzione di reazione passiva e dissipativa)

$A = \frac{A_0}{1 + j \frac{\omega}{\omega_p}}$  (A.O. a polo dominante)

$$U_{im} = U_m \frac{\frac{\beta_0 A_0}{1 + j \frac{\omega}{\omega_p}}}{1 + \frac{\beta_0 A_0}{1 + j \frac{\omega}{\omega_p}}} = U_m \frac{\beta_0 \cdot A_0}{1 + \beta_0 A_0 + j \frac{\omega}{\omega_p}} = \frac{\beta_0 A_0}{1 + \beta_0 A_0} \cdot \frac{U_m}{1 + j \frac{\omega}{\omega_p (1 + \beta_0 A_0)}}$$

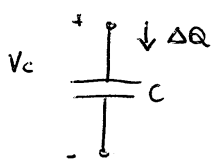
$$\sim \frac{1}{1 + j \frac{\omega}{\omega_0'}} \cdot U_m \quad \text{con} \quad \omega_0' = \omega_p \beta_0 A_0 = \beta_0 \cdot \omega_0$$

( $\omega_0 = \text{GBP}$ )

Che cosa rappresenta  $U_k$  ?

$U_k$  tiene conto dello stato iniziale di carica di elementi capacitivi.

Premessa 2) Carica attraverso un condensatore



$\Delta Q$ : carica che attraversa C  
nell'intervallo  $[t_i, t_f]$

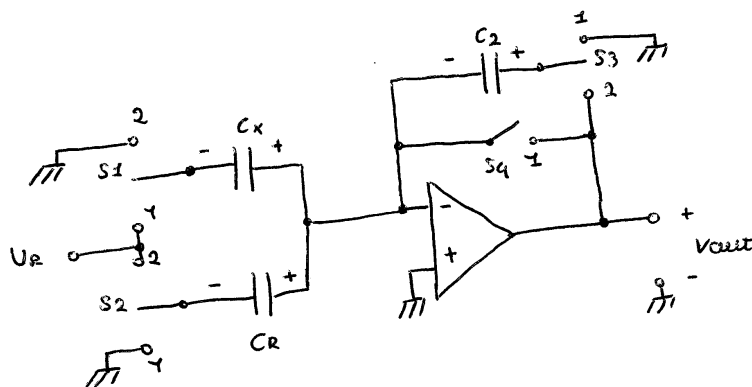
$$\Delta Q = C [V_c(t_f) - V_c(t_i)]$$

$$\rightarrow V_c(t_f) = V_c(t_i) + \frac{\Delta Q}{C}$$

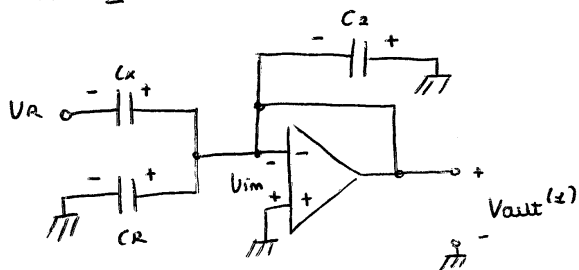
Descrizione circuitale:

$$\Delta C = C_x - C_R$$

$V_R$ : tensione di riferimento costante



FASE 1



$V_{in} = -V_m$  : si tratta del fatto che in questa è una funzione LP.

$$V_{C_2}^{(1)} = V_m^{(1)}$$

$$V_{C_x}^{(1)} = -V_m^{(1)} - V_R$$

$$V_{C_R}^{(1)} = -V_m^{(1)}$$

$$V_{out}^{(1)} = -V_m^{(1)}$$

FASE INTERMEDIA  $i$  ( $YRA \neq EQ$ )

$S_1, S_2, S_3$  in posizione di non decisione  $i$  ( $me \neq me_2$ ).

A causa del compimento completo il rumore  $\frac{KY}{C}$ .

$$V_{C_2}^{(i)} = V_m^{(i)} + V_{E_2}$$

$V_{E_2}$ : rumore  $\frac{KY}{C}$  di  $C_2$

$$V_{C_X}^{(i)} = -V_m^{(i)} - V_R + V_{E_X}$$

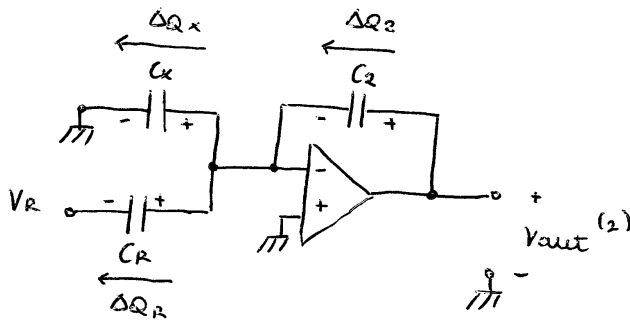
$V_{E_X}$ : rumore  $\frac{KY}{C}$  di  $C_X$

$$V_{C_R}^{(i)} = -V_m^{(i)} + V_{E_R}$$

$V_{E_R}$ : rumore  $\frac{KY}{C}$  di  $C_R$

per effettuare questa analisi dobbiamo considerare il rumore  $V_E$  ( $\frac{KY}{C}$ ) come additivo. In realtà esso può essere contenuto o parzialmente contenuto in  $V_m$ .

FASE 2



$$V_{C_X}^{(2)} = -V_m^{(2)}$$

$$V_{C_R}^{(2)} = -V_m^{(2)} - V_R$$

$$V_{C_2}^{(2)} = V_{C_2}^{(i)} + \frac{\Delta Q_2}{C_2}$$

,  $C_2$  a differenza di  $C_X$  e  $C_R$  conserva memoria della fase precedente.

$$\Delta Q_2 = \Delta Q_X + \Delta Q_R = C_X (V_{C_X}^{(2)} - V_{C_X}^{(i)}) + C_R (V_{C_R}^{(2)} - V_{C_R}^{(i)})$$

$$= C_X [-V_m^{(2)} + V_m^{(i)} + V_R - V_{E_X}] + C_R [-V_m^{(2)} - V_R + V_m^{(i)} - V_{E_R}]$$

$$\begin{aligned}
V_{\text{out}}^{(2)} &= -V_m^{(2)} + V_{C2}^{(2)} = -V_m^{(2)} + V_{C2}^{(1)} + \frac{\Delta Q_2}{C_2} \\
&= -V_m^{(2)} + V_m^{(1)} + V_{E2} + \frac{C_x}{C_2} [-V_m^{(2)} + V_m^{(1)} + V_R - V_{EX}] + \frac{C_R}{C_2} [-V_m^{(2)} - V_R - V_m^{(1)} - V_{ER}] \\
&= \frac{C_x}{C_2} V_R - \frac{C_R}{C_2} V_R + \left( \frac{C_R}{C_2} + \frac{C_x}{C_2} + 1 \right) (-V_m^{(2)} + V_m^{(1)}) + V_{E2} - \frac{C_x}{C_2} V_{EX} - \frac{C_R}{C_2} V_{ER} \\
&= \underbrace{(C_x - C_R) \frac{V_R}{C_2}}_{\text{segnale utile}} + \underbrace{\frac{C_R + C_x + C_2}{C_2} (-V_m^{(2)} + V_m^{(1)})}_{\text{rumore dovuto ad A.O.}} + \underbrace{V_{E2} - \frac{C_x}{C_2} V_{EX} - \frac{C_R}{C_2} V_{ER}}_{\text{rumore } kT/e}
\end{aligned}$$

Sensibilità:  $k_{AC, V_{\text{out}}} = \frac{\partial V_{\text{out}}}{\partial V_R} = \frac{V_R}{C_2} \quad (C_2 \downarrow \Rightarrow k_{V_R, V_{\text{out}}} \uparrow)$

Se  $V_R = V_{DD}$ , questo è un sistema ratiometrico.

Rumore dovuto ad A.O.:

$$C_{\text{in A.O.}} = - \frac{C_R + C_x + C_2}{V_R} (V_m^{(2)} - V_m^{(1)})$$

Grazie alla presenza di  $(V_m^{(2)} - V_m^{(1)})$  ogni contributo di rumore costante (es. offset) viene cancellato.

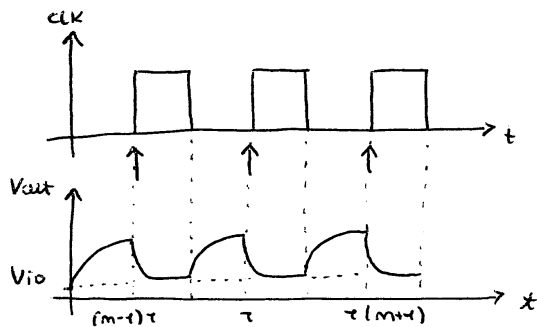
I contributi di rumore a bassa frequenza ( $f_{\text{noise}} < f_{\text{clk}}$ ) possono essere considerati come costanti nel periodo di osservazione e sono fortemente ridotti (allungamento del rumore Ficker).

Questa tecnica di effettuare  $V_m^{(2)} - V_m^{(1)}$  è l'equivalente di applicare la tecnica CORRELATED DOUBLE SAMPLING (CDS) all'A.O.

→ Ridurre  $C_2$  non consente una forte riduzione di

Rumore  $\frac{kT}{C}$ :

Stante di Compensamento



Ha senso effettuare il compensamento solo nella fase 2.

In particolare si procede a compensare il segnale al termine della fase, e transitorio terminata

$$C_m \text{ in } \frac{kT}{C} = V_{E2} \cdot \frac{C_2}{V_R} - V_{Ex} \cdot \frac{C_x}{V_R} - V_{ER} \cdot \frac{C_R}{V_R}$$

$$C_m \text{ in } \frac{kT}{C} = C_m$$

$$\langle C_m \rangle^2 = \frac{kT}{C} \frac{C_2^2}{V_R^2} + \frac{kT}{C} \frac{C_x^2}{V_R^2} + \frac{kT}{C} \frac{C_R^2}{V_R^2} = \frac{kT}{V_R^2} (C_2 + C_x + C_R)$$

$$C_{mpp} = 4 \sqrt{\langle C_m \rangle^2} = \frac{4}{V_R} \sqrt{kT (C_2 + C_x + C_R)}$$

Valutazione del Dynamic Range (DR)

$$DR = \frac{\Delta C_{FS}}{C_{mpp}}, \quad \Delta C_{FS} \text{ dipende dal segnale applicato.}$$

$$DR = \Delta C_{FS} \cdot \frac{V_R}{4 \sqrt{kT (C_2 + C_x + C_R)}} = V_R \cdot \frac{1}{4 \sqrt{\frac{kT}{\Delta C_{FS}}}} \underbrace{\sqrt{\frac{\Delta C_{FS}}{C_2 + C_x + C_R}}}_{\approx 1}$$

Una riflessione:

Non abbiamo tenuto conto del fatto che la reazione varia dalla fase 1 alla fase 2.

Questo implica una variazione di  $\beta$ :

- nella fase 1:  $\beta = 1$ .

- nella fase 2:  $\beta$  è una frazione tra  $(C_1 + C_2)$  e  $C_2$ .

Questo implica che  $U_{aut}$  venga riportato in input in maniera differente a seconda della fase.



## TECNICHE PER LA RIDUZIONE DI OFFSET E DI RUMORE A BASSA FREQUENZA

### AUTO-ZERO (AZ)

Idea alla base: discommettere il segnale all'ingresso di un amplificatore facendo comparire un input unitario  $\phi$ . In questa maniera è presente solo rumore sulla porta di ingresso. Al campionamento di quest'ultimo è necessario che fine di effettuare una successiva sottrazione con segnale in ingresso presente.

Per un generatore di  $V$ , ingresso in c.c.

Per un generatore di  $I$ , ingresso in c.a.

L'offset non è costante a causa di derive. È necessario effettuare la sua misura più volte nel tempo.

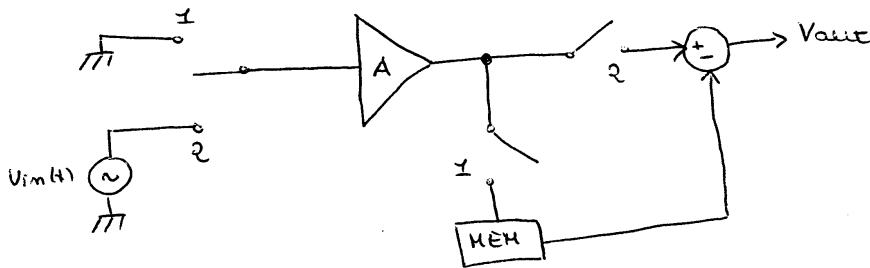
Compiendo la misura con zero in ingresso più frequentemente è possibile eliminare anche il rumore a bassa frequenza.

Nei amplificatori AZ la misura avviene con frequenze KHz  $\rightarrow$  questa procedura è più di una semplice tecnica di correzione, è una vera tecnica dinamica di riduzione di offset e rumore a bassa frequenza.

Da notare che nel momento in cui si effettua la misura si compie un campionamento di tutto il rumore, non solo dell'offset.

La tecnica prevede due fasi di funzionamento:

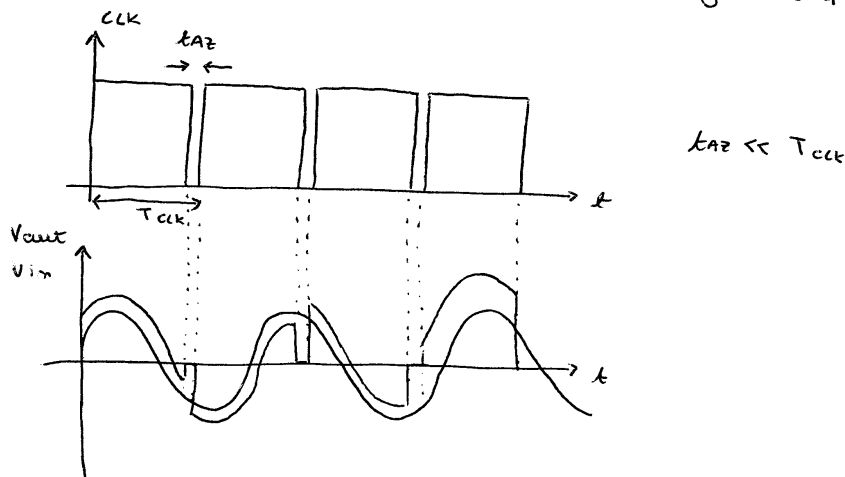
- 1) fase di autozero;
- 2) fase di normale funzionamento.



Per non interferire con la funzionalità del circuito, il tempo di esecuzione della tecnica AZ dev'essere estremamente breve:  $t_{AZ} \ll \phi$ .

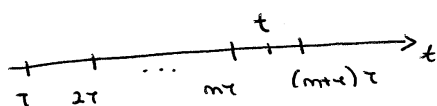
Al fine di analizzare anche le componenti residue del rumore, la tecnica AZ viene ripetuta periodicamente a frequenza  $f_{AZ}$ .

In particolare modo, AZ viene eseguita quando  $CLK = \phi$ :



Il contributo di rumore residuo, viene ad ogni campionamento

La fase AZ è generalmente molto rapida: l'amplificatore può essere così trattato come un amplificatore tempo continuo ( $\tau_c$ ) o  $t_{AZ} \approx 0$ .



$$V_{out}(t) = A(U_{in}(t) - U_m(t)) - A(-U_m(mT))$$

$$\begin{aligned} \rightarrow V_{out}(t) &= A \left[ U_{in}(t) - (U_m(t) - U_m(mT)) \right] \\ &= A \left[ U_{in}(t) - U_{mezz}(mT) \right] \end{aligned}$$

$$U_{mezz}(mT) = U_m(t) - U_m(mT)$$

La precedente espressione indica che avviene la sottrazione di un termine discreto ad un termine continuo.

Per quanto riguarda l'oggetto ( $y = \hat{y}$ ) la cancellazione è perfetta. Per le componenti spettrali del rumore con  $f < f_{clk}$  avviene una cancellazione soddisfacente, mentre per le componenti con  $f > f_{clk}$  le componenti di rumore sono sostanzialmente diverse da complementamento a complementamento.

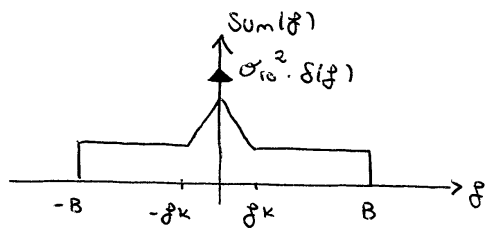
È necessario introdurre  $S_{U_{mezz}}(f)$ .

Per semplificare la trattazione consideriamo una singola realizzazione del processo stocastico  $U_m(t)$ .

Di questo modo  $U_m(t)$  può essere

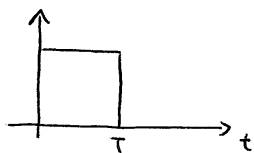
considerato un segnale deterministico e pertanto trattato con la trasformata di Fourier.

Il rumore viene casualmente campionato e mantenuto (S & R) durante il periodo.



B: Banda Amplificatore

Il campionamento avviene poi multiplexando per un tempo di  $\delta$  periodico e mantenendo (il che equivale alla convoluzione della  $\delta$  con una funzione del tipo autosistante)



in frequenza:  $T \cdot e^{-j2\pi f \frac{T}{2}} \text{sinc}(\pi f T)$

Da cui si trova con  $\delta$  trascurata:  $\frac{1}{T} \cdot \sum_{i=-\infty}^{+\infty} V_m(f - i f_{ck})$

Da cui si trova:

$$V_m(m\tau) \rightarrow e^{-j\pi f \tau} \text{sinc}(\pi f \tau) \sum_{i=-\infty}^{+\infty} V_m(f - i f_{ck})$$

Il segnale campionato ha una spettro composto da infinite repliche di  $V_m(f)$  traslate di  $f_{ck}$  e' una scala'atta.

$$V_{mess}(f) = V_m(f) \cdot e^{-j\pi f \tau} \text{sinc}(\pi f \tau) \sum_{i=-\infty}^{+\infty} V_m(f - i f_{ck})$$

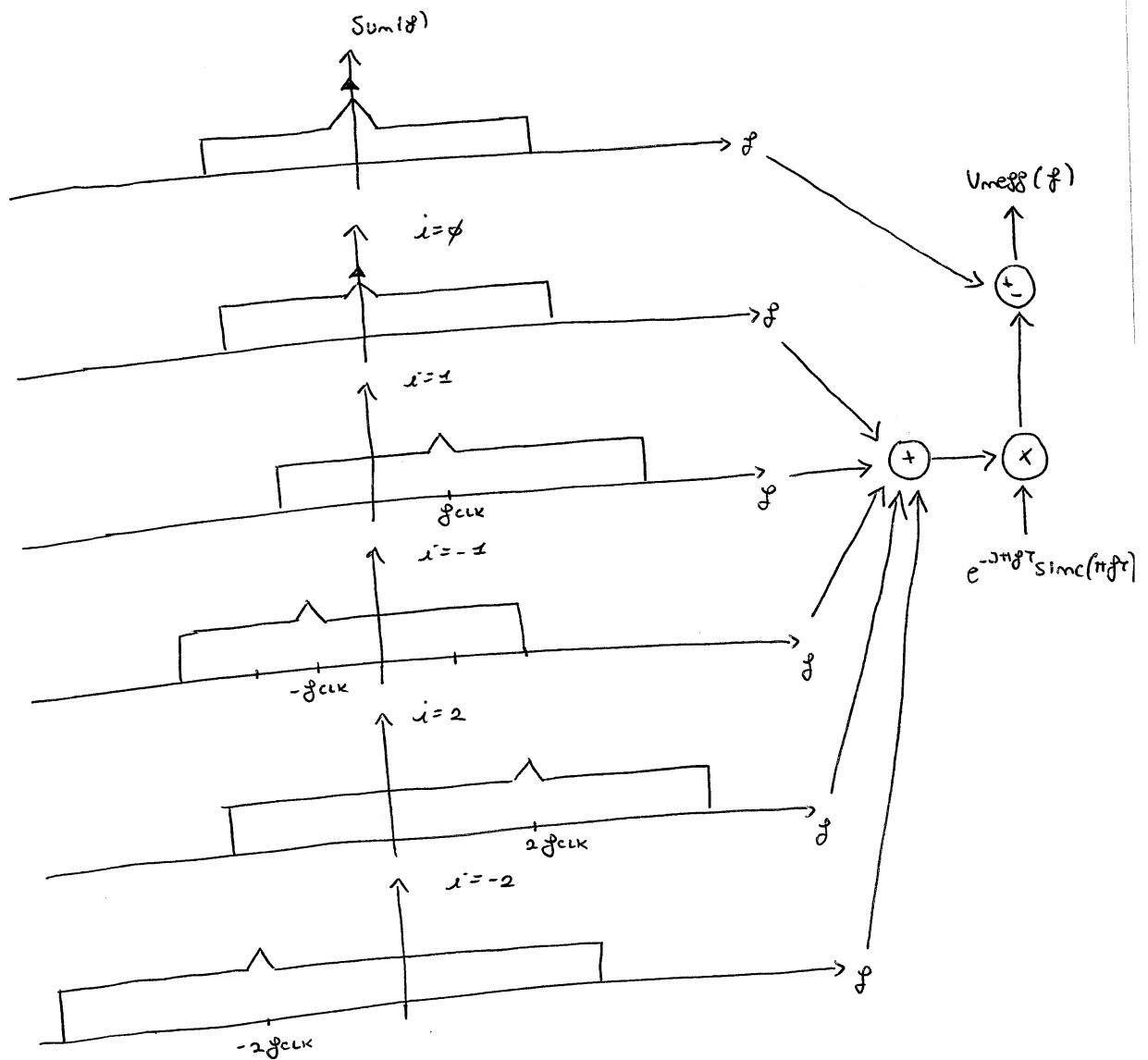
$$= V_m(f) \cdot e^{-j\pi f \tau} \sum_{\substack{i=-\infty \\ i \neq 0}}^{+\infty} V_m(f - i f_{ck}) - \underbrace{e^{-j\pi f \tau} \text{sinc}(\pi f \tau) V_m(f)}_{\text{Riferita a } f_{ck} \neq 0}$$

$$V_{mezz}(f) = \sum_{i=-\infty}^{+\infty} H_i(f) U_m(f - i f_{clk})$$

$$H_i(f) = \begin{cases} 1 - e^{-j\pi f \tau} \operatorname{sinc}(\pi f \tau) & i = 0 \\ -e^{-j\pi f \tau} \operatorname{sinc}(\pi f \tau) & i \neq 0 \end{cases}$$

$$H_0(f) = 1 - e^{-j\pi f \tau} \operatorname{sinc}(\pi f \tau)$$

$$H_{\pm 1}(f) = -e^{-j\pi f \tau} \operatorname{sinc}(\pi f \tau)$$

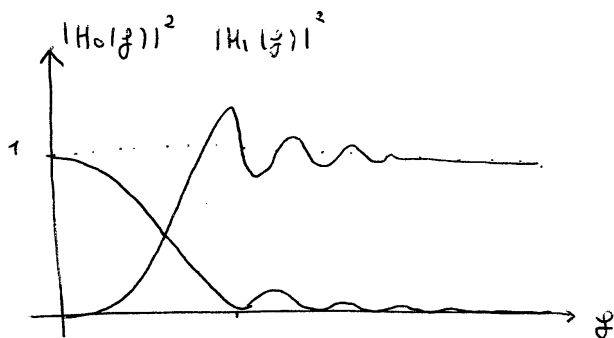


$$S_{um}(f) = PSD(V_m(f))$$

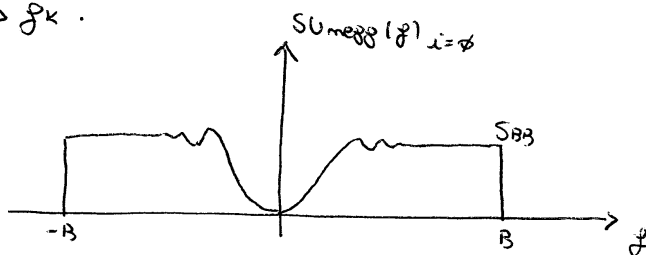
$$S_{umeff}(f) = PSD(V_{meff}(f)) = \sum_{i=-\infty}^{+\infty} |H_i(f)|^2 \cdot S_{um}(f - i f_{clk})$$

Per  $i = \phi$ :

$$S_{umeff}(f)_{i=\phi} = |H_0(f)|^2 \cdot S_{um}(f)$$

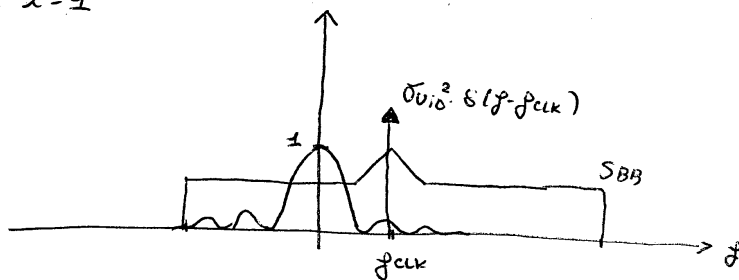


La replica a  $i = \phi$  è moltiplicata per  $|H_0(f)|^2$ :  
 e l'effetto viene cancellato ed il rumore a bassa frequenza  
 aumentato  $\rightarrow$  forte abbattimento del rumore flicker se  
 $f_{clk} > f_k$ .



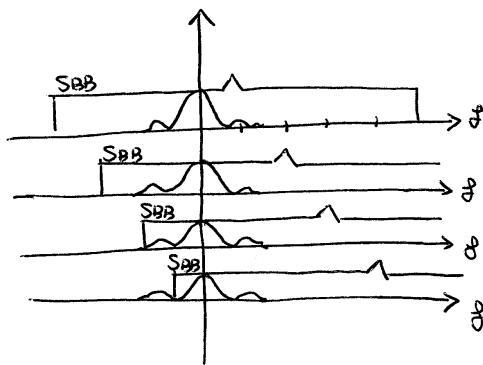
Le repliche a  $i \neq \phi$  sono moltiplicate per  $|H_i(f)|^2$ :

es:  $i = 1$



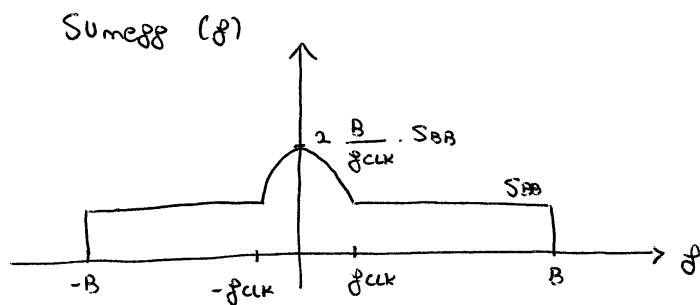
l'oggetto viene abbattuto, insieme al rumore ad ogni frequenza. Viene preservata dal filtro  $\text{sinc}^2()$  una parte di densità spettrale a energia banda  $S_{BB}$  riportata su  $f = \beta$ .

Per determinare il contributo di rumore intorno ad  $f = \beta$  è fornito da tutte quelle repliche per cui la  $S_{BB}$  interseca l'asse delle ordinate.



Per cui risulta:

$$S_{\text{mezzo}}(f) = 2 \cdot \frac{B}{f_{\text{CLK}}} S_{BB} + S_{\text{mezzo}}(f)_{i=\beta}$$



- $|f| \leq f_{\text{CLK}}$ : oggetto e rumore  $f_{\text{clock}}$  sono stati abbattuti ed hanno lasciato il posto ad una PSD con picco  $2 \frac{B}{f_{\text{CLK}}} S_{BB}$ . Questo fenomeno è anche noto come NOISE FOLDOVER (ripiegamento di rumore).
- $|f| > f_{\text{CLK}}$ : il contributo di rumore a energia banda è dovuto esclusivamente alla replica per  $i = \beta$ .

Questa tecnica presenta il comportamento  $\tau_c$  dell'Ampl.  $\rightarrow$  l'amplificatore considerato è un ampl.  $\tau_c$ .

nessuno impedisce di lavorare con segnali ad  $f_s > f_{CLK}$ .

L'Ampl. si comporta, a parte nell'istante  $t_n$ , come un amplificatore  $\tau_c$ .

Un Ampl. con tecnica A.Z. può sostituire un Ampl. senza tecnica A.Z. nel rispetto delle specifiche di progetto (GBW, GH, ...) con pochi accorgimenti.

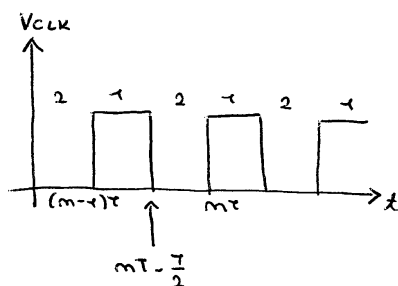
### CORRELATED DOUBLE SAMPLING (CDS)

Questa è una tecnica  $\tau_c$ : sia il segnale che il rumore sono campionati.

Praticamente non è possibile campionare il segnale senza campionare anche offset e rumore, di conseguenza offset e rumore sono campionati due volte.

La tecnica prevede due fasi:

- 1) Rimozione del segnale in ingresso e campionamento di offset e rumore;
- 2) Reintroduzione del segnale in ingresso e campionamento.



Il campionamento del rumore avviene a metà periodo  $t = \frac{T}{2}$ .



L'espressione dell'uscita è la seguente:

$$V_{out}(m\tau) = A \left( \underbrace{V_{im}(m\tau)}_{(2)} - V_m(m\tau) + \underbrace{V_m(m\tau - \frac{T}{2})}_{(1)} \right)$$

$V_{out}$  è chiaramente un segnale TD.

A differenza della tecnica AZ, in cui  $t_{AZ} \approx \phi$ , l'amplificatore AZ poteva ancora essere trattato come un Amp. TC.

In un amplificatore CBS questo non è possibile: il rivelatore sarà disponibile solo al termine della fase 2, quando il secondo campione viene campionato.

Il rivelatore è che le componenti di segnale con costanti nel periodo  $\frac{T}{2}$  giungono in uscita lo stesso combinate e si elidono.

Questo combinate che non varia in  $\frac{T}{2}$  tra i due campioni può essere considerato correlato.

Si definisce:  $V_{meff}(m\tau) = V_m(m\tau) - V_m(m\tau - \frac{T}{2})$

$$V_{out}(m\tau) = A (V_{im}(m\tau) - V_{meff}(m\tau))$$

N.B: Qui campioniamo anche  $V_{im}$ : ciò significa che

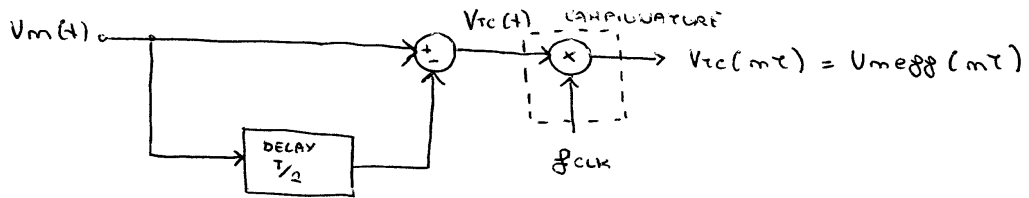
$$f_{clk} \geq 2 f_s \rightarrow f_s \leq \frac{f_{clk}}{2} \quad (\text{r. di Nyquist})$$

Non posso più trattare segnale in ingresso a qualsiasi frequenza.

Per Amp. CBS sono amplificatori pensati per processi di natura tempo discreto (sistemi switch capacitor).

Vogliamo calcolare  $S_{U_{meff}}(f) = \text{PSD}(U_{meff}(f))$

Modello per la somma nella tecnica CDS:



$$V_{vc}(f) = U_m(f) - U_m(f) e^{-j2\pi f \frac{T}{2}} = U_m(f) [1 - e^{-j\pi f T}]$$

$$H(f) = \frac{V_{vc}(f)}{U_m(f)} = 1 - e^{-j\pi f T} = e^{-j\pi f \frac{T}{2}} \left[ e^{j\pi f \frac{T}{2}} - e^{-j\pi f \frac{T}{2}} \right] \cdot \frac{2j}{2j}$$

$$= e^{-j\pi f \frac{T}{2}} \cdot 2j \cdot \text{sen} \left( \pi f \frac{T}{2} \right)$$

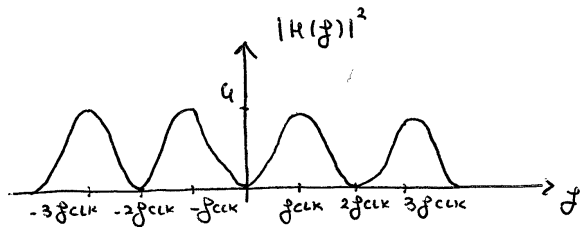
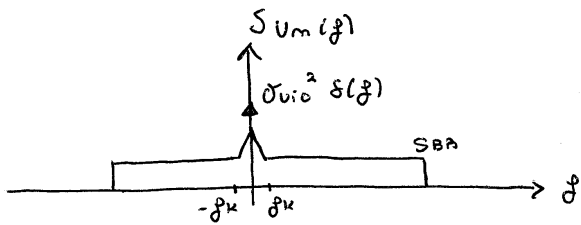
$$V_{vc}(f) = H(f) \cdot U_m(f)$$

$$\rightarrow S_{V_{vc}}(f) = |H(f)|^2 \cdot S_{U_m}(f) = 4 \text{sen}^2 \left( \pi f \frac{T}{2} \right) S_{U_m}(f)$$

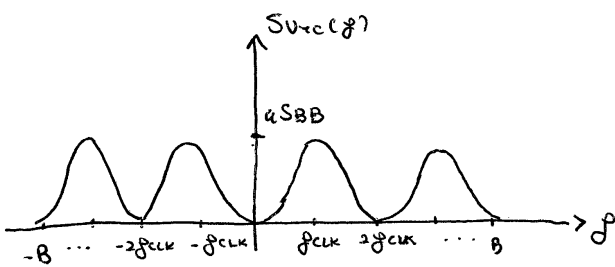
Il guadagno tramite  $\text{sen}^2(\cdot)$  consente di sopprimere il offset ( $\text{sen}^2(\phi) = \phi$ ) e di ridurre ulteriormente il rumore flicker a bassa frequenza

Se  $f_{clk} \gg f_k$  è possibile assumere totale cancellazione del rumore flicker.

$S_{U_{meff}}(f)$  si ottiene da  $U_{meff}(mT)$  la quale è attenuata dal campionamento di  $V_{vc}(t)$



$$(f_k \ll f_{CLK})$$



$$S_{Urc}(f) = \begin{cases} 4 S_{BB} \text{sen}^2\left(\pi f \frac{T}{2}\right), & -B \leq f \leq B \\ 0 & \text{altrimenti} \end{cases}$$

Per via del campionamento abbiamo interesse a valutare  $S_{Urc}(f)$  solo nell'intervallo  $f \in \left[-\frac{f_{CLK}}{2}; \frac{f_{CLK}}{2}\right]$ .  
 Analizziamo cosa accade quando si compiona un  $\text{sen}^2(\cdot)$ :  
 Circa come abbiamo una traslazione dello spettro  $S_{Urc}(f)$  in funzione a multipli di  $f_{CLK}$ .

1°a traslazione: vale per traslazioni dispari

$$4 S_{BB} \text{sen}^2\left(\frac{\pi T}{2} (f - f_{CLK})\right) = 4 S_{BB} \text{sen}^2\left(\frac{\pi T}{2} f - \frac{\pi T}{2} f_{CLK}\right) \quad \left(f_{CLK} = \frac{1}{T}\right)$$

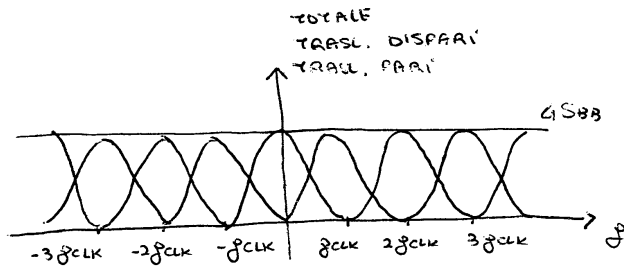
$$= 4 S_{BB} \text{sen}^2\left(\frac{\pi T}{2} f - \frac{\pi}{2}\right) = 4 S_{BB} \text{cos}^2\left(\frac{\pi T}{2} f\right)$$

2°a traslazione: vale per traslazioni pari

$$4 S_{BB} \text{sen}^2\left(\frac{\pi T}{2} (f - 2f_{CLK})\right) = 4 S_{BB} \text{sen}^2\left(\frac{\pi T}{2} f - \frac{\pi T}{2} 2f_{CLK}\right)$$

$$= 4 S_{BB} \text{sen}^2\left(\frac{\pi T}{2} f - \pi\right) = 4 S_{BB} \text{sen}^2\left(\frac{\pi T}{2} f\right)$$

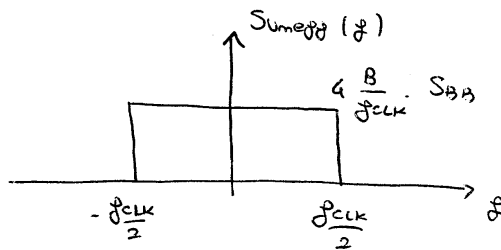
Combinando i contributi di trasmissioni pari e di pari si vede che:



$$4S_{BB} \cdot \sin^2\left(\pi \frac{f}{2}\right) + 4S_{BB} \cdot \cos^2\left(\pi \frac{f}{2}\right) = 4S_{BB}$$

Il numero totale di ripetizioni che da contributo è  $\frac{2B}{f_{CLK}}$  ma la differenza della tecnica AZ, qui un contributo di  $4S_{BB}$  è dato globalmente da due ripetizioni.

$$S_{meff}(f) = 4 \frac{f}{2} \cdot 2 \frac{B}{f_{CLK}} \cdot S_{BB} = 4 \frac{B}{f_{CLK}} S_{BB}$$



La ripetizione  $f$  non fornisce contributo ad  $S_{meff}(f)$  se  $f_{CLK} \gg f_k$ , in quanto la ripetizione di  $S_{meff}$  avviene per  $f \in \left[-\frac{f_{CLK}}{2}, \frac{f_{CLK}}{2}\right]$  a causa del campionamento.

limitati dal rapporto  $B/f_{CLK}$ .

Reducendo  $\frac{B}{f_{CLK}}$  si reduce anche la densità operativa di potenza di  $U_{eff}(f)$ , ma c'è un limite al valore di  $B/f_{CLK}$ ?

A2) Ampl. per andare a regime impiega  $t_{SETTLE} \sim \frac{1}{B}$ .

Questo impone un limite a  $t_{AZ}$ :

$$t_{SETTLE} \leq t_{AZ} \ll T$$

Supponiamo  $t_{SETTLE} = t_{AZ}$ :

$$\rightarrow \frac{1}{B} \ll T \rightarrow B \gg \frac{1}{T} = f_{CLK} \rightarrow \frac{B}{f_{CLK}} \gg 1$$

$\frac{B}{f_{CLK}}$  può raggiungere anche il valore  $\pm \infty$ .

CBS) Qui si vuole  $t_{SETTLE} \sim \frac{1}{B}$  ma abbiamo imposto ad inizio testazione che il completamento di un dato avviene a metà periodo.

$$\text{Per cui } t_{CBS} = t_{SETTLE} = \frac{1}{B} = \frac{T}{2}$$

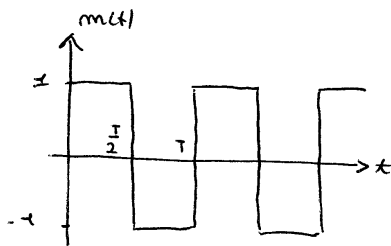
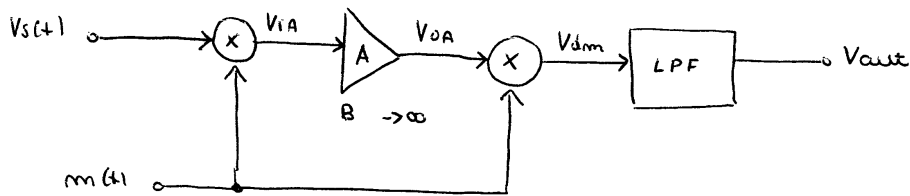
$$\rightarrow \frac{B}{f_{CLK}} = 2$$

Da pratica risulta  $\frac{B}{f_{CLK}} \sim 3 \div 6$ .

Da ricordare che  $f_{CLK} \geq 2B$ .

## MODULAZIONE CHOPPER

Questa soluzione può essere utilizzata per eliminare l'errore di offset.



$$T_c = \frac{1}{f_{clk}}$$

$$DC = 50\%$$

Perché  $m(t)$  è un'onda quadra e non una sinusoidale?

Se usassimo una sinusoidale avremmo bisogno di un moltiplicatore analogico (es. cella di Gilbert) che è un blocco che introduce offset e rumore.

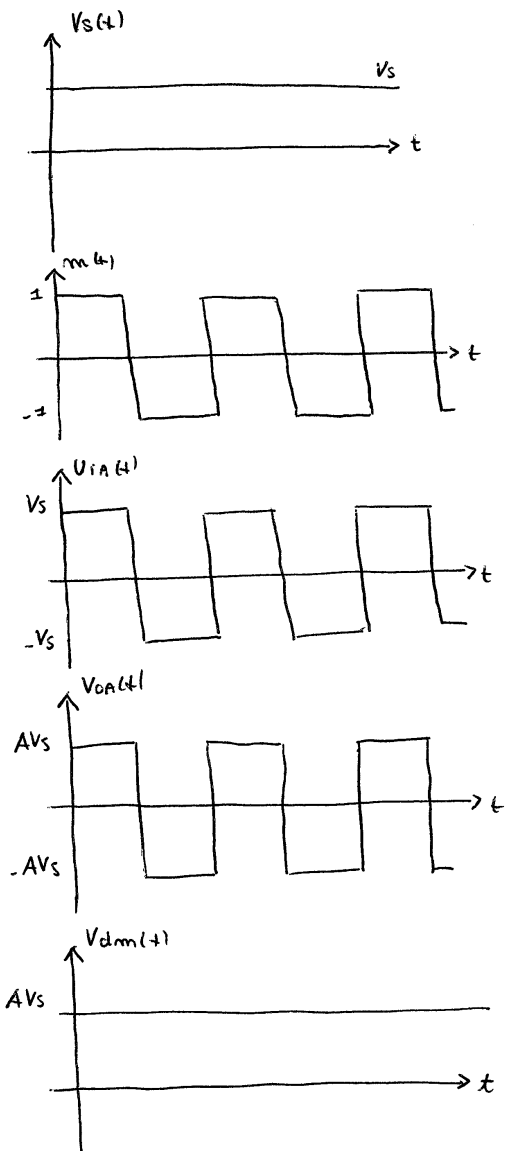
L'uso di una  $m(t)$  ad onda quadra sta nel fatto che la modulazione può essere ottenuta utilizzando solo switch, che introducono minimo rumore ed offset.

Un amplificatore che integra la modulazione chopper è chiamato "Chopper Amplifier".

La modulazione chopper elimina offset e si libera di offset.

Analisi segnale in ingresso :

$V_s \neq \phi$  ,  $V_{io} = \phi$  , Suppongo  $V_s = \cos t$



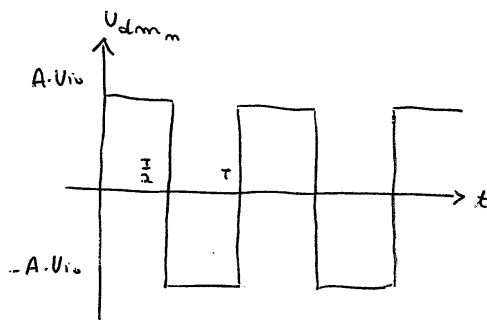
Il risultato è semplicemente  
una replica amplificata di  
 $V_s(t) \rightarrow V_{dm}(t) = A \cdot V_s(t)$

Analisi errore di offset:

$$V_s = \phi, V_{io} \neq \phi$$

1° offset non è modulato da  $m(t)$  e si presenta in uscita da Amp. amplificato:  $V_{io} \rightarrow A \cdot V_{io}$

2° offset in uscita da Amp. viene processato solo dal demodulatore e risulta:



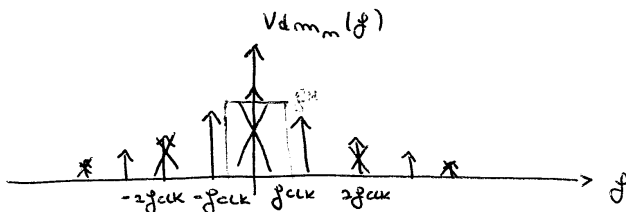
$$V_{iA_m} = V_m(t)$$

$$V_{oA_m} = A V_m(t)$$

$$V_{dmm} = \begin{cases} A V_m(t) & \phi < t < \frac{T}{2} \\ -A V_m(t) & \frac{T}{2} < t < T \end{cases}$$

Questa forma d'onda  $V_{dmm}$  è nota come OFFSET RIPPLE.

Essa non include la componente ad  $f = \phi$ , in quanto avendo DC = 50% ha valore medio nullo, ed a causa delle alternanzenze non possiede le armoniche pari.



Progettiamo un LPP con  $f_H < f_{off}$  e possiamo attenuare il contributo ai errori dovuti all'offset.

N.B.:  $f_s < f_{off}$  altrimenti il segnale viene tagliato.



L'analisi compiuta a pagina precedente gode di due semplificazioni fatte a priori:

- 1) Rumore costante nel tempo  $U_m(t) = U_{10}$ ;
- 2) Banda amplificatore infinita  $B_s = \infty$ .

Analisi modulazione Chopper nel dominio  $f$ :  
 Analisi  $U_s$ :

Si suppone  $U_m(t) = \phi$ ,  $U_s \neq \phi$ .

L'onda quadrata periodica può essere scomposta in serie di Fourier secondo:

$$m(t) = \sum_{k=-\infty}^{+\infty} C_k e^{j2\pi k f_{clk} t}$$

$$\text{con } C_k = \begin{cases} \frac{2\pi}{k} & \text{per } k \text{ dispari} \\ \phi & \text{per } k \text{ pari} \end{cases}$$

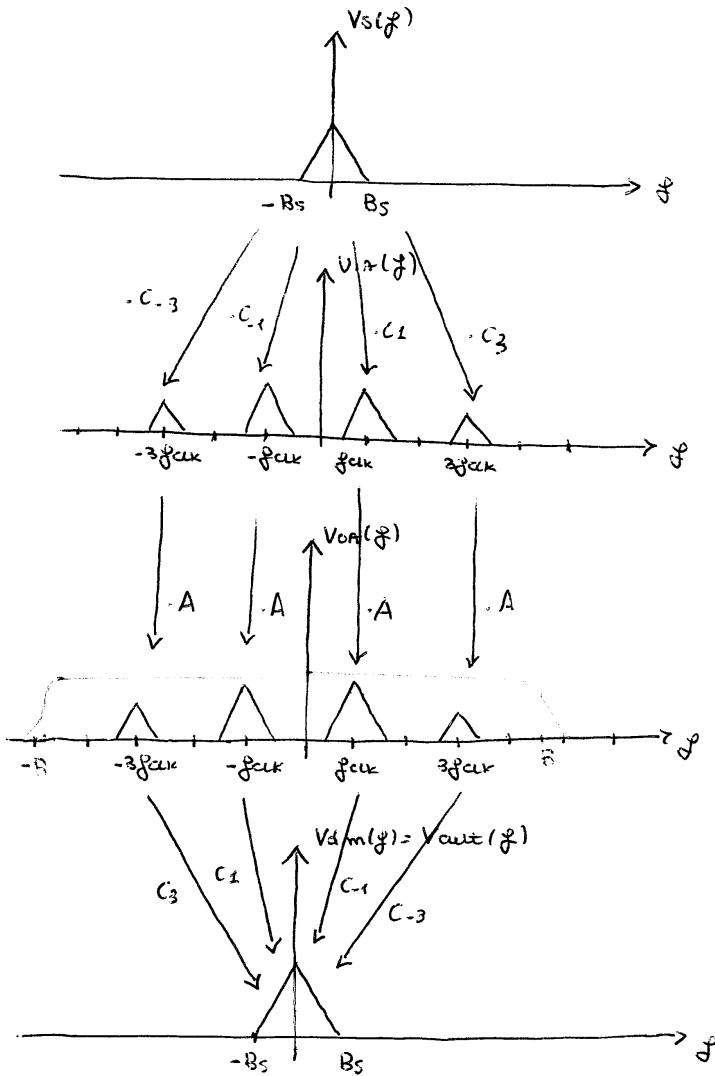
$$C_{-k} = C_k^*$$

simmetria riavvolta:  $\sum_{k=-\infty}^{+\infty} |C_k|^2 = 1$

$m(t)$  ha potenza unitaria.

Si analizza a pagina seguente il percorso che  $U_s(f)$  compie nella catena di modulazione - demodulazione.





La replica 1 di  $V_s(f)$  viene moltiplicata per  $C_{-1}$ , un quanto è la stessa, come  $-1$  della replica 1 che finisce in banda base, etc...

Da notare che ho recentemente scritto  $V_{dm}(f) = V_{out}(f)$ : come visto nel dominio del tempo questo significa che il segnale  $V_s(t)$  viene ricostruito perfettamente in uscita amplificato di un fattore  $A$ .

$V_{dm}(f)$  non ha componenti a  $f = k \cdot f_{clk}$  ed è possibile dimostrarlo.

$$V_{dm}(f) = A \cdot \sum_{k=-\infty}^{+\infty} V_s(f) \cdot C_k \cdot C_{-k} = A \cdot V_s(f) \sum_{k=-\infty}^{+\infty} |C_k|^2 = A \cdot V_s(f)$$

Dal momento questa trattazione è stata esaurita  $B_s = \infty$ .

Consideriamo adesso  $B < \infty$ .

Alcune ripetute trasmesse ad alta frequenza di  $\omega(\omega)$  vengono abbattute dall'amplificatore.

Risulta:

$$V_{dm}(\omega) = A \cdot V_s(\omega) \cdot \sum_{k=-N}^{+N} C_k \cdot C_{-k} = A \cdot V_s(\omega) \cdot \sum_{k=N}^{+N} |C_k|^2$$

con  $N$ : numero di ripetute in banda.

$$N = B / \omega_{clk}$$

Le ripetute ad  $\omega > B$  sono scartate.

Risulta pertanto:

$$V_{dm}(\omega) = \alpha \cdot A \cdot V_s(\omega)$$

$$\text{con } \alpha = \sum_{k=-N}^{+N} |C_k|^2 \leq 1.$$

n.b.:  $\alpha = \alpha(\omega)$

Tanto più  $\omega \neq 1$ , tanto più ~~scarsa~~ riduce l'introdotto.

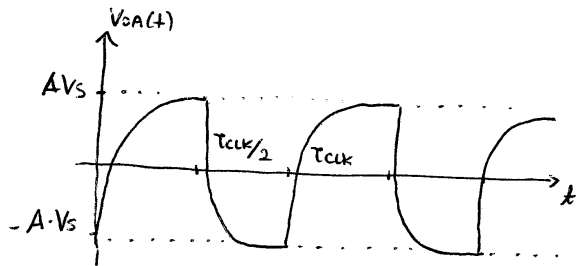
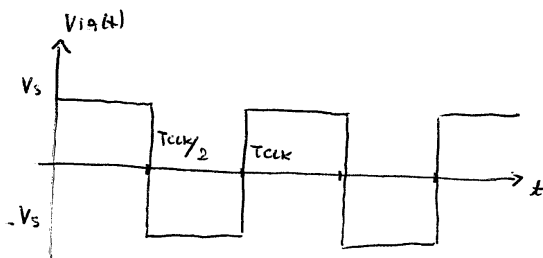
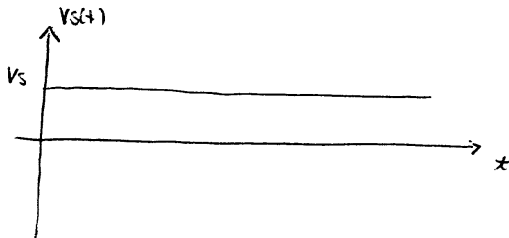
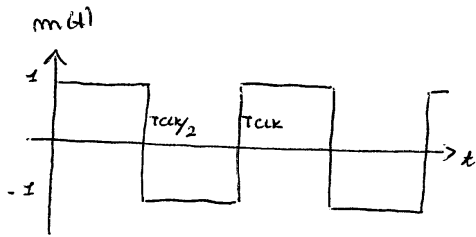
Esiste nella costruzione di  $\alpha \sim \frac{1}{100}; \frac{1}{1000}$ .

L'effetto di banda finita si traduce in una riduzione dell'amplificazione.

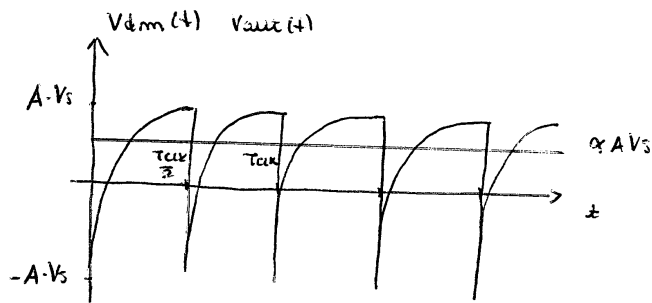
È possibile analizzare questo effetto di riduzione di guadagno anche nel dominio del tempo:

Supponiamo che l'amplificatore abbia una f.d.t. del tipo a polo dominante.

Consideriamo un ingresso  $V_s(t) = \cos t$ .

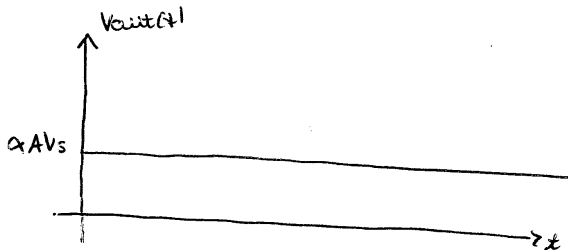


$$T_{SETTLE} \sim \frac{1}{B}$$



Il valore medio di  $V_{dm}(t)$  non è più  $A \cdot V_s(t)$  come nel caso  $BA = \infty$  a causa di questi spike che la tensione assume a frequenze  $f = 2 f_{clk}$ .

$$\overline{V_{dm}(t)} = V_{out}(t) = \alpha \cdot A \cdot V_s$$



In questa trattazione non abbiamo considerato la risposta in fase dell'amplificatore che introduce un contributo di non linearità nel passaggio  $V_{in}(t) \rightarrow V_{out}(t)$ .

Si è dunque supposto:

- 1) fase costante;
- 2) guadagno  $A$  che decresce quasi istantaneamente superato il limite di banda.

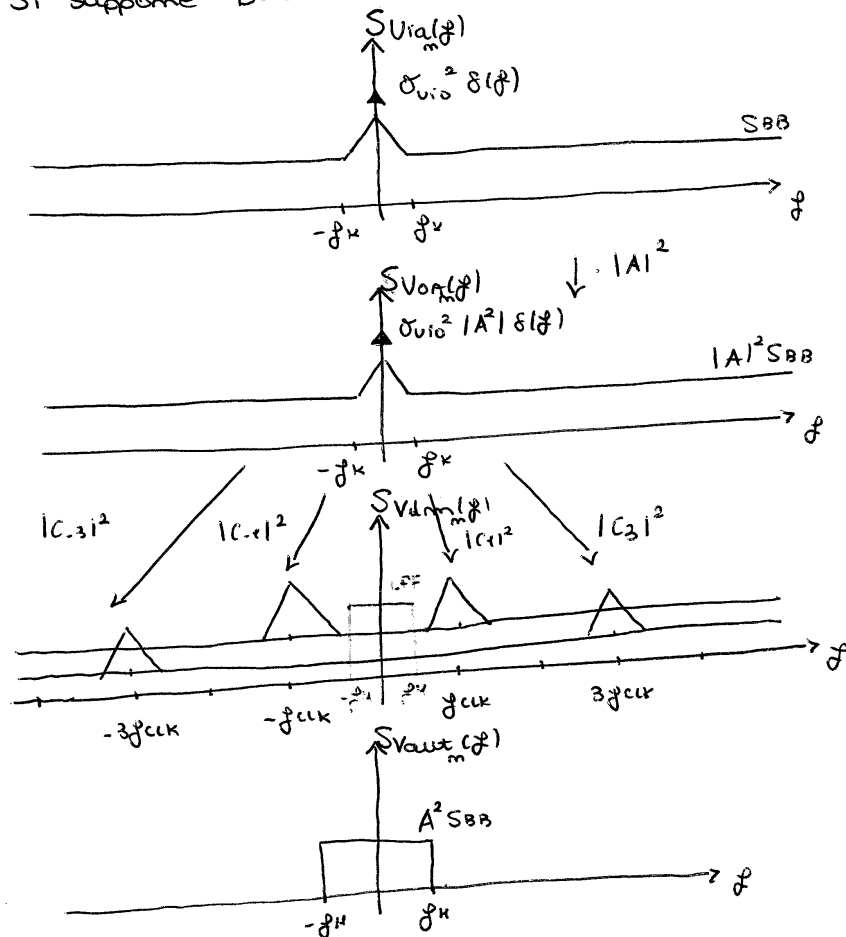
Analisi  $U_m$ :

Si suppone  $U_m(t) \neq \emptyset$ ,  $U_s = \emptyset$ .

Si rimuove immediatamente l'ipotesi che il rumore sia costante nel tempo, ovvero che sia presente solamente sotto di offset anche dovuto.

$U_{in}(f)$  è chiaramente "specchiato" dal rumore riportato in ingresso dall'amplificatore.

Si suppone  $B = \infty$ .



$f_H < f_{clk} - f_k$   
 non è presente la replica  $\emptyset$ :  
 questo consente di  
 evitare errore di  
 offset e rumore  
 flicker.

$$S_{\text{Vant}_m}(f) = A^2 \cdot \sum_{k=-\infty}^{+\infty} S_{BB} |C_k|^2 = A^2 \cdot S_{BB}$$

Rimuovendo l'ipotesi  $B \neq \infty$ , risulta:

$$S_{\text{Vant}_m}(f) = A^2 \cdot \sum_{k=-N}^{+N} S_{BB} |C_k|^2$$

$$N = \frac{B}{f_{\text{clk}}}, \quad \alpha = \sum_{k=-N}^{+N} |C_k|^2 \leq 1$$

$$S_{\text{Vant}_m}(f) = \alpha A^2 \cdot S_{BB}$$

On definitiva possiamo dire che:

$$V_{\text{ant}} = \alpha A V_s, \quad \text{con } \alpha = \begin{cases} 1 & \text{se } B = \infty \\ \leq 1 & \text{se } B < \infty \end{cases}$$

$$A_{\text{eff}} = \alpha A$$

$$\rightarrow V_{\text{ant}} = A_{\text{eff}} \cdot V_s$$

Si prende adesso in considerazione un uscita riportata in ingresso:

$$S_{\text{Vant}_{\text{in}}}(f) = S_{\text{Vant}_m}(f) / |A_{\text{eff}}|^2 = S_{BB} / \alpha$$

$$\left( \frac{\partial V_{\text{ant}}}{\partial V_s} = A_{\text{eff}} \right) : \text{sensibilità}$$

non è presente FOLD OVER.

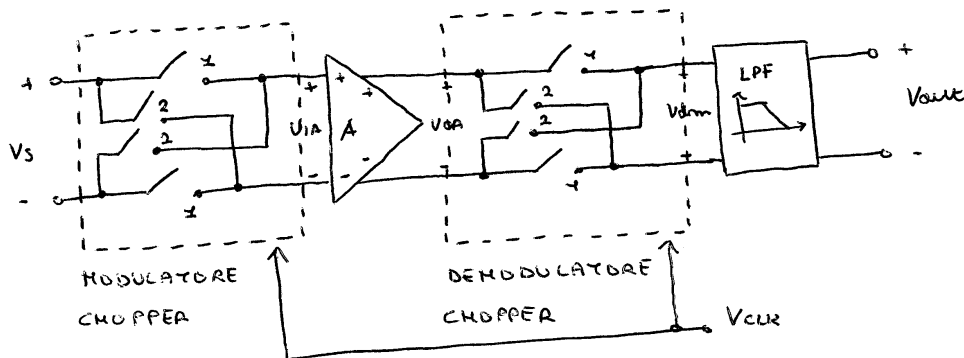
Se  $B = \infty \rightarrow S_{\text{Vant}_{\text{in}}}(f) = S_{BB}$  : è stato introdotto errore di offset e rumore jitter.

nel caso in cui  $B < \infty \rightarrow S_{\text{Vant}_{\text{in}}}(f) = S_{BB} / \alpha$  : il risultato non subisce comunque un sensibile peggioramento.

CIRCUITI CHE IMPLEMENTANO TECNICHE DI RIDUZIONE DELL' OFFSET.

## MODULAZIONE CHOPPER

Amplificatore Chopper:



Questo amplificatore richiede ingressi differenziali ed uscita differenziale. Per avere un'uscita S.E. è necessario utilizzare un filtro apposito, che converte  $F_D \downarrow$  SE.

Fase 1)  $V_{in} = V_s$  ;  $V_{dm} = V_{OA}$

Fase 2)  $V_{in} = -V_s$  ;  $V_{dm} = -V_{OA}$

Per la realizzazione degli switch è possibile utilizzare una tecnologia PASS GATE in modo da non ridurre le temp. di funzionamento.

La struttura dell'amplificatore chopper richiede inevitabilmente che l'ingresso sia differenziale.

In caso contrario significherebbe che uno dei due fili sia il ground  $\rightarrow$  questo comprometterebbe il funzionamento del mod/demod. Chopper.

L'amplificatore considerato non può essere un A.O. perché non può avere un'amplificazione eccessiva.

Se  $V_s = \phi \rightarrow V_{in} = V_m \rightarrow V_{OA} = -A \cdot V_m$

$V_m$  contiene un contributo costante dato dall'offset di offset. Il demodulatore si occupa di invertire semiperiodicamente la polarità di  $V_{OA}$  al fine di

...  $V_{dm} = \phi$ .

nel caso in cui  $-A \cdot U_m = -A \cdot U_{io}$  sia talmente grande da far saturare l'amplificatore, quando vedo ed applico un  $V_s \neq \phi$  l'amplificatore non risponde come richiesto.

nel caso in cui l'amplificatore non saturi, l'amplificazione dell'errore di offset non deve ridurre in maniera eccessiva la dinamica di uscita che l'ampl. ha rispetto a  $V_s$ .

Supponiamo:  $U_{io} = 2 \text{ mV}$ .

$$V_{AO, \text{MAX}} = 1 \text{ V}$$

Se  $A = 100 \rightarrow V_{AO, U_{io}} = 200 \text{ mV}$  e comporta una riduzione di dinamica per  $V_s$  del 20%.

Non posso nemmeno usare un'azione perché riportare in ingresso un'onda quadra: vorrei conoscere una tensione costante ( $U_{io}$ ) con un'onda quadra  $\rightarrow$  non è possibile.

Definire la più grande limitazione di questo sistema:

$$f_s < f_{clk}$$

Si usi una soluzione multipath con due path in parallel:

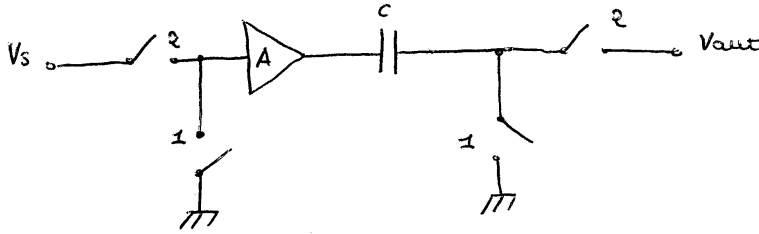
- uno in dc;
- uno ad alta frequenza.

Per il path in dc, la modulazione di clock si occupa di eliminare rumore flicker ed offset di offset, per il path ad alta frequenza questo non è importante se mi trova nella zona SSB.

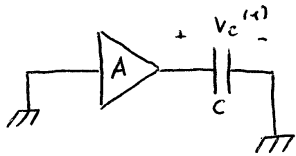


AZ E CDS

Applicazione della tecnica AZ o CDS ad un amplificatore A :

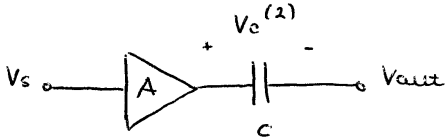


Fase 1)



$$V_c^{(1)} = -A \cdot V_m(t_e)$$

Fase 2)



$$V_c^{(2)} = V_{out}^{(A)} = A (V_s(t) - V_m(t)) + A V_m(t_e)$$

$$= A (V_s(t) - (V_m(t) - V_m(t_e)))$$

$$V_{meff}^{(2)} = V_m(t) - V_m(t_e)$$

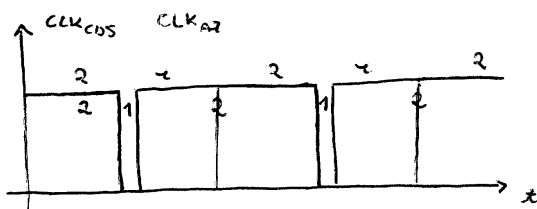
$t_e$ : tempo di campionamento

2ª equazione :  $V_{out}(t) = A (V_s(t) - (V_m(t) - V_m(t_e)))$

descrive le fondamentali di un amplificatore con tecnica AZ : ovvero un amplificatore TC con tensione efficace di rumore  $V_{meff}(t) = V_m(t) - V_m(t_e)$ .

Un amplificatore CDS può essere ottenuto semplicemente aggiungendo un blocco di campionamento al termine della fase 2.

$$V_{out}(t_{c2}) = A (V_s(t_{c2}) - (V_m(t_{c2}) - V_m(t_{c1})))$$

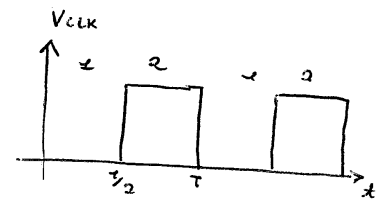
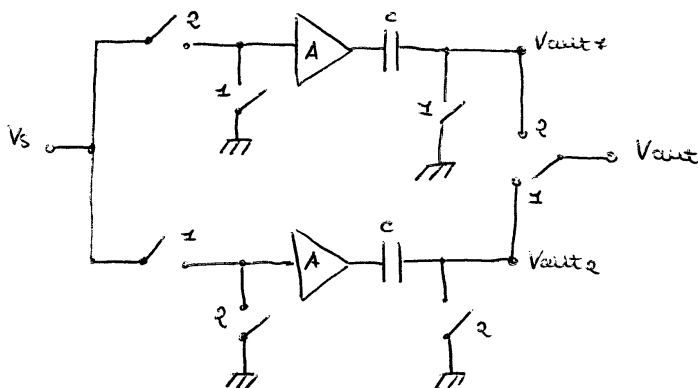


## CONFRONTO TRA LE TECNICHE

Tecnica	$B_s$	Residuo Rumore	$f_{CLK}$	Caratteristiche
AZ	$B_s = B$	$2 \frac{B}{f_{CLK}} S_{BB}$	$f_{CLK} \ll B$	Funzionamento Amp. $\tau_c$
CDS	$B_s < f_{CLK}/2$	$4 \frac{B}{f_{CLK}} S_{BB}$	$f_{CLK} = \frac{B}{2}$	Sistema TD
CRS	$B_s < f_{CLK}$	$S_{BB}$	$f_{CLK} B_s < B$	Amplificatore FD con filtro LP.

## ARCHITETTURA PING PONG

Amplificatore Ping Pong:



- 1: Ping AZ  
Ping stereo
- 2: Ping Attivo  
Ping AZ

Le due catene sono nominalmente identiche e sono degli amplificatori AZ.

Questo consente di superare il limite dell'amplificatore AZ:  $f_{CLK} \ll B$ .

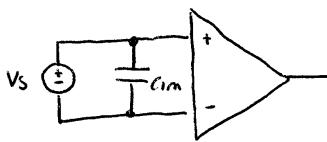
## CONCLUSIONI

- A2) Consente di ottenere amplificatori TC.  
 Per ottenere migliori prestazioni in termini di rumore è possibile implementare la tecnica PING PONG.
- B5) Applicabile a circuiti analogici TC.  
 Se lo si vuole applicare ad un segnale TC occorre necessariamente predisporre un filtro anti aliasing.
- C5) Consente di ottenere le migliori prestazioni in termini di rumore residuo, a dispetto di una Bs per il segnale subotta.

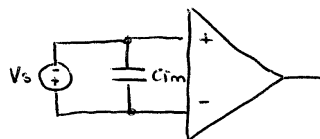
Considerazioni su  $Z_{in}$ :

Applicando commutazioni in ingresso ad un amplificatore si carica/scarica la capacità di ingresso  $C_{in}$ .  
 Questo comporta una riduzione di  $Z_{in}$ .

1)



2)



nei transitori da fase 1 a fase 2 si ha una variazione di carica  $\Delta Q$  pari a:

$$\Delta Q = 2V_s \cdot C_{in}$$

$\Delta Q$  è la carica che Ampe. deve fornire alla  $C_{in}$  per avere inversione di polarità.

In un periodo di clock:  $\Delta Q_{TOT} = 2 \Delta Q$

$$I_{TOT} = \Delta Q_{TOT} \cdot f_{clock} = 4 V_s C_{in} f_{clock}$$

Ampe "vede una resistenza" ed sceglie corrente:

$$R_{in} = \infty \rightarrow R_{in} \sim K_n$$

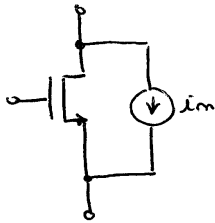
# MODELLI DI MOSFET E BJT RUMOROSI

$g_m = \frac{I_{DS}}{V_{TE}}$ ,  $I_{DS} = I_C$  nel caso del BJT

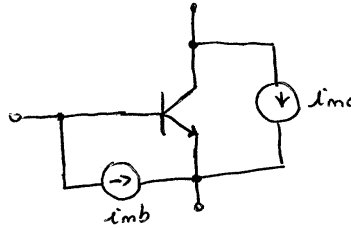
$V_{TE}$ : tensione termica equivalente

$V_{TE} = \begin{cases} (V_{GS} - V_T)/2 \\ m V_T \\ V_T \end{cases}$	MOSFET F.Z.	$m = \frac{g_{mb}}{g_m} \approx 1,2 \div 1,3$
	MOSFET D.Z.	
	BJT	

MOSFET RUMOROSO  
Saturazione



BJT RUMOROSO  
FAZ



Analisi rumore Larghezza Banda:

MOS:

Rumore Larghezza Banda = Rumore Termico

$$S_{Im} = \frac{8}{3} kT g_m (1+m)$$

BJT:

Rumore Larghezza Banda = Rumore Shot

$$S_{I_{mc}} = 2q I_C = 2q V_T \cdot g_m = 2q \frac{kT}{q} g_m = 2kT g_m \leftarrow \text{coefficiente di un rumore termico}$$

$$S_{I_{mb}} = 2q I_B = 2q \frac{I_C}{\beta} = \frac{2kT g_m}{\beta}$$

A parità di  $g_m$  il BJT è meno rumoroso di un MOSFET.

A parità di  $I_{DS} = I_C$ ,  $g_{m \text{ BJT}} > g_{m \text{ MOS}} \rightarrow \text{Rumore}_{\text{BJT}} > \text{Rumore}_{\text{MOS}}$

$$S_{U_{meq}} = \begin{cases} \frac{8}{3} kT g_m (1+m) \cdot \frac{1}{g_m^2} \\ 2kT g_m \cdot \frac{1}{g_m^2} \end{cases} = \begin{cases} \frac{8}{3} kT (1+m) \frac{1}{g_m} \\ 2kT \cdot \frac{1}{g_m} \end{cases}$$

$$(S_{U_{meq}} = \frac{4}{\alpha_{eff}} \cdot S_{Im})$$

Preferisco trattare il rumore di corrente come rumore di tensione ripartito in un processo di tipo unidimensionale.

Adesso la situazione è cambiata:

$$g_m \uparrow \Rightarrow S_{umeq} \downarrow$$

$$g_m \uparrow \text{ se } I_D \uparrow$$

Analisi del Rumore Flicker:

MOS:

$$S_{im}(f) = K_f \cdot \frac{1}{f} \quad , \quad K_f = \frac{\beta m^2 N_f}{W L}$$

Spesso si trova:

$$S_{im}(f) = \frac{K_f' I_{D0}^\alpha}{C_{ox} L^2} \cdot \frac{1}{f} \quad , \quad K_f' = \frac{K_f' I_{D0}^\alpha}{C_{ox} L^2}$$

$$g_m = \sqrt{2\beta I_{D0}}$$

$$\rightarrow K_f = \frac{2\beta I_{D0} N_f}{W L} = 2\mu_m C_{ox} \frac{W}{L} \cdot \frac{I_{D0} N_f}{W L} = 2\mu_m C_{ox} \frac{N_f}{L^2} \cdot I_{D0}$$

La espressione precedente è equivalente se:

$$\alpha = 1:$$

$$\frac{K_f'}{C_{ox} L^2} = 2\mu_m C_{ox} \frac{N_f}{L^2} \rightarrow K_f' = 2\mu_m C_{ox}^2 N_f$$

in conclusione:  $W \cdot L \uparrow \Rightarrow S_{im}(f) \downarrow$

BJT:

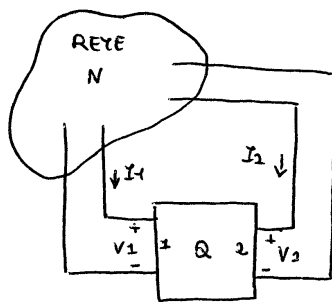
$$S_{im}(f) = \beta \quad \text{no Flicker in } I_C$$

$$S_{im_b}(f) = \frac{K_f' I_B^\alpha}{f^\gamma}$$

$$\text{Per il MOS: } S_{umeq}(f) = \frac{S_{umeq}(f)}{g_m^2} = \frac{N_f}{W L} \cdot \frac{1}{f}$$

# EFFETTI DELLA VARIAZIONE DI PARAMETRI NELLA SOLUZIONE DI UNA RETE

Si focalizziamo sull'effetto di variazione di parametri nella soluzione DC di una rete non elementare, da qui in avanti considerata la variazione del valore del parametro piccolo rispetto al valore nominale.



Estratto da una rete non elementare  $N$ , una sottorete non elementare in forma di rete due porte  $Q$ .

note  $V_1, V_2$  risulta:

$$N = \begin{cases} I_1 = f_1(V_1, V_2) \\ I_2 = f_2(V_1, V_2) \end{cases} \quad Q = \begin{cases} I_1 = g_1(V_1, V_2, P) \\ I_2 = g_2(V_1, V_2, P) \end{cases}$$

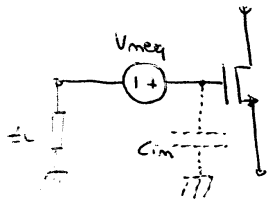
$f, g$  sono genericamente funzioni non elementari.

$P$  rappresenta il parametro da variazare; le sue variazioni portano al mutamento della soluzione di  $Q$ .

$$P = P_0 \rightarrow P = P_0 + \Delta P$$

Se  $\Delta P$  è piccolo rispetto a  $P_0$ , le variazioni che esso induce su  $N$  e  $Q$  sono ridotte ed è possibile considerare un comportamento elementare di  $N, Q$  attorno a  $P_0$ .

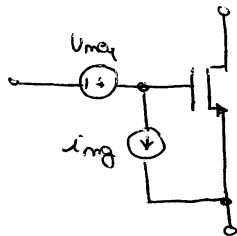
Questo significa che il MOSFET saturato potrebbe essere schematizzato così:



$$V_{meq} \rightarrow S_{V_{meq}} = S_{I_m} / g_{m^2}$$

Questo circuito non è equivalente al precedente nel caso in cui connetta il gate a massa tramite un carico  $Z_L$ .

Per verificare la totale equivalenza usa questo circuito:



$$I_{mg} = g_m C_m \cdot V_{meq}$$

$$V_{meq} \rightarrow S_{V_{meq}} = S_{I_m} / g_{m^2}$$

$$I_{mg} \rightarrow S_{I_{mg}} = S_{V_{meq}} \cdot \omega^2 C_m^2$$

Un rete passiva è possibile utilizzare il circuito per piccoli segnali:

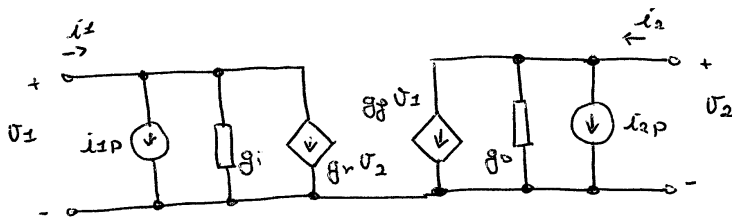
$$N : \begin{cases} i_1 = \frac{\partial g_1}{\partial V_1} \Big|_{V_1, V_2} \cdot v_1 + \frac{\partial g_1}{\partial V_2} \Big|_{V_1, V_2} \cdot v_2 \\ i_2 = \frac{\partial g_2}{\partial V_1} \Big|_{V_1, V_2} \cdot v_1 + \frac{\partial g_2}{\partial V_2} \Big|_{V_1, V_2} \cdot v_2 \end{cases}$$

$$Q : \begin{cases} i_1 = \frac{\partial g_1}{\partial V_1} \Big|_{V_1, V_2, P_0} \cdot v_1 + \frac{\partial g_1}{\partial V_2} \Big|_{V_1, V_2, P_0} \cdot v_2 + \frac{\partial g_1}{\partial P} \Big|_{V_1, V_2, P_0} \cdot \Delta P \\ i_2 = \frac{\partial g_2}{\partial V_1} \Big|_{V_1, V_2, P_0} \cdot v_1 + \frac{\partial g_2}{\partial V_2} \Big|_{V_1, V_2, P_0} \cdot v_2 + \frac{\partial g_2}{\partial P} \Big|_{V_1, V_2, P_0} \cdot \Delta P \end{cases}$$

$$g_i = \frac{\partial g_1}{\partial V_1} \Big|_{V_1, V_2, P_0} \quad g_r = \frac{\partial g_1}{\partial V_2} \Big|_{V_1, V_2, P_0}$$

$$g_f = \frac{\partial g_2}{\partial V_1} \Big|_{V_1, V_2, P_0} \quad g_o = \frac{\partial g_2}{\partial V_2} \Big|_{V_1, V_2, P_0}$$

Circuito equivalente per piccoli segnali di Q:



$$i_{1p} = \frac{\partial g_1}{\partial P} \Big|_{V_1, V_2, P_0} \cdot \Delta P$$

$$i_{2p} = \frac{\partial g_2}{\partial P} \Big|_{V_1, V_2, P_0} \cdot \Delta P$$

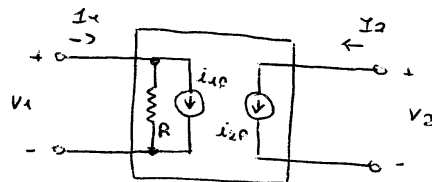
l'effetto di variazione di un parametro si traduce in un generatore equivalente di corrente indipendente.



Esempi:

RESISTORE

$$R \rightarrow R + \Delta R$$



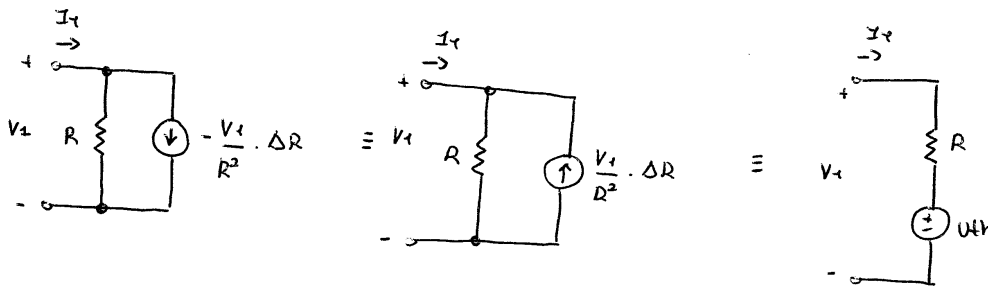
$$I_1 = g_1 = \frac{V_1}{R}$$

$$I_2 = g_2 = \emptyset$$

$$i_{1p} = \frac{\partial I_1}{\partial R} \Big|_{V_1, V_2, R} \cdot \Delta R = \frac{\partial (V_1/R)}{\partial R} \Big|_{V_1, V_2, R} \cdot \Delta R = -\frac{V_1}{R^2} \cdot \Delta R$$

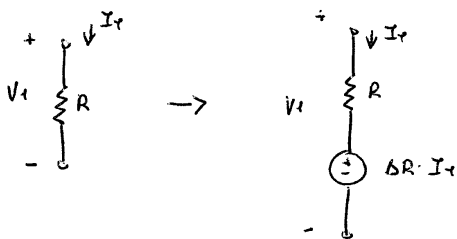
$$i_{2p} = \frac{\partial I_2}{\partial R} \Big|_{V_1, V_2, R} \cdot \Delta R = \emptyset$$

Risultato quindi:

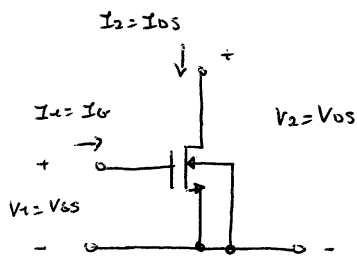


$$U_{th} = \frac{V_1}{R^2} \cdot \Delta R \cdot R = V_1 \cdot \frac{\Delta R}{R} = I_1 \cdot \Delta R$$

$U_{th}$  tiene conto della variazione  $\Delta R$ , come d'attenuazione nel ramo  
contato  $i_{xp}$ :



MOSFET F. I.



$$\left\{ \begin{array}{l} \beta \rightarrow \beta + \Delta\beta \\ V_t \rightarrow V_t + \Delta V_t \end{array} \right.$$

$$P = \beta \wedge V_t.$$

$$I_{DS} = \beta/2 (V_{GS} - V_t)^2$$

$$i_{1p} = \left. \frac{\partial I_G}{\partial P} \right|_{V_{GS}, V_{DS}, I_{DS}, \beta, V_t} = \emptyset$$

$$i_{2p} = \left. \frac{\partial I_{DS}}{\partial \beta} \right|_{V_{GS}, V_{DS}, I_{DS}, \beta, V_t} \cdot \Delta\beta + \left. \frac{\partial I_{DS}}{\partial V_t} \right|_{V_{GS}, V_{DS}, I_{DS}, \beta, V_t} \cdot \Delta V_t$$

$$= \frac{\beta}{2} (V_{GS} - V_t)^2 \Delta\beta - \beta (V_{GS} - V_t) \Delta V_t$$

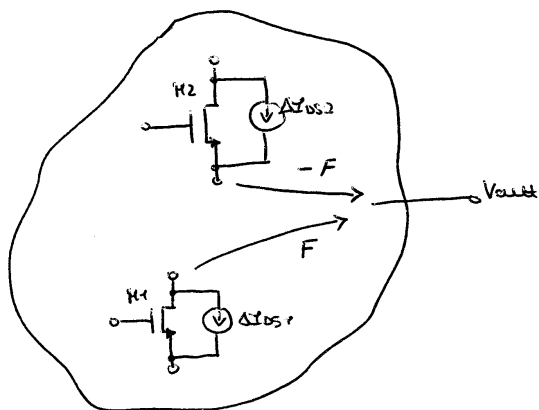
$$\frac{\partial I_{DS}}{\partial \beta} = \frac{1}{2} (V_{GS} - V_t)^2 = I_{DS} / \beta$$

$$= \frac{I_{DS}}{\beta} \cdot \Delta\beta - I_{DS} \frac{2}{V_{GS} - V_t} \cdot \Delta V_t$$

$$\frac{\partial I_{DS}}{\partial V_t} = -\beta (V_{GS} - V_t) = I_{DS} \cdot \frac{2}{V_{GS} - V_t}$$

$$i_{2p} = \Delta I_{DS} \rightarrow \frac{\Delta I_{DS}}{I_{DS}} = \frac{\Delta\beta}{\beta} - \frac{2}{V_{GS} - V_t} \cdot \Delta V_t$$

Si analizziamo adesso gli effetti di variazione di parametri sull'uscita della rete



$$\Delta V_{uit} = F \cdot \frac{\Delta I_{DS}}{I_{DS}}$$

La variazione dell'uscita possiamo anche essere generata in quando  $\Delta I_{DS}$  dipende criticamente dal rumore dei parametri del MOSFET.

Si prevede una soluzione di matching:

$$R_1 \equiv R_2$$

Consideriamo quindi:

- $H_1$  nominalmente identico ad  $H_2$ ;
- $V_{DS1} = V_{DS2}$   
 $V_{GS1} = V_{GS2}$   
 $I_{OS1} = I_{OS2} \rightarrow$  Stesso OP  
 $V_{AS1} = V_{AS2}$
- f.d.t. tra generatori equivalenti di risonanza parametriche uguali ed opposti in segno:  
 $F_1 = F$  ;  $F_2 = -F$ .

$$\Delta V_{out}_{H_1 H_2} = F (\Delta I_{OS1} - \Delta I_{OS2})$$

Questo consente di ridurre le oscillazioni della uscita della rete.

$P$  è un generico parametro del MOSFET:

$$P_1 = P_N + \Delta P_1$$

$$P_2 = P_N + \Delta P_2$$

$P_N$ : valore nominale

$$\lambda_{P1} - \lambda_{P2} = \frac{\partial I}{\partial P} \cdot \Delta P_1 - \frac{\partial I}{\partial P} \cdot \Delta P_2 = \frac{\partial I}{\partial P} (\Delta P_1 - \Delta P_2) = \frac{\partial I}{\partial P} (P_1 - P_2) = \frac{\partial I}{\partial P} \cdot \Delta P_{1,2}$$

$$\rightarrow \Delta P_1 - \Delta P_2 = P_1 - P_2$$

generalmente  $|\Delta P_{1,2}| \ll |\Delta P_1|, |\Delta P_2|$ .

Per il MOSFET risulta:

$$\Delta I_{OS1} - \Delta I_{OS2} = \Delta I_{OS_{1,2}} = I_{OS} \cdot \left[ \frac{\Delta \beta_{1,2}}{\beta} - 2 \frac{\Delta V_{t,2}}{(V_{GS} - V_t)} \right]$$

con  $\Delta \beta_{1,2} = \beta_1 - \beta_2$

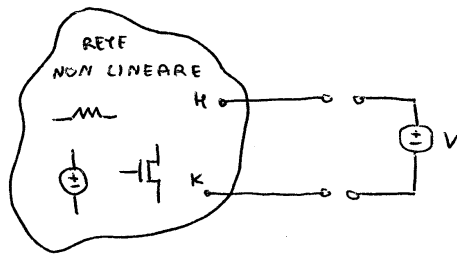
$\Delta V_{t,2} = V_{t1} - V_{t2}$

notando che:

$$|\Delta \beta_{1,2}| \ll |\Delta \beta_1|, |\Delta \beta_2|$$

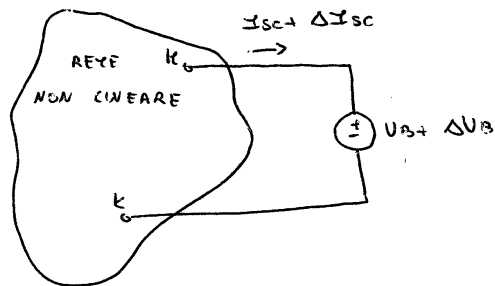
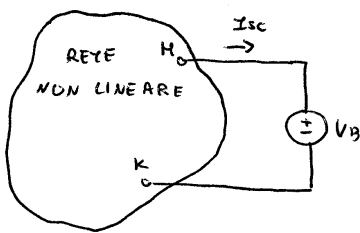
$$|\Delta V_{t,2}| \ll |\Delta V_{t1}|, |\Delta V_{t2}|$$

# EQUIVALENTE DI NORTON GENERALIZZATO



Fase 1

Fase 2

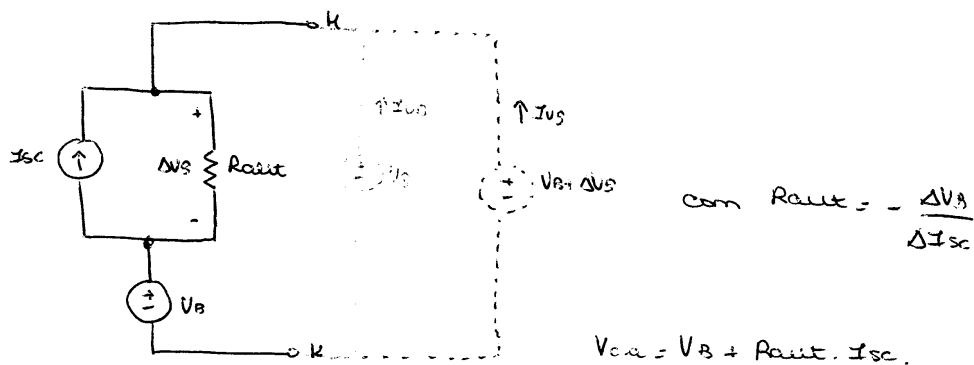


notiamo che:

nella fase 1  $V_B$  è esattamente uguale alla tensione presente tra i nodi H, K quando il gm. è disomesso senza resistenza  $I_{sc} = \neq$ . Nel caso in cui  $V_B$  sia differente dal punto di lavoro H, K allora  $I_{sc} \neq \neq$  e tale generatore si ha  $V_{HK} = V_B$ .

Nella fase 2, un incremento  $V_B + \Delta V_B$  produce una corrente  $I_{sc} + \Delta I_{sc}$

Il teorema dice che, se per dati intercedi della variazione  $V_B$ , la relazione tra  $V_B$  ed  $I_{sc}$  è lineare (ovvero il circuito risponde linearmente) è possibile modellare il circuito col seguente schema:



Dimostrazione di equivalenza:

1)  $I_{V_B} = -I_{sc}$

2)  $I_{V_B} = -I_{sc} + \frac{\Delta V_B}{R_{out}} = -I_{sc} - \Delta V_B \cdot \frac{\Delta I_{sc}}{\Delta V_B} = -I_{sc} - \Delta I_{sc}$

Che dimostra l'equivalenza.

Come interpretare questo risultato:

Se  $V_B$  è la tensione che noi ci aspettiamo tra H e K,  $R_{out} \cdot I_{sc}$  rappresenta l'offset.

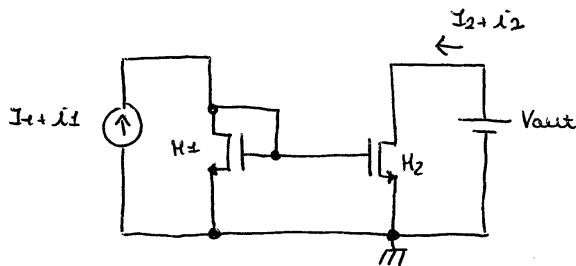
La differenza del teorema di Norton che fornisce la soluzione del circuito per piccoli segnali attorno al punto di lavoro, questo teorema tiene conto anche di variazioni del punto di lavoro, perché questo commentano ancora al circuito di rispondere in maniera lineare.

In pratica collegando un gen. con tensione che mi aspetto tra H e K e misurando  $I_{sc}$  mi faccio un'idea di quanto in realtà il punto di lavoro è diverso.

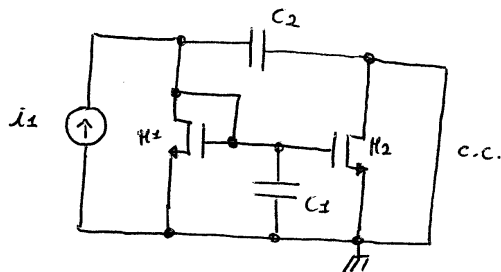
# SPECCHI DI CORRENTE

## SPECCHIO SEMPLICE A MOSFET

### RISPOSTA IN FREQUENZA



Alle notazioni risulta:



Stiamo analizzando un caso ideale:

- 1) Consideriamo nulla l'impedenza interna del generatore  $i_1$  (equivalentemente infinita l'ammettenza).

Questo evita di considerare il partitore di corrente in ingresso tra  $Z_s$  e  $Z_{in}$ .

- 2) Consideriamo nulla l'impedenza di carico.

Questo evita di considerare il partitore di corrente in uscita tra  $Z_L$  e  $Z_{out}$ .

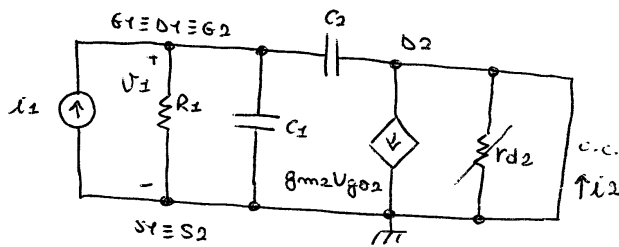
Nei casi in cui  $Z_L \ll Z_{out}$  si può considerare che tutta la corrente di c.c. fluisce sul carico.

Se fine di studio la risposta in frequenza si considerano le capacità parassite di  $M_1$  ed  $M_2$  le quali limitano il funzionamento del MOSFET ad alta frequenza.

$$C_1 = C_{gs1} + C_{gs2} + C_{db1}$$

$$C_2 = C_{gd2}$$

Si considera il modello equivalente di piccolo segnale di  $M_1$  ed  $M_2$ :



$$V_1 = V_{gs1} = V_{gs2}$$

$$R_1 = \frac{1}{g_{m1}} \parallel r_{d1} \approx \frac{1}{g_{m1}}$$

$A_1$ : guadagno di corrente di piccolo segnale

$$A_1 = \frac{i_2}{i_1}$$

$$V_1 = \frac{i_1}{g_1 + s(C_1 + C_2)}, \quad g_1 = \frac{1}{R_1}$$

$$i_2 = g_{m2} V_1 - V_1 s C_2 = V_1 (g_{m2} - s C_2)$$

$$\rightarrow i_2 = i_1 \cdot \frac{g_{m2} - s C_2}{g_1 + s(C_1 + C_2)}$$

$$A_1 = \frac{i_2}{i_1} = \frac{g_{m2} - s C_2}{g_1 + s(C_1 + C_2)}$$

$$A_{\pm}(s) = A_{\pm}(\varphi) \cdot \frac{1 - \frac{s}{\omega_z}}{1 + \frac{s}{\omega_p}} = \frac{g_{m2}}{g_{m1}} \cdot \frac{1 - s \frac{C_2}{g_{m2}}}{1 + s \frac{C_1 + C_2}{g_{m1}}}$$

$$A_{\pm}(\varphi) = \frac{g_{m2}}{g_{m1}} \sim \frac{g_{m2}}{g_{m1}} = K_S$$

Om resulta  $g_{m1} > g_{m2}$  quindi:  
 $A_{\pm}(\varphi) < \frac{g_{m2}}{g_{m1}} = K_S$

$$\left( \frac{g_{m2}}{g_{m1}} = \frac{\beta_2 (V_{GS2} - V_t)}{\beta_1 (V_{GS1} - V_t)} = \frac{\beta_2}{\beta_1} = K_S \right)$$

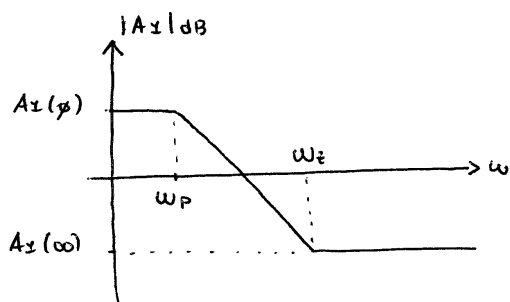
È un'altra cosa da notare: con l'uscita c.a. in c.c. ed  $K_1 \approx K_2$  lo specchio non guadagna ± ma un pò meno di 1.  
 $\rightarrow V_{GS2} \neq V_{GS1}$  causa un errore!

$$\omega_z = \frac{g_{m2}}{C_2}$$

$$\omega_p = \frac{g_{m1}}{C_1 + C_2} \sim \frac{g_{m1}}{C_1 + C_2}$$

$$A_{\pm}(\infty) = - \frac{C_2}{C_1 + C_2} < \varphi ; |A_{\pm}(\infty)| < 1$$

Supponiamo  $|A_{\pm}(\varphi)| > 1$  :  $\omega_p < \omega_z$

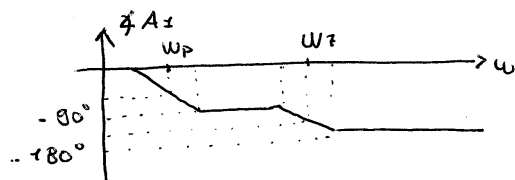


Notiamo che:

$$\omega \rightarrow \infty \Rightarrow \varphi_1 \rightarrow \varphi, g_{m2} \varphi_1 \rightarrow \varphi$$

da cui risulta esattamente

$$A_2 = A_1 \cdot \frac{C_2}{C_1 + C_2}$$

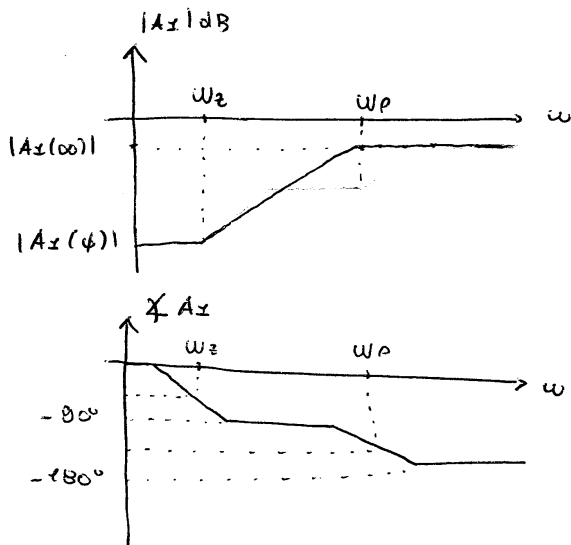


In questa situazione il limite di funzionamento dello specchio è definito dal polo  $\omega_p$ .



Supponiamo  $|A_{\pm}(\phi)| \ll 1 \leftarrow g_{m2} \ll g_{m1}$

Se  $|A_{\pm}(\phi)| < |A_{\pm}(\infty)| : \omega_z < \omega_p$



In questa situazione il limite di funzionamento dello specchio è definito dallo zero  $\omega_z$ .

$$\omega_p = \frac{g_{m1}}{C_1 + C_2} ; \quad C_1 + C_2 \sim C_1 \sim C_{gs1} + C_{gs2}$$

$$\uparrow$$

$$C_1 \gg C_2$$

$$C_{gs} \sim \frac{2}{3} C_{ox} W \cdot L$$

$$C_{gb} \sim C_j \cdot L_c \cdot W$$

$L_c$ : lunghezza di contatto

$$L_c \cdot W = \text{Area di Drain}$$

$$\omega_p = \frac{\mu_m C_{ox} \frac{W_1}{L_1} (V_{GS1} - U_t)}{\frac{2}{3} C_{ox} (W_1 L_1 + W_2 L_2)} = \frac{\mu_m C_{ox} \frac{W_1}{L_1} (V_{GS1} - U_t)}{\frac{2}{3} C_{ox} \frac{W_1}{L_1} \left( 1 + \frac{W_2 L_2}{W_1 L_1} \right)}$$

$$= \frac{\frac{3}{2} \cdot \underbrace{\mu_m (V_{GS1} - U_t)}_{\omega_{T1}}}{L_1^2} \cdot \frac{1}{1 + \frac{W_2 L_2}{W_1 L_1}} = \frac{\omega_{T1}}{1 + \frac{W_2 L_2}{W_1 L_1}}$$

$$f_p = \frac{W_p}{2\pi} = \frac{f_{T1}}{1 + \frac{W_2 L_2}{W_1 L_1}}$$

Supponendo  $M_1 \equiv M_2$  ( $W_1 = W_2, L_1 = L_2$ )  $\Rightarrow f_p = \frac{f_{T1}}{2}$

In realtà  $f_{p\text{REALE}} < f_p$  a causa delle approssimazioni che abbiamo effettuato nello sviluppo dei calcoli.

Supponendo  $L_1 = L_2$  :

$$\left\{ \begin{array}{l} \frac{W_2 L_2}{W_1 L_1} = \frac{W_2}{W_1} \\ K_s = \frac{W_2 L_1}{L_2 W_1} = \frac{W_2}{W_1} \end{array} \right. \rightarrow \frac{W_2 L_2}{W_1 L_1} = \frac{W_2}{W_1} = K_s$$

Per cui risulta :  $f_p \Big|_{L_1=L_2} = \frac{f_{T1}}{1+K_s}$

Questo significa che se intendessi amplificare ( $K_s > 1$ ) con  $L_1 = L_2 \rightarrow W_2 > W_1$  otterrei un inevitabile riduzione della banda dettata dalla presenza di  $f_p$ .

$W_{T1} \propto \frac{1}{L_1^2}$  : MOSFET a canale lungo hanno un inevitabile riduzione di  $W_{T1}$ .

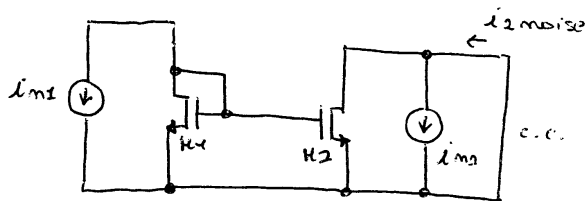
Per compensare questo effetto :  $W_{T1} \propto (V_{GS1} - U_T)$

Rendendo grande la tensione di over drive si riduce l'effetto di riduzione di  $W_{T1}$  ma si compromette la dinamica di uscita dello specchio  $U_{HIV}$ .

La riduzione della  $f_p$  comporta anche la compromissione del guadagno in DC : la riduzione di  $f_p$  introduce contributi di fase a bassa frequenza che in reazione potrebbero causare problemi di instabilità.

## RUMORE

nelle relazioni, considerando l'effetto dei due generatori di rumore (segnale in ingresso noise:  $i_1 = \phi$ ) a frequenza minore del limite di banda introdotto dal primo polo / zero ( $\omega_1$  e  $\omega_2$  non introducono effetto).



$$i_2 \text{ noise} = i_{n2} - i_{n1} A_1$$

Supponendo di lavorare ad  $f < f_p$  (equivalentemente  $f < f_z$   $\approx$  noise prima lo zero)

$$A_1 \approx A_1(\beta)$$

$$i_2 \text{ noise} = i_{n2} - i_{n1} A_1(\beta) \quad \text{per } f < f_p$$

$$\approx i_{n2} - i_{n1} \cdot \frac{g_{m2}}{g_{m1}}$$

$$S_{i_2 \text{ noise}}(f) = \text{PSD}(i_2 \text{ noise}) = S_{i_{n2}}(f) + S_{i_{n1}}(f) \cdot \left( \frac{g_{m2}}{g_{m1}} \right)^2$$

Componente termica di  $S_{i_2 \text{ noise}}$ :

$$S_{i_{n1}} = \frac{8}{3} kT g_{m1} (1+m) \approx \frac{8}{3} kT g_{m1}$$

$$\begin{aligned} S_{i_2 \text{ noise}}^{\text{TERM}} &= \frac{8}{3} kT g_{m2} + \frac{8}{3} kT g_{m1} \cdot \frac{g_{m2}^2}{g_{m1}^2} = \frac{8}{3} kT g_{m2} \left( 1 + \frac{g_{m2}}{g_{m1}} \right) \\ &= \frac{8}{3} kT g_{m2} (1 + A_1(\beta)) \end{aligned}$$

In uscita osserviamo il rumore termico dovuto ad  $H_2$  amplificato di un fattore  $(1 + A_2(\phi)) \equiv (1 + K_S)$

Componente Flicker di  $S_{i_2 \text{ noise}}(f)$ :

$$S_{i_1 \text{ flick}}(f) = g_{m1}^2 \cdot \frac{N_f}{W_1 L_1} \cdot \frac{1}{f}$$

$$S_{i_2 \text{ noise flick}}(f) = g_{m2}^2 \cdot \frac{N_f}{W_2 L_2} \cdot \frac{1}{f} + g_{m1}^2 \cdot \frac{N_f}{W_1 L_1} \cdot \frac{1}{f} \cdot \frac{g_{m2}^2}{g_{m1}^2}$$

$$= g_{m2}^2 \cdot N_f \cdot \frac{1}{f} \cdot \frac{1}{W_2 L_2} \cdot \left( 1 + \frac{W_2 L_2}{W_1 L_1} \right)$$

$$= g_{m2}^2 \cdot N_f \cdot \frac{1}{f} \cdot \frac{1}{W_2 L} \left( 1 + \frac{W_2}{W_1} \right) \quad \text{se } L_1 = L_2 = L$$

$$= g_{m2}^2 \cdot N_f \cdot \frac{1}{f} \cdot \frac{1}{W_2 L} (1 + K_S)$$

In uscita osserviamo il rumore flicker dovuto ad  $H_2$  amplificato, nel caso di  $L_1 = L_2$ , di un fattore

$$(1 + K_S) \equiv (1 + A_2(\phi))$$

Ricordando che:  $g_{m1} = \frac{I_{DS1}}{V_{TE1}}$

$$g_{m2} = \frac{I_{DS2}}{V_{TE2}}$$

$$S_{i_2 \text{ noise TEAM}} = \frac{8}{3} kT \frac{I_{DS2}}{V_{TE2}} (1 + A_2(\phi))$$

$$S_{i_2 \text{ noise flick}}(f) = \frac{I_{DS2}^2}{V_{TE2}^2} \cdot N_f \cdot \frac{1}{f} \cdot \frac{1}{W_2 L} (1 + K_S)$$

Si nota immediatamente che se:

$$I_{DS2} \uparrow \Rightarrow S_{i_2 \text{ noise}}(f) \uparrow$$

$$V_{TE2} \uparrow \Rightarrow S_{i_2 \text{ noise}}(f) \downarrow$$

da migliore condizione è  
partire un F.T. con alti valori

$$\text{di } V_{TE} = \frac{V_{GS} - U_T}{2}$$

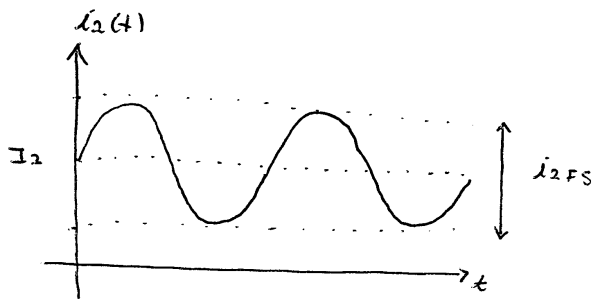
(29)

Andiamo a focalizzarci su un parametro importante nel caso in cui lo specchio venga utilizzato in una linea di processing del segnale: DR.

$$DR = \frac{i_{2FS}}{i_{2\text{morsepp}}}$$

$i_{2FS}$  è l'oscillazione totale del segnale presente in uscita

$i_{2\text{morsepp}}$  è il valore picco picco del rumore in aut.



$I_2$ : punto di lavoro di  $i_2(t)$

$$\rightarrow i_{2FS} = \alpha \cdot I_2, \quad \alpha \leq 2$$

È necessario considerare che  $\alpha$  non potrà mai raggiungere il valore  $\alpha=2 \rightarrow$  in questo caso risulterebbe  $i_2(t) = \phi$  con conseguente  $gm_2 = \phi$ . Questo comporterebbe un abbassamento della frequenza  $f_2$  con conseguente riduzione della risposta in frequenza.

Un modo da garantire una moderata riduzione del parametro desideriamo  $\alpha \leq 1$ .

$$i_{2\text{morsepp}} = 4 i_{2\text{morse RMS}} = 4 \sqrt{\int_{f_1}^{f_2} S_{i_{2\text{morse}}}(f) df}$$

Valutiamo  $DR^2$  al posto di DR.

$$DR^2 = \frac{I_{2FS}^2}{i_{2noisePP}^2} = \frac{\alpha^2 I_2^2}{16 \int_{f_1}^{f_2} S_{i_{2noise}}(\phi) d\phi} \quad ; \quad f_2 - f_1 = B_S$$

Banda del segnale.

$$DR_{TERM}^2 = \frac{I_{2FS}^2}{i_{2noiseTERMPP}^2} = \frac{\alpha^2 I_2^2}{16 \cdot \frac{8}{3} kT \frac{I_{OS2}}{V_{TE2}} (1 + A_x(\phi)) \cdot B_S} \quad (I_2 = I_{OS2})$$

$$= \frac{3 \cdot \alpha^2 \cdot I_2 \cdot V_{TE2}}{128 \cdot kT \cdot (1 + A_x(\phi)) \cdot B_S}$$

$I_2 \uparrow \Rightarrow DR_{TERM}^2 \uparrow$  Questo significa che aumentando un circuito molto più potenza nel fine di produrre un segnale, otterremo necessariamente DR bassi.

$$DR_{TERM}^2 = \frac{3}{128} \cdot \frac{\alpha^2 I_2 V_{TE2}}{kT B_S (1 + A_x(\phi))} \quad ; \quad S_{i_{2noiseTERM}} = \frac{8}{3} kT \frac{I_{OS2}}{V_{TE2}} (1 + A_x(\phi))$$

$$I_2 = I_{OS2} \uparrow \Rightarrow DR_{TERM}^2 \uparrow \quad S_{i_{2noiseTERM}} \uparrow$$

$$V_{TE2} \uparrow \Rightarrow DR_{TERM}^2 \uparrow \quad S_{i_{2noiseTERM}} \downarrow$$

$$A_x(\phi) \uparrow \Rightarrow DR_{TERM}^2 \downarrow \quad S_{i_{2noiseTERM}} \uparrow$$

$$\alpha \uparrow \Rightarrow DR_{TERM}^2 \uparrow$$

$$B_S \uparrow \Rightarrow DR_{TERM}^2 \downarrow$$

$$DR_{\text{FLICK}}^2 = \frac{I_2^2 FS^2}{I_2 \text{ NOISE FLICK PP } \left(\frac{f}{f_1}\right)^2} = \frac{\alpha^2 I_2^2}{16 \cdot \frac{I_{DS2}^2}{V_{TE2}^2} N_f \cdot \frac{1}{W_2 L_2} \left(1 + \frac{W_2 L_2}{W_1 L_1}\right) \ln\left(\frac{f_2}{f_1}\right)}$$

$$= \frac{\alpha^2 V_{TE2}^2 W_2 L_2}{16 N_f \left(1 + \frac{W_2 L_2}{W_1 L_1}\right) \ln\left(\frac{f_2}{f_1}\right)} \quad (I_2 = I_{DS2})$$

$DR_{\text{FLICK}}^2$  è indipendente da  $I_2 = I_{DS2}$ .

$$DR_{\text{FLICK}}^2 = \frac{\alpha^2 V_{TE2}^2 W_2 L_2}{16 N_f \left(1 + \frac{W_2 L_2}{W_1 L_1}\right) \ln\left(\frac{f_2}{f_1}\right)} ; S_{I_2 \text{ noise FLICK}} \left(\frac{f}{f_1}\right) = \frac{I_{DS2}^2}{V_{TE2}^2} \cdot N_f \cdot \frac{1}{f} \cdot \frac{1}{W_2 L_2} \left(1 + \frac{W_2 L_2}{W_1 L_1}\right)$$

$I_2 = I_{DS2} \uparrow \Rightarrow DR_{\text{FLICK}}^2 = \text{cost} \quad S_{I_2 \text{ noise FLICK}} \left(\frac{f}{f_1}\right) \uparrow$

$V_{TE2} \uparrow \Rightarrow DR_{\text{FLICK}}^2 \uparrow \quad S_{I_2 \text{ noise FLICK}} \left(\frac{f}{f_1}\right) \downarrow$

$\alpha \uparrow \Rightarrow DR_{\text{FLICK}}^2 \uparrow$

$W_2 L_2 \uparrow \Rightarrow DR_{\text{FLICK}}^2 \uparrow \quad S_{I_2 \text{ noise FLICK}} \left(\frac{f}{f_1}\right) \downarrow$

Consideriamo che portare le MOS2 in F.I. significa  $V_{TE2} = \frac{V_{GS2} - U_t}{2}$

aumentare l'overdrive  $V_{GS2} - U_t$  significa aumentare  $V_{GS2}$

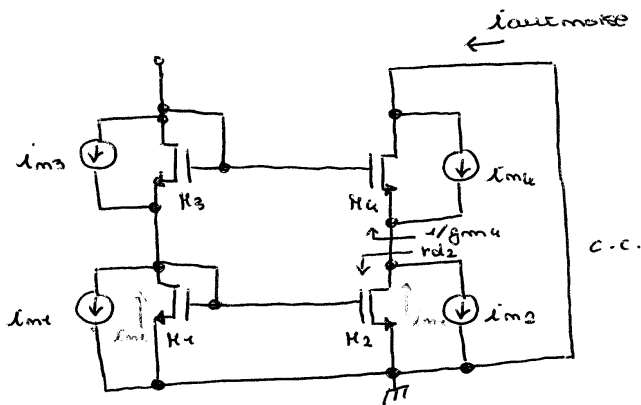
con conseguente riduzione della dinamica di uscita.

$V_{HIN2} = V_{DS_{SAT2}} = V_{GS2} - U_t$  in F.I.

# SPECCHIO CASCODE A MOSFET

## RUMORE

Si consideri il circuito di piccolo segnale ideale operato in cascoda con sorgenti di rumore dovute ai MOSFET in assenza di segnale in ingresso. ( $i_s = \phi$ )



Opportuni di idealità:

- 1) impedenza di sorgente  $Z_S = \phi$  ;
- 2) impedenza di carico  $Z_L = \phi$  ;

$$i_{m2} \neq \phi, \quad i_{m1} = i_{m3} = i_{m4} = \phi :$$

$M_1, M_3$  OFF.

$$i_{\text{aut noise}}(i_{m2}) = i_{m2} \cdot \frac{r_{d2}}{r_{d2} + \frac{1}{g_{m4}}} = i_{m2} \frac{r_{d2} g_{m4}}{1 + r_{d2} g_{m4}} \sim i_{m2} \quad \odot$$

$$i_{m1} \neq \phi, \quad i_{m2} = i_{m3} = i_{m4} = \phi :$$

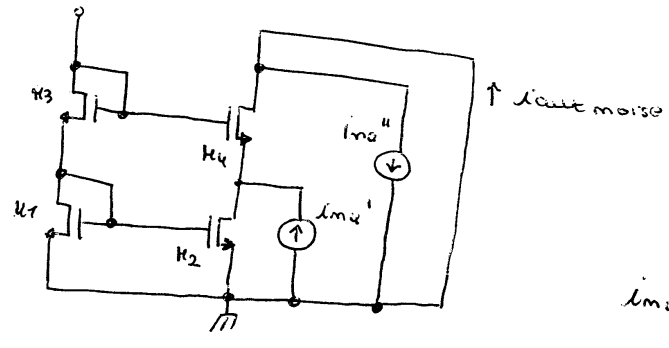
$$i_{\text{aut noise}}(i_{m1}) = -i_{m1} \cdot A_v \cdot \frac{r_{d2} g_{m4}}{1 + r_{d2} g_{m4}} \sim -i_{m1} A_v \quad \odot$$

$$i_{\text{aut noise}}(i_{m1}) \sim -i_{m1} A_v(\phi) \quad \text{per } f \ll f_P$$



$i_{m4} \neq \phi$ ,  $i_{m1} = i_{m2} = i_{m3} = \phi$ :

$i_{m4}$  non è riferito a massa, si modifica il circuito nella seguente maniera:



$$i_{m4} = i_{m4}' + i_{m4}''$$

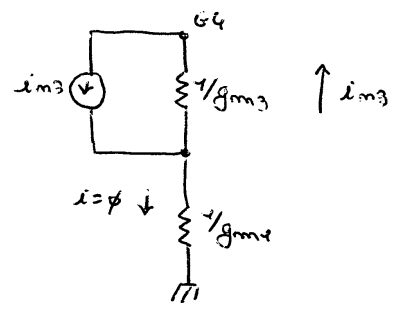
$$i_{out\ noise}(i_{m4}) = i_{out\ noise}(i_{m4}') + i_{out\ noise}(i_{m4}'')$$

$$= -i_{m4}' \cdot \frac{r_{D2} g_{m4}}{1 + r_{D2} g_{m4}} + i_{m4}''$$

$$= i_{m4} \left( 1 - \frac{r_{D2} g_{m4}}{1 + r_{D2} g_{m4}} \right)$$

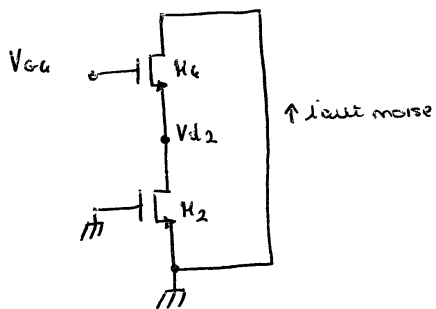
$$= i_{m4} \cdot \frac{1}{1 + r_{D2} g_{m4}} \sim \frac{i_{m4}}{r_{D2} g_{m4}}$$

$i_{m3} \neq \phi$ ,  $i_{m1} = i_{m2} = i_{m4} = \phi$ :



$$V_{o4} = -i_{m3} \cdot \frac{1}{g_{m3}}$$

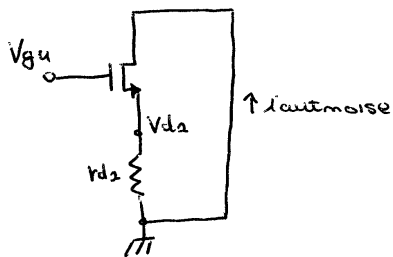




$$V_{gs2} = V_{gs1}$$

$$\Rightarrow g_{m2} V_{gs2} = g_{m1}$$

|||



$$V_{d2} = -i_{m3} \cdot \frac{1}{g_{m3}} \cdot \frac{r_{d2} g_{m4}}{1 + r_{d2} g_{m4}}$$

Deriva dalla seguente nota per un source follower:

$$V_{rs} = V_{im} \cdot \frac{g_m R_s}{1 + g_m R_s}$$

$$i_{\text{laut noise}}(i_{m3}) = V_{d2} \cdot \frac{1}{r_{d2}} = -i_{m3} \cdot \frac{1}{g_{m3}} \cdot \frac{r_{d2} g_{m4}}{1 + r_{d2} g_{m4}} \cdot \frac{1}{r_{d2}}$$

$$= -i_{m3} \cdot \frac{g_{m4}}{g_{m3}} \cdot \frac{1}{r_{d2} g_{m4}}$$

Ricordando che vale la regola:  $M_1 = M_3$   
 $M_2 = M_4$

$$\frac{g_{m4}}{g_{m3}} = \frac{g_{m2}}{g_{m1}} = A_z(\beta)$$

$$\rightarrow i_{\text{laut noise}}(i_{m3}) = -i_{m3} \cdot A_z(\beta) \cdot \frac{1}{r_{d2} g_{m4}}$$

$$i_{\text{aut noise}}(\omega_1) = -\lim_1 A_I(\omega)$$

$$i_{\text{aut noise}}(\omega_2) = \lim_2$$

$$i_{\text{aut noise}}(\omega_3) = -\lim_3 A_I(\omega) \cdot \frac{1}{r_{d2} g_{m4}}$$

$$i_{\text{aut noise}}(\omega_4) = \frac{\lim_4}{r_{d2} g_{m4}}$$

$H_1$  ed  $H_2$  introducono lo stesso quantitativo di rumore che introducono nello specchio semplice a MOSFET.

$H_3$  ed  $H_4$  introducono lo stesso quantitativo di rumore che introducono  $H_1$  ed  $H_2$  ma attenuato fortemente di un fattore  $1/r_{d2} g_{m4}$ .

$r_{d2} g_{m4} \sim 100$  : fattore di attenuazione 100 per  $i_{\text{aut noise}}(\omega_3, \omega_4)$

$(r_{d2} g_{m4})^2 \sim 10000$  : fattore di attenuazione 10000 per  $S_{i_{\text{aut noise}}}(\omega_3, \omega_4)$

Supponiamo  $K_5 = 1$  :

- $V_{GS1} = V_{GS2}$
  - $V_{DS1} = V_{DS2}$  ← grazie ad  $H_3, H_4$
  - $W_1 = W_2$
  - $L_1 = L_2$
- }  $H_1 = H_2$

$$K_5 = 1 \rightarrow A_I(\omega) = 1$$

$$i_{\text{aut noise}}(\omega_1) = -\lim_1$$

$$i_{\text{aut noise}}(\omega_2) = \lim_2$$

Se  $K_1 = K_3 \Rightarrow K_2 = K_4$

$$i_{out\ moise}(i_{m3}) = -i_{m3} / r_{d2} g_{m4}$$

$$i_{out\ moise}(i_{m4}) = i_{m4} / r_{d3} g_{m4}$$

accade che, per ogni specchio, le correnti di summa  
dovute ai due MOSFET si sottraggono in uscita.

Questo comporta che la summa totale in cui controbilanciano  
non avrà gli effetti di matching.

## SPECCHIO CASCODE A LARGA DINAMICA AD ALTA PRECISIONE A MOSFET

nesso specchio cascode precedente risulta:

$$V_{im} = V_{GS1} + V_{GS3}$$

$$V_{mim} = V_{DS2} + V_{DS_{SAT4}}, \quad V_{DS2} > V_{DS_{SAT2}}$$

$$V_{DS_{SAT4}} = V_{GS4} - V_t \quad \text{F.L. SAT.}$$

$$V_{DS2} = V_{DS1} = V_{GS1}$$

$$V_{mim} = V_{GS1} + V_{DS_{SAT4}}$$

che riduce fortemente la dinamica di uscita per basse  
tensioni di alimentazione.

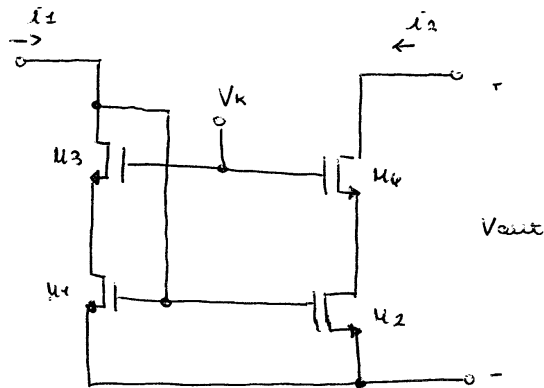
nesso specchio cascode a larga dinamica risulta:

$$V_{im} = V_{GS1} + V_{GS3}$$

$$V_{mim} = V_{DS_{SAT2}} + V_{DS_{SAT4}} \sim 2(V_{GS} - V_t) \quad \text{F.L. SAT.}$$

Il problema di questo specchio è la scarsa precisione con la quale si ottiene l'aut in funzione di  $i_{in}$  a causa del fatto che  $V_{DS1} \neq V_{DS2}$ .

Si utilizza una soluzione ad alta precisione:



Dal momento del circuito  $i_2$  fluisce nelle capacità parassite di  $M_3$  facendo immobilizzare il nodo  $V_{D3}$ .

$V_{D3} = V_k$  e quindi nel momento in cui  $V_k > V_t$  lo specchio  $M_3 : M_2$  entra in funzione.

$M_3, M_4$  definiscono le tensioni  $V_{DS1}, V_{DS2}$  grazie alla  $V_k$  prodotta da un circuito ausiliario.

Definiamo come in precedenza:

$$\begin{aligned} M_1 &= M_3 \\ M_2 &= M_4 \end{aligned} \quad \rightarrow \quad \frac{\beta_4}{\beta_3} = \frac{\beta_2}{\beta_1} \quad \rightarrow \quad V_{GS3} = V_{GS4}$$

$$V_{DS1} = V_k - V_{GS3}$$

$$V_{DS2} = V_k - V_{GS4}$$

$\rightarrow V_{DS1} = V_{DS2}$  che garantisce la precisione dello specchio:  $K_3 = \beta_2 / \beta_1$ .

(100)

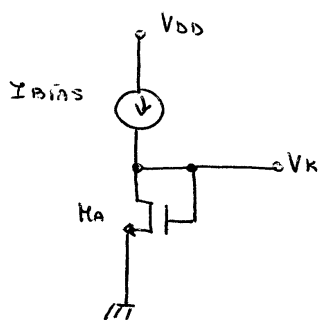
Risulta:

$$V_{min} = V_{DS2} + V_{DS4_{SAT}}$$

La differenza delle operazioi cascate in cui risulta  $V_K = V_{GS1} + V_{GS3}$

qui il valore di  $V_K$  può essere determinato al fine di porre  $V_{DS2} = V_{DS2_{SAT}}$ .

Generazione di  $V_K$ :



$$V_{DS2} = V_{DS2_{SAT}} = (V_{GS} - U_t)_2 \quad \text{F.Z. SAT.}$$

$$V_{DS2} = (V_{GS} - U_t)_2 = V_K - V_{GS4}$$

$$= V_{GS_A} - V_{GS4}$$

$$= (V_{GS} - U_t)_A + U_{tA} - (V_{GS} - U_t)_4 - U_{t4}$$

$U_{t4} > U_{tA}$  a causa dell'effetto Body

$$U_{tA} - U_{t4} = -E$$

-> Regola di progetto:

$$(V_{GS} - U_t)_2 = (V_{GS} - U_t)_A - (V_{GS} - U_t)_4 - E \quad (\mu_2, \mu_4 \text{ SAT.})$$

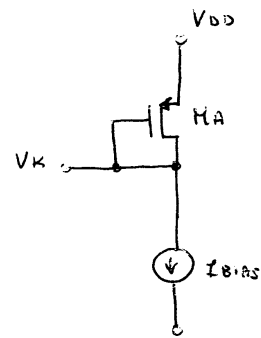
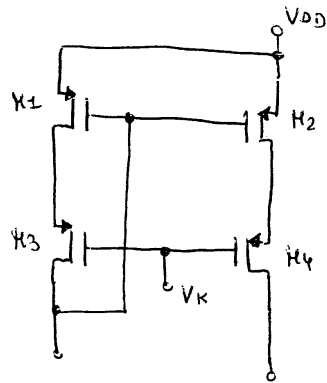
$$(V_{GS} - U_t)_A = (V_{GS} - U_t)_2 + (V_{GS} - U_t)_4 + E$$

"  $(V_{GS} - U_t)_A$  si fa carico dell'overdrive di  $M_2$  ed  $M_4$  " .

$$V_{in} = V_{GS1}$$

$$R_3 \text{ in SAT: } V_{DS3} \geq V_{GS3} - U_{t3} \rightarrow V_{DS3} = V_{GS3} \geq V_K - U_{t3}$$

Configurazione con MOSFET P :



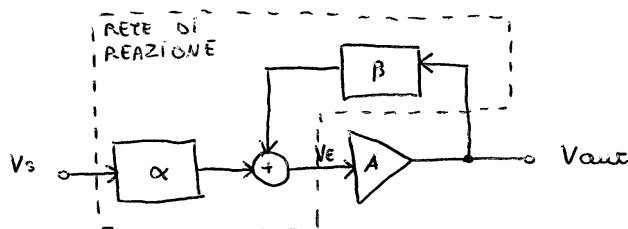
Le tensioni si riferiscono rispetto a  $V_{DD}$  non ground.

$$|V_{gs}| = |V_K - V_{DD}| - |V_{t3}|$$

↑  
 $V_K$  riferito a  $V_{DD}$ .

# APPLICAZIONE DEL TEOREMA DI SCOMPOSIZIONE NELLA PROGETTAZIONE DI ANELLI DI REAZIONE IN CIRCUITI BASATI SU A.O.

## DIAGRAMMA A BLOCCHI IDEALE DI UN SISTEMA REAZIONATO TEORIA ELEMENTARE DELLA REAZIONE



Ogni blocco è ideale ed unidirezionale.

$$\frac{V_{out}}{V_s} = -\frac{\alpha}{\beta} \cdot \frac{\beta A}{\beta A - 1}$$

Se  $|\beta A| \rightarrow \infty \Rightarrow \frac{V_{out}}{V_s} \sim -\frac{\alpha}{\beta}$  ← CASO IDEALE

$$\frac{\beta A}{\beta A - 1} = \frac{1}{1 - \frac{1}{\beta A}} \sim 1 + \frac{1}{\beta A} \quad \text{se } \left| \frac{1}{\beta A} \right| \ll 1 \quad (|\beta A| \gg 1) \quad \leftarrow \text{CASO REALE}$$

$$\rightarrow \frac{V_{out}}{V_s} \sim -\frac{\alpha}{\beta} \cdot \left( 1 + \frac{1}{\beta A} \right)$$

$$|E_r| = \frac{1}{|\beta A|} \quad \text{errore relativo}$$

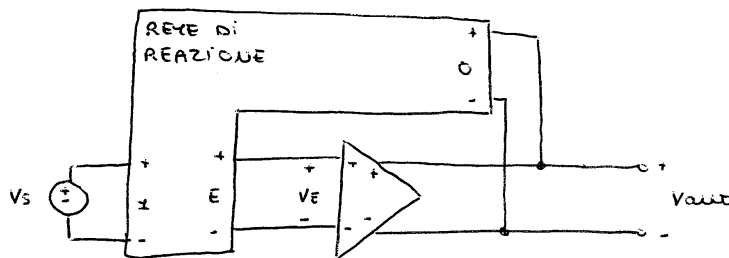
mi fornisce una misura quantitativa dell'errore:  
una volta definito  $\frac{\alpha}{\beta}$ , mi indica quanto deve  
essere grande A al fine di ottenere un certo errore.

$$V_e \rightarrow 0 \quad \text{se } A \rightarrow \infty.$$



## REAZIONE NEI SISTEMI ELETTRICI

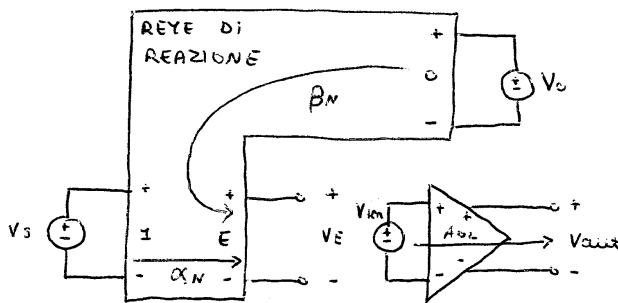
L'analisi si complica in quanto è necessario testare la bidirezionalità dei descrittori e la presenza di effetti crosstalk dovuti a descrittori montati in cascata.



La rete di reazione è in generale una rete passiva.

Si disconnette idealmente l'amplificatore dalla rete di reazione in modo da determinare le p.d.t.  $\frac{V_E}{V_s}$  e

$\frac{V_E}{V_s}$  indipendentemente dall'effetto crosstalk dell'A.C.



$$\alpha_N = \frac{V_E}{V_s} \Big|_{V_o = \phi}$$

$$\beta_N = \frac{V_E}{V_o} \Big|_{V_s = \phi}$$

$$A_{OL} = \frac{V_{out}}{V_{in}}$$

$$V_E = V_s \cdot \alpha_N + V_o \cdot \beta_N$$

$$V_{out} = A_{OL} \cdot V_{in}$$

(427)

In particolare modo è necessario notare che  $\alpha \neq \alpha_N$ ,

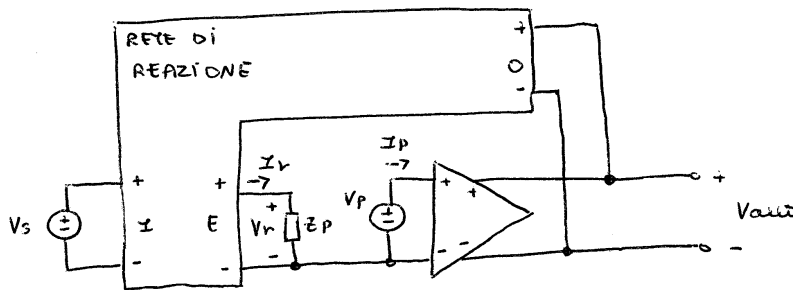
$\beta \neq \beta_N$ ,  $A \neq A_{OL}$  in quanto:

- il guadagno dell'A.O. dipende dall'effetto caricante della rete di reazione;

La f.d.t. dell'anello di reazione è diversa dalla f.d.t. con A.O. disamnessa e diversa dalla f.d.t. eseguita in anello chiuso.

- i blocchi non sono unidirezionali

Si utilizza il teorema di scomposizione:



$$A = \left. \frac{V_{out}}{V_P} \right|_{V_S = \phi} ; \quad \beta = \left. \frac{V_r}{V_{out}} \right|_{V_S = \phi} ; \quad Z_I = \left. \frac{V_P}{I_P} \right|_{V_S = \phi}$$

$$\gamma = \left. \frac{V_{out}}{V_S} \right|_{V_P = \phi} ; \quad \alpha = \left. \frac{V_r}{V_S} \right|_{V_P = \phi} ; \quad \rho = \left. \frac{I_P}{V_S} \right|_{V_P = \phi}$$

$$V_P = \frac{\alpha}{1 - \beta A} \cdot V_S ; \quad \frac{1}{Z_P} = \frac{1}{Z_I} + \frac{\rho}{\alpha} (1 - \beta A)$$

$$\frac{V_{out}}{V_S} = - \frac{\alpha}{\beta} \cdot \frac{\beta A}{\beta A - 1} + \gamma$$

nel caso di A.O. unidirezionale:

$$\rho = \phi \rightarrow Z_I = Z_p = Z_{im\ A.O.}$$

l' espressione  $\frac{V_{out}}{V_s} = -\frac{\alpha}{\beta} \cdot \frac{\beta A}{\beta A - 1} + \beta$  è molto simile

all' espressione ricorrenza in precedenza per cui

$$\text{risultava: } \frac{V_{out}}{V_s} = -\frac{\alpha}{\beta} \cdot \frac{\beta A}{\beta A - 1}$$

Sarebbe desiderabile che:

- $\beta = \phi$  in quanto introduce un segno rispetto al valore nominale  $\frac{V_{out}}{V_s} \sim -\frac{\alpha}{\beta}$ , il cui modulo non è ridotto tramite il termine  $\beta A$ ;
- $\alpha = \alpha_N$ ,  $\beta = \beta_N$  in modo da poter costruire la rete di reazione indipendentemente dalle caratteristiche dell' A.O.

Un particolare risultato che:

$$\text{se } \begin{cases} Z_{out\ A.O.} = \phi \\ Z_{im\ A.O.} = \infty \end{cases} \Rightarrow \begin{cases} \beta = \phi \\ \alpha = \alpha_N \\ \beta = \beta_N \end{cases} \quad (\text{assenza di effetto caricante di A.O.})$$

In pratica, se  $\rho = \phi$ , è sufficiente che:

$$|Z_{out\ A.O.}| \ll |Z_o| \Rightarrow \begin{cases} \beta = \phi \\ \alpha = \alpha_N \end{cases}$$

$$|Z_{im\ A.O.}| = |Z_i| \gg |Z_E| \Rightarrow \beta = \beta_N$$

con  $Z_o$ : impedenza nota ai capi di  $O$  quando  $I = \bar{I}$  chiusa in c.c. ed  $E$  è cortocircuitata con  $Z_p$ .

(14)

con  $Z_E$ : impedenza vista ai capi di E quando  $\bar{I}$  è chiusa in c.c. ed O è caricata con  $Z_{out}$ .

Realizzare  $|Z_{inA.O.}| \gg |Z_E|$  non è poi così difficile mentre è difficile rispettare  $|Z_{outA.O.}| \ll |Z_O|$  nei moderni A.O. a bassa tensione di alimentazione a causa di riduzioni della dinamica di uscita.

Gli stadi di aut sono stadi COMMON DRAIN che mostrano  $r_d \sim$  decine di k $\Omega$ .

$\Rightarrow \beta \neq \beta$  ed  $\alpha$  dipende fortemente da  $Z_{outA.O.}$ .

Si definisce adesso:

$$\alpha^* = \left. \frac{V_r}{V_s} \right|_{V_o, V_p = \phi}$$

$$\beta^* = \left. \frac{V_r}{V_o} \right|_{V_s, V_p = \phi}$$

$\alpha^*, \beta^*$  tengono conto dell'effetto casificante di  $Z_p$ .

Si può dimostrare che  $\beta^* = \beta$  ed simetre:

$$\frac{V_{out}}{V_s} = - \frac{\alpha^*}{\beta^*} \cdot \frac{\beta^* A}{\beta^* A - 1} + \frac{\delta}{1 - \beta^* A}$$

nel caso in cui  $|\beta^* A| \rightarrow \infty \Rightarrow \frac{V_{out}}{V_s} \sim - \frac{\alpha^*}{\beta^*}$

nel caso in cui  $Z_{inA.O.} \rightarrow \infty$

$$\Rightarrow \begin{cases} \alpha^* \sim \alpha_N \\ \beta^* = \beta \sim \beta_N \end{cases}$$

In presenza di effetto casificante di  $Z_{inA.O.}$ :  $Z_{inA.O.} \neq \infty$

$$\alpha^* \neq \alpha_N$$

$$\beta^* \neq \beta_N$$

(15)

ma risulta che:

$$-\frac{\alpha^*}{\beta^*} = -\frac{\alpha_N}{\beta_N}$$

Zp ottenuto solo stesso momento sia  $\alpha^*$  che  $\beta^*$ .

Questo significa che:

$$\frac{V_{out}}{V_s} \sim -\frac{\alpha^*}{\beta^*} \sim -\frac{\alpha_N}{\beta_N} \quad (|\beta^* A| \rightarrow \infty)$$

posso progettare la rete di reazione senza tener conto dell'A.O.

La presenza degli effetti caricanti introdotti dall'A.O. vengono considerati per determinare l'errore rispetto al valore nominale di  $\frac{V_{out}}{V_s}$  in quanto

$$A(Z_{out, A.O.}) \text{ e } \beta(Z_{in, A.O.})$$

$$\alpha = \alpha^* = \alpha_N$$

$$\left( \begin{array}{l} Z_{out, A.O.} = \beta \\ Z_{in, A.O.} \neq \infty \end{array} \right) \quad \left( Z_{in, A.O.} = \infty \right)$$

$$\beta = \beta^* = \beta_N$$

$$\left( \begin{array}{l} \text{esterne} \\ \text{separate} \end{array} \right) \quad \left( Z_{in, A.O.} = \infty \right)$$

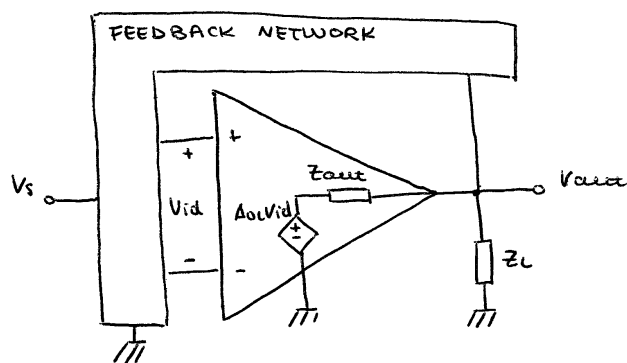
## SPECIFICHE E CARATTERISTICHE A.O.

### CARATTERISTICHE

A.O. è un amplificatore con le seguenti caratteristiche:

- input differenziale;
- DC gain elevato;
- Alta impedenza di ingresso per entrambi gli input;
- Stabilità per un ampio range di condizioni di reazione.

Utilizzare A.O. in reazione consente all'applicatore finale di essere veramente più semplice dai parametri dell'amplificatore: questo grazie al guadagno e alle resistenze di ingresso elevate.



$A_{ol}$ : open loop gain

Dalla trattazione precedente risulta:

$$\frac{V_{out}}{V_s}(s) = H(s)$$

$$\frac{V_{out}}{V_s}(s) \Big|_{IDEALE} = H_{IDEALE}(s)$$

$$H_{IDEALE}(s) = -\frac{\alpha^*}{\beta^*} \sim -\frac{\alpha_N}{\beta_N}, \text{ con } |\beta^* A| \rightarrow \infty$$

$$\alpha^* = \frac{V_r}{V_s} \Big|_{V_o, V_p = \emptyset}$$

$$\beta^* = \frac{V_r}{V_o} \Big|_{V_s, V_p = \emptyset}$$

$$\alpha_N = \frac{V_E}{V_s} \Big|_{V_o = \emptyset}$$

$$\beta_N = \frac{V_E}{V_o} \Big|_{V_s = \emptyset}$$

$$H(s) = -\frac{\alpha^*}{\beta^*} \cdot \frac{\beta^* A}{\beta^* A - 1} + \frac{\delta}{1 - \beta^* A}, \quad \beta^* = \beta$$

$$A = \frac{V_{out}}{V_p} \Big|_{V_s = \emptyset} = A_{OL} \cdot \frac{Z_p \parallel Z_L}{Z_{out} + Z_p \parallel Z_L} \quad |A| < |A_{OL}|$$

$$\delta = \frac{V_{out}}{V_s} \Big|_{V_p = \emptyset}$$

$$\beta = \frac{V_r}{V_{out}} \Big|_{V_s = \emptyset}$$

$$\epsilon_r = \frac{H - H_{IDEALE}}{H_{IDEALE}} = \frac{-\frac{\alpha^*}{\beta^*} \cdot \frac{\beta^* A}{\beta^* A - 1} + \frac{\delta}{1 - \beta^* A} + \frac{\alpha^*}{\beta^*}}{-\frac{\alpha^*}{\beta^*}}$$

$$= \frac{-\frac{\alpha^*}{\beta^*} \left[ \frac{\beta^* A}{\beta^* A - 1} - 1 \right] - \frac{\delta}{\beta^* A - 1}}{-\frac{\alpha^*}{\beta^*}} = \frac{-\frac{\alpha^*}{\beta^*} \cdot \frac{1}{\beta^* A - 1} - \frac{\delta}{\beta^* A - 1}}{-\frac{\alpha^*}{\beta^*}}$$

$$= \frac{1}{\beta^* A - 1} + \frac{\beta^*}{\alpha^*} \cdot \frac{\delta}{\beta^* A - 1} = \frac{1}{\beta^* A - 1} - \frac{\delta}{\beta^* A - 1} \cdot \frac{1}{K_{IDEALE}}$$

$$= \frac{1}{\beta^* A - 1} \left[ 1 - \frac{\delta}{K_{IDEALE}} \right] \sim \frac{1}{\beta^* A} \left[ 1 - \frac{\delta}{K_{IDEALE}} \right] \quad \text{con } |\beta^* A| \gg 1$$

$$|E_r| = \frac{1}{|\beta^* A|} \left| 1 - \frac{\delta}{K_{IDEALE}} \right| \leq \frac{1}{|\beta^* A|} \left[ 1 + \left| \frac{\delta}{K_{IDEALE}} \right| \right]$$

$$\text{Se } \left| \frac{\delta}{K_{IDEALE}} \right| \sim 1 \rightarrow |E_r| \leq \frac{2}{|\beta^* A|}$$

$$\text{Se } \delta = 0 \rightarrow |E_r| \leq \frac{1}{|\beta^* A|}$$

In ogni caso l'errore che si commette nel definire  $\frac{V_{out}}{V_s}$  è dell'ordine di  $\frac{1}{|\beta^* A|}$ .

#### CONSIDERAZIONI SU $R_{out}$

$R_{out}$  influenza  $A$ :

Questo che sarebbe desiderato è  $R_{out} = 0$ .  
 $\rightarrow A = A_{OL}$ .

$$A = \frac{V_{out}}{V_P} \Big|_{V_S=0} = A_{OL} \cdot \frac{z_p // z_L}{z_{out} + z_p // z_L} = A_{OL} \cdot \frac{1}{1 + \frac{z_{out}}{z_p // z_L}}$$

nel caso in cui  $z_{out} > z_p // z_L$  :  $A < A_{OL}$ .

Questo non rappresenta comunque un problema se l'A.O. viene usato in reazione a petto che:

$$|\beta A| \gg 1.$$

(179)



## CONSIDERAZIONI SU $I_{outMAX}$

$$-I_{ON} < I_{out} < I_{OP}$$

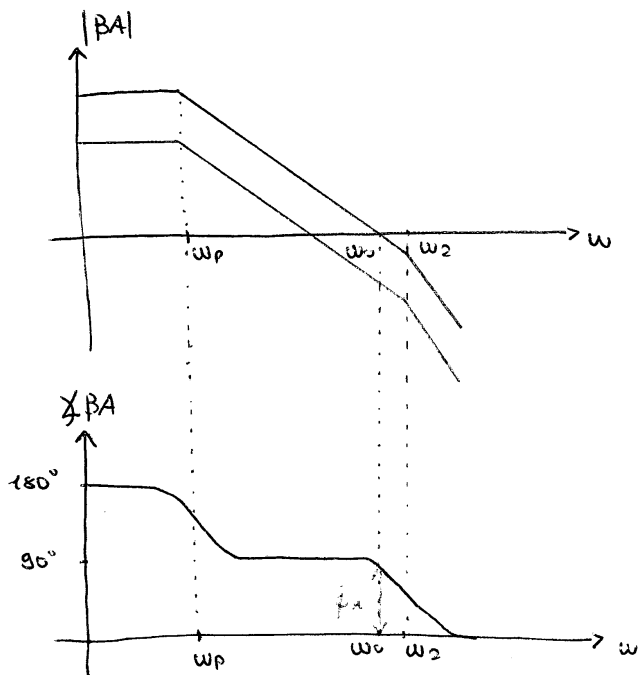
$-I_{ON}$  : massima corrente che A.O. può assorbire.

$I_{OP}$  : massima corrente che A.O. può erogare.

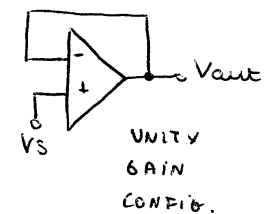
## CONSIDERAZIONI SULLA STABILITÀ

Ci si riferisce ad A.O. chiusi in anello.

$\beta A$  : guadagno d'anello



$$\bullet |\beta| = 1$$



$$\bullet |\beta| < 1$$

una specifica richiesta spesso è che A.O. sia stabile in condizione di  $\beta = -1$  (unity gain condition)

$$\omega = \phi \rightarrow \beta A < \phi \rightarrow |\beta A| \gg 1$$

$$\angle \beta A = -180^\circ$$

al fine di evitare instabilità è necessario che non

risulti :

(120)

$$\begin{cases} |BA| > 1 \\ \angle BA = \phi \end{cases}$$

@  $\omega = \omega_0$  :  $|BA| = 1 = 0 \text{ dB}$

si definisce  $\phi_K = \angle BA \Big|_{\omega = \omega_0}$

$\omega_0$  : unity gain frequency.

Un margine di fase elevato è richiesto se deve di garantire la stabilità e ridurre gli effetti di overshoot e ringing nella risposta al gradino.

$f_p$  : polo dominante di A.

$f_z$  : primo polo non dominante.

È necessario che  $f_z > f_0$ .

nell'ipotesi  $|BA| \gg 1$ , nel caso in cui volessimo progettare un A.O. in compenso non inv. con guadagno  $A_v$ ,

risulterà che  $|B| = \frac{1}{|A_v|} < 1$ .

In questa situazione  $\omega_0$  decresce e di conseguenza  $\phi_K$  aumenta.

La condizione  $|B| = 1$  è la condizione WORST CASE.

nel caso sia presente un solo polo non dominante  
con  $f_2 > f_0$  risulta:

$$\phi_H = \arctan\left(\frac{\omega_2}{\omega_0}\right)$$

$$\frac{\omega_2}{\omega_0} = \sigma$$

$$\sigma = 0,5 \rightarrow \phi_H = 26,6^\circ$$

$$\sigma = 1 \rightarrow \phi_H = 45^\circ$$

$$\sigma = 2 \rightarrow \phi_H = 63,4^\circ$$

$$\sigma = 3 \rightarrow \phi_H = 71,6^\circ \quad \leftarrow \text{Condizione progettuale}$$

$$\sigma = 5 \rightarrow \phi_H = 78,7^\circ \quad \text{risultante.}$$

#### CONSIDERAZIONI SULLA VELOCITA'

Per un A.O. si indicano due parametri:

- GBW;
- $\theta_r$ .

GBW:

$$A_{OL}(s) = \frac{A_0}{1 + s/\omega_p} \quad ; \quad \text{A.O. a polo dominante}$$

Se  $A_0 \gg 1 \rightarrow \omega_0 = A_0 \cdot \omega_p$  : unity gain frequency.

Ed in particolare modo risulta:

$$GBW = \frac{\omega_0}{2\pi}$$

$f_H$ : frequenza alla quale il guadagno si è ridotto di -3dB.

$$f_H = \frac{GBW}{A_{v0}} \quad \text{per un non. inv.}$$

$A_{v0}$ : DC gain dell' amplificatore reattivo.

$$f_H = \frac{GBW}{|A_{v0} + 1|} \quad \text{per un inv.}$$

$\sigma_r$ : slew rate : massima variazione che l'uscita può compiere nell'unità di tempo.

Se si applica un gradino di ampiezza elevata ad un A.O. chiuso in reazione la risposta è una rampa di pendenza  $\sigma_r$ .

Se l'amplificatore percorre tutto il transitorio in slew rate occorre che:

$$t_{sett} = \Delta V_{out} / \sigma_r$$

$\Delta V_{out}$ : ampiezza del gradino in uscita.

## SPECIFICHE PER UN A.O.

- DC GAIN:  $A_0$  ;
- VELOCITA': GBW,  $\theta_r$  ;
- STABILITA' IN ANELLO CHIUSO:  $\phi_H$  ;
- RUMORE RIPORTATO IN INGRESSO:  $S_{V_{THERMAL}}$  ,  $S_{V_{1/f}}(f)$  ;
- INPUT OFFSET VOLTAGE :  $\sigma_{io}$  ;
- POWER :  $V_{DD} \cdot I_{SUPPLY}$  ;
- $I_{out\ MAX}$  ;
- CMR Input Common Mode Range  
DR Dynamic Output Range ;
- CMRR , PSRR ;
- Axed su silicio .

## TOPOLOGIE A.O.

Il design di un A.O. prevede due step:

- 1) Scelta della topologia;
- 2) Sizing dei dispositivi.

Il parametro che definisce la topologia di un A.O. è il numero di stadi di guadagno

### A.O. SINGOLO STADIO

Sono amplificatori con guadagno talmente elevato da poter essere considerati A.O.

Presentano un solo modo ad alta resistenza sul quale si effettua la compensazione a polo dominante semplicemente connettendo un condensatore tra tale modo e massa.

Se il modo ad alta impedenza è il modo di uscita si parla di OTA.

Queste topologie non sono adatte ad essere utilizzate con carichi resistivi a causa dell'elevata  $R_{out}$  vengono sempre utilizzate nel prestare carichi capacitivi.

Possono essere introdotti stadi di cui al fine di ridurre  $R_{out}$  riducendo purtroppo la dinamica di uscita.

### A.U. DOPPIO STADIO

Sono amplificatori con due stadi di amplificazione.

Un particolare è carico abbozzato successivamente il guadagno del secondo stadio lasciando inalterato quello del primo stadio.

La compensazione è generalmente una compensazione di Miller.

### A.O. TRIPLO STADIO

Sono amplificatori con tre stadi di amplificazione che si usano per ottenere guadagni estremamente elevati oppure per ottenere guadagni regolabili.

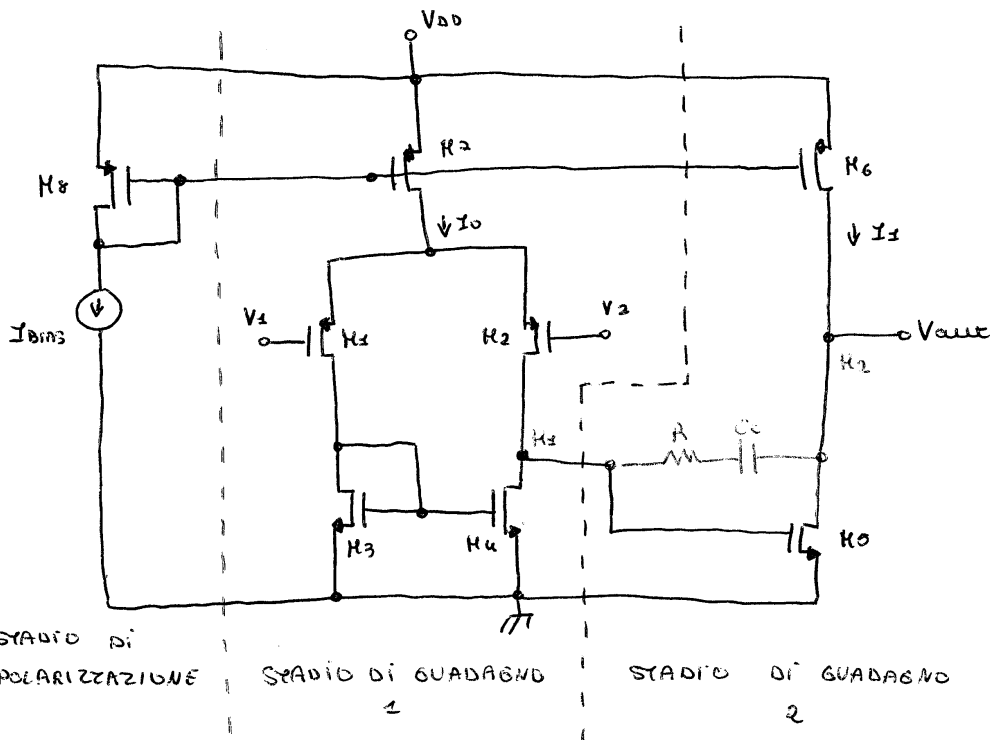
con stadi a bassa amplificazione.

Per avere strutture con GBW elevato si costruiscono come con il circuito  $L$  suddetta, penalizzando il guadagno ma forzando la banda.

Sono utilizzati anche quando uno stadio amplifica molto poco. Es: amplificatore a carico resistivo con trimming delle resistenze per alterare l'offset.

La compensazione è una compensazione Nested Miller.

## PROGETTAZIONE DI UN A.O. DUE STADI



La compensazione avviene tra gli stadi con una capacitance  $K_1$  e  $K_2$ .

$V_1$ : ingresso invertente

$V_2$ : ingresso non invertente

$$V_d = V_2 - V_1$$

$$V_c = \frac{V_1 + V_2}{2}$$

Il primo stadio è uno stadio differenziale p con carico a specchio.

Il secondo è uno stadio di uscita common source.

I body dei MOSFET p sono connessi a massa mentre i body dei MOSFET n sono connessi al source, che in questo caso coincide con massa.



Nel caso di bobina doppia alimentazione,  $\pi$  viene  
sostituito con  $V_{ss} < \phi$

DOF:

Escludiamo  $H_2$  che fa parte del circuito di polarizzazione.

$$W_i, L_i \quad i=1:7$$

$$I_1, I_0$$

$$R, C_c$$

Abbiamo 18 DOF.

Valori di uguaglianza dei MOSFET dello stesso tipo:

$$K_1 = K_2 \rightarrow L_1 = L_2 \\ W_1 = W_2$$

$$K_3 = K_4 \rightarrow L_3 = L_4 \\ W_3 = W_4$$

$\rightarrow$  14 DOF

Dipendenza di  $I_1$  da  $I_0$ :

$$I_1 = I_0 \cdot \frac{\beta_6}{\beta_7}$$

$\rightarrow$  13 DOF

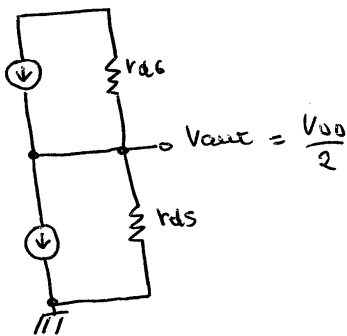
Opport. sistematico nullo:

$$V_1 = V_2 = \phi \rightarrow V_{out} = \phi$$

Considerando lo accoppiamento del potenziale applicato,  
imponiamo che:

$$V_1 = V_2 = \phi \rightarrow V_{out} = V_{DD}/2$$

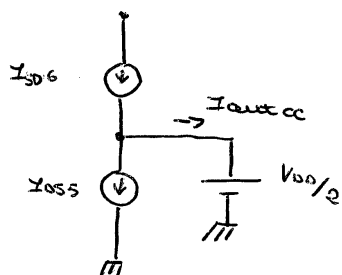
(128)



Non è però possibile determinare con precisione la tensione di uscita  $V_{out}$  dell'A.O., a causa del fatto che  $M_5$  ed  $M_6$  formano una uscita costante di segno opposto.

Inoltre supponendo  $M_5, M_6$  in saturazione, la costante risultante dipende dal valore di  $V_{DS}$  che determina la corrente su  $r_d$  e tale effetto non può essere definito con esattezza.

Trascurando la dipendenza da  $V_{DS}$  ed approssimando il sistema di Norton generalizzato:



$M_5, M_6$  in saturazione.

$$I_{outcc} = I_{D6} - I_{D5} = 0$$

$$I_{D6} = I_x = I_0 \cdot \frac{\beta_6}{\beta_7}$$

nel caso in cui  $V_1 = V_2 = 0$  lo stadio di ingresso simmetrico è alimentato simmetricamente:

$$\Rightarrow V_{D3} = V_{D4}$$

$$\text{ma } V_{D3} = V_{D3} \rightarrow V_{D53} = V_{D63} = V_{D54} = V_{D65}$$

$$\rightarrow V_{D53} = V_{D65}$$

$M_3, M_5$  formano uno specchio di corrente

$$I_{D53} = \frac{I_0}{2} \rightarrow I_{D55} = \frac{I_0}{2} \cdot \frac{\beta_5}{\beta_3}$$

$$I_{outcc} = \phi$$

$$I_{oss} = I_{s0c} \rightarrow \frac{I_0}{2} \cdot \frac{\beta_5}{\beta_3} = I_0 \cdot \frac{\beta_6}{\beta_7}$$

$$\rightarrow \frac{1}{2} \cdot \frac{\beta_5}{\beta_3} = \frac{\beta_6}{\beta_7}$$

Condizione di offset  
sistematico nullo.

-712 DOF

Un volta  $I_{ucc} \neq \phi$  a causa della non considerazione  
di  $V_d$ .

Dinamica di UOata Simmetrica:

$M_5, M_6$  in SAT.

$$V_{DSS_{SAT}} \leq V_{out} \leq V_{DD} - |V_{DSS_{SAT}}|$$

$$V_{DSS_{SAT}} = |V_{DSS_{SAT}}|$$

$$(V_{GS} - V_t)_5 = |V_{GS} - V_t|_6$$

$\rightarrow 44$  DOF

Rapporto di speccchio preciso:

Precedentemente abbiamo considerato:

$$I_{oss} = I_{D53} \cdot \frac{\beta_5}{\beta_3}$$

$$I_{D56} = I_{D57} \cdot \frac{\beta_6}{\beta_7}$$

Questo è vero nel caso le tensioni di soglia dei  
transistor sono uguali.

Per evitare cui è necessario che:

$$L_6 = L_7$$

$$L_3 = L_5$$

→ 9 DOF.

DISCRIMINAZIONE DEI DOF:

2 DOF:  $R, C_c$  non influenzano il comportamento statico del circuito.

7 DOF: influenzano comportamento statico e dinamico del circuito.

SCELTA DEL DOF SET:

Si cerca di assegnare più DOF possibili ai MOSFET che determinano le prestazioni del circuito:

•  $K_1$  della coppia differenziale determina il GN dello stadio 1;

•  $K_5$  determina il GN dello stadio 2.

$$K_1: W_1, L_1, (V_{GS} - V_t)_1 \text{ o } I_{DS1}$$

$$K_5: W_5, L_5, (V_{GS} - V_t)_5 \text{ o } I_{DS5}$$

$K_6: L_6$  in quanto influenza  $R_{out}$  e di conseguenza il guadagno dello stadio 2.

note  $I_{DS}, (V_{GS} - V_t)$  posso ricondurre  $\frac{W}{L}$ :

$$\beta = \frac{2I_{DS}}{(V_{GS} - V_t)^2} \rightarrow \beta = \mu_m C_{ox} \frac{W}{L} \rightarrow \text{da cui si ricava } \frac{W}{L}.$$

$$K_1 = K_2 \rightarrow K_2 \checkmark$$

$$I_{SD3} = I_{SD1}$$

$$(V_{GS} - U_t)_3 = (V_{GS} - U_t)_5$$

$$L_3 = L_5$$

$$\rightarrow W_3 \rightarrow K_3 \checkmark$$

$$K_3 = K_4 \rightarrow K_4 \checkmark$$

$$I_{SD6} = I_{SD5} = I_1$$

$$(V_{GS} - U_t)_6 = (V_{GS} - U_t)_5$$

$$\rightarrow W_6 \rightarrow K_6 \checkmark$$

$$I_{SD7} = I_0 = 2 I_{SD1}$$

$$(V_{GS} - U_t)_7 = (V_{GS} - U_t)_6$$

$$L_7 = L_6$$

$$\rightarrow W_7 \rightarrow K_7 \checkmark$$

$H_0$  dimensionato d'un intero circuito.

Comosco:

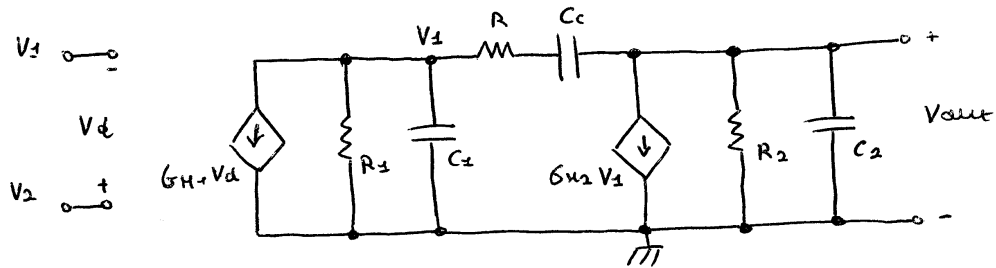
$H_1, H_5, L_6.$

$K_4 \checkmark$

$H_5 \checkmark$

## CIRCUITO EQUIVALENTE DI PICCOLO SEGNALE

Si rappresenta come uno stadio 1 e 2 i circuiti equivalenti di Norton.



$$V_d = V_2 - V_1$$

$$G_{M1} = g_{m1}$$

$$G_{M2} = g_{m5}$$

$$R_1 = r_{d2} // r_{d4}$$

$$R_2 = r_{d5} // r_{d6}$$

$$C_1 = C_{gs} + C_{db2} + C_{db4}$$

$$C_2 = C_{db5} + C_{db6} + C_L \quad , \quad C_L \text{ capacità di carico}$$

In realtà  $G_{M1} = G_{M1}(\omega)$  a causa dello specchio  $M3:M4$  che induce la quantità di corrente speccata quando  $\omega \uparrow$ : c'è la presenza del MIRROR POLE.

Le specifiche di un A.O. vengono fornite per  $C_L = C_{LMAX}$ .

DC GAIN ( $A_0$ )

$$\omega = \phi$$

$$A_0 = \frac{V_{out}}{V_d} = (-G_{M1} R_1) (-G_{M2} R_2) = G_{M1} R_1 G_{M2} R_2$$

$$\text{Se } R_L \neq \phi \rightarrow A_0 = (-G_{M1} R_1) (G_{M2} R_2 // R_L) = G_{M1} R_1 G_{M2} (R_2 // R_L)$$

$\underbrace{\hspace{10em}}$   
quoddygmo  
stadio  $\neq$   
invertato

$$g_m = \frac{I_0}{V_{TE}} \quad ; \quad r_d = \frac{1}{\lambda I_{0S}}$$

$$A_0 = G_{M1} R_1 G_{M2} R_2 = g_{m1} (r_{d2} // r_{d4}) g_{m5} (r_{d3} // r_{d6})$$

$$= \frac{1}{V_{TE1}} \cdot \frac{1}{\lambda_2 + \lambda_4} \cdot \frac{1}{V_{TE5}} \cdot \frac{1}{\lambda_3 + \lambda_6}$$

$(V_{0S} - V_T) \downarrow \Rightarrow V_{TE} \downarrow$  (fino al raggiungimento della  
dovee unrelazione)

$$L \uparrow \Rightarrow \lambda \downarrow$$

Analisi sulla presenza del polo introdotto da  $K_T$ : TAIL POLE.

un A.O. viene generalmente utilizzato in reazione  
collegata sull'ingresso invertente.

Questo significa che non stiamo  
cicando con un segnale differenziale, ma:

$$V_d = -V_1$$

$$V_c = V_1/2$$

La presenza di un tensione di modo comune  $V_c$  muove il potenziale di  $S_1 = S_2 = D_1$  e le capacità parassite di  $M_1$  ed  $M_2$  influenzano sul funzionamento dello stadio di ingresso.

Inoltre non abbiamo considerato la presenza di un'impedenza di ingresso, in questo caso puramente capacitiva e pari a  $C_{in} = C_{g0}/2$  ( $C_{g0} = C_{g01} = C_{g02}$ ).

Tale capacità non viene presa in considerazione in quanto si suppone in ingresso due generatori ideali di tensione ( $R_s = \phi$ ).

Supponendo di un circuito A.O. in tensione sull'ingresso immettente, in tal caso sarebbe anzitutto l'oggetto della  $C_{in}$ .

### RISPOSTA IN FREQUENZA

Dalla presenza di 3 elementi capacitivi nel circuito equivalentemente di piccolo segnale, si deduce la presenza di 3 poli distinti.

Analisi semplificata:

Tracurando la presenza di  $R$  e  $C_c$  e ipotizzando polo influenzanti e capacità parassite che eguano  $M_1$  ed  $M_2$  (quindi stadio 1 e stadio 2) è possibile considerare la f.d.t. dello stadio 1 indipendente dallo f.d.t. dello stadio 2 al fine del calcolo dei poli.



Sia lo stadio 1 che lo stadio 2 fanno poi dello stesso ordine di grandezza (nei due stadi sono presenti capacità e resistenze dello stesso ordine di grandezza).

La presenza di due poli molto vicini in frequenza allente clamorosamente il margine di fase.

$C_c$ , montata a ponte tra lo stadio 1 e 2, riportata in ingresso per effetto miller viene moltiplicata per il guadagno del secondo stadio, portandoci a bassa frequenza il polo dello stadio 1.

$\omega_1$  : polo stadio 1

$\omega_2$  : polo stadio 2

$R$  è trascurabile a bassa frequenza a causa dell'effetto noleto di  $C_c$  che comporta un'elevata impedenza.

a bassa frequenza risulta perciò:  $K_m = -G_{k2} \cdot R_2$ .

Miller consente di applicare il POLE SPLITTING:

mentre  $\omega_1$  viene spostato a bassa frequenza,  $\omega_2$  viene spostato ad alta frequenza.

In particolare  $\omega_2$  si sposta in alto in quanto la  $R_{v_c1}$  diventa molto più piccola di  $R_2$ , dominando nel parallelo ed aumentando il valore di  $\omega_2$ .

Non considerando la presenza di  $R$ , ad alte frequenze  $C_c$  è un c.c.

$M_5$  si trasforma in un MOSFET connesso a duto cAe molto impedenza vista  $R_{v5} = 1/g_{m5}$ .

La tensione in uscita  $V_{out}$  comanda  $M_5$ , cAe mostrando una bassa impedenza sposta  $\omega_2$  in alto.

$$R_{v2} \approx 1/g_{m5} \ll R_2 = (r_{d5} // r_{d6})$$

$$R_{v2} \approx \frac{1}{100} \cdot R_2$$

Prima dell'inserimento di  $C_c$ :

$$\omega_1, \omega_2 \sim \text{decime di KHz.}$$

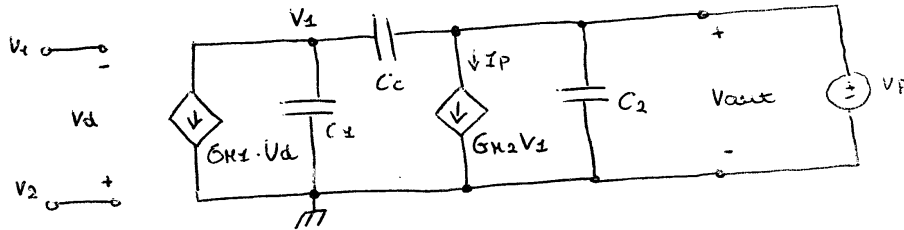
Dopo l'inserimento di  $C_c$ :

$$\omega_1 \sim \text{decime di KHz}$$

$$\omega_2 \sim \text{MHz, decime di MHz.}$$

Il montaggio unipolare sta nel fatto che ad alte frequenze la resistenza di uscita di questo A.O. cede da  $r_d$  a  $1/g_m$  rendendo più resistente l'amplificatore a distorsioni ad alta frequenza (come accade per esempio in circuiti in cui A.O. è montato a monte di un ADC campionato).

Colore dei Poli:



$V_d = \phi$ : non voluto e' effetto dell'ingresso.

IP1)  $|R_1| \ll \left| \frac{1}{\omega C_c} \right|$ : posso trascurare  $R_1$  in serie con  $C_c$ .

IP2)  $|R_1| \gg \left| \frac{1}{\omega C_c} \right|$ : posso trascurare  $R_1$  in parallelo a  $C_1$ .

Trascuro anche  $R_2$  nel parallelo con  $C_2$  e dimostro

questo perché:

Valuto  $R_{out}$ :

$$I_p = G_{k2} \cdot V_1 = G_{k2} \cdot V_p \cdot \frac{C_c}{C_c + C_1}, \quad C_{out} = C_2 + \frac{C_c C_1}{C_1 + C_c}$$

$$R_{out} = \frac{V_p}{I_p} = \frac{1}{G_{k2}} \cdot \frac{C_c + C_1}{C_c}$$

Come avevamo precedentemente anticipato risulta:

$$|R_{out}| \ll |R_2|$$

$$\omega_2 = \frac{1}{R_{out} \cdot C_{out}} = \left( \frac{1}{G_{k2}} \cdot \frac{C_c + C_1}{C_c} \cdot \frac{C_2 C_1 + C_2 C_c + C_1 C_c}{C_1 + C_c} \right)^{-1}$$

$$= \left( \frac{1}{G_{k2}} \cdot \left( C_2 + C_1 + \frac{C_1 C_2}{C_c} \right) \right)^{-1} = \left( \frac{1}{G_{k2}} (C_1 + C_2) \left( 1 + \frac{C_1 C_2}{C_1 + C_2} \cdot \frac{1}{C_c} \right) \right)^{-1}$$

definiamo  $C_{s+2} = \frac{C_1 C_2}{C_1 + C_2}$ .

(137)

$$W_2 = \left( \frac{1}{G_{H2}} \cdot (C_1 + C_2) \left( 1 + \frac{C_{S12}}{C_c} \right) \right)^{-1}$$

$$= \frac{G_{H2}}{C_1 + C_2} \cdot \left( 1 + \frac{C_{S12}}{C_c} \right)^{-1}$$

$W_2$  è dell'ordine di  $\frac{G_H}{C}$  che è un'assunzione estremamente grande.

$W_1$  coincide con  $W_p$ .

A causa dell'effetto micror,  $C_c$  viene riportato in ingresso amplificata.

$$C_{H1} = C_c (1 - K_{mi})$$

$$K_{mi} < 0 \rightarrow C_{H1} = C_c (1 + |K_{mi}|)$$

$$|K_{mi}| = \left| \frac{V_{out}}{V_i} \right| = G_{H2} R_2$$

$$\rightarrow C_{H1} = C_c (1 + G_{H2} R_2) \sim C_c G_{H2} R_2$$

$$W_1 = \left( (C_1 + C_{H1}) R_1 \right)^{-1} = \frac{1}{(C_1 + C_c G_{H2} R_2) R_1}$$

IP3)  $C_{H1} \gg C_1$

$$W_1 \sim \frac{1}{C_c G_{H2} R_2 R_1}$$

$$\varphi_H = \arctan\left(\frac{\omega_2}{\omega_0}\right)$$

$$\omega_0 = \omega_p \cdot A_0 = \omega_1 \cdot A_0 = \frac{1}{C_0 G_{H2} R_2 R_1} \cdot G_{H1} R_1 G_{H2} R_2 = \frac{G_{H1}}{C_0}$$

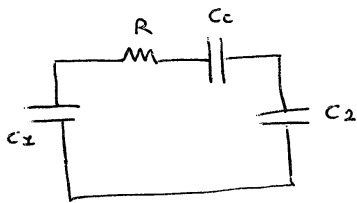
notiamo che ad alta frequenza:

$$\omega \uparrow \Rightarrow V_1 \downarrow \Rightarrow G_{H2} V_1 \downarrow$$

$R_1$  ed  $R_2$  introducono un effetto trascurabile a causa della presenza di  $C_1, C_2 \sim c.c.$

$R$  non è trascurabile.

Il circuito equivalente diventa il seguente:



$$\omega_3 = \frac{1}{R \left( \frac{1}{C_1} + \frac{1}{C_c} + \frac{1}{C_2} \right)^{-1}}$$

$\omega_3$  introduce un contributo di fase che peggiora la stabilità del sistema quanto più il polo si trova a bassa frequenza.

È possibile non tener conto di  $\omega_3$  nella trattazione della stabilità: questo si traduce nel richiedere

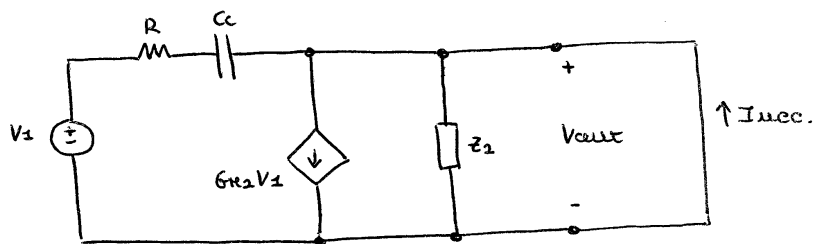
$$\varphi_H = \arctan\left(\frac{\omega_2}{\omega_0}\right) \text{ superiore al minimo valore necessario.}$$

la causa della presenza di  $R$  e  $C_c$  il segnale in ingresso ha la possibilità di divergere gradualmente in uscita.

Questo comporta l'introduzione di uno zero  $S_z$ .

Volevo la f.d.t.  $\frac{V_{out}}{V_1}$  anziché  $\frac{V_{out}}{V_d}$  per semplificare

la trattazione:



$$Z_2 = \frac{1}{sC_c} \parallel R_2$$

Volevo lo corrente in uscita di c.c:

$$V_{out} = I_{ucc} \cdot Z_{out}$$

$$V_{out} = \emptyset \quad \text{se} \quad I_{ucc} = \emptyset$$

$$\rightarrow I_{ucc} = \emptyset \quad \text{se} \quad s = S_z$$

$$\begin{aligned} I_{ucc} &= G_{k2} V_1 - \frac{V_1}{R + \frac{1}{sC_c}} = V_1 \left( G_{k2} - \frac{1}{R + \frac{1}{sC_c}} \right) \\ &= V_1 \left( G_{k2} - \frac{sC_c}{RC_c s + 1} \right) = V_1 \left( \frac{G_{k2} RC_c s + G_{k2} - sC_c}{RC_c s + 1} \right) \end{aligned}$$

$$I_{ucc}(s = S_z) = \emptyset \quad \rightarrow \quad G_{k2} RC_c S_z + G_{k2} - S_z C_c = \emptyset$$

(140)

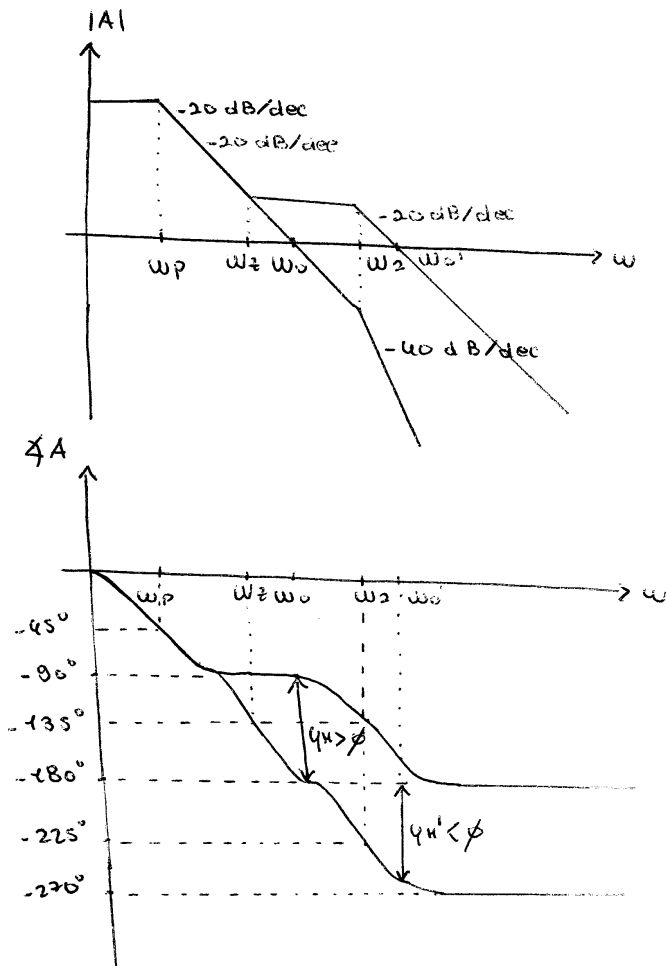
$$S_z(G_{H2} R C_c - C_c) = -G_{H2}$$

$$\rightarrow S_z = - \frac{G_{H2}}{G_{H2} R C_c - C_c} = \frac{1}{\left(\frac{1}{G_{H2}} - R\right) C_c}$$

Se  $R = \phi$  :  $S_z = \frac{G_{H2}}{C_c} > \phi$  lo zero maggiore di zero introduce un contributo negativo di fase.

Consideriamo  $\beta = -1$  :  $| \beta A | = | A |$  ,  $\angle A = \angle \beta A + 180^\circ$ .

Caso peggiore per la stabilit .



$|W_z| = S_z$   
 $|W_z|$    dato stesso  
 assieme si generalizza  
 di  $W_0$ .  
 -> Usa nota in  $W_0'$

  : AMPL. INSTABILE IN  
 CONFIG.  $\beta = -1$ .

l'amplificatore ha un ingresso  $i_{mv}$ , ed un ingresso non  $i_{mv}$ , in particolare l'ingresso  $i_{mv}$  di A.O. coincide con l'ingresso non  $i_{mv}$  dello stadio 1 e l'ingresso non  $i_{mv}$  di A.O. coincide con l'ingresso  $i_{mv}$  dello stadio 2. Questo perché sia lo stadio 1 che lo stadio 2 hanno guadagno  $< 1$ .

Ad alte frequenze a causa di  $C_c$  a ponte tra lo stadio 1 e 2, il c.c. di  $C_c$  porta il segnale in uscita da stadio 1 direttamente in out.

Se era presente una reazione questa si immette di segno. Se l'amplificatore è stato realizzato come questo fenomeno viene attenuato a frequenze per cui il guadagno è già elevato.

Adesso parliamo  $R \neq \emptyset$ .

•  $R = \frac{1}{G_{H2}} \rightarrow S_z = \infty$

$R = \frac{1}{G_{H2}}$  prende il nome di ZERO NULLING RESISTOR

•  $R > \frac{1}{G_{H2}} \rightarrow S_z < \emptyset$  lo zero introduce adesso un contributo di fase positiva.  
 $\rightarrow$  migliora la stabilità del sistema.

•  $R; \omega_z = \omega_p$  lo zero cancella il primo polo non dominante



Supponiamo adesso che  $R = \frac{1}{G_{M2}}$  e  $\omega_3 \gg \omega_2$ .

$$GBW = f_0 = \frac{\omega_0}{2\pi} \quad \text{tale che } \varphi_M \sim 70^\circ.$$

$$\varphi_M = \arctan\left(\frac{\omega_2}{\omega_0}\right) \sim 70^\circ \quad \text{se } \sigma = \frac{\omega_2}{\omega_0} = 3.$$

- IP1)  $C_1 \ll C_2, C_c \rightarrow C_1$  composta solo da capacità parassitarie  
 mentre  $C_2 = C_2(C_L)$  e  $C_c$  lo sceglie il designer
- IP2)  $C_2 \sim C_L$
- ↓
- $C_L$  contributo decisamente dominante nel determinare  $C_2$ .

$$\frac{C_{s12}}{C_c} : C_{s12} = \frac{C_1 C_2}{C_1 + C_2} < C_1 \ll C_c \rightarrow \frac{C_{s12}}{C_c} \sim \phi$$

$$\omega_2 \sim \frac{G_{M2}}{C_1 + C_2} \sim \frac{G_{M2}}{C_2} \sim \frac{G_{M2}}{C_L}$$

$$\omega_0 = 2\pi GBW = \frac{\omega_2}{\sigma} \sim \frac{1}{\sigma} \cdot \frac{G_{M2}}{C_L}$$

$$\rightarrow G_{M2} = 2\pi GBW \cdot C_L$$

Per ottenere un certo GBW è necessario definire lo stadio 2.

$$\rightarrow G_{M2} = g_{m5} = \frac{I_{D55}}{V_{T55}}$$

$$\omega_0 = 2\pi GBW = \frac{1}{\sigma} \cdot \frac{I_{D55}}{V_{T55}} \cdot \frac{1}{C_L}$$

Quest'ultima equazione lega immediatamente GBW e consumo di corrente dello stadio 2.

$$\text{Se } (V_{DS} - V_t) \downarrow \Rightarrow V_{T55} \downarrow$$

La perdita di GBW, riducendo  $V_{eff}$  è possibile  
ridurre  $I_{DSS}$  e quindi il consumo di corrente.

$$\omega_2 \approx \frac{G_{M2}}{C_L} = \sigma \omega_0 = \sigma \cdot \frac{G_{M1}}{C_C}$$

$$\rightarrow G_{M1} = \frac{G_{M2}}{\sigma} \cdot \frac{C_C}{C_L}$$

$$\text{Se } C_C = C_L \rightarrow G_{M1} = \frac{G_{M2}}{\sigma} = \frac{G_{M2}}{3}$$

Questa scelta di  $C_C$  mi consente di verificare facilmente  
IP1). Il problema è che, essendo  $C_L$  grande,  $C_C$   
si troverà ad occupare molta area sul silicio.

Se A.O. piccoli coricchi esterni al chip, preferibilmente  
 $C_C$  assumerà valori grandi (nF). In questo caso si  
sceglie  $C_C < C_L$  :  $C_C = 0,2 C_L$

$$\text{Se } C_C = 0,2 C_L \rightarrow G_{M1} = \frac{G_{M2}}{5 \cdot \sigma} = \frac{G_{M2}}{15}$$

Progettati  $G_{M1}$  e  $G_{M2}$ , ho definito  $g_{m1}$  e  $g_{m2}$ .

Tramite  $I_{DS1}$ ,  $I_{DS2}$  e  $(\frac{W}{L})_1$ ,  $(\frac{W}{L})_2$  ho i consumi di  
potenza.

$W, L$  determinata tramite specifiche di rumore ed  
errore di offset.

Se  $C_L < C_{LMAX}$  :

- $\omega_0$  non vari;
- $\omega_2 \uparrow$  anche riducendo IP1 ed IP2.

di conseguenza  $\varphi_K = \arctan\left(\frac{\omega_2}{\omega_0}\right) \uparrow$ .

nel caso in cui  $IP_1$  ed  $IP_2$  vengono a meno:

$$\omega_2 = \frac{G_{K2}}{C_1 + C_2} \left(1 + \frac{C_{S12}}{C_C}\right)^{-1}$$

$C_L \downarrow \Rightarrow C_2 \downarrow, C_{S12} \downarrow \Rightarrow \omega_2 \uparrow$ .

$$\omega_2 = \frac{G_{K2}}{C_1 + C_2} \left(1 + \frac{C_{S12}}{C_C}\right)^{-1} \sim \frac{G_{K2}}{C_1 + C_2}$$

↑  
 Pass. approssimazione  
 non fondata.  $\left(\frac{C_{S12}}{C_C} \ll 1\right)$

Dall'equazione  $\omega_0 = 2\pi GBW = \frac{1}{\sigma} \cdot \frac{I_{OS5}}{V_{T5}} \cdot \frac{1}{C_L}$  sembra che il GBW non abbia un limite superiore e che quindi possa aumentare all'infinito aumentando  $I_{OS5}$ .

Questa equazione è valida esclusivamente sotto le ipotesi  $IP_1$  ed  $IP_2$ .

Quando queste non sono più valide:

$$\omega_2 = 2\pi GBW \cdot \sigma = \frac{G_{K2}}{C_1 + C_2} = \frac{g_{m5}}{C_1 + C_2} = \frac{\mu_m \omega_x \frac{W_3}{L_5} (V_{GS} - V_T)_5}{C_{g33} + C_{db2} + C_{db1} + C_{db5} + C_{db6} + C_L}$$

descritto per ipotesi.

$L_5$  definito da progetto:

$GBW \uparrow$  se  $W_3 \uparrow$

ma se  $W_3 \uparrow$  anche le capacità parassite di  $M_5$  aumentano provocando la saturazione di GBW.

$C_{db} = L_c \cdot W \cdot C_j$  (Supponemola valida sia per p ed n MOS)

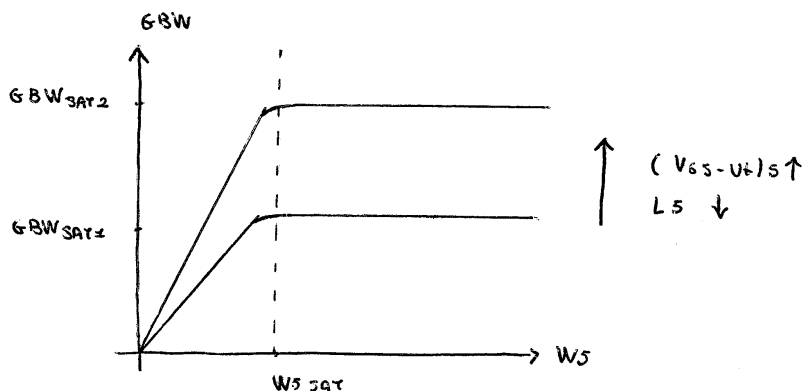
$$GBW = \frac{1}{2\pi\sigma} \cdot \frac{\mu_m C_{ox} \frac{W_5}{L_5} (V_{GS} - V_t)_5}{\frac{2}{3} C_{ox} W_5 L_5 + L_c W_5 C_j + L_c W_6 C_j + C_L}$$

$$= \frac{1}{2\pi\sigma} \cdot \frac{\mu_m C_{ox} \frac{1}{L_5} (V_{GS} - V_t)_5}{\frac{2}{3} C_{ox} L_5 + L_c C_j \left(1 + \frac{W_6}{W_5}\right) + \frac{C_L}{W_5}}$$

Al fine di mantenere  $\beta_6 = \beta_5$  (condizione che deriva dalle note precedenti  $(V_{GS} - V_t)_5 = |V_{GS} - V_t|_6$ ) risulta che  $\frac{W_6}{W_5} = \text{cost.}$

Il valore di saturazione è dato da:

$$GBW_{SAT} = \frac{1}{2\pi\sigma} \cdot \frac{\mu_m C_{ox} \frac{1}{L_5} (V_{GS} - V_t)_5}{\frac{2}{3} C_{ox} L_5 + L_c C_j \left(1 + \frac{W_6}{W_5}\right)}$$



Per  $W_5 < W_{5SAT}$  vale:  $GBW = \frac{1}{2\pi\sigma} \cdot \frac{I_{DSS}}{V_{eff}} \cdot \frac{1}{C_L}$

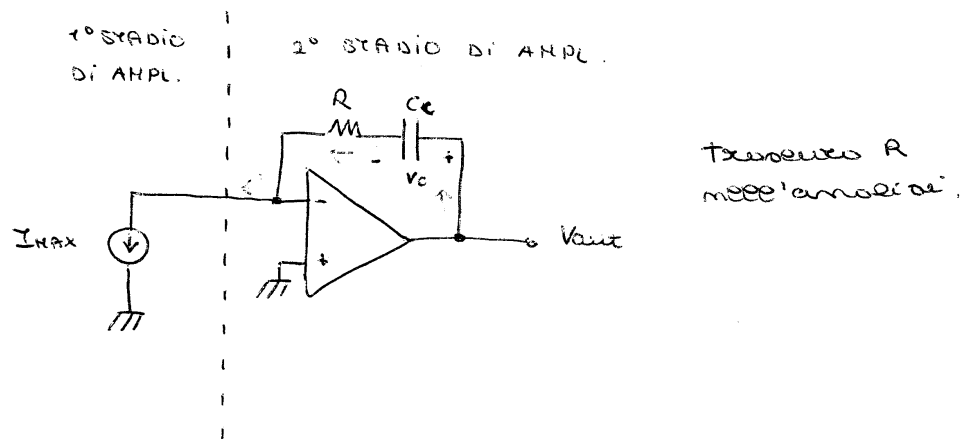
La transizione tra GBW lineare e GBW saturato avviene quando  $C_L$  e le capacitance assumono valore compatibili.

Per  $W_s < W_{SAT}$ :  $C_L \gg \frac{2}{3} C_0 \times W_S L_S + L_C C_0 (W_S + W_0)$

Per  $W_s > W_{SAT}$ :  $C_L \ll \frac{2}{3} C_0 \times W_S L_S + L_C C_0 (W_S + W_0)$

### SLEW RATE

Andiamo ad analizzare il circuito equivalente dell'A-C, quando il primo stadio di amplificazione satura a causa di  $V_0$  che eccede la dinamica di ingresso:



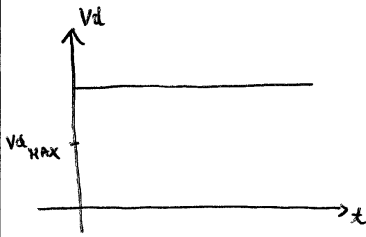
Il primo stadio si comporta come un generatore di corrente controllato con resistenza di uscita molto grande, tanto da poter essere trascurata nei calcoli.

Quando la  $V_0$  eccede la dinamica di ingresso, la corrente assume il valore  $I_{MAX}$ ; la parte dunque si comporta come un generatore indipendente di corrente.

Il secondo stadio realizza un integratore con perdite, a causa del guadagno finito in DC.

Da notare il pedano + dell'amplificatore che satura: za il secondo stadio non è presente.

Alle variazioni lo si può considerare posto a massa.



Se  $V_d > V_{dMAX}$  lo stadio di amplificazione  
 me è saturato erogando  $I_{MAX}$ .

Supponiamo, sempre facendo la  
 trattazione, di poter considerare

valido il c.c.n. in ingresso allo stadio 2.

$$V_{out} : V_c = \frac{1}{C_c} \cdot \int_0^t I_{MAX} dt'$$

Se  $I_{out\_MAX} = I_{MAX} = I_0$  :

↑  
 MAX costante che lo stadio 2 può fornire in uscita.

$$\left. \frac{dV_{out}}{dt} \right|_{MAX} = I_{MAX} \cdot \frac{1}{C_c} = S_R$$

Se l'A.O. è realizzato in anello aperto,  $\frac{dV_{out}}{dt} = S_R$  per  
 tutta la durata del transitorio.

Se l'A.O. è chiuso in reazione, lo stadio di ingresso  
 è rientra in zona di linearità e  $\frac{dV_{out}}{dt} \downarrow$  in  
 quanto  $I_{MAX} \downarrow$ .

$$I_{MAX} = I_0 = 2 \cdot I_{OS}$$

$$S_R = \frac{I_{MAX}}{C_c} = 2 \frac{I_{OS}}{C_c}$$

Per un MOSFET :  $g_m = \frac{I_{OS}}{V_{TE}} \rightarrow I_{OS} = g_m \cdot V_{TE}$

$$\rightarrow S_R = 2 \cdot \frac{g_m \cdot V_{TE}}{C_c} = 2 \omega_0 V_{TE} \quad \text{con} \quad \omega_0 = \frac{g_m}{C_c}$$

$$S_R = 4\pi \cdot GBW \cdot V_{TE} \quad \text{con} \quad \omega_0 = 2\pi \cdot GBW$$

$S_R$  è dunque ingenerato da  $GBW$  e  $V_{TE}$ .

In F.Y.:  $V_{TE} = \frac{(V_{GS} - U_T)_r}{2}$

$(V_{GS} - U_T)_r \uparrow \Rightarrow V_{TE} \uparrow \Rightarrow S_R \uparrow$

Un valore elevato di  $S_R$  è necessario al fine di amplificare, se, senza introdurre distorsioni, sinusoidi di di ampiezza e frequenza elevata.

al contempo, per amplificare segnali a frequenza elevata, è necessario anche un  $GBW$  adeguato.

Purtroppo, nel caso in cui:

$(V_{GS} - U_T)_r \uparrow \Rightarrow (V_{GS} - U_T)_d \uparrow \quad (M_1 = M_2)$

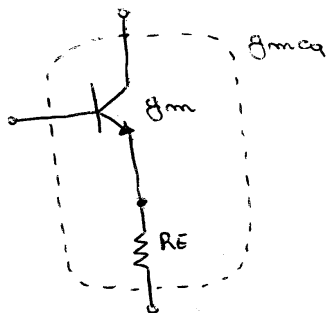
$S_R \uparrow$  ma  $A_0 \downarrow$ .

nei circuiti operazionali a BJT, essendo  $V_{TE_{BJT}} = V_{TE_{MOS}}$ , a parità di  $GBW$  con un A.O. a MOSFET risulta:

$S_{R_{BJT}} < S_{R_{MOS}}$ .

Si valuta, con l'inserimento di un parasito di processo, il JFET per lo stadio di ingresso.

Una soluzione consiste nell'inserire un resistenza di degenerazione sull'emettitore:



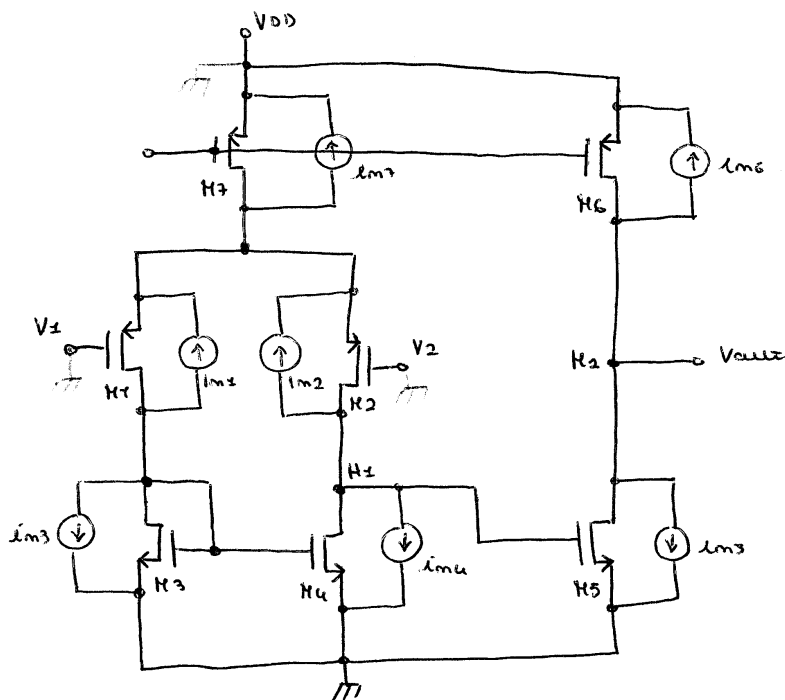
$g_{mca} = \frac{g_m}{1 + g_m R_E}$

Progetta  $g_{mca}$  al fine di soddisfare la specifiche su  $\omega_0$ . Questo mi consente di costruire  $g_m \uparrow$  che impedisce  $\omega_0 \uparrow \Rightarrow S_R \uparrow$ .

È possibile avere lo stadio di ingresso in classe AB:  
 Questi stadi sono in grado di erogare in uscita  
 una corrente molto più grande della  $I_{B1AS}$  del  
 circuito a riposo.

Questo consente di non passare in automatico lo  
 stadio di ingresso in formante, per  $V_d$  grande,  
 cosa mai via via migliorata  $\rightarrow$  A.O. ultra veloci.

### ANALISI DI RUINAE



Le due situazioni, con  $V_d = 0$

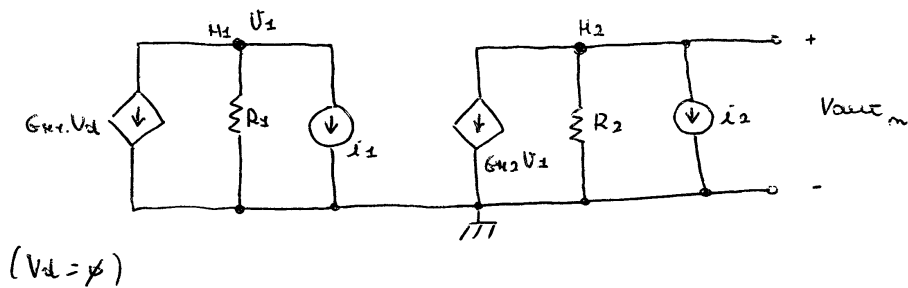
Si dividono le correnti in due categorie:

- 1) Corrente che fluisce direttamente a tramite uno specchio del nodo  $H2$ , trasformata in tensione di uscita da  $g_{m5}$ ; ( $i_1$ )



2) Circuito che funziona dualmente o trasmette una  
 opacità su  $R_2$ . ( $i_2$ )

Circuito equivalente alle relazioni:



Analisi di rumore valida a basse frequenze: non  
 si considerano effetti capacitivi e C<sub>c</sub>.

$$V_{out m} = -G_{H2} \cdot V_1 \cdot R_2 - R_2 \cdot i_2$$

$$V_1 = -R_1 i_1$$

$$\rightarrow V_{out m} = G_{H2} R_1 R_2 i_1 - R_2 i_2$$

$$V_{m-RN} = \frac{V_{out m}}{A_0}$$

In realtà la funzione che riporta in ingresso  $V_{out m}$   
 è  $A \neq A_0$ .

Consideriamo che  $A$  contiene  $\omega_p$ , ma anche  $G_{H2} R_1 R_2 i_1$   
 contiene  $\omega_p$  e quindi il contributo di questo si  
 semplifica.

$-R_2 i_2$  non contiene  $\omega_p$  e questo impedisce che ad  
 alta frequenza, quando  $A$  decresce notevolmente,  
 il contributo di rumore introdotto da

(15)

$-R_2 i_2$  seconda.

$$V_{m-R_2 i_2} = \frac{V_{altm}}{G_{H1} R_1 + G_{H2} R_2} = \frac{G_{H2} R_1 R_2 i_1}{G_{H1} R_1 + G_{H2} R_2} - \frac{R_2 i_2}{G_{H1} R_1 + G_{H2} R_2}$$

$$= \frac{i_1}{G_{H1}} - \frac{i_2}{G_{H1} R_1 + G_{H2} R_2} = \frac{1}{G_{H1}} \left[ i_1 - \frac{i_2}{R_1 + G_{H2} R_2} \right] \sim \frac{i_1}{G_{H1}}$$

	$im_1$	$im_2$	$im_3$	$im_4$	$im_5$	$im_6$	$im_7$
$i_1$	$-1$	$1$	$-1$	$1$	$\phi$	$\phi$	$\phi$
$i_2$	$\frac{1}{2} \beta^5 / \beta^3$	$\frac{1}{2} \beta^5 / \beta^3$	$\phi$	$\phi$	$1$	$1$	$-\frac{1}{2} \beta^5 / \beta^3$

$$I_1 = -I_{m1} + I_{m2} - I_{m3} + I_{m4}$$

$$V_{m-rci} = \frac{(I_{m2} - I_{m1}) + (I_{m4} - I_{m3})}{G_{K1}}$$

$$I_m \rightarrow S I_m$$

$$S U_{m-rci} = \frac{S I_{m2} + S I_{m1} + S I_{m4} + S I_{m3}}{G_{K1}^2}$$

$$H_1 = H_2 \rightarrow S I_{m1} = S I_{m2}$$

$$S U_m = S I_m \cdot g_{m1}^2$$

$$H_3 = H_4 \rightarrow S I_{m3} = S I_{m4}$$

$$S U_{m-rci} = 2 \cdot \frac{S I_{m1} + S I_{m3}}{g_{m1}^2} = 2 \frac{g_{m1}^2 S U_m + g_{m3}^2 S U_m^2}{g_{m1}^2}$$

$$= 2 \left( S U_m + \left( \frac{g_{m3}}{g_{m1}} \right)^2 S U_m^2 \right)$$

$$g_{m3} / g_{m1} = F$$

$$\rightarrow S U_{m-rci} = 2 (S U_m + F^2 S U_m^2)$$

$$g_m = \frac{I_D}{V_{TE}} \rightarrow F = \frac{I_{D3}}{V_{TE3}} \cdot \frac{V_{TE1}}{I_{D1}}$$

$$I_{D1} = I_{D3} \rightarrow F = \frac{V_{TE1}}{V_{TE3}}$$

De fine di scuduto  $S U_{m-rci}$  e necessario che  $F < 1$ :

$$V_{TE3} > V_{TE1} \rightarrow (V_{GS} - U_t)_3 = (V_{GS} - U_t)_1 > |V_{GS} - U_t|_1 = |V_{GS} - U_t|_2$$

Solitamente si pone  $V_{GS}$  ed  $V_{DS}$  nel limite della F.Y. in modo che  $|V_{GS} - V_{th}| \sim 100 \text{ mV}$  e si pone la tensione di overdrive di  $M_3$  ed  $M_4$  a qualche centinaio di mV.

Ricordando che  $(V_{GS} - V_{th})_3 = (V_{GS} - V_{th})_5$ , si pone sia dinamica di ingresso che di uscita.

RUORE TERMICO:

$$S_{V_m} = \frac{B}{3} kT \cdot \frac{1}{g_m}$$

$$S_{U_{m-AV1}}_{TH} = 2 \left( \frac{B}{3} kT \cdot \frac{1}{g_{m4}} + \frac{g_{m3}^2}{g_{m4}^2} \cdot \frac{B}{3} kT \cdot \frac{1}{g_{m3}} \right)$$

$$= 2 \cdot \frac{B}{3} kT \cdot \frac{1}{g_{m4}} (1 + F)$$

$$= 2 \cdot \frac{B}{3} kT \cdot \frac{V_{TE1}}{I_{DS1}} (1 + F)$$

Il rumore termico dei transistori della coppia d'ingresso si ritrova esattamente in  $U_{m-AV1}$ .  $F \ll 1$  rispetto esattamente al contributo introdotto da  $M_3, M_4$ .

$$I_{DS1} \uparrow \Rightarrow S_{U_{m-AV1}}_{TH} \downarrow$$

$$V_{TE1} \downarrow \Rightarrow S_{U_{m-AV1}}_{TH} \downarrow$$

RUMORE FLICKER

$$S_{um}(f) = \frac{N_f}{W \cdot L} \cdot \frac{1}{f}$$

$$S_{um-rxi} \frac{1}{f}(f) = 2 \cdot \left( \frac{N_{fp}}{W_1 \cdot L_1} \cdot \frac{1}{f} + F^2 \cdot \frac{N_{fm}}{W_3 \cdot L_3} \cdot \frac{1}{f} \right)$$

$$= 2 \cdot \left( \frac{N_{fp}}{W_1 L_1} + F^2 \frac{N_{fm}}{W_3 L_3} \right) \cdot \frac{1}{f}$$

F. I. : segnale di rumore introdotto da H3, H4.

$$W_1 L_1 \uparrow \Rightarrow S_{um-rxi} \frac{1}{f}(f) \downarrow$$

OFFSET

Per l'analisi dell'offset si considera quello in uscita precedente, da cui risulta:

$$V_{io} = \frac{(i_{m2} - i_{m4}) + (i_{m4} - i_{m3})}{g_{m2}} \quad \left\{ \begin{array}{l} i_{m3} = i_{2p} \\ i_{m2} = i_{1p} \\ i_{m4} = i_{4m} \\ i_{m3} = i_{3m} \end{array} \right.$$

nominalmente risulta:

$$H_1 = H_2 \quad \text{e stesso punto di riposo.}$$

$$H_3 = H_4$$

Per coppie di dispositivi matchati risulta:

$$i_{2p} - i_{1p} = I_{os1} \left( \frac{\Delta \beta_{1,2}}{\beta_1} - 2 \frac{\Delta V_{t1,2}}{(V_{cs} - V_{t1})} \right) \quad \text{Jaeide em}$$

$$i_{4m} - i_{3m} = I_{os3} \left( \frac{\Delta \beta_{3,4}}{\beta_3} - 2 \frac{\Delta V_{t3,4}}{(V_{cs} - V_{t3})} \right) \quad \text{F. I.}$$

$$V_{io} = I_{os1} \cdot \frac{1}{g_{m1}} \left( \frac{\Delta\beta_{1,2}}{\beta_1} - 2 \frac{\Delta V_{t,2}}{(V_{GS} - V_{t1})} + \frac{I_{os3}}{I_{os1}} \left( \frac{\Delta\beta_{3,4}}{\beta_3} - 2 \frac{\Delta V_{t,4}}{(V_{GS} - V_{t3})} \right) \right)$$

Im F. 1:  $I_{os1} = g_{m1} \cdot V_{tE1} = g_{m1} \cdot \frac{(V_{GS} - V_{t1})}{2}$

$$V_{io} = \frac{(V_{GS} - V_{t1})}{2} \cdot \frac{\Delta\beta_{1,2}}{\beta_1} - \Delta V_{t,2} + \frac{(V_{GS} - V_{t1})}{2} \cdot \frac{I_{os3}}{I_{os1}} \cdot \frac{\Delta\beta_{3,4}}{\beta_3} +$$

$$+ - \left( \frac{(V_{GS} - V_{t1})}{(V_{GS} - V_{t3})} \cdot \frac{I_{os3}}{I_{os1}} \right) \cdot \Delta V_{t,4}$$

Si comporta come un coefficiente di sommatoria di tensione.

$$F = \frac{g_{m3}}{g_{m1}} = \frac{I_{os3}}{V_{tE3}} \cdot \frac{V_{tE1}}{I_{os1}} = \frac{I_{os3}}{I_{os1}} \cdot \frac{V_{tE1}}{V_{tE3}}$$

$$V_{io} = \frac{(V_{GS} - V_{t1})}{2} \left[ \frac{\Delta\beta_{1,2}}{\beta_1} + \frac{I_{os3}}{I_{os1}} \cdot \frac{\Delta\beta_{3,4}}{\beta_3} \right] - \Delta V_{t,2} - F \cdot \Delta V_{t,4}$$

$$I_{os1} = I_{os3} \rightarrow F = \frac{(V_{GS} - V_{t1})}{(V_{GS} - V_{t3})}$$

$$V_{io} = \frac{(V_{GS} - V_{t1})}{2} \left[ \frac{\Delta\beta_{1,2}}{\beta_1} + \frac{\Delta\beta_{3,4}}{\beta_3} \right] - \Delta V_{t,2} - F \cdot \Delta V_{t,4}$$

Considerando le variabili indipendenti:

$$\sigma_{V_{io}}^2 = \frac{(V_{GS} - V_{t1})^2}{4} \cdot \sigma_{\frac{\Delta\beta_{1,2}}{\beta_1}}^2 + \frac{(V_{GS} - V_{t1})^2}{4} \cdot \sigma_{\frac{\Delta\beta_{3,4}}{\beta_3}}^2 + \sigma_{\Delta V_{t,2}}^2 + F^2 \cdot \sigma_{\Delta V_{t,4}}^2$$

$$\sigma_{\frac{\Delta\beta}{\beta}} = \frac{C_{\beta}}{\sqrt{W \cdot L}} \quad ; \quad \sigma_{\Delta V_{t}} = \frac{C_{Vt}}{\sqrt{W \cdot L}}$$

$$\sigma_{V_{io}}^2 = \frac{(V_{GS} - V_{t1})^2}{4} \cdot \frac{C_{\beta 1}^2}{W_1 L_1} + \frac{(V_{GS} - V_{t1})^2}{4} \cdot \frac{C_{\beta 3}^2}{W_3 L_3} + \frac{C_{Vt 1}^2}{W_1 L_1} + F^2 \cdot \frac{C_{Vt 3}^2}{W_3 L_3}$$

(755)

$$\sigma_{V_{10}}^2 = \frac{A}{W_{1Lr}} + \frac{B}{W_{3L3}}$$

$$A = \frac{(V_{0S} - V_{tLr})^2}{4} \cdot C_{pp}^2 + C_{VtP}^2$$

$$B = \frac{(V_{0S} - V_{tLr})^2}{4} \cdot C_{\beta m}^2 + F^2 C_{Vtm}^2$$

una volta definito  $(V_{0S} - V_{tLr})$  :

$$W_{1Lr}, W_{3L3} \uparrow \Rightarrow \sigma_{V_{10}} \downarrow$$

Soltanto se si definisce  $(V_{0S} - V_{tLr}) = (V_{0S} - V_{tLr})_{min}$  o con un  
a tale punto si costruisce  $F < 1$ .

$$S: \text{area } R_1 + R_2 + R_3 + R_4$$

$$S = 2(W_{1Lr} + W_{3L3})$$

ottenere area dello studio di impiego minima ( $S_{min}$ ):

$$a = \frac{W_{3L3}}{W_{1Lr}}$$

$$S = 2W_{1Lr}(1 + a)$$

$$\sigma_{V_{10}}^2 = \frac{1}{W_{1Lr}} \left( A + B \cdot \frac{W_{1Lr}}{W_{3L3}} \right) = \frac{1}{W_{1Lr}} \left( A + \frac{B}{a} \right)$$

$$\rightarrow W_{1Lr} = \frac{1}{\sigma_{V_{10}}^2} \left( A + \frac{B}{a} \right)$$

$$S = 2 \cdot \frac{1}{\sigma_{V_{10}}^2} \left( A + \frac{B}{a} \right) (1 + a) = \frac{2}{\sigma_{V_{10}}^2} \left( A + Aa + \frac{B}{a} + B \right)$$

$$\text{Sint} : \left. \frac{dS}{da} \right|_{a=a_{opt}} = 0$$

$$\frac{dS}{da} = \frac{2}{\sigma_{V_{i0}}^2} \left( A - \frac{B}{a^2} \right) = 0 \quad \rightarrow \quad a_{opt} = \sqrt{\frac{B}{A}}$$

$$\rightarrow \text{Wilk} = \frac{1}{\sigma_{V_{i0}}^2} \left( A + \sqrt{A \cdot B} \right)$$

CONSUMO DI POTENZA

$$P = V_{DD} \cdot I_{SUPPLY}$$

$$I_{SUPPLY} = I_D + I_E = 2 I_{DS1} + I_{DS2}$$

$$I_{DS} = g_m \cdot V_{TE}$$

$$\rightarrow I_{SUPPLY} = 2 g_m \cdot V_{TE1} + g_{mS} \cdot V_{TE2}$$

GBW:

$$\omega_0 = 2\pi \cdot \text{GBW} = \frac{1}{\sigma} \cdot \frac{g_{mS}}{C_L}$$

$$\rightarrow g_{mS} = 2\pi \cdot \text{GBW} \cdot \sigma \cdot C_L$$

$S_{UM_{RTI-TH}}$ :

$$S_{UM_{RTI-TH}} = \frac{16KT}{3} \cdot \frac{1}{g_{m1}} \cdot (1+F)$$

$$\rightarrow g_{m1} = \frac{16KT}{3} \cdot \frac{1}{S_{UM_{RTI-TH}}} \cdot (1+F)$$

note le specifiche su GBW e  $S_{UM_{RTI-TH}}$  secondo  $g_{m1}$  e  $g_{mS}$ .



$g_{m5}$ )

$$I_{SUPPLY} = g_{m5} \cdot V_{TE5} \left( 1 + 2 \cdot \frac{g_{m1}}{g_{m5}} \cdot \frac{V_{TE1}}{V_{TE5}} \right)$$

$$\frac{V_{TE1}}{V_{TE5}} = F \quad ; \quad \frac{g_{m1}}{g_{m5}} = r_{gm}$$

$$\rightarrow I_{SUPPLY} = g_{m5} \cdot V_{TE5} (1 + 2 F \cdot r_{gm})$$

$$r_{gm} \downarrow \Rightarrow I_{SUPPLY} \downarrow$$

$g_{m1}$ )

$$I_{SUPPLY} = 2 g_{m1} V_{TE1} \left( 1 + \frac{1}{2} \cdot \frac{g_{m5}}{g_{m1}} \cdot \frac{V_{TE5}}{V_{TE1}} \right)$$

$$= 2 g_{m1} V_{TE1} \left( 1 + \frac{1}{2 F \cdot r_{gm}} \right)$$

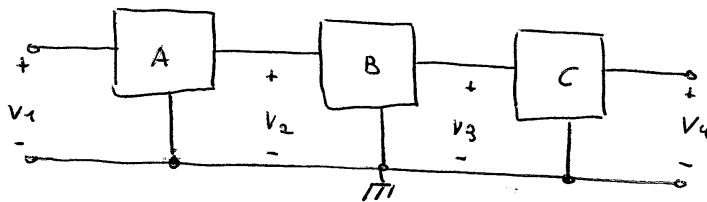
$$r_{gm} \uparrow \Rightarrow I_{SUPPLY} \downarrow$$

## SISTEMI FULLY DIFFERENTIAL

Nei sistemi unipolari, i segnali coincidono con le tensioni tra i singoli nodi e ground.

Il ground è un nodo particolare che coincide con una delle linee di alimentazione.

Ogni input e output coincidono con un singolo terminale

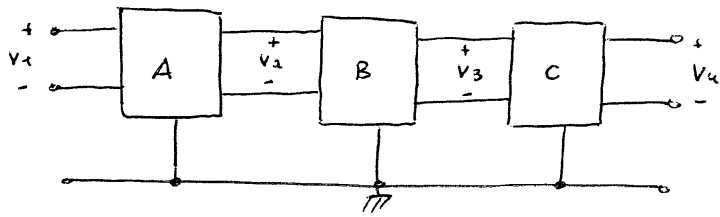


In un circuito fully differential, i segnali coincidono con differenze di potenziale tra coppie di nodi, nessuno dei quali è il ground.

Il ground è comunque necessario al fine di fornire le correnti di alimentazione ad ogni blocco.

Per ogni coppia di nodi si definisce una tensione differenziale (che trasporta informazione) e una tensione di modo comune.

Nei sistemi con singola alimentazione, e' impostazione di una tensione di modo comune diversa da zero è necessaria al fine di massimizzare la dinamica del segnale.



Ogni input ed output coincide con una coppia di terminali.

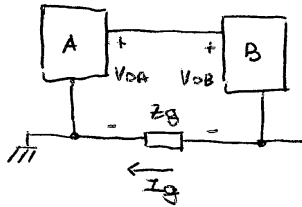
Vantaggi di un'architettura FULLY DIFFERENTIAL:

1) Eccellente immunità alle interferenze

Cause di interferenza:

a) Non uniformità della linea di ground

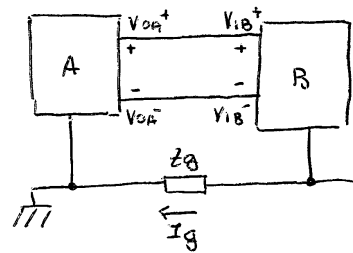
Sistema unipolare



$$V_g = Z_g \cdot I_g$$

$$\rightarrow V_{OB} = V_{OA} - V_g$$

Sistema Fully Diff.



$$V_{iB}^+ = V_{oA}^+ - V_g$$

$$V_{iB}^- = V_{oA}^- - V_g$$

$$V_{iA}^+ - V_{iB}^- = V_{oA}^+ - V_{oA}^-$$

nel sistema fully diff. la tensione differenziale non viene alterata da disturbi sulla linea di ground, che producono effetto solo sulla tensione di modo comune.

Un elevato CMRR è gradito al fine di reiettare questi effetti.

(160)

b) non uniformità linea di alimentazione.

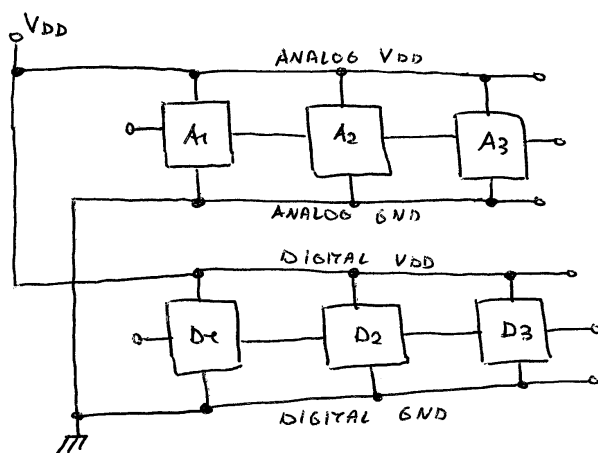
La presenza di una linea di alimentazione non uniforme attraversata da corrente composta da presenza di una tensione di alimentazione non uniforme tra i vari blocchi.

La non uniformità della linea di alimentazione affligge ogni blocco in base al suo PSRR.

Grazie alla simmetria circuitale, variazioni di  $V_{DD}$  producono effetti di modo comune non interessando la tensione differenziale.

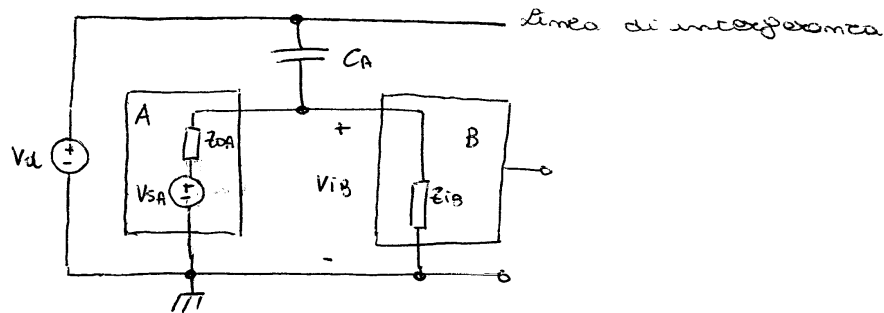
In circuiti fuzzy diff. è facile ottenere, grazie alla simmetria circuitale, blocchi differenziali con elevato CHRR e PSRR per un ampio range di frequenze.

Al fine di ridurre interferenze sulla linea di alimentazione, in un circuito mixed signal si utilizzano linee diverse per alimentare sezione analogica e sezione digitale.



c) Accoppiamenti capacitivi:

Sistema unipolare



$V_d$ : segnale interferente

$V_d$  interferisce col sistema tramite la capacità parassita  $C_A$ .

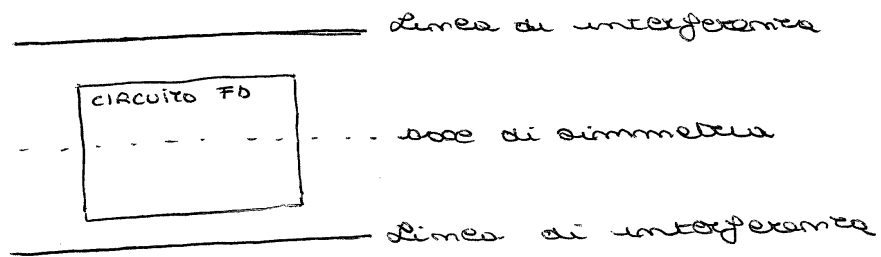
Trascuriamo l'effetto di  $V_{SA}$ :  $V_{SA} = \emptyset$ .

$$V_{IB}(V_d) = V_d \cdot \frac{Z_{OA} \parallel Z_{IB}}{Z_{OA} \parallel Z_{IB} + \frac{1}{j\omega_d C_A}} = V_d \cdot \frac{1}{1 + \frac{1}{j\omega_d C_A (Z_{OA} \parallel Z_{IB})}}$$

$$Z_A = \frac{1}{j\omega_d C_A} : \quad \begin{array}{l} C_A = \emptyset \rightarrow V_{IB}(V_d) = \emptyset \\ \omega_d = \emptyset \rightarrow V_{IB}(V_d) = \emptyset \end{array}$$

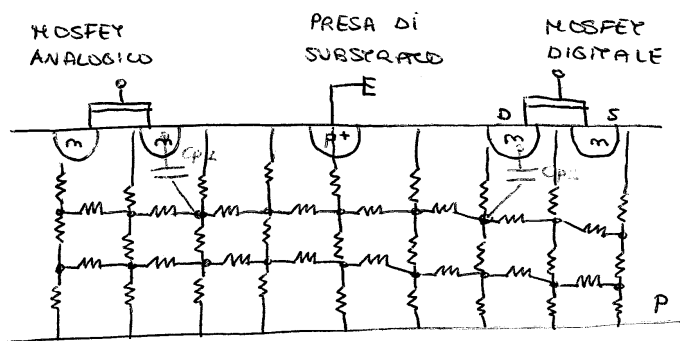
Grazie alle proprietà di simmetria, i circuiti fully diff sono più immuni rispetto ai sistemi unipolari nei confronti di questi tipi di disturbi; in quanto i nodi della stessa coppia sono affetti nella stessa maniera dall'interferenza.

Se l'ine di segnale o l'interferenza è possibile duplicare la linea di segnale in modo da aumentare la simmetria.

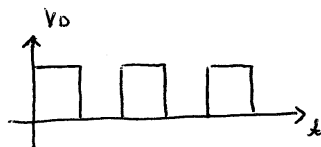


d) Rumore di substrato

Questa espressione è usata per indicare la presenza di fluttuazioni nel potenziale di substrato indotte da segnali interferenti.

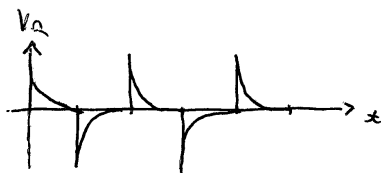


Il mosfet digitale è soggetto ad ampie e veloci variazioni di tensione.



Questo segnale si propaga nel substrato tramite  $C_{p2} = C_{db2}$ .

Il tutto passa sotto compenso da  $C_{p2} + R$  modulando il segnale

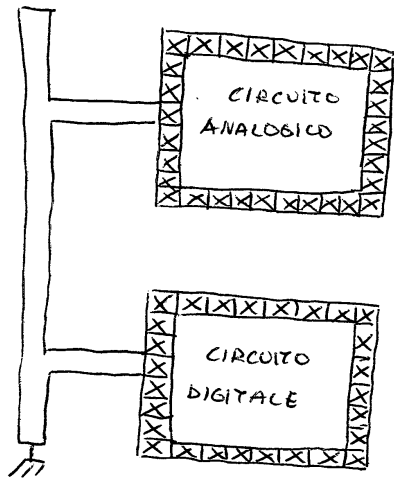


La propagazione nel substrato è accompagnata da una forte attenuazione.

Quando queste fluttuazioni raggiungono il magnet analogico possono avvenire in due diversi momenti in due maniere:

- I) Iniezione nel drain / source attraverso  $C_{ps}$ ;
- II) Variazione di  $V_t$  tramite l'effetto body.

La soluzione è un'attenta analisi di questi di tipo di noise di substrato come se a ground.



I circuiti fully diff. sono altrettanto resistenti al rumore di substrato in quanto esso si presenta in maniera quasi uniforme a tutta distanza dalla sorgente di rumore, producendo quindi solo effetti di modo comune.

## 2) Range di uscita doppio

Per un sistema unipolare:  $V_{MIN} \leq V_o \leq V_{MAX}$

$$V_{FS} = V_{MAX} - V_{MIN} < V_{DD}$$

Per un sistema pushy pull:

$$V_{MIN} \leq V_{op} \leq V_{MAX}$$

$$V_{MIN} \leq V_{om} \leq V_{MAX}$$

$$V_{op} = V_{MIN} \rightarrow V_{om} = V_{MAX}$$

$$V_{op} = V_{MAX} \rightarrow V_{om} = V_{MIN}$$

$$V_{FS} = 2 (V_{MAX} - V_{MIN})$$

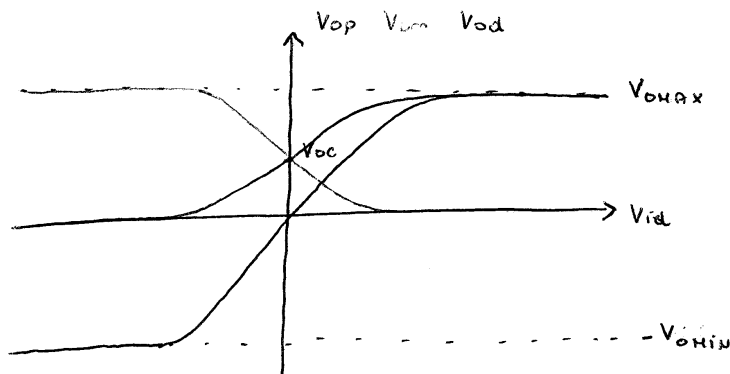
## 3) Miglioramento della simmetria

$$V_{out}(V_{im}) = V_{od}(V_{im}) = V_{op}(V_{im}) - V_{om}(V_{im})$$

$$\rightarrow V_{out}(-V_{im}) = V_{op}(-V_{im}) - V_{om}(-V_{im})$$

$$= V_{om}(V_{im}) - V_{op}(V_{im}) = -V_{out}(V_{im})$$

Questa particolare proprietà implica che lo sviluppo in serie di Taylor di  $V_{out}$  contiene solo termini dispari rendendo la caratteristica  $V_{out}(V_{im})$  più lineare delle caratteristiche  $V_{op}(V_{im})$  e  $V_{om}(V_{im})$  che contengono termini di ordine pari e dispari.



$$V_{om}(V_{im}) = -V_{op}(V_{im})$$



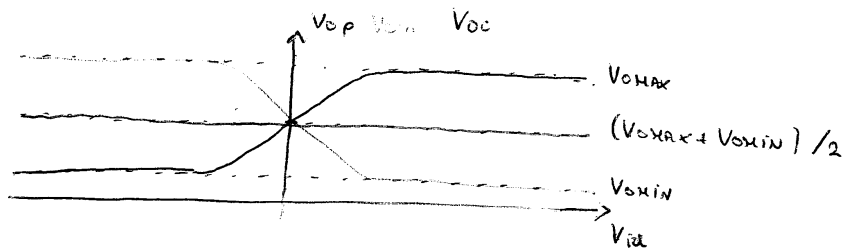
# REQUISITI PER UNA CORRETTA CARATTERISTICA DI UN SISTEMA FULLY DIFFERENTIAL

È importante che tutti i segnali presenti nel circuito siano a zero. Abbiamo tensione di modo comune costante.

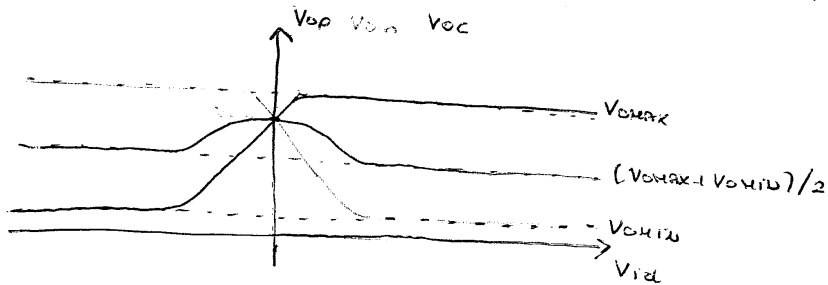
Questo è necessario al fine di garantire che la tensione di modo comune di input di un blocco non sia ridotta.

Risultata necessaria la presenza di una stabile tensione di modo comune di output ad un certo valore.

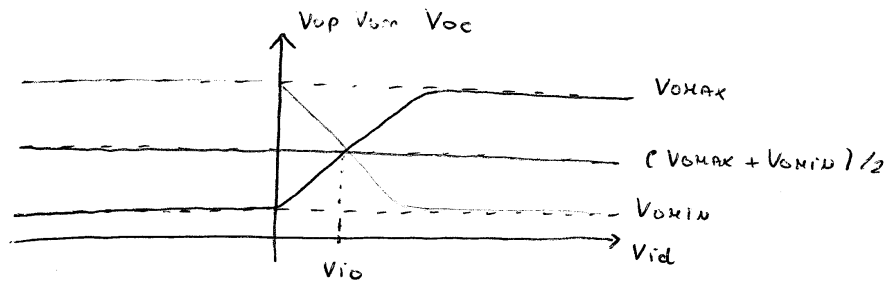
Caratteristica ideale:



$V_{oc} = \frac{V_{omax} + V_{omiu}}{2}$  → consente di mediare la tensione di riferimento di  $V_{op}$  e  $V_{om}$ .



$V_{oc} \neq \frac{V_{omax} + V_{omiu}}{2}$



$$V_{oc} = \frac{V_{ohmax} + V_{olmin}}{2}$$

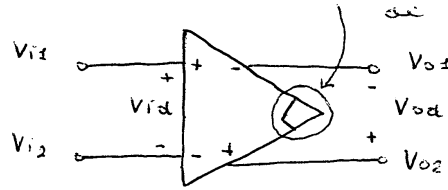
$$V_{io} \neq \phi$$

Questo che è notevolmente importante è impostare  $V_{oc}$  a metà della dinamica di uscita.

Spesso si utilizza un CRRF (COMMON MODE FEED BACK).

# AMPLIFICATORE OPERAZIONALE FULLY DIFFERENTIAL

indice di prestazioni :  $V_{oc} = V_{cho} = \text{cost.}$   
di CRFB.



$$V_{id} = V_{i1} - V_{i2}$$

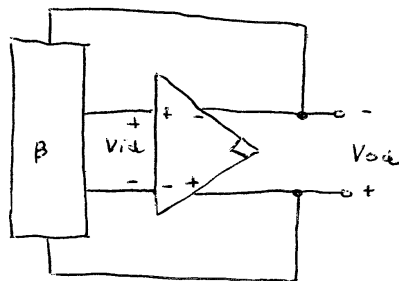
$$V_{od} = V_{o2} - V_{o1}$$

Equazione ideale :  $V_{od} = A V_{id}$  ,  $A \rightarrow \infty$

Equazione reale :  $V_{od} = A (V_{id} - U_m)$  ,  $A \gg 1$

CRFB :  $V_{oc} = V_{cho} = \text{cost.}$

Generica configurazione di feedback :



$$V_{id} = \beta V_{od} + V_k$$

$$V_{od} = A (V_{id} - U_m)$$

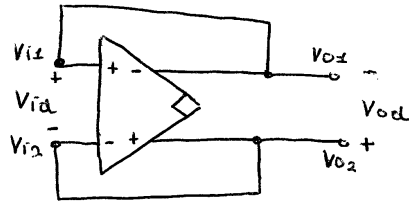
$$\rightarrow V_{id} = \beta A (V_{id} - U_m) + V_k$$

$$V_{id} (1 - \beta A) = -\beta A U_m + V_k$$

$$V_{id} = -U_m \cdot \frac{\beta A}{1 - \beta A} + \frac{V_k}{1 - \beta A}$$

$$|\beta A| \gg 1 \rightarrow V_{id} \sim U_m$$

Configurazione UNITY GAIN:



$$V_{id} = -V_{od}$$

$$V_{ic} = +V_{oc}$$

$$\rightarrow \beta = -1$$

È nota anche come configurazione di  $\text{sest}$ .

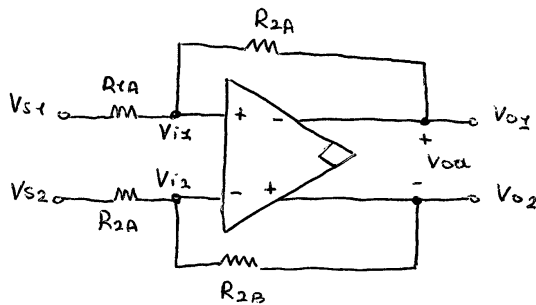
$$V_{id} \approx V_m \rightarrow V_{od} = -V_m$$

$$V_{11} = V_{01} = V_{cno} + \frac{V_m}{2}$$

$$V_{12} = V_{02} = V_{cno} - \frac{V_m}{2}$$

Bisogna notare che in assieme di un CFB o di un  $\text{sest}$  la tensione differenziale è nota; la tensione di modo comune è incerta.

Configurazione di  $\text{sest}$  resistiva:



Minimamente:

$$R_{2A} = R_{2B} = R_2$$

$$R_{1A} = R_{1B} = R_1$$

Approssimo il c.c.v. considerando  $U_m \approx \phi$ .

$$V_{x1} = V_{s1} \cdot \frac{R_{2A}}{R_{1A} + R_{2A}} + V_{o1} \cdot \frac{R_{1A}}{R_{1A} + R_{2A}} = V_{o1} \cdot \frac{R_{1A}}{R_{1A} + R_{2A}} + \left(1 - \frac{R_{1A}}{R_{1A} + R_{2A}}\right) \cdot V_{s1}$$

$$V_{x2} = V_{s2} \cdot \frac{R_{2B}}{R_{1B} + R_{2B}} + V_{o2} \cdot \frac{R_{1B}}{R_{1B} + R_{2B}} = V_{o2} \cdot \frac{R_{1B}}{R_{1B} + R_{2B}} + \left(1 - \frac{R_{1B}}{R_{1B} + R_{2B}}\right) \cdot V_{s2}$$

$$\beta_1 = \frac{R_{1A}}{R_{1A} + R_{2A}} \quad ; \quad \beta_2 = \frac{R_{1B}}{R_{1B} + R_{2B}}$$

$$V_{x1} = V_{o1} \cdot \beta_1 + (1 - \beta_1) V_{s1}$$

$$V_{x2} = V_{o2} \cdot \beta_2 + (1 - \beta_2) V_{s2}$$

In condizioni nominali:  $\beta_1 = \beta_2 = \beta = \frac{R_1}{R_1 + R_2}$

In condizioni reali:

$$\beta_1 = \beta_{nm} + \frac{\Delta\beta}{2}$$

$\beta_{nm}$ : valore medio di  $\beta$

$$\beta_2 = \beta_{nm} - \frac{\Delta\beta}{2}$$

$\Delta\beta$ : errore di matching

$$V_{x1} = V_{o1} \left( \beta_{nm} + \frac{\Delta\beta}{2} \right) + \left( 1 - \beta_{nm} - \frac{\Delta\beta}{2} \right) V_{s1}$$

$$V_{x2} = V_{o2} \left( \beta_{nm} - \frac{\Delta\beta}{2} \right) + \left( 1 - \beta_{nm} + \frac{\Delta\beta}{2} \right) V_{s2}$$

$$\left\{ \begin{array}{l} V_{od} = V_{o2} - V_{o1} \\ V_{oc} = \frac{V_{o1} + V_{o2}}{2} \end{array} \right.$$

$$V_{x1} - V_{x2} = -V_{od} \beta_{nm} + V_{oc} \Delta\beta + V_{sd} (1 - \beta_{nm}) - V_{sc} \Delta\beta$$

$$\left\{ \begin{array}{l} V_{sd} = V_{s1} - V_{s2} \\ V_{sc} = \frac{V_{s1} + V_{s2}}{2} \end{array} \right.$$

$$U_m \neq \emptyset \rightarrow V_{x1} - V_{x2} \neq \emptyset \rightarrow V_{od} = V_{sd} \cdot \frac{1 - \beta_{nm}}{\beta_{nm}} + (V_{oc} - V_{sc}) \cdot \frac{\Delta\beta}{\beta_{nm}}$$

$$A_{dd} = \frac{1 - \beta_{nm}}{\beta_{nm}} \quad \xrightarrow{\text{nominalmente}} \quad \frac{1 - \beta}{\beta} = \frac{R_2}{R_1}$$

$$A_{cd} = \frac{V_{od}}{V_{sc}} = - \frac{\Delta\beta}{\beta_{nm}}$$

Se mismatch  $\Delta\beta$  tra partitore superiore ed inferiore, produce in  $V_{od}$  un termine proporzionale a  $(V_{oc} - V_{sc})$ .

$V_{oc} = V_{cho}$   $\rightarrow$   $V_{od}$  è sensibile a variazioni di  $V_{sc}$ .

$$CHAR = \left| \frac{A_{dd}}{A_{cd}} \right| = \left| \frac{1 - \beta_m}{\beta_m} \cdot \frac{\beta_m}{\Delta\beta} \right| = \left| A_{dd} \cdot \frac{1}{\frac{\Delta\beta}{\beta_m}} \right|$$

con  $\frac{\Delta\beta}{\beta_m} \sim 0,01$

$\frac{\Delta\beta}{\beta_m}$  migliorato e effettuato un trimming sui resistori post fabbricazione.

$V_{oc} = V_{cho} = \text{cost}$  non influenzata da CHAR in quanto è un parametro di piccolo segnale.

nel caso in cui  $V_{s1}, V_{s2}$  sono l'output di un esodo differenziale a monte, risulta  $V_{sc} = V_{cho}'$ .

$$V_{oc} - V_{sc} = V_{cho} - V_{cho}' = \text{cost}$$

Si traduce in un offset.

Se CHAR diventa un parametro ininfluente.

Determinare  $V_{ic}$ :

Si deve verificare che  $V_{ic}$  non ecceda la range di modo comune in input.

Si compie una testazione meno precisa considerando

$$\Delta\beta = \neq \rightarrow \beta_1 = \beta_2 = \beta_m = \beta.$$

$$V_{i1} = V_{o1} \cdot \beta + (1 - \beta) V_{s1}$$

$$V_{i2} = V_{o2} \cdot \beta + (1 - \beta) V_{s2}$$

$$V_{ic} = \frac{V_{i1} + V_{i2}}{2} = V_{oc} \beta + (1 - \beta) V_{sc} = \left( V_{oc} \cdot \frac{\beta}{1 - \beta} + V_{sc} \right) (1 - \beta)$$

$$V_{oc} = V_{cvo}$$

$$A_{dd} \gg 1 \Rightarrow 1 - \beta_{m1} \gg \beta_{m1}$$

$$1 \gg 2\beta_{m1}$$

$$\beta_{m1} \ll \frac{1}{2}$$

$$V_{ic} \approx \left( V_{cvo} \cdot \frac{1}{A_{dd}} + V_{sc} \right) (1) \approx V_{sc}$$

Per ogni possibile valore di  $V_{sc}$ ,  $V_{ic}$  funziona all'interno della dinamica di modo comune di input.

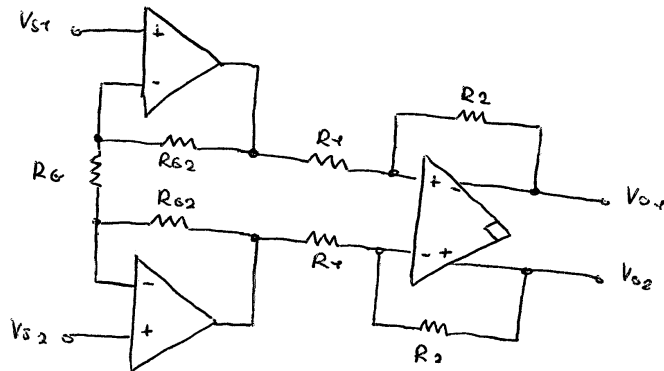
Una limitazione di questa configurazione è la bassa  $R_{im}$ .

nel caso sia valido c.c.n:  $R_{im} \approx 2R_1 \quad (R_2)$

A causa di vincoli su corrente e potenza  $[R_{im}] = K_{n1}$ .

Queste considerazioni non rendono la configurazione applicabile come in. APL.

# AMPLIFICATORE DA STRUMENTAZIONE FULLY DIFFERENTIAL



$$A_1 = 1 + \frac{2R_{G2}}{R_G}$$

$$A_2 = 1$$

Il primo stadio produce guadagno  $A_1$  ma non definisce le relazioni di  $V_{ic}$ .

In condizioni ideali ( $\Delta\beta = 0$ ) il secondo stadio impedisce solo il segnale differenziale restando il segnale di modo comune.

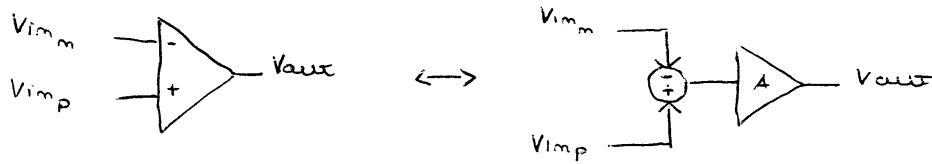
$V_{oc} = V_{CHO}$  e risulta indipendente da  $V_{ic}$ .

Per A.O. unipolari montati in config. non simm. garantiamo elevata  $R_{im}$ .

Questa caratteristica non esiste con gli A.O. fully diff. in quanto questi amplificatori non realizzano la stessa funzione che gli A.O. single ended realizzano nel dominio unipolare.

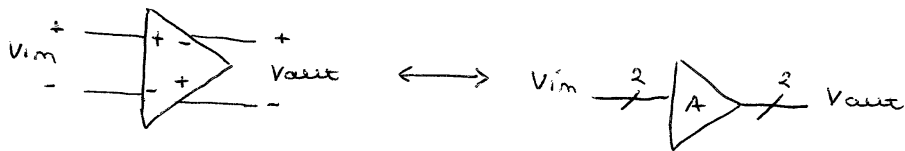


Circuito equivalente di un A.O. S.E.:



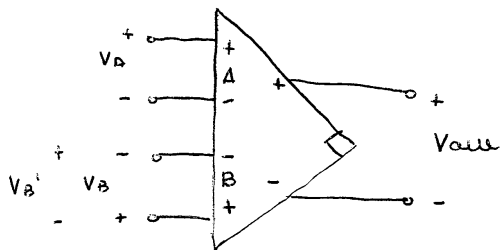
L'A.O. S.E. accetta in ingresso due segnali distinti noti come input invertente ed input non invertente.

Circuito equivalente di un A.O. F.D.:



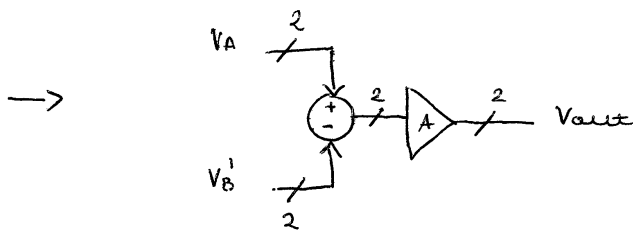
nel mondo F.D. ogni segnale richiede due connessioni, quindi A.O. F.D. accetta un solo segnale in input.

nel mondo F.D., l'equivalente dell'A.O. S.E. è il DDA (Differential Difference Amplifier).

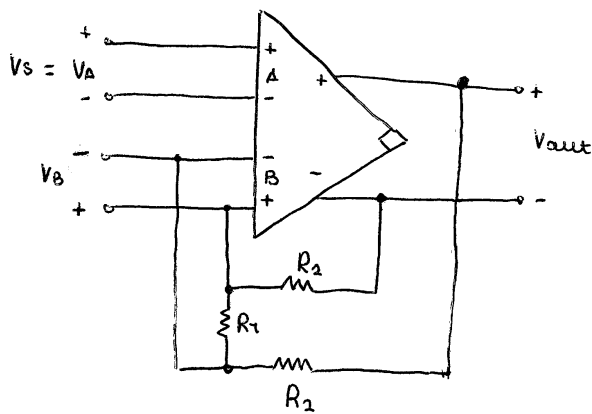


$$V_{out} = A (V_A + V_B) = A (V_A - V_{B'})$$

con  $A \rightarrow \infty$



Uso del D.D.A.:



Supponiamo che non  
fluisca corrente nei  
termini di input.

$$V_A = V_S$$

$$V_B = -V_{out} \cdot \frac{R_1}{R_1 + 2R_2}$$

$$\text{con } V_{out} = V_{od}$$

$$\begin{aligned} V_{od} &= A (V_A + V_B) \\ &= A \left( V_S - V_{od} \cdot \frac{R_1}{R_1 + 2R_2} \right) \end{aligned}$$

$$V_{od} = V_S \cdot \frac{A}{1 + A \cdot \frac{R_1}{R_1 + 2R_2}} \stackrel{A \rightarrow \infty}{=} V_S \cdot \frac{R_1 + 2R_2}{R_1} = V_S \left( 1 + \frac{2R_2}{R_1} \right)$$

Questa architettura consente quindi di realizzare un  
IN. AMPL. F. D. con un D.D.A.

Questo D.D.A. rispetto ad un A.O. F. D. comporta solo  
e' aggiunta di una coppia differenziale.

Il segnale di reazione entra in una coppia diff.

che fa una dinamica limitata.

Se  $A_v = 1$ , rapporto in ingresso pari pari se segnale in uscita.

Amplia dinamica di out  $\leftrightarrow$  ampia dinamica di in.

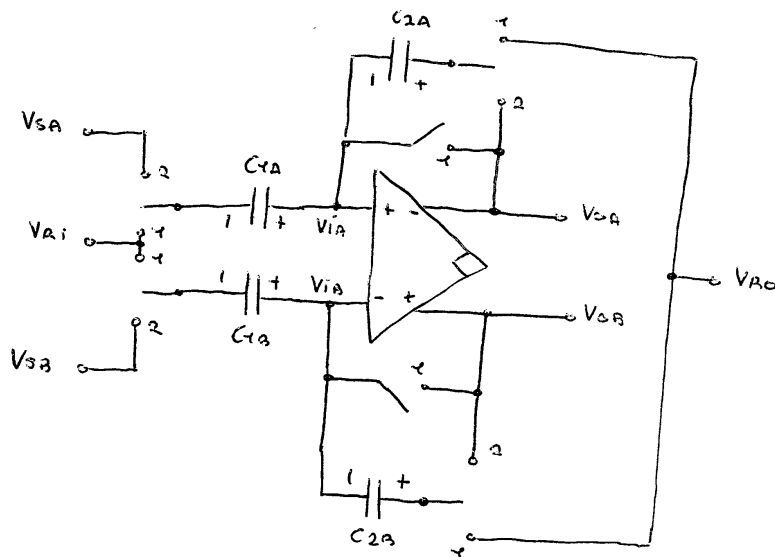
Cosa non facilmente realizzabile.

Questa config. si usa solo per alti guadagni.

$\rightarrow A_v > 10$ .

### AMPLIFICATORE OPERAZIONALE F.D. SWITCHED CAPACITOR

L'approccio switched cap. consente di implementare la tecnica CDS per la cancellazione dell'offset e l'abbattimento del rumore flicker.



$$\begin{cases} V_{od} = V_{SA} - V_{SB} \\ V_{oc} = \frac{V_{SA} + V_{SB}}{2} \\ V_{od} = V_{SB} - V_{SA} \\ V_{oc} = V_{cnc} \end{cases}$$

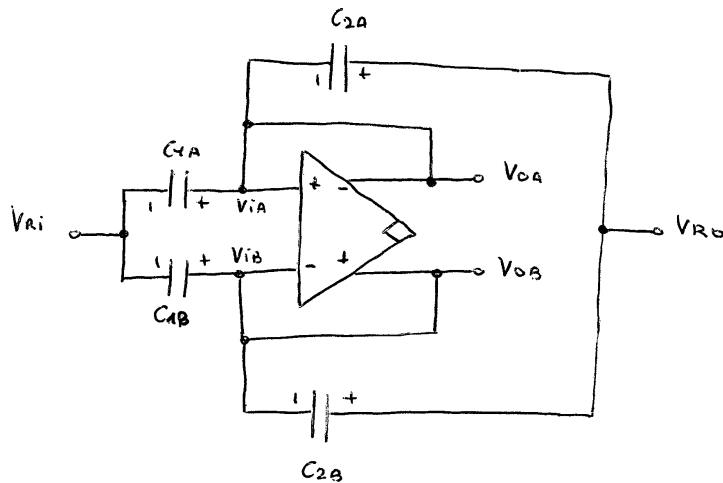
$V_{RO}$ : reference output

$V_{AI}$ : reference input

$$C_{1A} = C_{1B} = C_1$$

$$C_{2A} = C_{2B} = C_2$$

FASE I



$$V_{iA}^{(1)} = V_{cm0} + \frac{U_m^{(1)}}{2}$$

$$V_{iB}^{(1)} = V_{cm0} - \frac{U_m^{(2)}}{2}$$

$$V_{c1A}^{(1)} = V_{iA}^{(1)} - V_{ri}$$

$$V_{c1B}^{(1)} = V_{iB}^{(1)} - V_{ri}$$

$$V_{c2A}^{(1)} = V_{ro} - V_{iA}^{(1)}$$

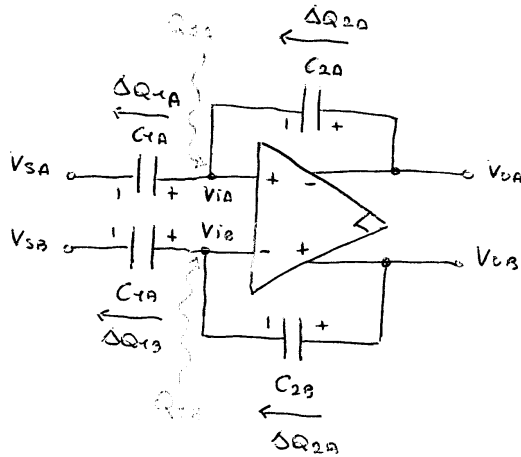
$$V_{c2B}^{(1)} = V_{ro} - V_{iB}^{(1)}$$

$$V_{od}^{(1)} = V_{oB}^{(1)} - V_{oA}^{(1)} = V_{iB}^{(1)} - V_{iA}^{(1)} = -U_m^{(1)}$$

nella fase I (intermedia) di complementamento tra fase 1 e 2, interviene il termine  $\frac{kT}{C}$ .

non ne teniamo conto per semplicità in questa trattazione.

FASE 2



$$V_{iA}^{(2)} = V_{iC}^{(2)} + \frac{V_m^{(2)}}{2}$$

$$V_{iB}^{(2)} = V_{iC}^{(2)} - \frac{V_m^{(2)}}{2}$$

$$V_{c1A}^{(2)} = V_{iA}^{(2)} - V_{SA}$$

$$V_{c1B}^{(2)} = V_{iB}^{(2)} - V_{SB}$$

Non è possibile determinare esattamente  $V_{c2A}^{(2)}$  e  $V_{c2B}^{(2)}$  in quanto hanno un terminale connesso all'uscita che assume valore incognito.

$$V_{c2A}^{(2)} = V_{c2A}^{(1)} + \frac{\Delta Q_{2A}}{C_{2A}}$$

$$V_{c2B}^{(2)} = V_{c2B}^{(1)} + \frac{\Delta Q_{2B}}{C_{2B}}$$

con  $C_{2A} = C_{2B} = C_2$ .

Gratie all'elevata impedenza di ingresso di A.O.F.O. nessuna corrente fluisce all'interno dell'amplificatore.

$$\Delta Q_{2A} = \Delta Q_{1A} - Q_{1A} = C_{1A} (V_{c1A}^{(2)} - V_{c1A}^{(1)}) - Q_{1A}$$

$$\Delta Q_{2B} = \Delta Q_{1B} - Q_{1B} = C_{1B} (V_{c1B}^{(2)} - V_{c1B}^{(1)}) - Q_{1B}$$

con  $C_{1A} = C_{1B} = C_1$

$Q_{JA}$  e  $Q_{JB}$  tengono conto di fenomeni di iniezione di carica.

$$V_{C2A}^{(2)} = V_{RD} - V_{CHD} - \frac{V_m^{(1)}}{2} + \frac{C_T}{C_2} \left( V_{ic}^{(2)} + \frac{V_m^{(2)}}{2} - V_{SA} - V_{CHD} - \frac{V_m^{(1)}}{2} + V_{RI} \right) - \frac{Q_{JA}}{C_2}$$

$$V_{C2B}^{(2)} = V_{RD} - V_{CHD} + \frac{V_m^{(1)}}{2} + \frac{C_T}{C_2} \left( V_{ic}^{(2)} - \frac{V_m^{(2)}}{2} - V_{SB} - V_{CHD} + \frac{V_m^{(1)}}{2} + V_{RI} \right) - \frac{Q_{JB}}{C_2}$$

$$V_{OA}^{(2)} = V_{iA}^{(2)} + V_{C2A}^{(2)}$$

$$V_{OB}^{(2)} = V_{iB}^{(2)} + V_{C2B}^{(2)}$$

$$V_{OA}^{(2)} = V_{ic}^{(2)} + \frac{V_m^{(2)}}{2} + V_{RD} - V_{CHD} - \frac{V_m^{(1)}}{2} + \frac{C_T}{C_2} \left( V_{ic}^{(2)} + \frac{V_m^{(2)}}{2} - V_{SA} - V_{CHD} - \frac{V_m^{(1)}}{2} + V_{RI} \right) - \frac{Q_{JA}}{C_2}$$

$$V_{OB}^{(2)} = V_{ic}^{(2)} - \frac{V_m^{(2)}}{2} + V_{RD} - V_{CHD} + \frac{V_m^{(1)}}{2} + \frac{C_T}{C_2} \left( V_{ic}^{(2)} - \frac{V_m^{(2)}}{2} - V_{SB} - V_{CHD} + \frac{V_m^{(1)}}{2} + V_{RI} \right) - \frac{Q_{JB}}{C_2}$$

Tensione di uscita differenziale:

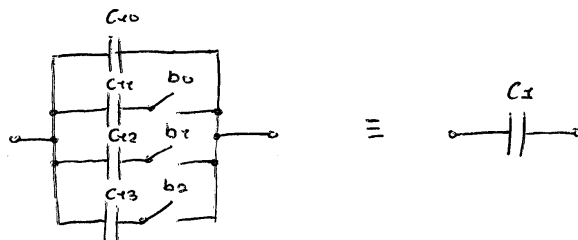
$$V_{od}^{(2)} = V_{OB}^{(2)} - V_{OA}^{(2)} = -V_m^{(2)} + V_m^{(1)} + \frac{C_T}{C_2} \left( -V_m^{(2)} - V_{SB} + V_{SA} + V_m^{(1)} \right) + \frac{Q_{JA} - Q_{JB}}{C_2}$$

$$= \frac{C_T}{C_2} (V_{SA} - V_{SB}) - (V_m^{(2)} - V_m^{(1)}) \left( 1 + \frac{C_T}{C_2} \right) + \frac{Q_{JA} - Q_{JB}}{C_2}$$

con  $V_{sd} = V_{SA} - V_{SB}$

$$A_{dd} = \frac{V_{od}^{(2)}}{V_{sd}} = \frac{C_T}{C_2}$$

Ottenere  $A_{dd}$  programmabile:



Rumore dovuto ad A.O.F.O:

$$U_{mAB} = - (U_m^{(2)} - U_m^{(1)}) (1 + Add)$$

$$U_{mAB_{RTI}} = \frac{U_{mAB}}{Add} = - (U_m^{(2)} - U_m^{(1)}) \frac{1 + Add}{Add}$$

→ si nota la presenza della tecnica CBS.

Rumore dovuto a  $Q_3$ :

$$U_{mQ_3} = \frac{Q_{3A} - Q_{3B}}{C_2}$$

$$U_{mQ_3_{RTI}} = \frac{U_{mQ_3}}{Add} = \frac{Q_{3A} - Q_{3B}}{C_2}$$

Per grandi valori di  $A$ :  $U_{mRTI} \sim U_{mAB_{RTI}}$

Gratie alla simmetria del circuito:  $Q_{3A} \sim Q_{3B}$ .

Tensione di ingresso di modo comune:

$V_{sc}$  fissata dalle caratteristiche della sorgente.

$$V_{oc}^{(2)} = \frac{V_{oA}^{(2)} + V_{oB}^{(2)}}{2} = V_{CHO}$$

$$V_{CHO} = V_{ic}^{(2)} + V_{RD} - V_{CHO} + \frac{C_1}{C_2} \left( V_{ic}^{(2)} - \frac{V_{SB}}{2} - \frac{V_{SA}}{2} - V_{CHO} + V_{RI} \right) - \frac{Q_{3A} + Q_{3B}}{2 \cdot C_2}$$

$$- \frac{V_{SB}}{2} - \frac{V_{SA}}{2} = - \frac{V_{SA} + V_{SB}}{2} = - V_{SC}$$

Trascurando il contributo di  $-\frac{Q_{3A} + Q_{3B}}{2}$ :

$$V_{ic}^{(2)} = V_{CHO} + \frac{V_{CHO} - V_{RD}}{1 + Add} + \frac{Add}{1 + Add} (V_{SC} - V_{RI})$$

mentre  $V_{ic}^{(1)} = V_{CHO}$ .

de jure di ottenere  $V_{ic}^{(2)} = V_{cm0}$

$$\rightarrow V_{Ro} = V_{cm0}$$

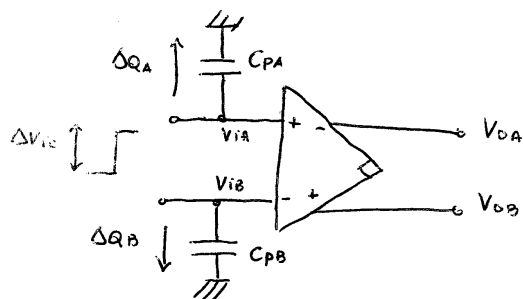
$$\rightarrow V_{Ai} = V_{sc}$$

ORIGINE DELLA CARICA  $Q_{JA}$  E  $Q_{JB}$

Origine:

- 1) iniezione di carica dagli switch;
- 2) carica indotta da variazioni di  $V_{ic}$ .

2)



$$V_{ic} = \frac{V_{iA} + V_{iB}}{2}$$

$$V_{ic}^{(1)} = V_{cm0} \rightarrow V_{ic}^{(2)} = V_{cm0} + \Delta V_{ic}$$

$C_{PA}$ ,  $C_{PB}$ : capacità parassite tra terminali di input e ground.

$$\Delta Q_A = \Delta V_{ic} \cdot C_{PA}$$

$$\Delta Q_B = \Delta V_{ic} \cdot C_{PB}$$

Se  $C_{PA} \neq C_{PB} \rightarrow \Delta Q_A \neq \Delta Q_B$

È assolutamente necessario che  $\Delta V_{ic} \neq 0$ .



1)

uno switch ideale si apre e si chiude in seconda del segnale di controllo.

uno switch reale è costituito da un mosfet: i segnali dei terminali sono commutati a S e D mentre il segnale di controllo a G.

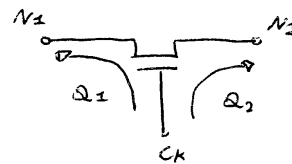
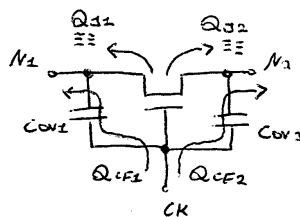
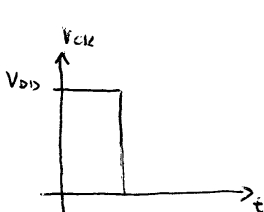
$C_{gs}, C_{gd} \neq \emptyset \rightarrow$  esistono interazioni parassite tra segnale di controllo e terminali.



Al primo non si conosce quale terminale sia S e quale D.

Le capacità parassite  $C_{gs}$  e  $C_{gd}$  sono costituite da due contributi:

- contributo intrinseco, dovuto alla modulazione della carica mobile nel canale;
- contributo estrinseco, dovuto alla sovrapposizione di G e S ed G e D ( $C_{gs1}, C_{gs2}$ ).



$$Q_1 = Q_{s1} + Q_{cf1}$$

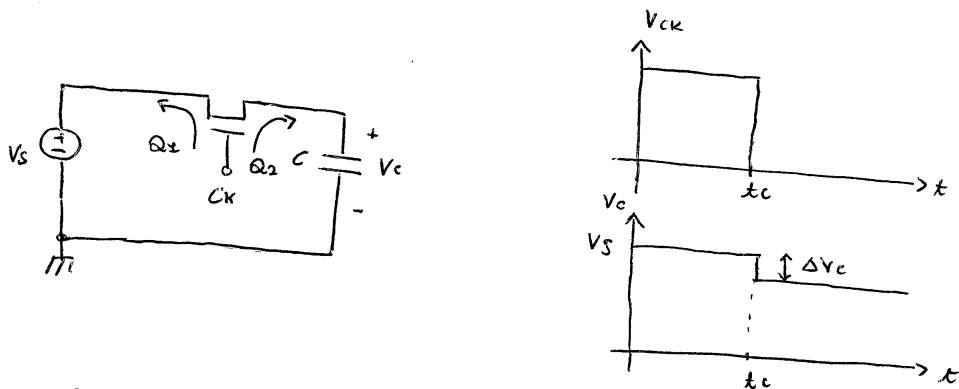
$$Q_2 = Q_{s2} + Q_{cf2}$$

Charge injection: carica di canale che si dirige verso i terminali.

clock feedthrough: carica delle capacità di overlap che si dirige verso i terminali.

$Q_{cf}$ : segnale lineare con  $V$

$Q_s$ : segnale non lineare con  $V$



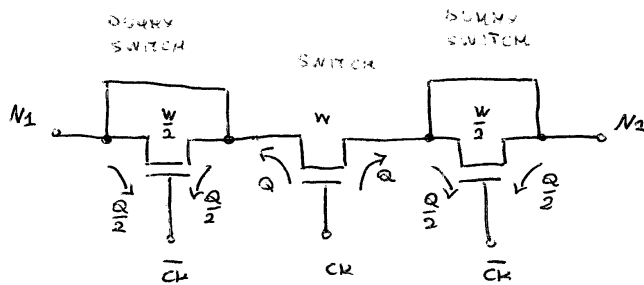
$\Delta V_c$  effetto generato solo da  $Q_2$ .

Ridurre l'effetto di iniezione di carica:

- switch di area minima;
- capacità grandi ( $C$ ).

Costituirle capacità grandi limita  $f_{ck}$  e aumenta il consumo di area.

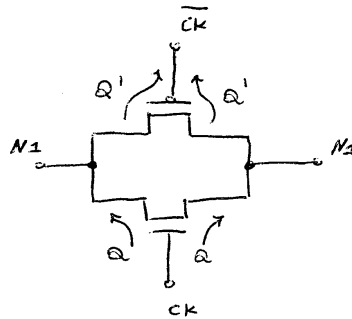
DUKHY SWITCHES (soluzione area charge injection)



$Q_1 = Q_2 = Q$  al fine di compensare la carica.

l'uso di uno switch pass gate consente di ottenere una parziale attenuazione dall'effetto di charge injection.

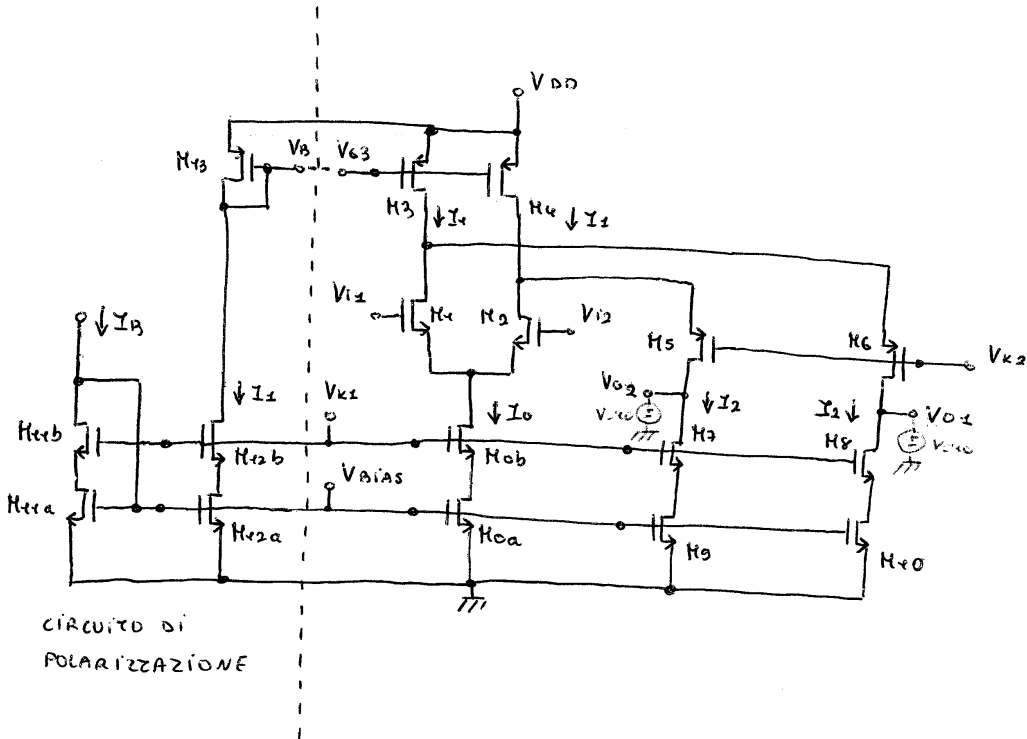
Sono comunque sufficienti DUKKY SWITCHES.



con  $Q' \neq Q$

A.O. F.D. BASATO SU TECNOLOGIA FOLDED CASCODE

non è un circuito approssimato a prestazioni caratteristiche resistive a causa della grande valore di  $R_{out}$ .



Il circuito di polarizzazione è formato da uno specchio cascode a larga dinamica ad alta precisione. Il ramo di riferimento è composto da M1a e M1b ed è attraversato da  $I_B$ .

$$I_0 = k_0 I_B$$

$$I_1 = k_1 I_B$$

$$I_2 = k_2 I_B$$

$I_1$  scorre su M3: nel caso in cui  $V_{b3} = V_{b2}$ ,  $I_1$  viene spezzata sui mosfet M3 ed M4.

$V_{b1}$  è necessario al fine di polarizzare lo specchio di corrente a larga dinamica ad alta precisione.

$V_{K2}$  è necessario se fine di protezione  $M5$  ed  $M6$  montando  $M3$  ed  $M4$  se emite dalla saturazione.

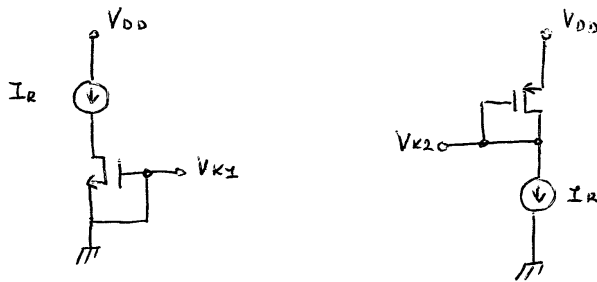
$M3, M6$

$M4, M5$

$M7, M9$

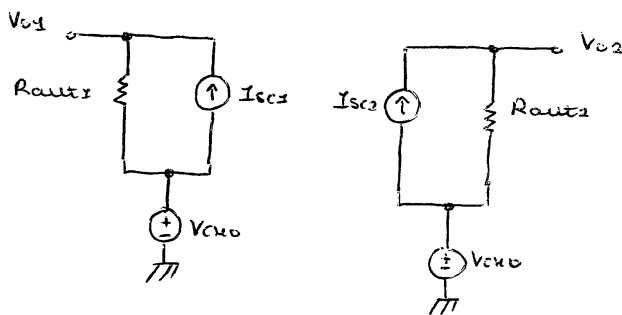
$M8, M10$

← struttura cascode

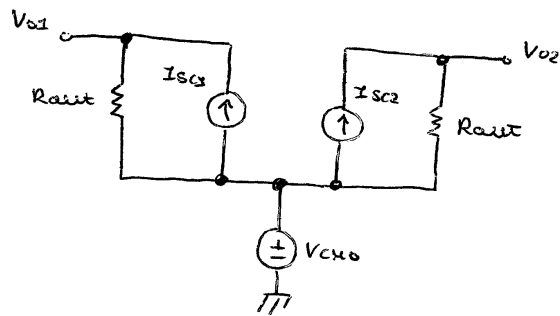


Si studia l'A.O. attraverso il circuito equivalente di Norton generalizzato ad entrambe le uscite.

Si elegga alle uscite due gn. di tensione  $V_{KO}$ :  
 $V_{KO}$  è il modo comune di uscita che A.O. dovrebbe assumere dalle specifiche ●.



Si suppose  $R_{out1} = R_{out2} = R_{out}$



$$R_{a11t} = R_{CN} // R_{CP} \sim r_d (g_m r_d)$$

$R_{CN}$ : resistenza di uscita dei rami carico  $M7, M9$  e  $M8, M10$ .

$R_{CP}$ : resistenza vista alle drain di  $M5$  e  $M6$ .

$$V_{01} = V_{c10} + R_{a11t} I_{sc1}$$

$$V_{02} = V_{c10} + R_{a11t} I_{sc2}$$

$$I_{sc1} = I_1 - I_{bs1} - I_2$$

$$I_{sc2} = I_1 - I_{bs2} - I_2$$

In regione di funzionamento lineare della coppia differenziale:

$$I_{bs1} = \frac{I_0}{2} + \frac{g_{m1}}{2} V_{id}$$

$$g_{m1} = g_{m2}$$

$$\text{con } V_{id} = V_{i1} - V_{i2}$$

$$I_{bs2} = \frac{I_0}{2} - \frac{g_{m2}}{2} V_{id}$$

$$I_{sc1} = I_1 - \left( \frac{I_0}{2} + g_{m1} \frac{V_{id}}{2} \right) - I_2$$

$$I_{sc2} = I_1 - \left( \frac{I_0}{2} - g_{m2} \frac{V_{id}}{2} \right) - I_2$$

$$I_{sc1} = K_1 I_B - \frac{K_0}{2} I_B - \frac{g_{m1}}{2} V_{id} - K_2 I_B$$

$$I_{sc2} = K_1 I_B - \frac{K_0}{2} I_B + \frac{g_{m1}}{2} V_{id} - K_2 I_B$$

$$\text{Se } V_d = \phi \rightarrow I_{sc1} = I_{sc2} = \phi \rightarrow V_{o1} = V_{o2} = V_{o10}$$

Questo implica:

$$k_1 I_B - \frac{k_0}{2} I_B - k_2 I_B = \phi$$

$$\text{Nominatamente: } k_1 - \frac{k_0}{2} - k_2 = \phi$$

In realtà ogni volta che si effettua lo speccato di una costante si commette un errore:

$$I_{sc1} = k_1 I_B - \frac{k_0}{2} I_B - \frac{g_{m1}}{2} V_{id} - k_2 I_B + I_{e1}$$

$$I_{sc2} = k_1 I_B - \frac{k_0}{2} I_B + \frac{g_{m1}}{2} V_{id} - k_2 I_B + I_{e2}$$

con  $I_{e1} \neq I_{e2}$ .

$$\begin{cases} I_{e1} = I_e + \frac{\Delta I_e}{2} \\ I_{e2} = I_e - \frac{\Delta I_e}{2} \end{cases}$$

Si richiede  $\Delta I_e$  dall'offset:  $\Delta I_e = g_{m1} \cdot V_{io}$

$$I_{sc1} = k_1 I_B - \frac{k_0}{2} I_B - k_2 I_B - \frac{g_{m1}}{2} (V_{id} - V_{io}) + I_e$$

$$I_{sc2} = k_1 I_B - \frac{k_0}{2} I_B - k_2 I_B + \frac{g_{m1}}{2} (V_{id} - V_{io}) + I_e$$

$$V_{od} = V_{o2} - V_{o1} = R_{out} (I_{sc2} - I_{sc1}) = g_{m1} R_{out} (V_{id} - V_{io})$$

$$A_{dd} = \frac{V_{od}}{V_{id}} = g_{m1} R_{out} \sim (g_{m1} R_{id})^2$$

$$A_{dd} \sim 10^4 \text{ (80 dB)}$$

$$V_{oc} = \frac{V_{o1} + V_{o2}}{2} = V_{o10} + R_{out} \cdot \frac{I_{sc1} + I_{sc2}}{2}$$

$$= V_{o10} + R_{out} \left( k_1 I_B - \frac{k_0}{2} I_B - k_2 I_B \right) + R_{out} I_e$$

(88)

$$k_1 - \frac{k_0}{2} - k_2 = \phi$$

$$\rightarrow V_{oc} = V_{ch0} + R_{out} \cdot I_e$$

$$I_e \approx 0,04 \cdot \begin{pmatrix} I_0 \\ I_1 \\ I_2 \end{pmatrix}$$

a causa del valore elevato di  $R_{out}$ , un piccolo contributo di corrente  $I_e$  produce comunque grande effetto su  $V_{oc}$ .

$$V_{oc} - V_{ch0} = R_{out} \cdot I_e = \frac{A_{dd}}{g_{m1}} \cdot I_e = A_{dd} \cdot \frac{V_{TE1}}{I_{DSE1}} \cdot I_e = 2 V_{TE1} \cdot A_{dd} \cdot \frac{I_e}{I_0}$$

$$V_{TE1} = 50 \text{ mV}$$

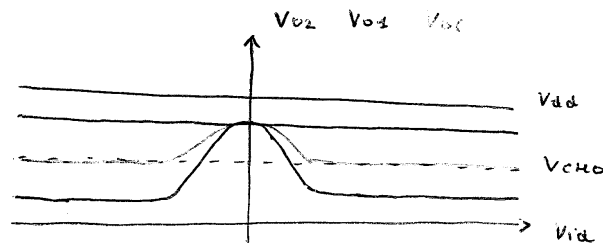
$$A_{dd} = 10^4$$

$$\frac{I_e}{I_0} = 0,01$$

$$\rightarrow V_{oc} - V_{ch0} = 5 \text{ V}$$

valore decisamente non accettabile come errore.

Questo valore di errore può portare  $V_{oc}$  a superare i limiti imposti da  $V_{DD}$  e dal ground, costringendo alcuni mosfet a lavorare in zona di c.d.



$$V_{oc} > V_{ch0}$$

com:

$$V_{ch0} = \frac{V_{OHmax} + V_{OHmin}}{2}$$

È necessaria una rete di reazione negativa che stabilizzi  $V_{oc} = V_{ch0}$  nota col nome di CMFB.



È necessario modificare una tra  $I_0$ ,  $I_1$  e  $I_2$  in modo che contenga un termine proporzionale a  $V_{oc} - V_{ch0}$ .

Si modifica  $I_1$ :  $I_1 = k_1 I_B - g_m^* (V_{oc} - V_{ch0})$

⇒ non è più possibile connettere  $V_B \equiv V_{B3}$ .

$$V_{oc} = V_{ch0} \rightarrow I_1 = k_1 I_B$$

$$V_{oc} > V_{ch0} \rightarrow I_1 \downarrow$$

$$V_{oc} < V_{ch0} \rightarrow I_1 \uparrow$$

$$I_{sc1} = k_1 I_B - g_m^* (V_{oc} - V_{ch0}) - \frac{k_0}{2} I_B - k_2 I_B - \frac{g_{m1}}{2} (V_{id} - V_{i0}) + I_e$$

$$I_{sc2} = k_1 I_B - g_m^* (V_{oc} - V_{ch0}) - \frac{k_0}{2} I_B - k_2 I_B + \frac{g_{m1}}{2} (V_{id} - V_{i0}) + I_e$$

$$V_{od} = g_{m1} R_{out} (V_{id} - V_{i0})$$

$$V_{oc} = V_{ch0} + R_{out} \left( k_1 I_B - \frac{k_0}{2} I_B - k_2 I_B \right) + R_{out} I_e - g_m^* R_{out} (V_{oc} - V_{ch0})$$

$$k_1 - \frac{k_0}{2} - k_2 = \cancel{\neq}$$

$$\rightarrow V_{oc} = V_{ch0} + R_{out} I_e - g_m^* R_{out} (V_{oc} - V_{ch0})$$

$$V_{oc} = V_{ch0} + \frac{R_{out} I_e}{1 + g_m^* R_{out}}$$

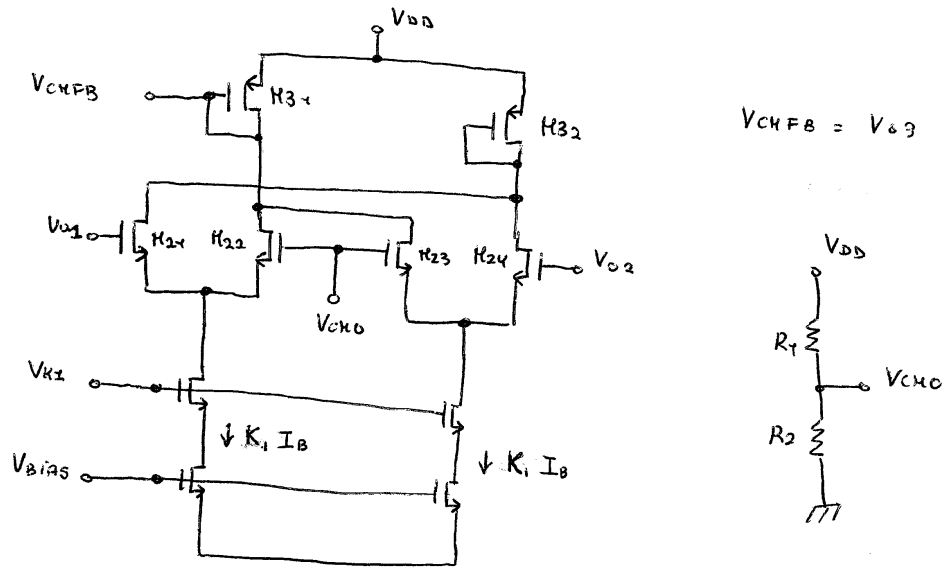
$$g_m^* R_{out} \sim (g_m r_d)^2 \gg 1$$

$$\rightarrow V_{oc} \sim V_{ch0} + \frac{I_e}{g_m^*} \quad \text{con} \quad \left[ \frac{I_e}{g_m^*} \right] = \text{mV}$$

$$\text{Se si usa un MOSFET: } g_m^* = \frac{I_{D5}^*}{V_{TE}^*}$$

$$V_{oc} - V_{ch0} = \frac{I_e}{I_{D5}^*} \cdot V_{TE}^*$$

# CMFB BASATO SU CIRCUITO STATICO



Questo circuito costituisce il ramo composto da  $M_{31}$ ,  $M_{21}$  e  $M_{22}$ .

$$M_{31} = M_{32} = M_{33} \rightarrow I_{DS31} = I_1$$

$$I_{DS31} = I_{DS22} + I_{DS23}$$

Coppia differenziale  $M_{21} - M_{22}$  :  $V_{id1} = V_{01} - V_{ch0}$

$$\text{Se } V_{id1} \ll V_{idMAX} \rightarrow I_{DS22} = \frac{K_1 I_B}{2} - \frac{g_{m21}}{2} (V_{01} - V_{ch0})$$

Coppia differenziale  $M_{23} - M_{24}$  :  $V_{id2} = V_{02} - V_{ch0}$

$$\text{Se } V_{id2} \ll V_{idMAX} \rightarrow I_{DS23} = \frac{K_1 I_B}{2} - \frac{g_{m23}}{2} (V_{02} - V_{ch0})$$

$$M_{21} = M_{22} = M_{23} = M_{24} \rightarrow g_{m21} = g_{m22} = g_{m23} = g_{m24}$$

$$I_1 = K_1 I_B - \frac{g_{m21}}{2} (V_{01} + V_{02} - 2V_{ch0}) = K_1 I_B - g_{m21} \left( \frac{V_{01} + V_{02}}{2} - V_{ch0} \right)$$

$$V_{oc} = \frac{V_{o1} + V_{o2}}{2}$$

$$\rightarrow I_T = K_I I_B - g_{m24} (V_{oc} - V_{ch0})$$

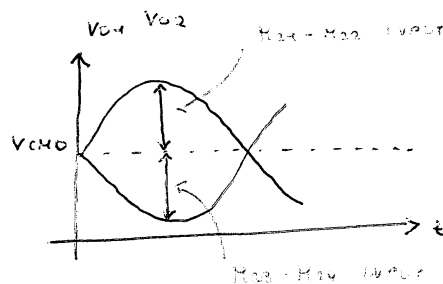
Ottenendo la stabilizzazione di  $V_{oc}$  e  $V_{ch0}$ .

$$g_m^* = g_{m24}$$

Le coppie differenziali  $M_{21} - M_{22}$  e  $M_{23} - M_{24}$  danno origine all'intervallo di dinamicità di input.

$$V_{id1} = V_{o1} - V_{ch0}$$

$$V_{id2} = V_{o2} - V_{ch0}$$



$$V_{dmax} = \sqrt{\frac{2 I_{D5}}{\beta}} = (V_{GS} - U_t)$$

Questo implica:  $\max(V_{od}) = 2 \max(V_{o1,2} - V_{ch0}) \approx 2 (V_{GS} - U_t)_{24}$

Imposta vincolo  $V_{ch0} - V_{GS24} > V_{min}$

con  $V_{min}$ : tensione minima di attivazione dello specchio cascode

Risulta  $\max(V_{od}) \approx \pm V$ .

Questo circuito presenta inoltre consumo di potenza statico.

## CHFB BASATO SU CIRCUITO DINAMICO

Implementazione switched cap.

$$\text{Se } V_{63} = V_B \rightarrow I_t = K_t I_B$$

$$\text{Se } V_{63} \rightarrow V_B + \Delta V_{63} \Rightarrow I_t \rightarrow K_t I_B + \Delta I_t$$

$$\text{con } \Delta I_t = -g_{m3} \Delta V_{63}$$

$$\Rightarrow I_t = K_t I_B - g_{m3} \Delta V_{63}$$

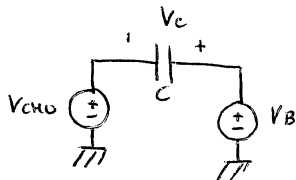
al fine di realizzare:  $I_t = K_t I_B - g_{m3} (V_{OC} - V_{CH0})$

è necessario che:  $V_{63} = V_{CHFB} = V_B + (V_{OC} - V_{CH0})$

Realizzazione in tecnologia switched cap:

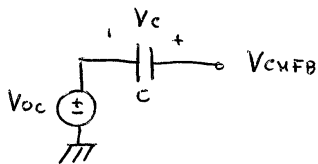
Supponiamo che  $V_{OC}$  sia realizzabile.

FASE 1)



$$V_C = V_B - V_{CH0}$$

FASE 2)

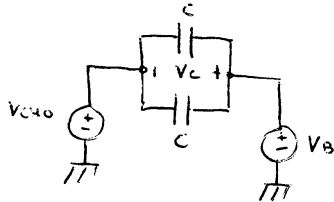


$$\begin{aligned} V_{CHFB} &= V_{OC} + V_C \\ &= V_{OC} + (V_B - V_{CH0}) \\ &= V_B + (V_{OC} - V_{CH0}) \end{aligned}$$

Supponiamo che  $V_{oc}$  non sia utilizzabile.

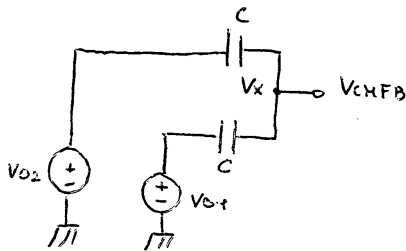
→ È necessario produrre a partire da  $V_{o1}$  e  $V_{o2}$ .

FASE 1)



$$V_c = V_B - V_{cho}$$

FASE 2)



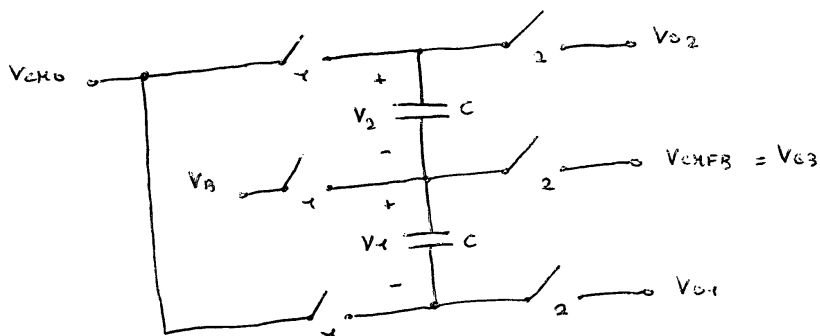
$$V_{o1} = V_{oc} + \frac{V_{od}}{2}$$

$$V_{o2} = V_{oc} - \frac{V_{od}}{2}$$

$$\rightarrow V_x = V_B - V_{cho} + V_{oc}$$

$$= V_B + (V_{oc} - V_{cho})$$

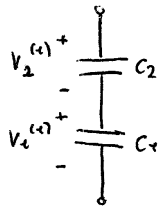
Implementazione circuitale:



186

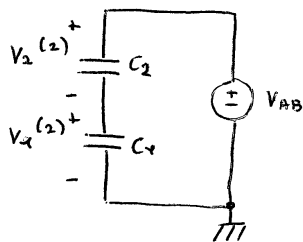
Studio di un generico circuito capacitivo:

FASE 1)



Pre-carica di  $C_1$  e  $C_2$  a  $V_2^{(1)}$  e  $V_1^{(1)}$

FASE 2)



$$\Delta Q_{C1} = \Delta Q_{C2}$$

$$\Delta Q_{C1} = C_1 (V_1^{(2)} - V_1^{(1)})$$

$$\Delta Q_{C2} = C_2 (V_2^{(2)} - V_2^{(1)})$$

$$V_2^{(2)} = V_2^{(1)} + \frac{\Delta Q_{C2}}{C_2}$$

$$= V_2^{(1)} + \frac{\Delta Q_{C1}}{C_2}$$

$$= V_2^{(1)} + \frac{C_1}{C_2} (V_1^{(2)} - V_1^{(1)})$$

$$V_1^{(2)} + V_2^{(2)} = V_{AB}$$

$$V_1^{(2)} + V_2^{(1)} + \frac{C_1}{C_2} V_1^{(2)} - \frac{C_1}{C_2} V_1^{(1)} = V_{AB}$$

$$V_1^{(2)} \left( 1 + \frac{C_1}{C_2} \right) = V_{AB} - V_2^{(1)} + \frac{C_1}{C_2} V_1^{(1)}$$

$$V_1^{(2)} = \frac{C_2 V_{AB} - C_2 V_2^{(1)} + C_1 V_1^{(1)}}{C_1 + C_2}$$

$$\text{Se } V_2^{(1)} = V_1^{(1)} = \emptyset \rightarrow V_1^{(2)} = V_{AB} \cdot \frac{C_2}{C_1 + C_2}$$

Ragionando sul circuito precedente:

$$C_1 = C_2 = C.$$

$$V_1^{(1)} = V_B - V_{CM0}$$

$$V_2^{(1)} = -(V_B - V_{CM0})$$

$$V_{AB} = V_{O2} - V_{O1}$$

$$\rightarrow V_1^{(2)} = \frac{C \cdot (V_{O2} - V_{O1}) - C [-(V_B - V_{CM0})] + C (V_B - V_{CM0})}{2C}$$

$$= \frac{V_{O2} - V_{O1}}{2} + (V_B - V_{CM0})$$

$$V_{CMFB} = V_{O1} + V_1^{(2)} = \frac{V_{O2} + V_{O1}}{2} + (V_B - V_{CM0})$$

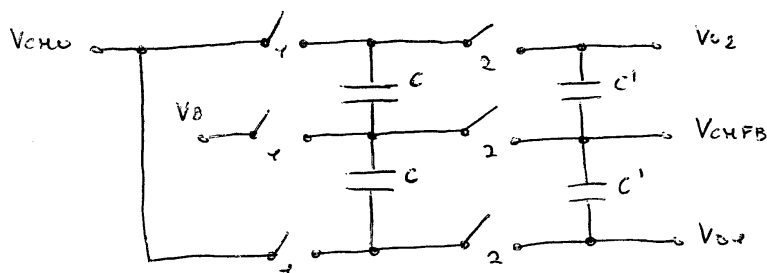
$$= V_{OC} + (V_B - V_{CM0})$$

$$= V_B + (V_{OC} - V_{CM0}).$$

Problema: durante la fase 1 il circuito è disconnesso da A.O.

$\rightarrow V_{CM}$  è quindi soggetto a disturbi.

Soluzione:



C'è produzione un percorso attivo durante la fase 1, tra terminali di uscita e  $V_{CHFB}$ .

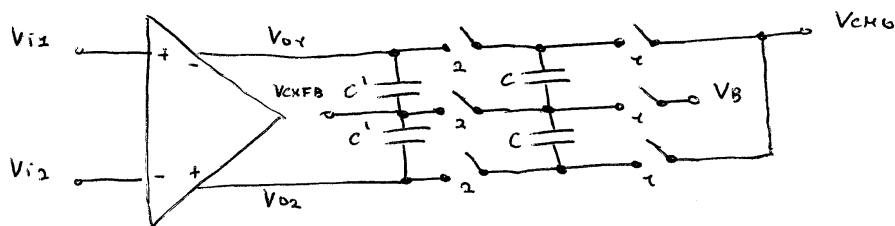
$V_{od}$  non produce oscillazioni su  $V_{CHFB}$  a causa della simmetria circuitale.

C'è non produzione un contatore CHFB completo, in quanto mai e ci solo a oscillazioni AC di  $V_{oc}$ .

C'è produzione la reazione DC.

nei caso in cui  $V_{oc}$  rimanga costante durante la fase 1, C'è si comportano da  $\mu_{ed}$  mantenendo inalterato il valore di  $V_{CHFB}$ .

Problemi di questa soluzione circuitale:



Durante la fase 1, C si scaricano.

Durante la fase 2, C vengono connesse a  $V_{o1}$ ,  $V_{o2}$ .

Una corrente impulsiva generata da A.O. per caricare C, producendo spike in  $V_{od}$  riducendo quindi il guadagno A<sub>od</sub>.

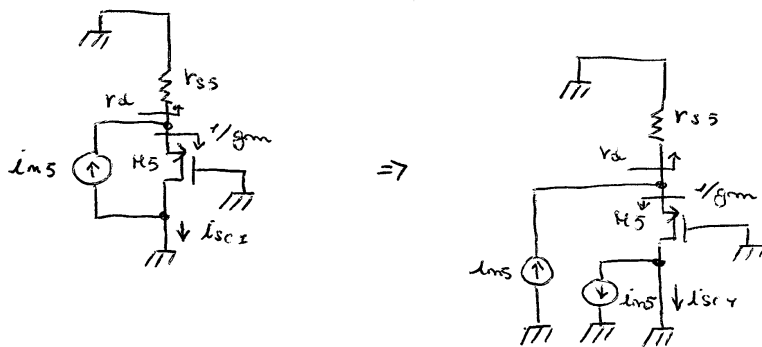
-> c'è una resistenza equivalente switched cap.



## ANALISI DEL RUMORE

Analisi effettuata sul circuito nominale nel caso in cui  $V_{id} \neq \phi$ .

- $H_{0a}, H_{0b}$  : producono solo effetti di modo comune e nel caso nominale il loro contributo è nullo (circuito asimmetrico)  
 Non producono effetti di modo differenziale in quanto agiscono alla stessa maniera su  $V_{o1}$  e  $V_{o2}$ ;
- $H_7, H_8$  : Formano un contributo fortemente attenuato e quindi trascurabile;
- $H_5, H_6$  : Formano un contributo fortemente attenuato e quindi trascurabile;



$r_{ss}$  : resistenza  $S5$  - ground.

$$r_{ss} \approx r_d$$

$$I_{sc1} \approx \phi$$

- $H_3, H_{10}$  : i loro generatori equivalenti di corrente producono effetto in uscita in maniera quasi inalterata;
- $H_3, H_4$  : i loro generatori equivalenti di corrente funzionano in aut attraverso lo stadio a bassa impedenza ( $1/g_m$ ) costituito da  $H_5$  ed  $H_6$ ;
- $H_1, H_2$  : i loro generatori equivalenti di corrente funzionano in aut attraverso lo stadio composto da  $H_5$  ed  $H_6$ .

$$U_{m\text{ aut}} = R_{\text{out}} (i_{m3c2} - i_{m3c1}) = R_{\text{out}} [(i_{m1} - i_{m2}) + (i_{m3} - i_{m4}) + (i_{m9} - i_{m10})]$$

$$U_{m\text{ RTI}} = \frac{U_{m\text{ aut}}}{A_{d,d}} \quad \text{con } A_{d,d} = g_{m1} R_{\text{out}}$$

$$U_{m\text{ RTI}} = \frac{(i_{m1} - i_{m2}) + (i_{m3} - i_{m4}) + (i_{m9} - i_{m10})}{g_{m1}}$$

$$H_1 = H_2 ; H_3 = H_4 ; H_9 = H_{10}$$

$$S_{U_{m\text{ RTI}}} = 2 \frac{S_{i_{m1}} + S_{i_{m3}} + S_{i_{m9}}}{g_{m1}^2}$$

$$= 2 \frac{g_{m1}^2 \cdot S_{U_{m1}} + g_{m3}^2 S_{U_{m3}} + g_{m9}^2 \cdot S_{U_{m9}}}{g_{m1}^2}$$

$$= 2 (S_{U_{m1}} + F_3^2 S_{U_{m3}} + F_9^2 S_{U_{m9}})$$

$$F_3 = \frac{g_{m3}}{g_{m1}} = \frac{I_{D3}}{I_{D1}} \cdot \frac{V_{TE1}}{V_{TE3}}$$

$$F_9 = \frac{g_{m9}}{g_{m1}} = \frac{I_{D9}}{I_{D1}} \cdot \frac{V_{TE1}}{V_{TE9}}$$

Solitamente:

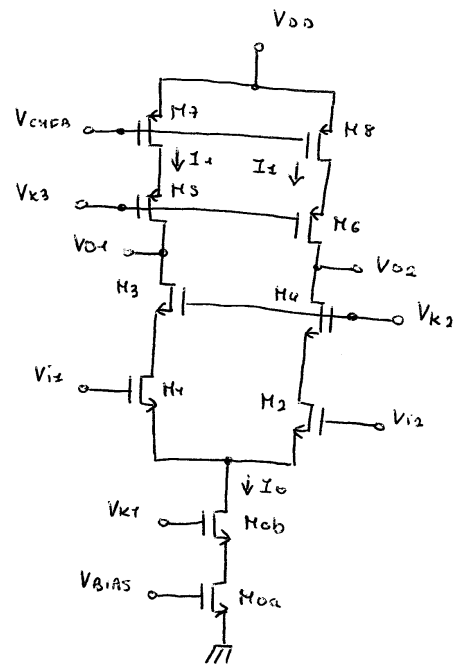
$$I_{SD3} = 2 I_{SD4}$$

$$I_{SD4} = \frac{I_0}{2} \rightarrow I_{SD3} = I_0$$

$$\rightarrow I_4 = I_0.$$

$$\frac{I_{SD3}}{I_{SD4}} = 2 \quad : \quad \text{è difficile ottenere } F_3 < 1.$$

### AMPLIFICATORE TELESCOPICO



M3 ed M4 sono posti in serie a M1 ed M2 e utilizzano quindi una singola corrente di alimentazione.

→ Risparmio di corrente.

M1, M2, M7, M8 contribuiscono al rumore totale.

$$S_{um_{RTI}} = 2 (S_{um1} + F_7^2 S_{um7}) \quad \text{con } F_7 = \frac{g_{m7}}{g_{m1}} = \frac{I_{SD7}}{I_{SD1}} \cdot \frac{V_{TE7}}{V_{TE1}} = \frac{V_{TE1}}{V_{TE7}}$$

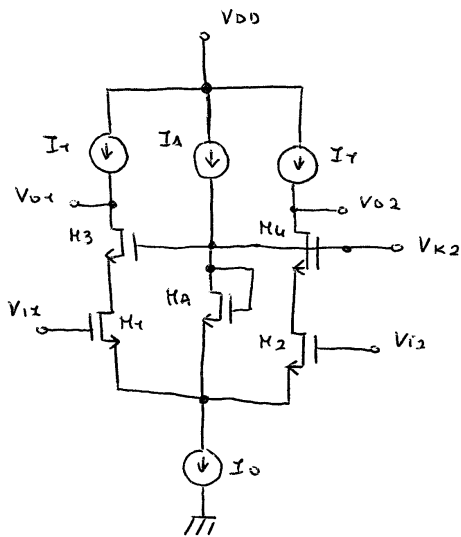
F7 può facilmente risultare  $< 1$ .

La dinamica di uscita è però fortemente limitata.

$$V_o > V_{k2} - V_{tm} \quad (M_3, M_4 \text{ in sat.})$$

Questo stadio viene abitualmente utilizzato come primo stadio di amplificazione in una catena di signal processing in quanto i segnali hanno piccola dinamica.

Costruire dinamica di ingresso e di uscita possibili:



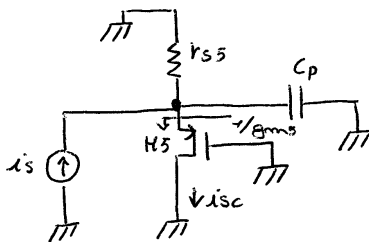
$$V_{k2} = V_{ic} - V_{GS3} + V_{GS4}$$

$$V_{ic} \uparrow \Rightarrow V_{k2} \uparrow$$

$\Rightarrow$  dinamica in  $\uparrow$   
dinamica out  $\downarrow$

## RISPOSTA IN FREQUENZA E COMPENSAZIONE

Descrizione del comportamento in frequenza di uno stadio common gate:



$i_s$ : input current.

$i_{sc}$ : output current.

$r_{gs}$ : resistenza  $gs - gnd$ .

$$r_{gs} \sim r_d$$

$$C_p = C_{gs} + C_{bs} + C_{db2} + C_{db4}$$

$\omega \rightarrow \phi$  :

$C_p$  è assente

$$i_s \sim i_{sc} \quad \left( \frac{1}{g_{ms}} \ll r_{ss} \right)$$

$\omega \uparrow$  :

$C_p$  non è più trascurabile e conduce corrente verso il body.

$\omega \rightarrow \infty$  :

$C_p$  è un c.c.

$$i_{sc} \sim \phi$$

$$f_{CG}(s) = \frac{1}{1 + \frac{s}{\omega_{CG}}} \quad \text{con} \quad \omega_{CG} = \frac{1}{\frac{1}{g_{ms}} \cdot C_p} = \frac{g_{ms}}{C_p}$$

Analisi A.O.F.D. :

$H_1$  e  $H_2$  mettiamo entrambi di modo differenziale in  $H_3$  e  $H_6$ .

$$H_5 \text{ riceve } g_{m1} \cdot \frac{V_{id}}{2}$$

$$H_6 \text{ riceve } -g_{m1} \cdot \frac{V_{id}}{2}$$

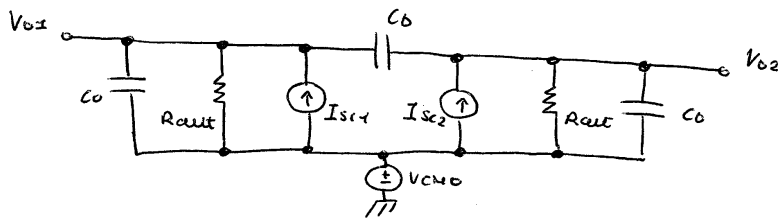
$H_3$  e  $H_4$ , pilotati da  $V_{CMFB}$ , mettiamo corrente di modo comune in  $H_5$  e  $H_6$ .

$$H_5 \text{ ed } H_6 \text{ ricevono } -g_m^* \cdot V_{oc}$$

$$i_{sc1} = \left( -g_{m1} \cdot \frac{V_{id}}{2} - g_m^* V_{oc} \right) \cdot f_{CG}(s)$$

$$i_{sc2} = \left( g_{m1} \cdot \frac{V_{id}}{2} - g_m^* V_{oc} \right) \cdot f_{CG}(s)$$

Circuito equivalente di piccolo segnale:

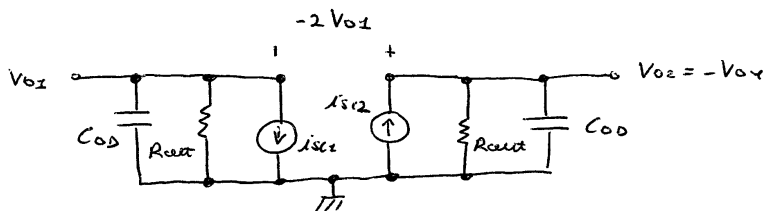


$C_0$ : capacità di modo comune

$C_D$ : capacità di modo differenziale

$C$  sono la somma di capacità parassite e capacità di carico.

Studio solo la componente differenziale di  $I_{sc1}$  e  $I_{sc2}$ :



$$V_{od} = V_{o2} - V_{o1}$$

$$I_{sc1} = I_{sc2} = g_{m1} \frac{V_{id}}{2} \cdot f_{c0}(s)$$

$$C_{D0} = C_0 + 2C_D$$

$$A_{dd}(s) = \frac{V_{od}}{V_{id}} = \frac{-2V_{o1}}{V_{id}} = g_{m1} R_{out} \cdot \frac{1}{1 + \frac{s}{SP}} \cdot f_{c0}(s)$$

$$\text{con } SP = \frac{1}{R_{out} \cdot C_{D0}}$$

$R_{out}$  è molto grande:  $\omega_p = SP \ll \omega_{GB}$

$$\omega_{od} = A_{dd} \cdot \omega_p = g_{m1} \cdot R_{out} \cdot \frac{1}{R_{out} \cdot C_{D0}} = \frac{g_{m1}}{C_{D0}}$$

Supponiamo di usare A.O. chiuso in reazione.

Ugualemo stabilità con un sufficiente  $\gamma$ .

$$\beta = 1 \quad \rightarrow \quad V_{o1} = V_{i2} \\ V_{o2} = V_{i1}$$

$\omega_{CG}$  è il primo polo non dominante

$$\omega_{CG} = \omega_2$$

Dove si desidera  $\omega_2 > \omega_0$ .

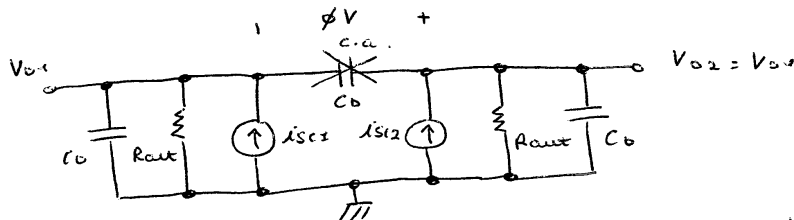
$$\omega_0 \downarrow \text{ se } C_L \uparrow \text{ ma } GBW = \frac{\omega_0}{2\pi} \downarrow$$

$$\omega_{CG} \uparrow \text{ se } I_{Bias} \uparrow \text{ ma } P_D \uparrow$$

Analizziamo la stabilità del modo comune:

CHFB setta  $V_{oc} = V_{CHO}$  e il circuito di reazione deve essere stabile.

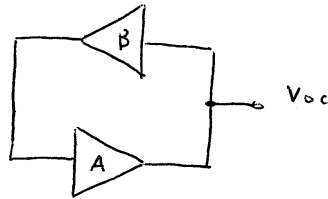
Circuito equivalente di piccolo segnale per il modo comune di uscita:



$$V_{oc} = \frac{V_{o1} + V_{o2}}{2} = V_{o1}$$

$$I_{sc1} = I_{sc2} = -g_m \cdot V_{oc} \cdot f_{CG}(s)$$

Rappresentazione a blocchi del CFB per piccoli segnali:



$$\beta = 1$$

$$A = -g_m^* \cdot f_{cs}(s) \cdot R_{out} \parallel C_o$$

$$A_{CFB}(s) = -g_m^* \cdot \frac{R_{out}}{1 + s/S_{pc}} \cdot f_{cs}(s)$$

$$; A_{0_{CFB}} = -g_m^* R_{out}$$

$$\text{con } S_{pc} = \frac{1}{R_{out} \cdot C_o}$$

$S_{pc} = \omega_p$  : polo dominante

$$\omega_{oc} = |A_{0_{CFB}}| \cdot \omega_p = \frac{g_m^*}{C_o}$$

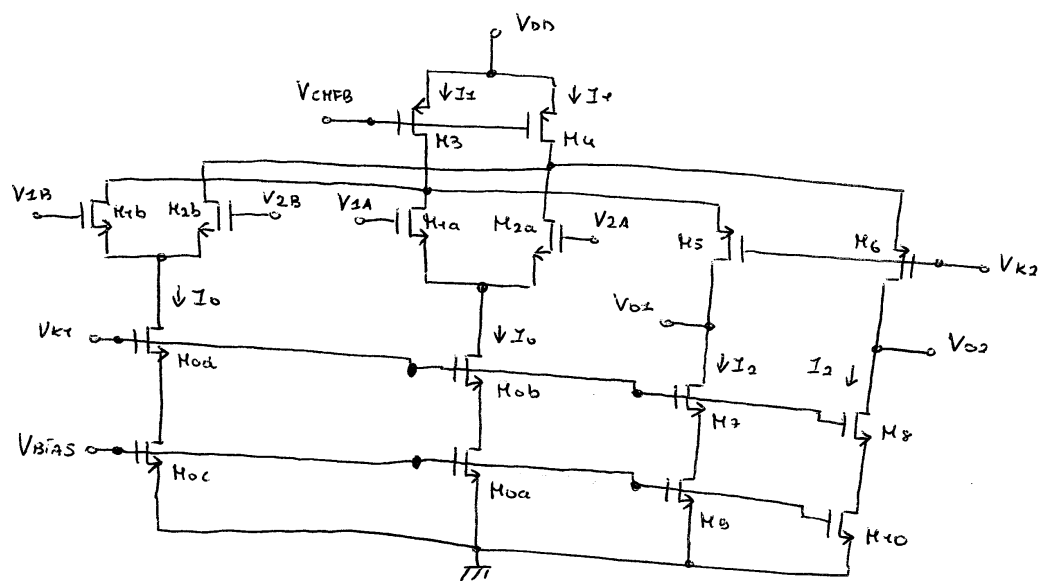
$$\omega_2 = \omega_{CG}$$

$$\omega_2 > \omega_{oc} \Rightarrow \omega_2 = 3\omega_{oc} \quad (\sigma = 3 \rightarrow \varphi_m \approx 70^\circ)$$

$\omega_{oc} \downarrow$  se  $C_o \uparrow$  ma  $\omega_{od} \downarrow$



D. D. A. BASATO SU A. D. F. D. FOLDED CASCODE



$$I_1 = \frac{3}{2} I_0$$
 con  $I_0$  costante di A. D. F. D.

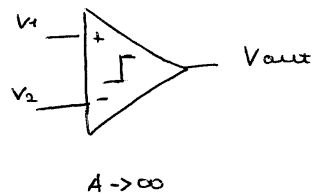
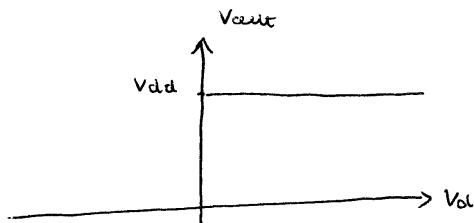
$I_{BIAS} \uparrow$

$SUMATI \uparrow$

# COMPARATORI

Definizione:

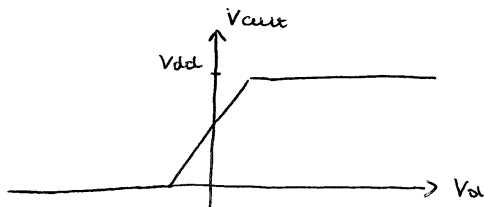
Un comparatore è un blocco che riceve in input una tensione differenziale e produce in uscita un segnale digitale.



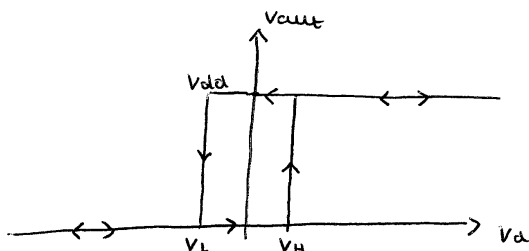
$$V_d = V_1 - V_2 > 0 \Rightarrow V_{out} = \pm$$

$$V_d = V_1 - V_2 < 0 \Rightarrow V_{out} = 0$$

Caratteristica con  $A$  molto grande ma  $A < \infty$ :



Caratteristiche di un comparatore self-biased o comparatore con isteresi:



Reazione positiva:

$$V_d < V_{tl} \rightarrow V_{out} = 0$$

$$V_d \uparrow$$

$$V_{out} = \pm \text{ se } V_d > V_{th}$$

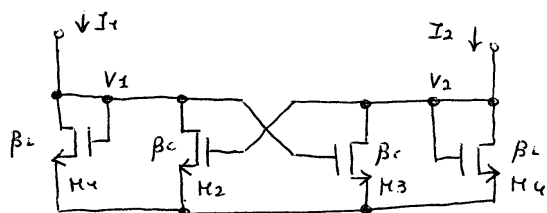
$$V_d > V_{th} \rightarrow V_{out} = \pm$$

$$V_d \downarrow$$

$$V_{out} = 0 \text{ se } V_d < V_{tl}$$

$$\Delta V_h = V_{th} - V_{tl} : \text{isteresi.}$$

CELLA CROSS COUPLED - CELLA di isteresi a 4 transistor



Input in corrente :  $I_1 + I_2 = I_0$ .

Output in tensione :  $V_1, V_2$ .

$$I_1 = I_0, I_2 = \emptyset$$

$$I_2 = I_{DS3} + I_{DS4}$$

$$I_{DS3}, I_{DS4} > \emptyset \Rightarrow I_{DS3} = I_{DS4} = \emptyset \Rightarrow V_2 < U_t \Rightarrow M_2, M_4 \text{ OFF.}$$

$$\uparrow \\ V_2 = V_{GS2} = V_{GS4}$$

$$\text{Se } M_2 \text{ \textcircled{e} OFF : } I_{DS1} = I_1 = I_0 > \emptyset \Rightarrow V_1 > U_t \Rightarrow M_1, M_3 \text{ ON.}$$

$$\uparrow \\ V_1 = V_{GS1} = V_{GS3}$$

$$I_{DS3} = \emptyset \rightarrow V_{GS3} = V_2 = \emptyset$$

{	M1	ON	$V_{GS1} > U_t$	SAT.
	M2	OFF	$V_{GS2} < U_t$	INTERD.
	M3	ON	$V_{GS3} > U_t$	TRIODO
	M4	OFF	$V_{GS4} < U_t$	INTERD.

Quindi  $I_1 = I_0, I_2 = \emptyset$  ;

$$\left\{ \begin{array}{l} M_1, M_3 \text{ ON} ; M_2, M_4 \text{ OFF} \\ I_{DS1} = I_0 ; I_{DS2} = I_{DS3} = I_{DS4} = \emptyset \\ V_2 = \emptyset ; V_1 = V_{GS1} > U_t \end{array} \right.$$

$$M_1 \text{ SAT. F.I. : } V_1 = V_{GS1} = \sqrt{\frac{2 I_{DS1}}{\beta_L}} + U_t = \sqrt{\frac{2 I_1}{\beta_L}} + U_t = \sqrt{\frac{2 I_0}{\beta_L}} + U_t > U_t$$

Per il corretto funzionamento della cella:  $V_2 < 2U_t$  (\*)

$$\sqrt{\frac{2I_0}{\beta_L}} + U_t \leq 2U_t$$

$$\sqrt{\frac{2I_0}{\beta_L}} = (V_{GS} - U_t) \leq U_t$$

$I_2 \uparrow$ ,  $I_1 \downarrow$

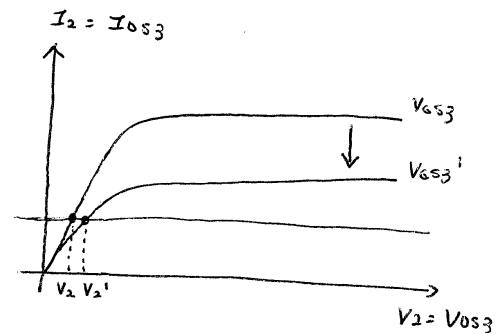
$I_2 \uparrow \Rightarrow V_2 = V_{GS3} \uparrow$

Per un piccolo incremento di  $I_2$   
 richiesta un'uscita  $V_2 < U_t$ :

$M_4$  OFF e  $I_2 = I_{OS3}$

$M_2$  OFF e  $I_1 = I_{OS1}$

$I_1 \downarrow \Rightarrow V_1 = V_{GS1} = V_{GS3} \downarrow \Rightarrow V_2 \uparrow$



$V_{GS3}' < V_{GS3}$   
 $\Rightarrow V_2' > V_2$

nel momento in cui:  $I_2 \uparrow$ ,  $I_1 \downarrow \Rightarrow V_2 = U_t$ :  $M_2, M_4$  ON

$M_2$  comincia a condurre  $I_{OS2} > 0$  e  $I_{OS1} \downarrow \Rightarrow V_1 \downarrow \Rightarrow V_2 \uparrow$

ma  $V_2 \uparrow \Rightarrow I_{OS2} \uparrow \Rightarrow I_{OS1} \downarrow$

Si tratta di una reazione positiva.

nel caso in cui il guadagno d'anello sia  $> 1$  abbiamo instabilità.

Lo stato della cella viene quindi invertito

anche se  $I_2$  non viene aumentato un quanto  $V_2 > U_t$ .

Si studia il caso  $V_2 = V_t$  ma  $M_2$  ancora OFF.

$M_1, M_3$  formano una coppia

$M_1$  è in SAT.

Se anche  $M_3$  è in SAT.:  $\frac{I_2}{I_1} = \frac{I_{os3}}{I_{os1}} = \frac{\beta_c}{\beta_i}$

$\rightarrow V_{os3} > V_{os3} - V_t$

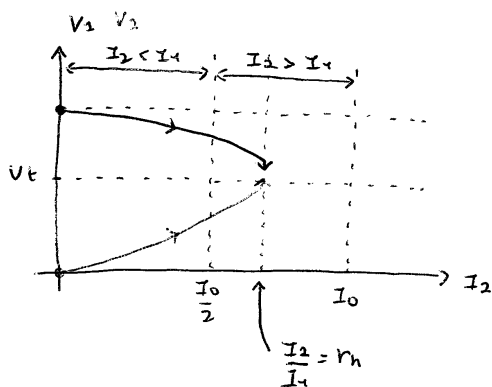
ma  $V_{os3} = V_2 = V_t$

$$V_{os3} = V_1 < 2V_t \quad (*)$$

$I_2 < I_1 \rightarrow V_2 = V_{os3}$  ;  $M_3$  è in TRIASO

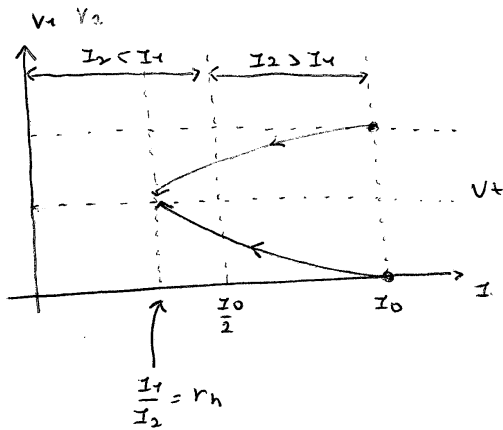
$I_2 \uparrow$   $M_3$  passa da TRIASO a SAT.; quando questo accade anche un piccolo incremento di  $I_2$  provoca un grande aumento di  $V_2$ .

Impediamo  $r_n = \frac{\beta_c}{\beta_i} > 1$



$V_2 = V_t$  nel momento in cui  $I_2 > I_1$ , che avviene dopo aver verificato  $I_1 = I_2 = I_0/2$ .

nel caso in cui:  $I_1 = \emptyset$ ,  $I_2 = I_0$  e  $I_1 \uparrow$   $I_2 \downarrow$



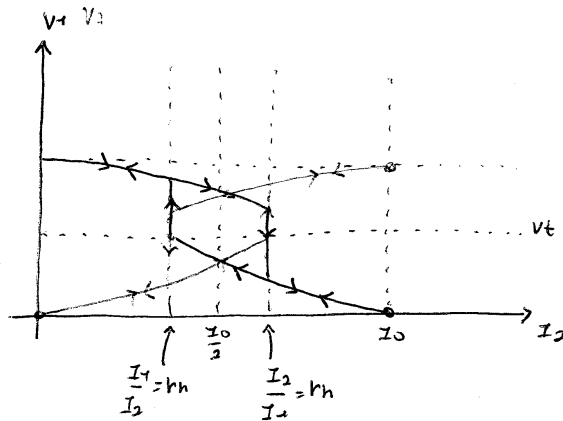
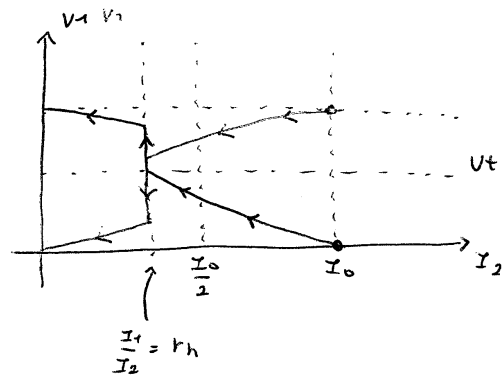
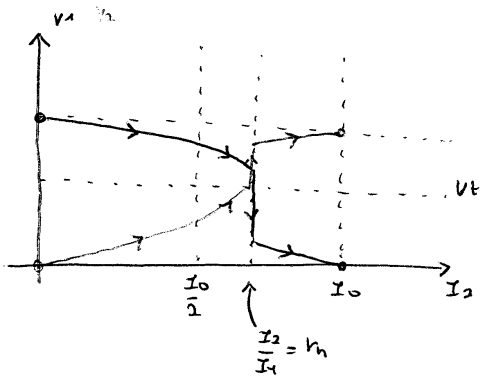
$V_1 = V_t$  nel momento in cui  $I_2 < I_1$ , che avviene dopo aver verificato  $I_1 = I_2 = I_0/2$ .

risulta:  $\frac{I_1}{I_2} < r_h$  ← è chiaramente presente un'interesse.

la soluzione è la seguente

$I_1 = I_0$   $I_1 \downarrow$   
 $I_2 = \emptyset$   $I_2 \uparrow$

$I_1 = \emptyset$   $I_1 \uparrow$   
 $I_2 = I_0$   $I_2 \downarrow$

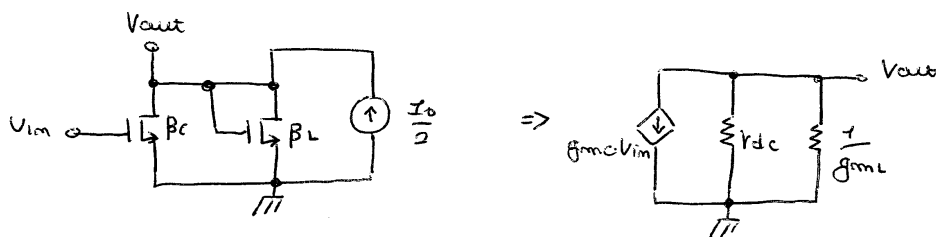


nel caso in cui  $I_1 = I_2 = \frac{I_0}{2} \rightarrow V_1 = V_2$

Tutti i MOS sono ON e in SAT.

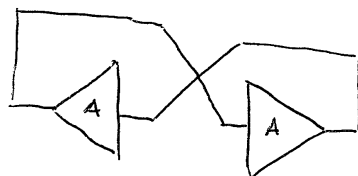
$$\begin{cases} V_{GS1} = V_{GS3} \\ V_{GS2} = V_{GS4} \\ V_1 = V_2 \rightarrow V_{DS} = V_{DS} \end{cases}$$

Si divide la cella in due sotto circuiti identici:



$$A = -g_{mC} \cdot \left( r_{dc} \parallel \frac{1}{g_{mL}} \right) \approx -\frac{g_{mC}}{g_{mL}}$$

La cella può essere rappresentata come:



guadagno d'anello:

$$A^2 > 1.$$

Quando  $I_1 = I_2$ ,  $V_1 = V_2$ :  $A \approx -\frac{g_{mC}}{g_{mL}} = \frac{\beta_C}{\beta_L} = k_h$

con  $k_h > 1$ .

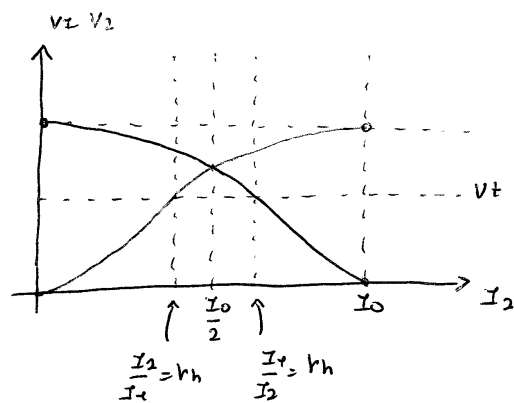
Da cui risulta che la soluzione simmetrica non è un punto di equilibrio stabile: le circuiti si posizionano in una delle due condizioni di riposo, in cui risulta guadagno d'anello nullo.

nel caso in cui  $rh < 1$ :

$I_2 \neq I_1, \uparrow \Rightarrow V_2 \uparrow \Rightarrow V_2 = V_t$  prima che si verifichi  $I_1 = I_2 = \frac{I_0}{2}$ .

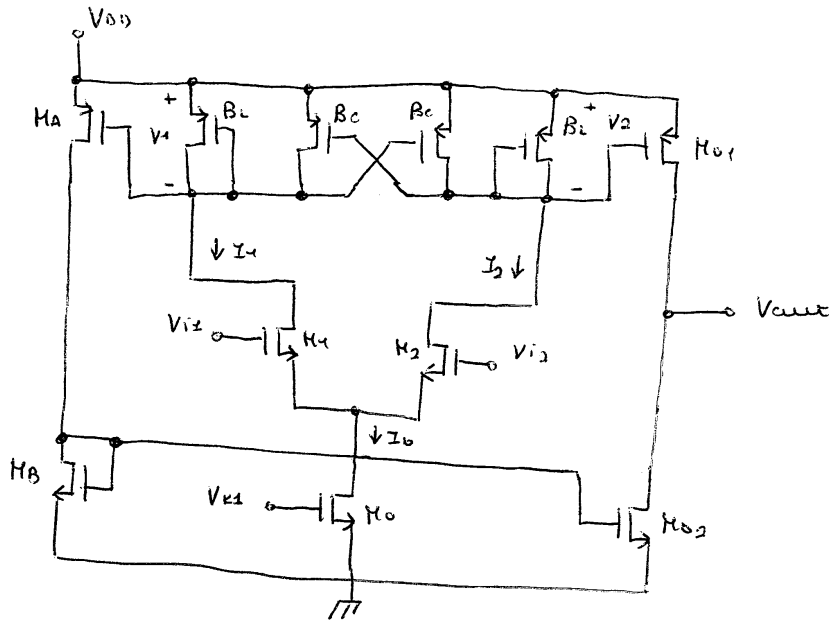
$I_2 = I_0, \downarrow \Rightarrow V_1 \uparrow \Rightarrow V_1 = V_t$  prima che si verifichi  $I_1 = I_2 = \frac{I_0}{2}$ .

non è presente un vertice, il guadagno d'ampere è sempre  $< 1$  e la soluzione  $I_1 = I_2 = \frac{I_0}{2}$  che impedisce  $V_1 = V_2$  è stabile.





## COMPARATORE RIGENERATIVO BASATO SU CELLA CROSS COUPLED



La cella è a PMOS, dobbiamo riferire tutte le tensioni a  $V_{DD}$ .

$M_{01}$  forma uno specchio col MOS connesso a diodo della sua sinistra.

$M_{02}$  è pilotato dalla corrente che scende su  $M_A$ , che a sua volta forma uno specchio col MOS connesso a diodo della sua destra.

$M_{01}$  ed  $M_{02}$  rappresentano semplicemente lo stato dei due MOS connessi a diodo  $\rightarrow$  solo uno tra  $M_{01}$  e  $M_{02}$  sarà ON.

$M_{01}$  ON  $\rightarrow V_{out} = V_{DD}$

$M_{01}$  OFF  $\rightarrow V_{out} = \phi$

$M_{02}$  OFF

$M_{02}$  ON

$$I_1 + I_2 = I_0$$

$$V_{id} = V_{i2} - V_{i1}$$

$$\begin{cases} I_2 - I_1 = g_{m1} V_{id} \\ I_2 + I_1 = I_0 \end{cases}$$

$$V_{id} \ll \phi \rightarrow I_{os2} = \phi \quad : \quad \begin{matrix} M_{02} \text{ ON} \\ M_{01} \text{ OFF} \end{matrix} \rightarrow V_{out} = \phi$$

$$V_{id} \uparrow \rightarrow I_{os2} \uparrow$$

nee momento in cui  $\frac{I_2}{I_1} = k_h = \frac{\beta_c}{\beta_l} > 1$  lo cccca  
 cambia stato e  $M_{02} \text{ OFF} \rightarrow V_{out} = V_{DD}$   
 $M_{01} \text{ ON}$

$$I_2 = k_h I_1 \rightarrow \frac{I_2 - I_1}{I_2 + I_1} = \frac{k_h - 1}{k_h + 1} = \frac{g_{m1}}{I_0} \cdot V_H$$

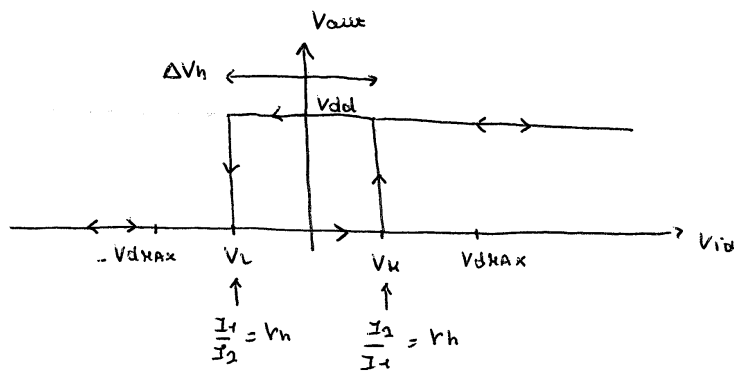
Quando  $V_{id} = \phi$  :  $I_0 = 2 I_{os1}$  (condizione di riposo)

$$\frac{g_{m1}}{I_0} = \frac{g_{m1}}{2 I_{os1}} = \frac{1}{2 V_{ref}}$$

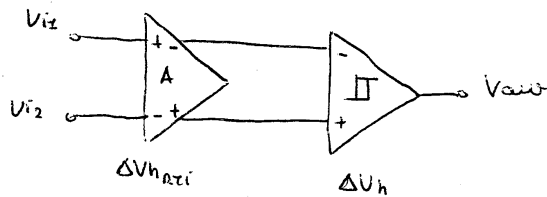
$$\Rightarrow V_H = 2 V_{ref} \cdot \frac{k_h - 1}{k_h + 1}$$

$$V_L = -V_H$$

$$\Delta V_H = 2 V_H = a V_{ref} \cdot \frac{k_h - 1}{k_h + 1} \quad \text{in F.I.: } \Delta V_H = 2 (V_{GS} - V_t)_c \cdot \frac{k_h - 1}{k_h + 1}$$



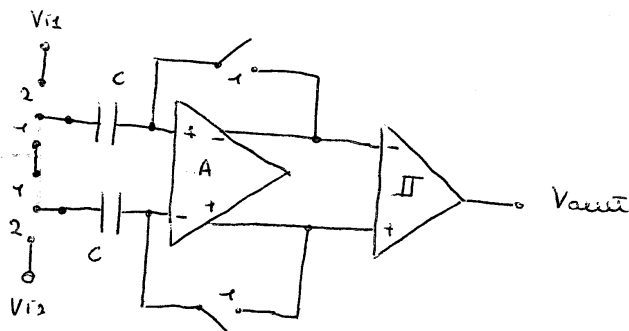
## COMPARATORI A BASSA ISYERESI



con  $\Delta V_{hAri} = \frac{\Delta V_h}{A}$

la prima fonte di errore è l'offset del preamplificatore.

Si concepisce con la tecnica COS:



FASE 1) Regione a  $\beta$  unitario

$V_{in} \sim V_{io}$  memorizzato dalle due capacità

FASE 2) Funzionamento in open loop

$V_{io}$  memorizzato nelle capacità viene sommato al segnale ottenendo un amplificatore virtualmente esente da offset.